

EL UNIVERSO EN UN CUBO

La *taxis* en tres series de casas de John Q. Hejduk

Luis Sebastián Aranguren Lizcano

Director: Arq. Mg. Juan Carlos Aguilera Rojas

Anexo Imágenes

Universidad Nacional de Colombia – Bogotá

Facultad de Artes

diciembre - 2021

Fig. 2 - Casa Texas 1, axonometría general. La casa mantiene la uniformidad del esquema interior y la variación consiste de la adición de espacios complementarios exteriores al esquema formal. Las Casas Texas 1 y 3 mantienen un desarrollo horizontal. Ambas con variaciones de altura con respecto a una planta principal.

Texas House 1, axonometría general – basado en el plano “DR1998 0047 003 002” (Centro Canadiense de Arquitectura), Fuente: Elaboración propia.

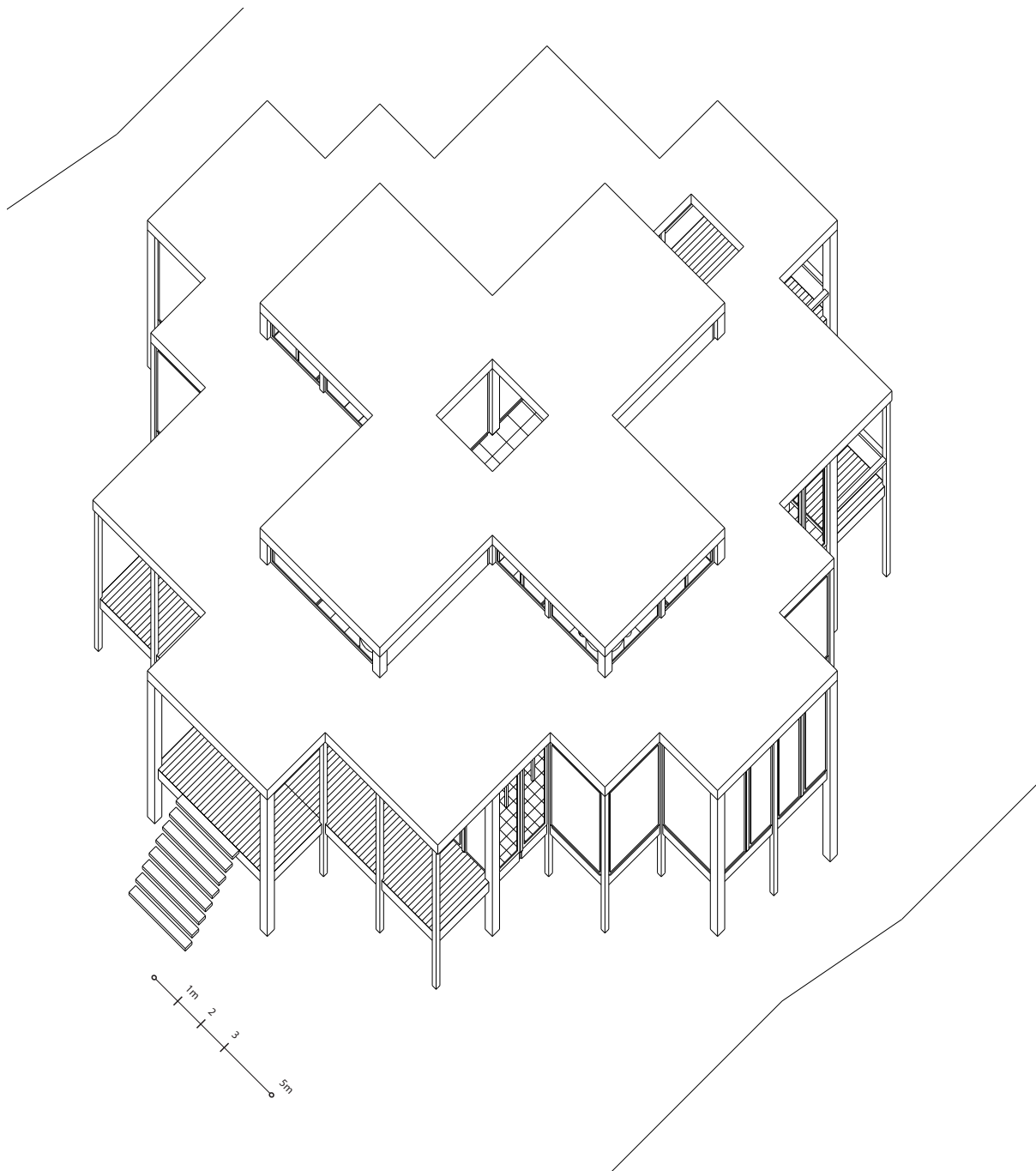


Fig. 3 - Planta Casa Texas 1.

Texas House 1, planta principal – basado en el plano “DR1998 0047 003 002” (Centro Canadiense de Arquitectura), Fuente: Elaboración propia.

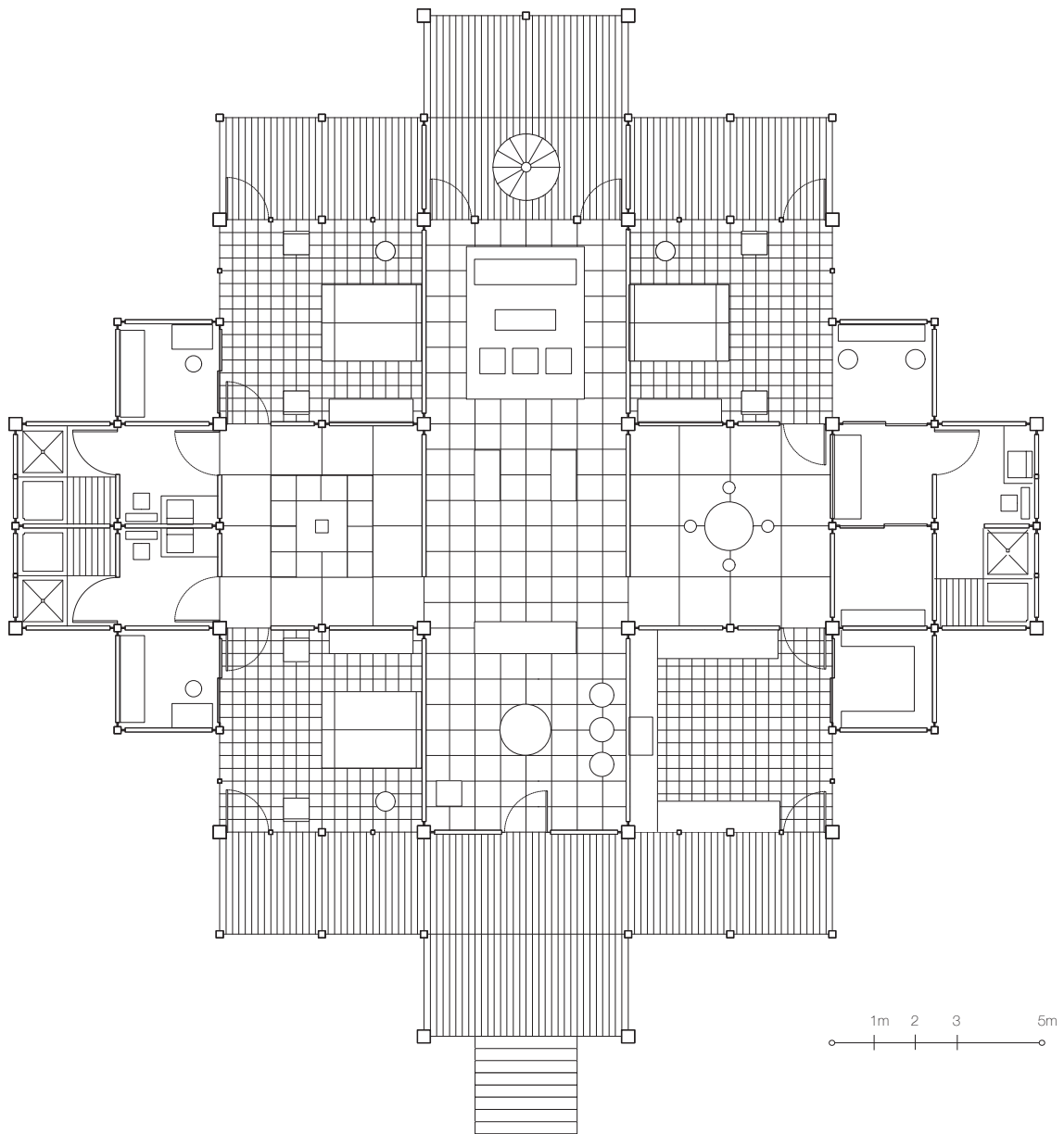


Fig. 4 - Casa Texas 3, axonometría general. La casa mantiene el desarrollo espacial en una única planta. Esta planta es unificada por una cubierta continua con dos variaciones de altura, el centro de la casa es vacío.

Texas House 3, axonometría general – basado en el plano “DR1998 0049 002 001” (Centro Canadiense de Arquitectura). Fuente: Elaboración propia.

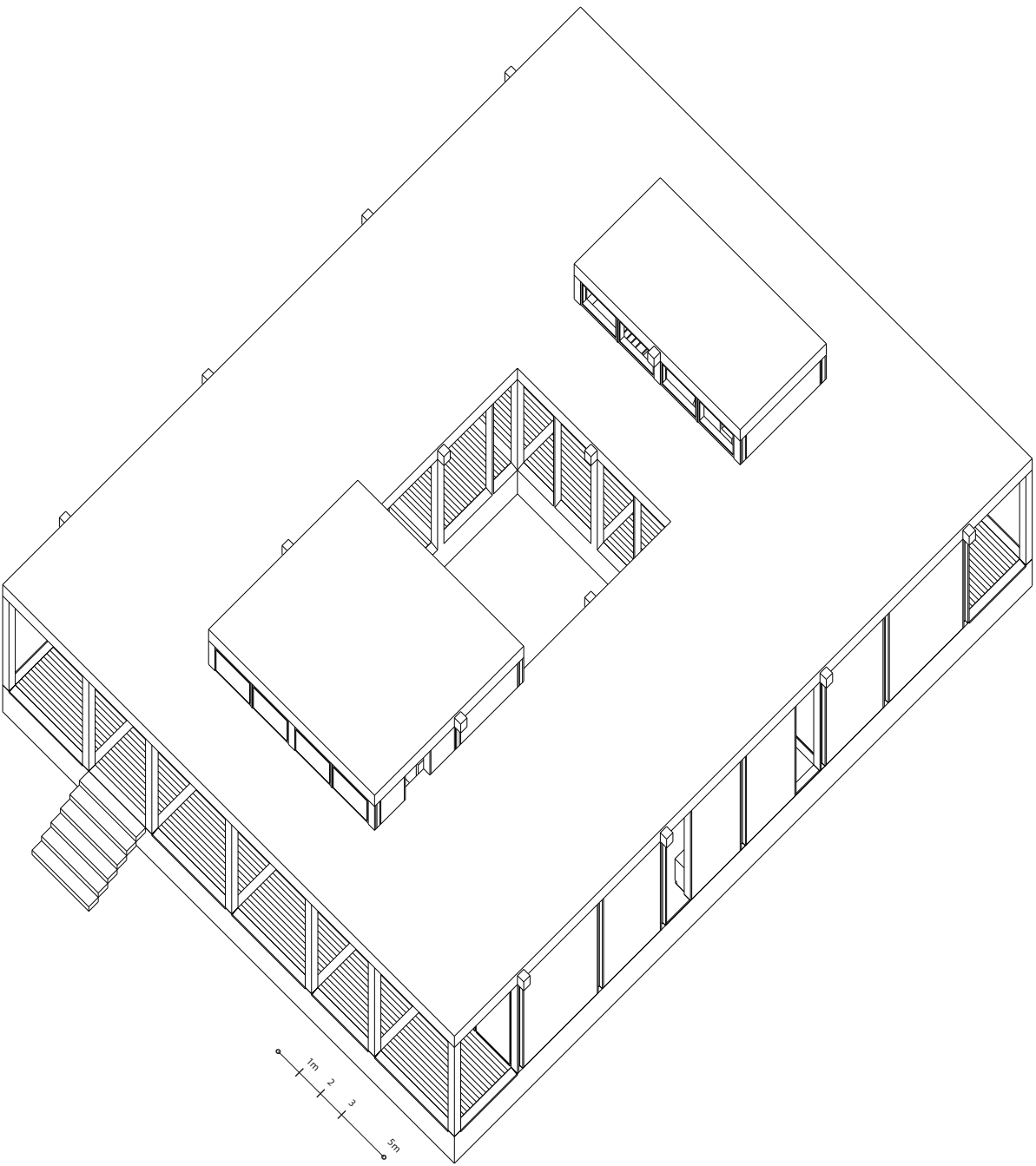


Fig. 5 - Casa Texas 3, planta. En la Casa Texas 3 las partes constituyentes del esquema formal de los nueve cuadrados varían sus dimensiones dependiendo su posición, complejizando la lectura del esquema formal.

Texas House 3, planta principal – basado en el plano “DR1998 0049 001 008” (Centro Canadiense de Arquitectura). Fuente: Elaboración propia.

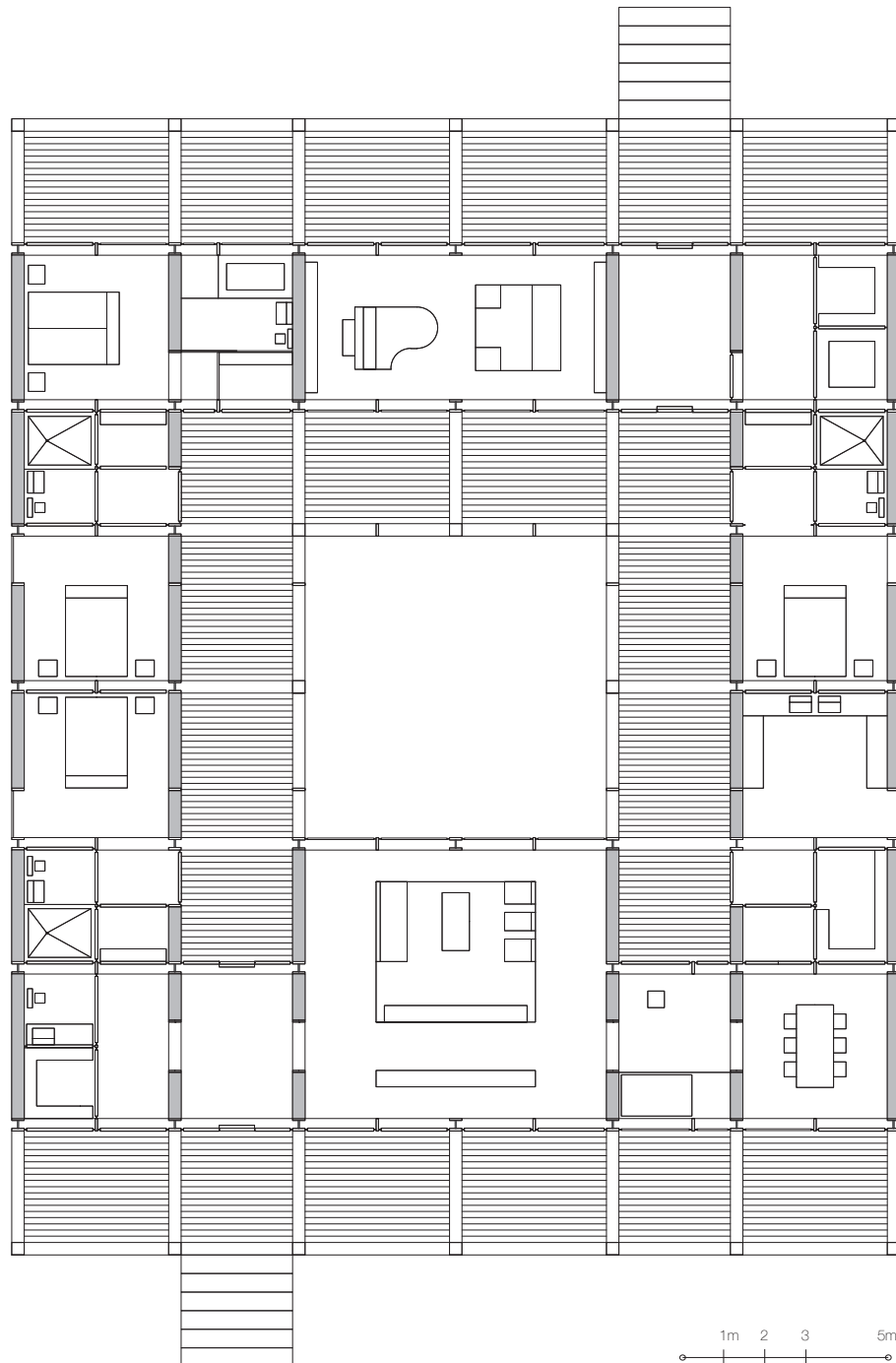


Fig. 6 - Casa Texas 7, axonometría general. La Casa Texas 7 introduce variaciones en altura. El esquema formal de los nueve cuadrados es trabajado tanto en planta como en alzado, evidente en la aplicación de este esquema formal a las fachadas. La Casa Texas 7 es la única que mantiene estrictamente el esquema formal de los nueve cuadrados, la variación ocurre en altura.

Texas House 7, axonometría general - basado en el plano "DR1998 0053 009" (Centro Canadiense de Arquitectura). Fuente: Elaboración propia.

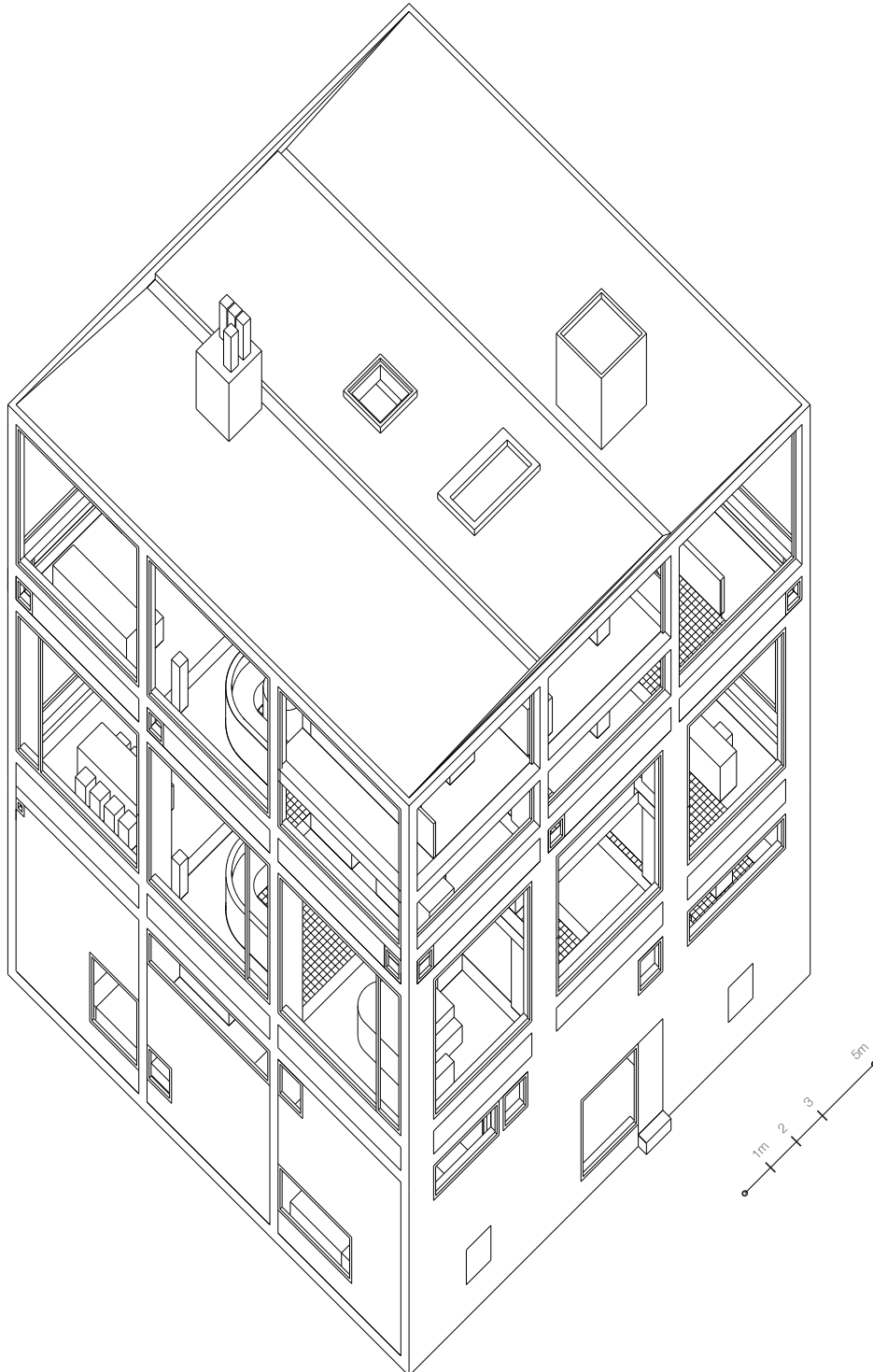


Fig. 7 - Planta nivel acceso Casa Texas 7.

Texas House 7, planta nivel 1 – basado en el plano “DR1998 0053 008” (Centro Canadiense de Arquitectura). Fuente: Elaboración propia.

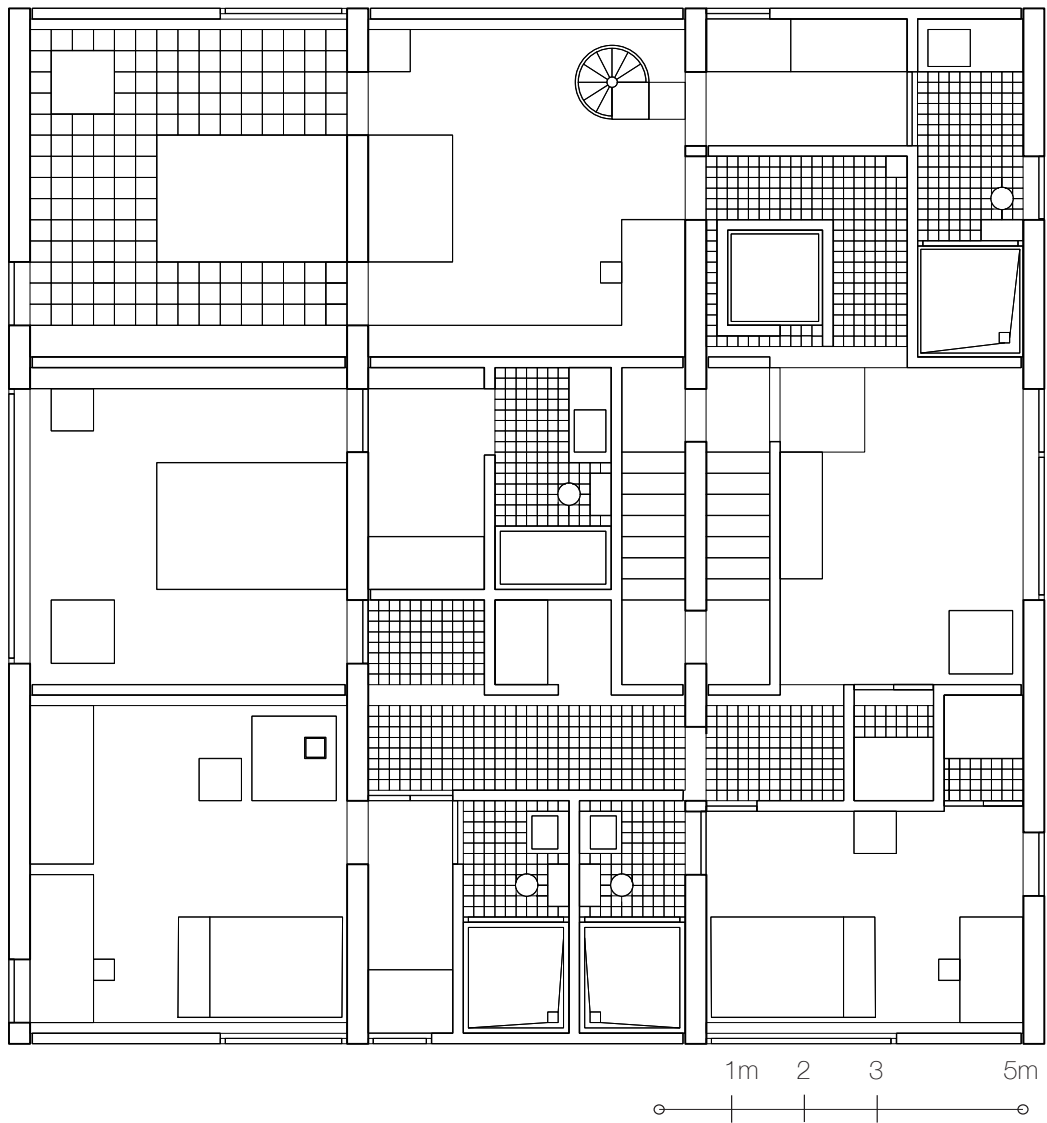


Fig. 8 - Casa Diamond A, axonometría general.

Diamond House A, Axonometría general – basado en el plano “DR1998 0060 003” (Centro Canadiense de Arquitectura). Fuente: Elaboración propia.

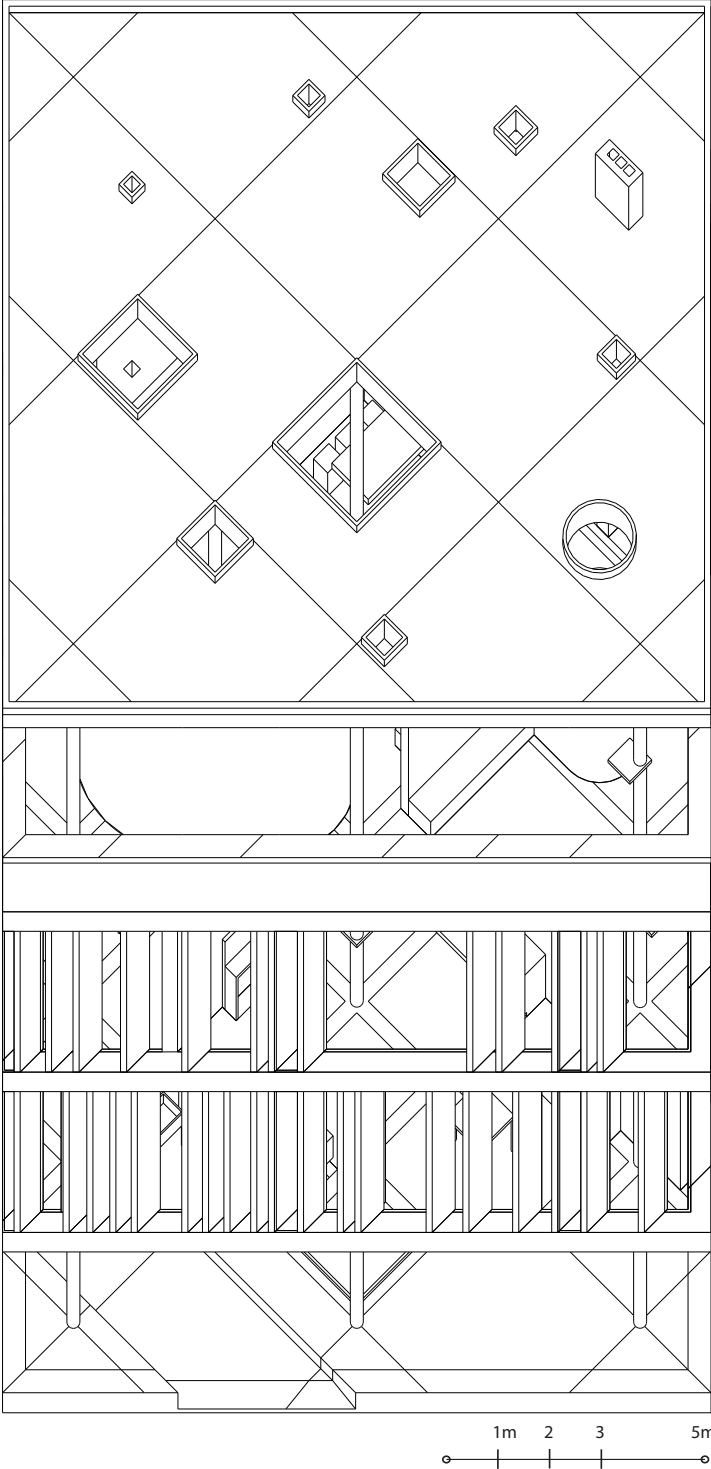


Fig. 9 - Casa Diamond B, axonometría general.

Diamond House B, axonometría general – basado en el plano “DR1998 0061 001 01” (Centro Canadiense de Arquitectura). Fuente: Elaboración propia.

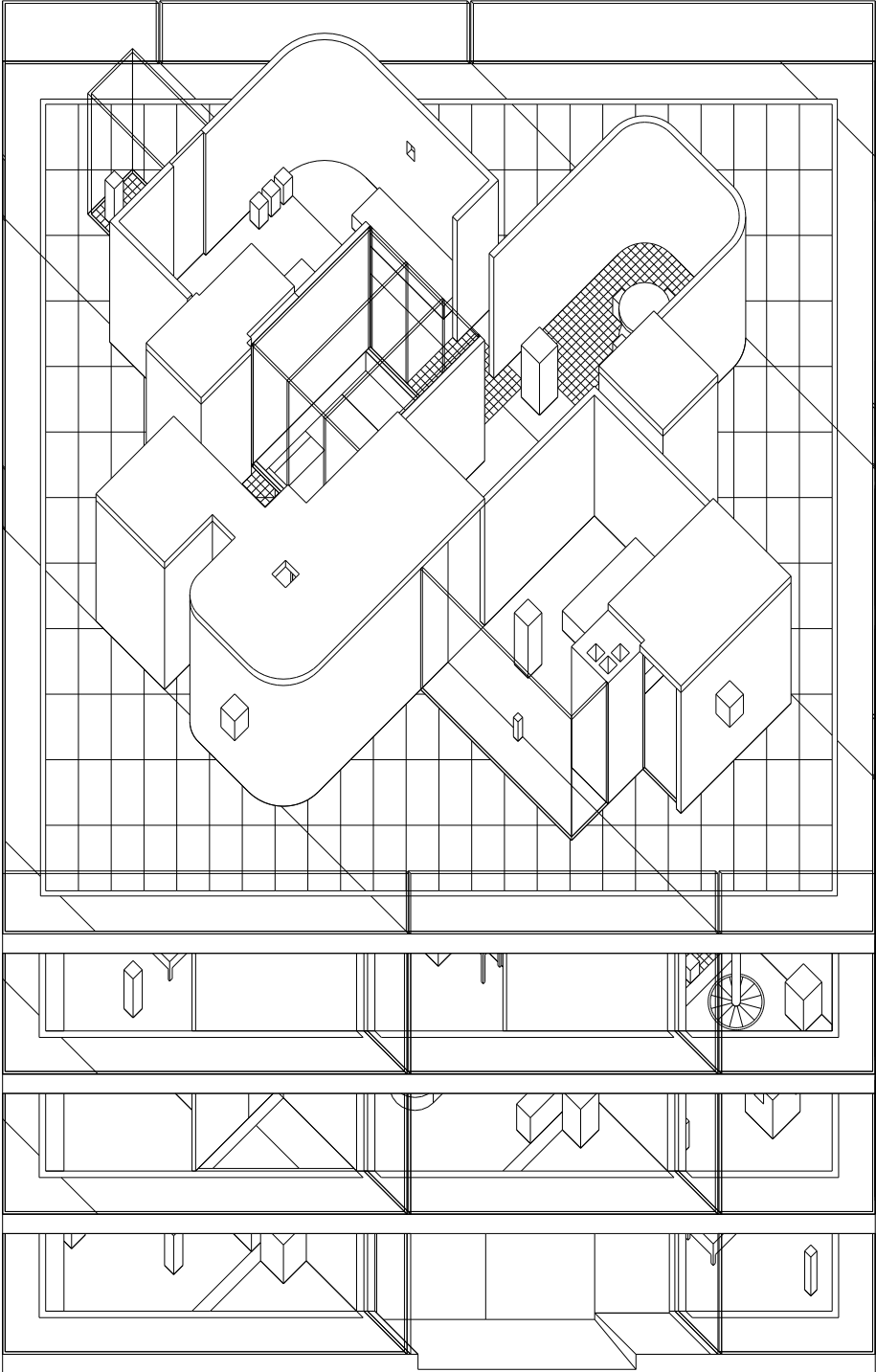


Fig. 10 - Casa Diamond A, planta nivel 2.

Diamond House A, planta nivel 2 – basado en el plano “DR1998 0060 003 002” (Centro Canadiense de Arquitectura). Fuente: Elaboración propia.

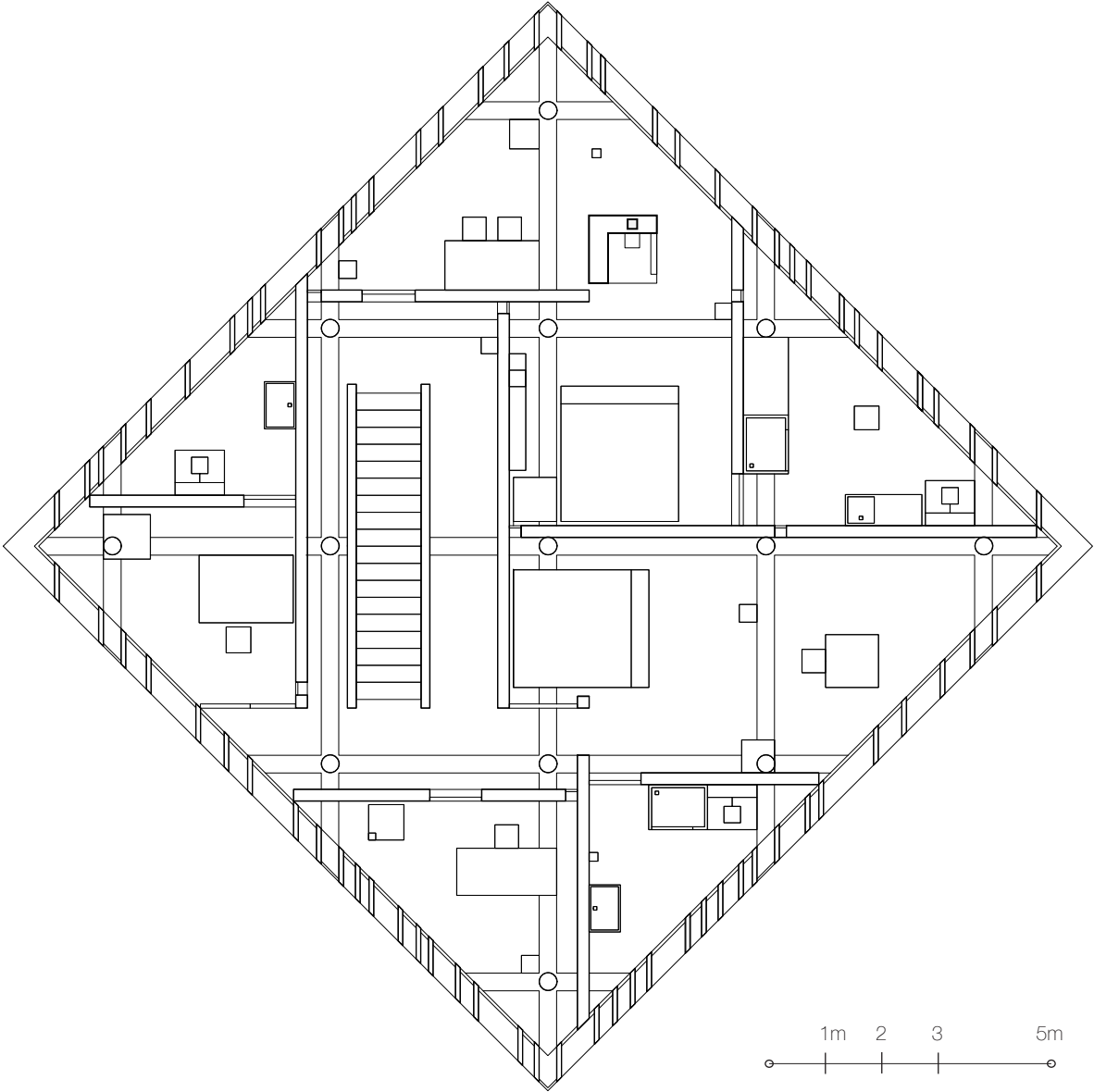


Fig. 11 - Casa Diamond B, planta nivel acceso.

Diamond House B, planta nivel 1 – basado en el plano “DR1998 0061 001 012” (Centro Canadiense de Arquitectura). Fuente: Elaboración propia.

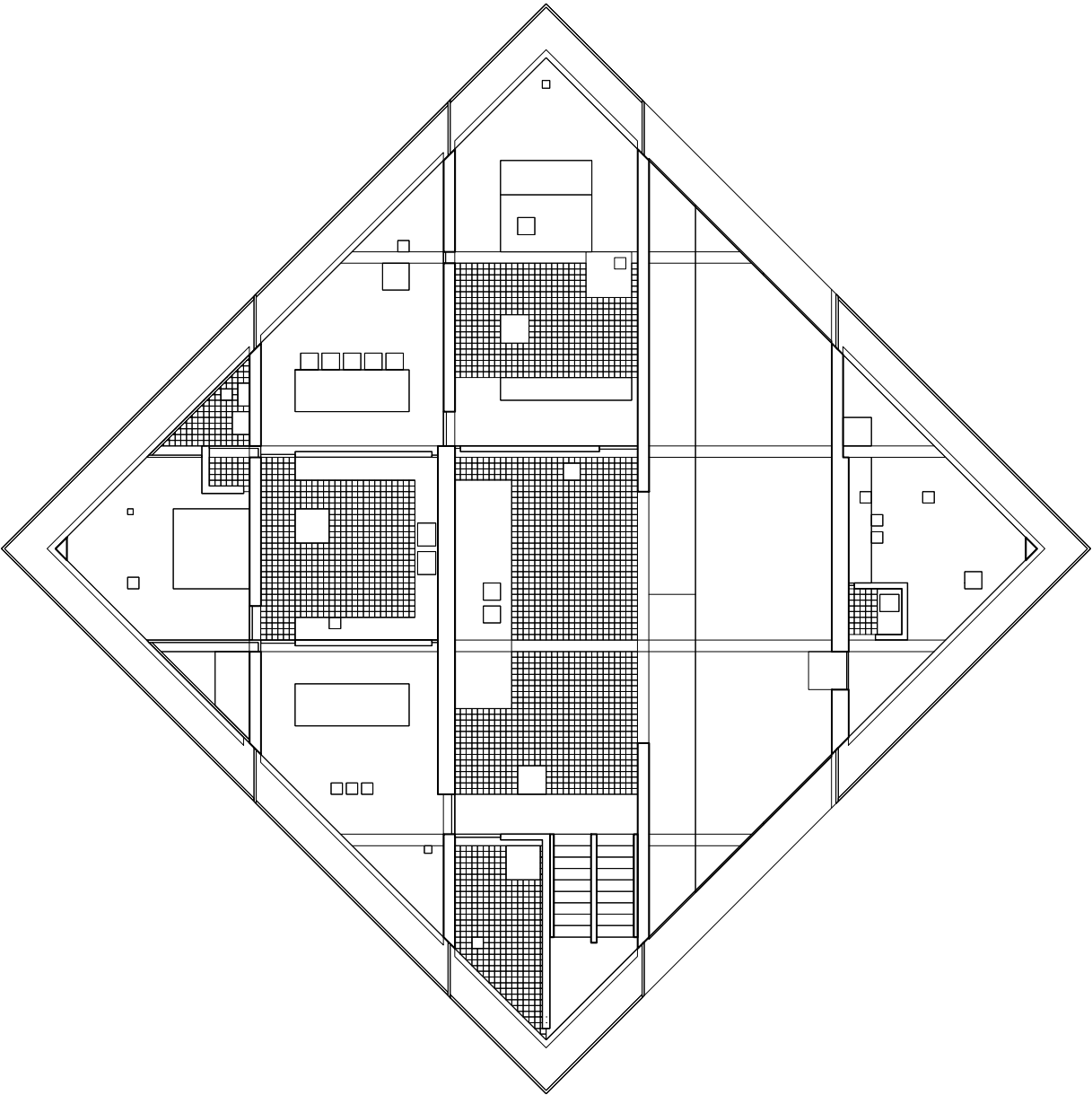


Fig. 12 - Casa Muro 1, axonometría general.

Wall House 1, axonometría general – basado en el plano “DR1998 0077 025” (Centro Canadiense de Arquitectura). Fuente: Elaboración propia.

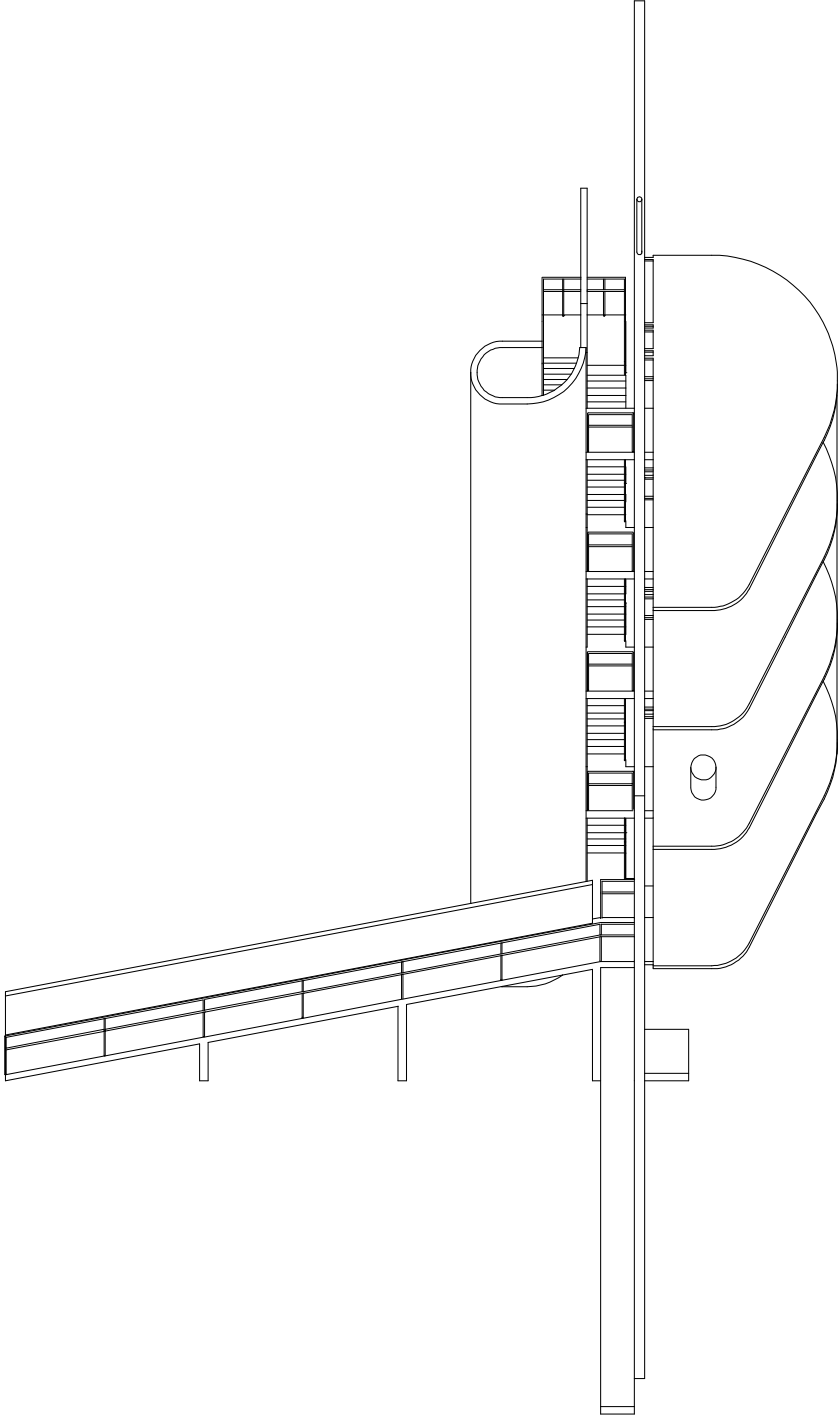


Fig. 13 - Casa Muro 1, planta nivel acceso.

Wall House 1, planta nivel 1 – basado en el plano “DR1998 0077 002” (Centro Canadiense de Arquitectura).
Fuente: Elaboración propia.

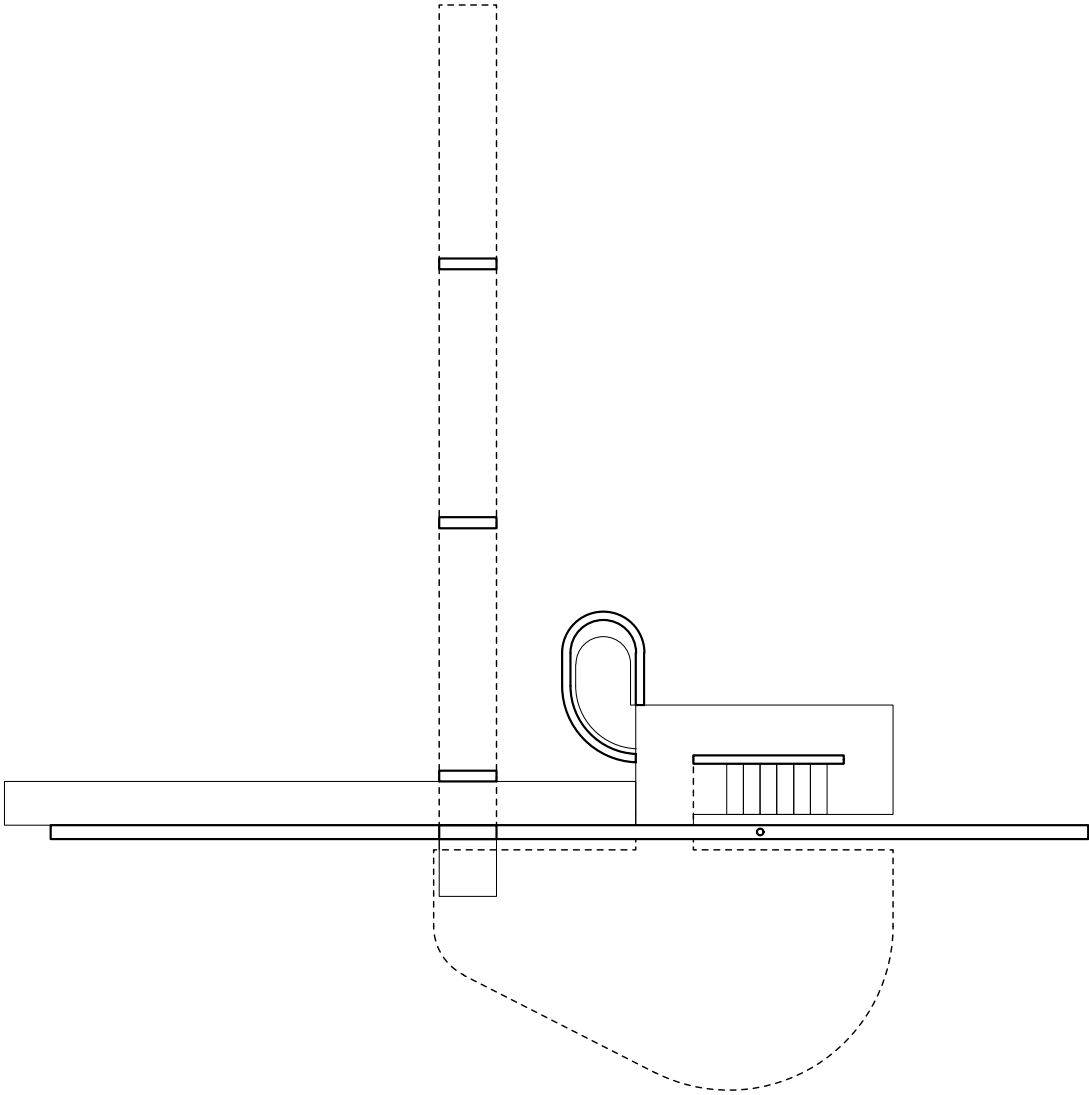


Fig. 14 - Casa Muro 2 (Bye House), axonometrías generales.

Imagen tomada de: Hejduk, John. Mask of Medusa: Works 1947-1983. Editado por Kim Skapich. 1a ed. New York City: Rizzoli International Publications, 1985.p.300.

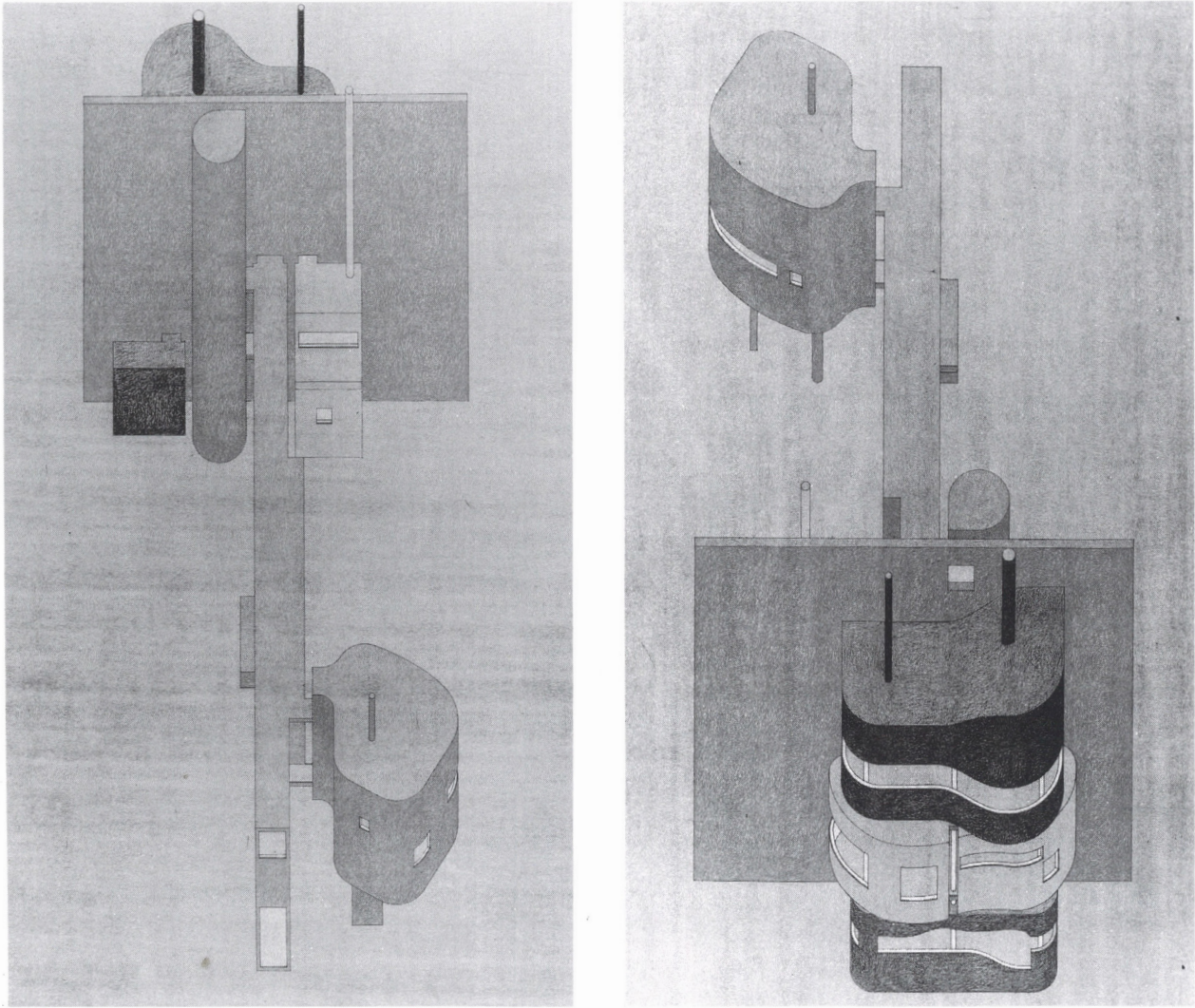


Fig. 15 - Casa Muro 3, modelo.

Imagen tomada de: Hejduk, John. Mask of Medusa: Works 1947-1983. Editado por Kim Skapich. 1a ed. New York City: Rizzoli International Publications, 1985.p.309.

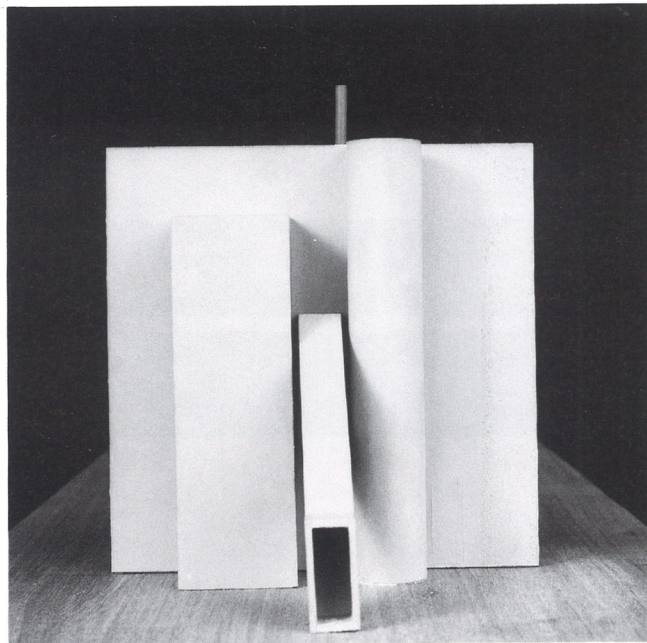
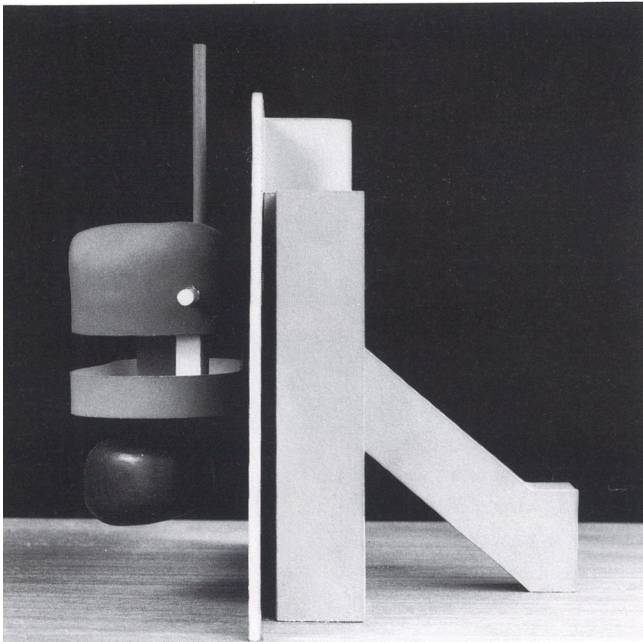
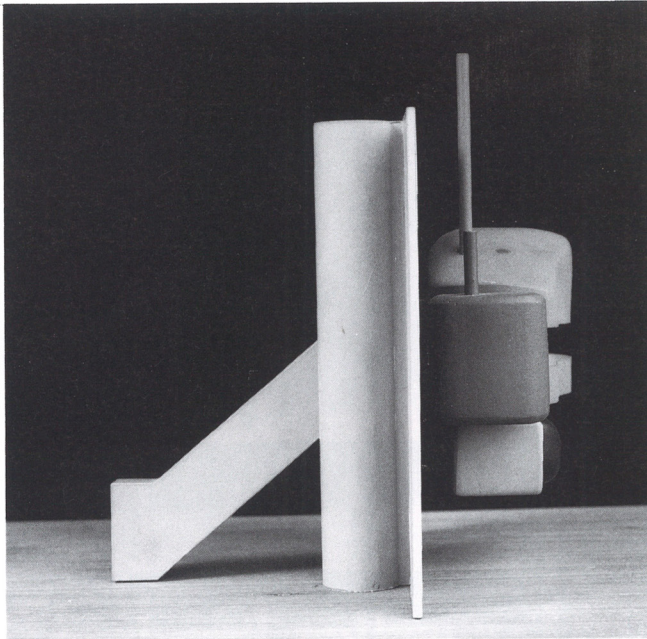
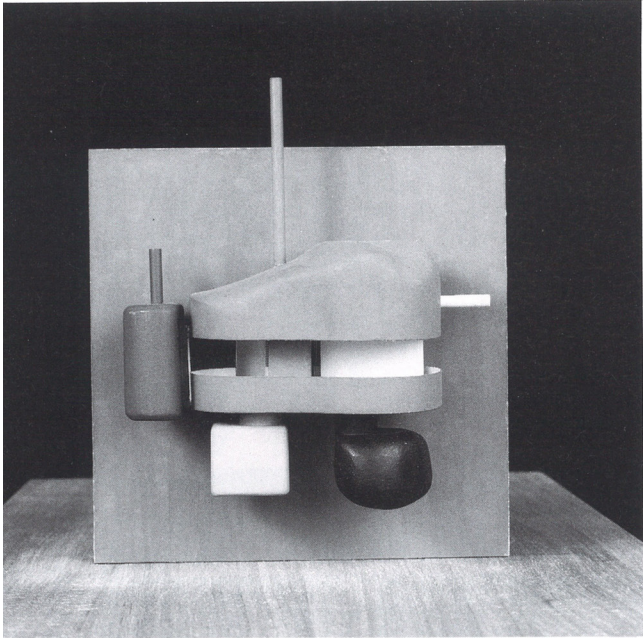


Fig. 16 - Grabado ilustrando el mito de Anfión. Aunque en la imagen Anfión esté interpretando lo que parece ser un violín, y no una lira como en el mito recogido por Paul Valéry, el mensaje es el mismo; la organización de sonidos a lo largo del tiempo es análoga a la organización de los elementos de la arquitectura.

Imagen: Cornelis Bloemaert, Grabado ilustrando el mito de Anfión: el constructor de las murallas de Tebas, 1635-1638 (circa), grabado, 28cm x 18.2cm, El Museo Británico, Londres, Inglaterra. https://www.britishmuseum.org/collection/object/P_1973-0616-37. © The Trustees of the British Museum.



Fig. 17 - Planta y perspectiva de Sebastiano Serlio. En la lámina perteneciente al Segundo Libro de Sebastiano Serlio, el trazado de la retícula espacial está dibujado sobre la superficie en perspectiva. Mientras que en la representación ortogonal únicamente están dibujados los centros de los espacios. A pesar de que la retícula espacial sea una abstracción esta es representada en la perspectiva, tomando una condición equivalente a los elementos concretos y materiales como columnas y muros.

Imagen: Sebastiano Serlio, "Il Secondo Libro di Prospettiva" En Tutte l'opere d'architettura et prospettiva (34. Paris: De l'imprimerie de Jehan Barbé, 1545) p.35. Archivo de la Columbia University Libraries. https://archive.org/details/ldpd_12050504_000/page/n79/mode/2up. Imagen referenciada en: Tzoniz, Alexander, y Liane Lefaivre. "Taxis: The Framework". En *The Poetics of Order*, 5a ed., 9–35. Cambridge, Massachusetts: MIT Press, 1986.

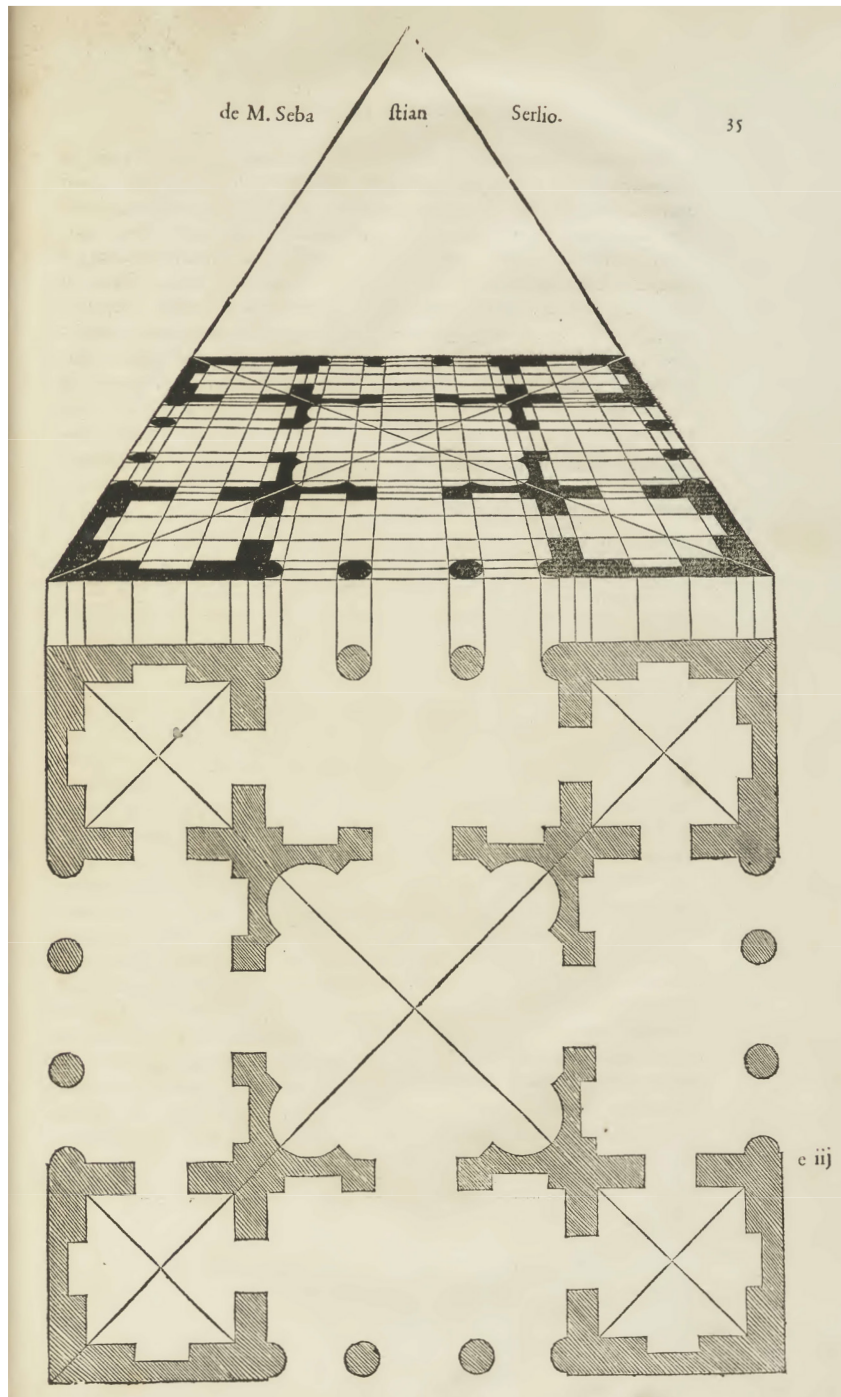


Fig. 18 - Ilustración de tipología de templo Períptero. En el dibujo de Sangallo ilustrando una planta de un templo períptero en perspectiva es evidente el contraste entre la racionalidad establecida por la utilización de la taxis en el interior de la obra de arquitectura y la naturaleza exterior.

Imagen: Atribuido a miembro de la familia Sangallo, Ilustración de tipología de templo Períptero (*Libro 3, Cap. 2. Los Diez Libros de Arquitectura, Vitruvio*), 1530-1545, dibujo de tinta sobre papel, 15.5 x 26.6 cm, Museo Metropolitano de arte, Nueva York, EE. UU. <https://www.metmuseum.org/art/collection/search/383095?searchField=All&sortBy=Relevance&ft=Sangallo+family&offset=0&pp=20&pos=9>. ©Dominio público.

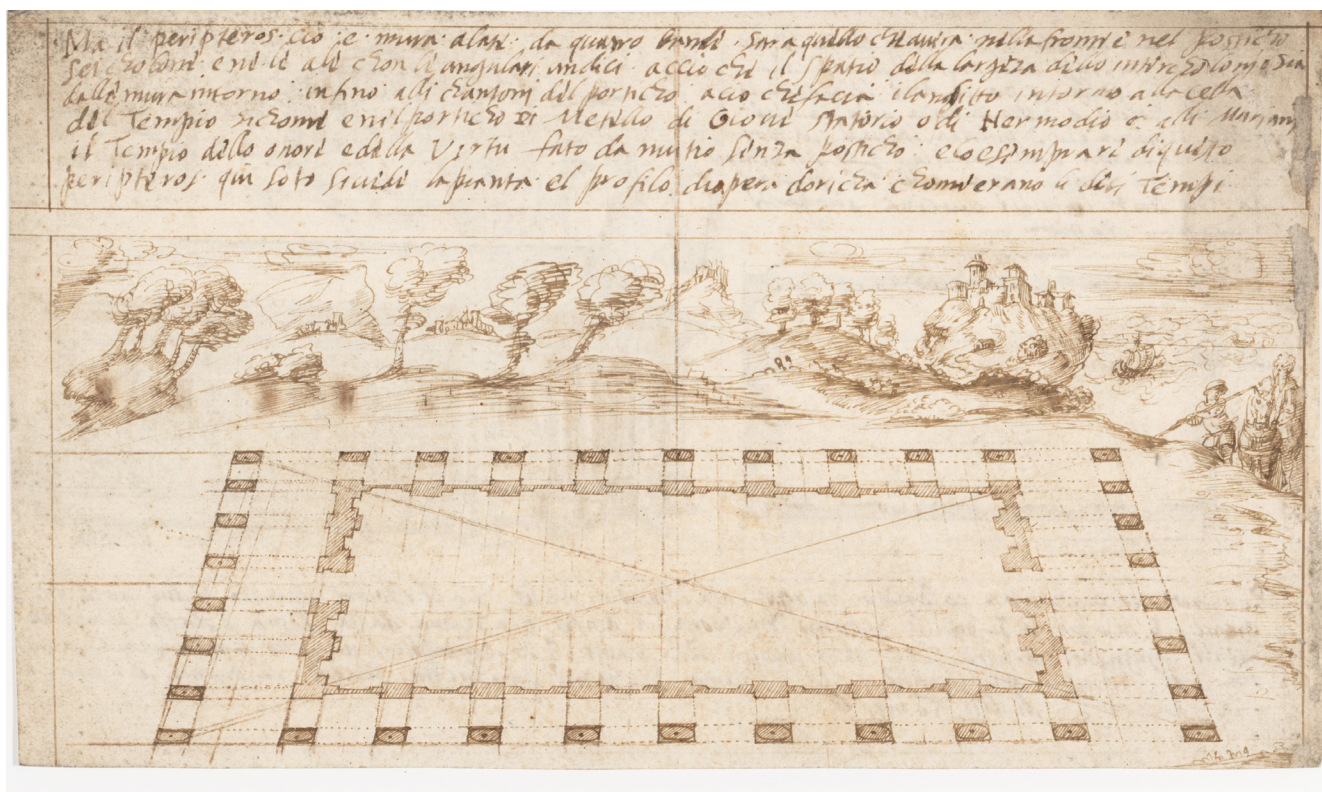


Fig. 19 - Los nueve cuadrados en las Casas Texas. Las primeras tres Casas Texas utilizan el esquema de los *nueve cuadrados* con variaciones a manera de módulos periféricos adicionales, identificables por ser de tamaños menores a los utilizados en el esquema formal central. En las siguientes cuatro casas las variaciones formales ocurren en altura mientras que la planta está definida por la utilización de los *nueve cuadrados* sin alteraciones. La *Casa Texas 6* varía esta configuración al ubicar el módulo de escaleras como un volumen exterior exento, además de agregar un volumen independiente de programa complementario definido con una organización en cuatro cuadrados.

Serie Texas, diagrama de configuración formal utilizada en las plantas de las Casas Texas. Fuente: Elaboración propia.

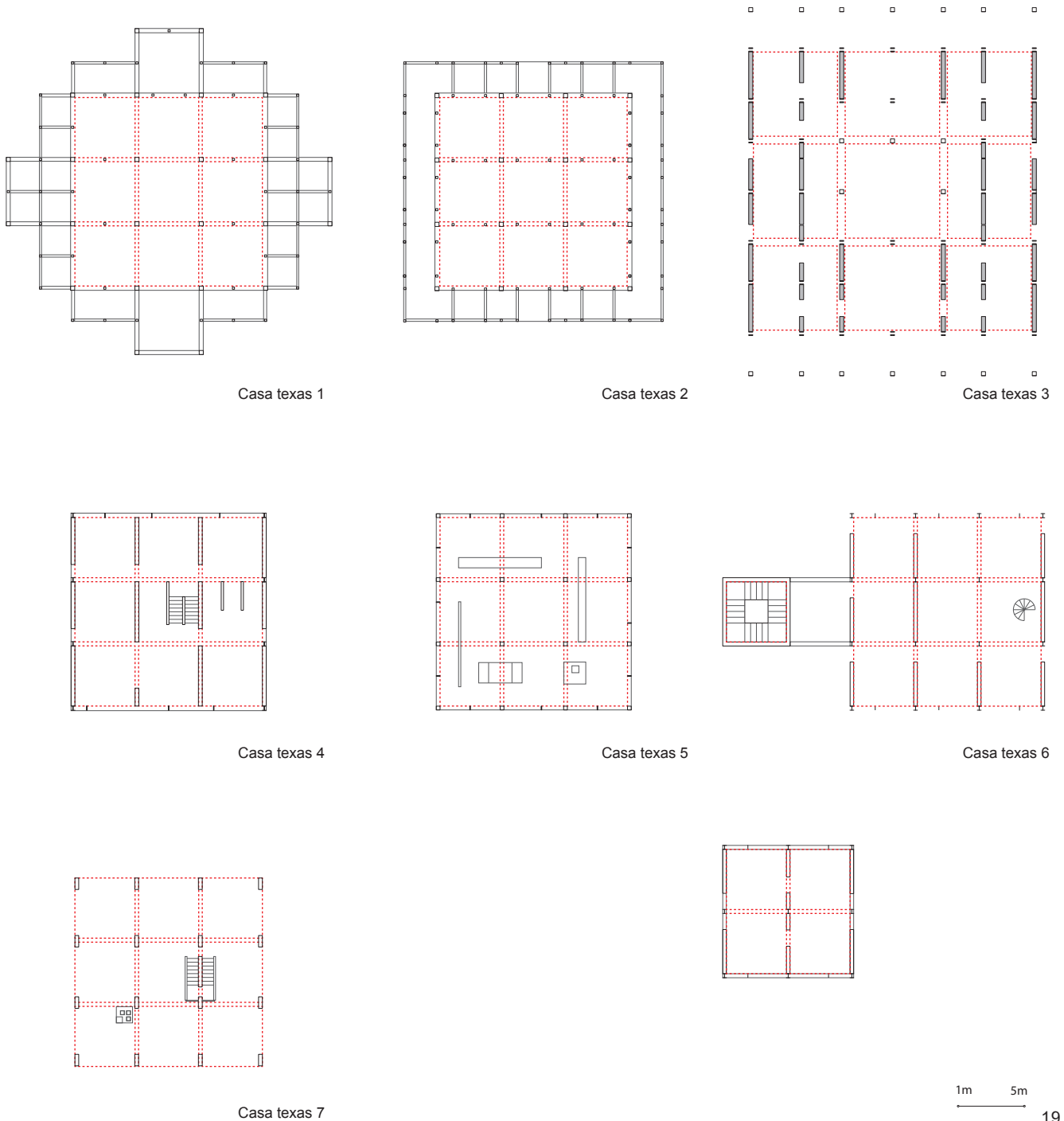


Fig. 20 - Dibujos explicativos de las condiciones fundamentales del esquema de los nueve cuadrados. Estos dibujos hacen parte de los apuntes de Hejduk para el ejercicio pedagógico titulado “el Problema de los Nueve Cuadrados”. Hejduk afirma sobre los dos dibujos superiores que “los nueve cuadrados están dispuestos entre dos polos, uno de fluidez completa y uno de completa contención.” Esta variación está controlada por la utilización de “paneles” entre columnas. Las columnas todas dispuestas en las intersecciones de las esquinas de los nueve cuadrados. En el dibujo inferior está señalada la diferencia entre la “célula central” y las ocho células periféricas. Además, en línea punteada está señalado una diferenciación entre el espacio del borde exterior del esquema formal y un espacio contenido por la unión entre los centro de las células.

Código de referencia (Centro Canadiense de Arquitectura): DR1998 0044 003, Año: 1954-1963, Título: Nine Square Problem Notes drawings, Técnica: Texto mecanografiado y collage, Dimensiones: 28,1x21,8cm. © CCA.

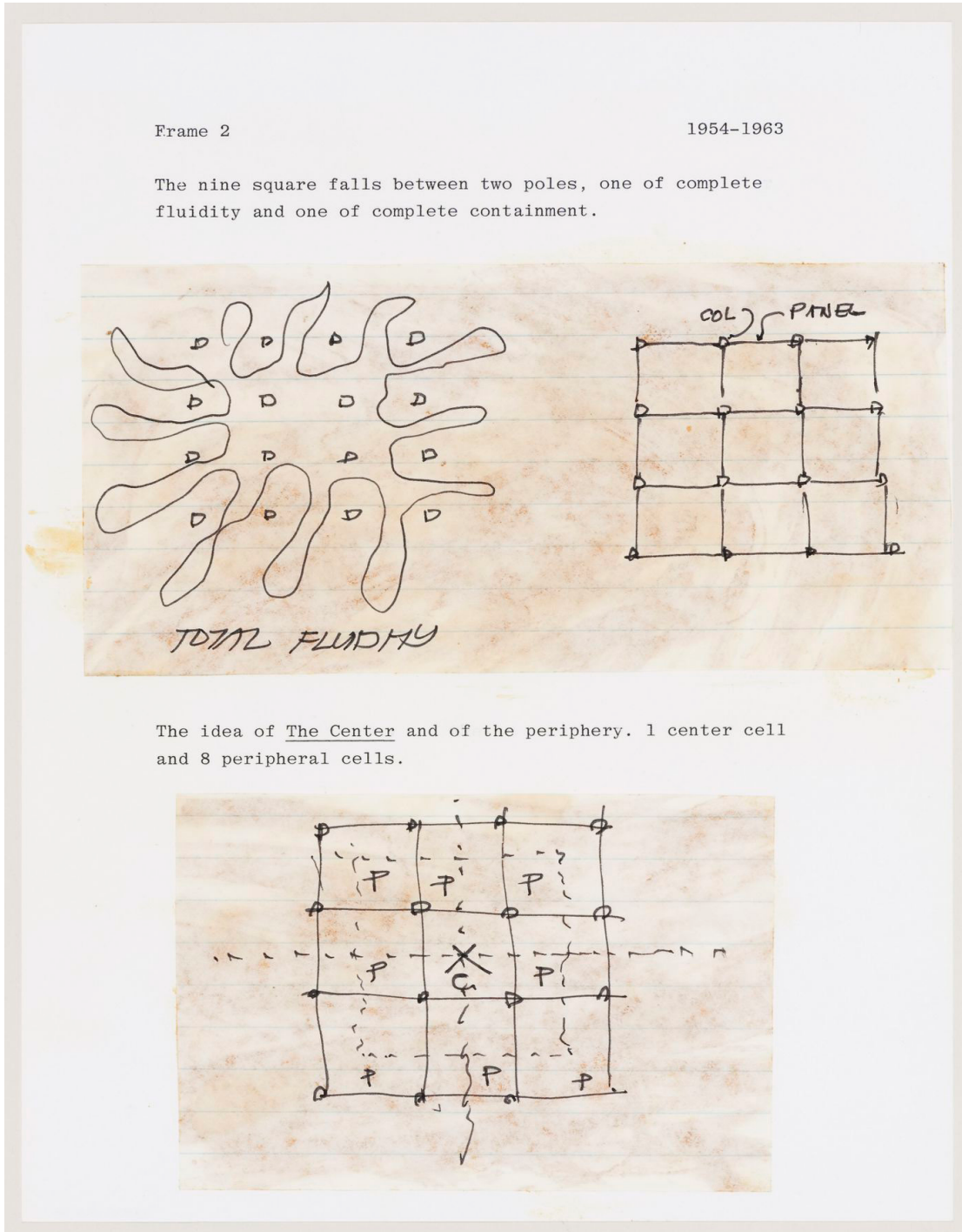


Fig. 21 - En la imagen Durand describe el proceso de composición utilizando un único esquema formal. El proceso está dividido en cuatro etapas: (superior izquierda) “Fig 1. Número y ubicación de las partes principales.”, (inferior izquierda) “Fig 2. Número y ubicación de las partes secundarias.”, (superior derecha) “Fig. 3. trazado de los muros.” en esta etapa es evidente que los trazados del esquema formal no representan ubicaciones de la materia sino relaciones profundas. En los trazados de los muros las subdivisiones secundarias definían puntos centrales tanto de los espacios vacíos, como de los espacios entre los muros. (inferior derecha) “ Fig. 4. colocación de columnas.”

Fuente: Durand, Jean Nicolas Louis. Précis des leçons d'architecture données à l'École royale polytechnique. 1823a ed. Paris, Francia: Getty Center, 1823. (Parte 2, Pl. 21). Imagen referenciada en: Pfammatter, Ulrich. “Durand’s Polytechnical Principles of Architectural Education”. En The Making of the Modern Architect and Engineer, 1a ed., 53–67. Basel; Boston; Berlin: Birkhäuser- Publishers for Architecture, 2000.

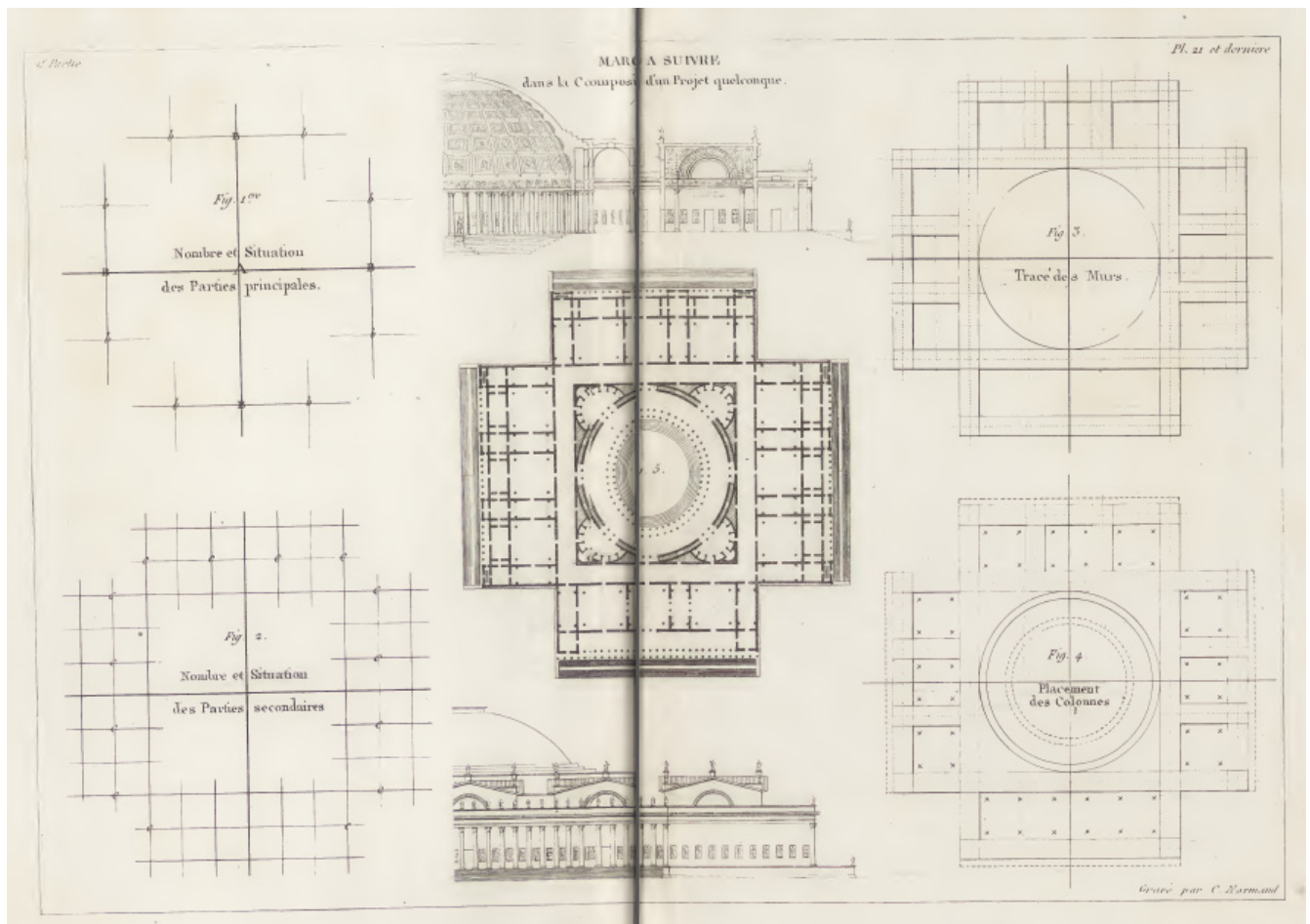


Fig. 22 - En la plancha 3 la retícula es apartada de un esquema formal específico. A los costados diferentes esquemas formales son conformado utilizando la retícula. Como en la imagen anterior, los trazados son utilizados tanto para definir la ubicación de elementos como muros y columnas pero también para definir las proporciones de los espacios entre estos elementos, es decir el vacío.

Imagen: Durand, Jean Nicolas Louis. Précis des leçons d'architecture données à l'École royale polytechnique. 1823a ed. Paris, Francia: Getty Center, 1823. (Pl. 3). Imagen referenciada en: Pfammatter, Ulrich. "Durand's Polytechnical Principles of Architectural Education". En *The Making of the Modern Architect and Engineer*, 1a ed., 53–67. Basel; Boston; Berlin: Birkhäuser- Publishers for Architecture, 2000.

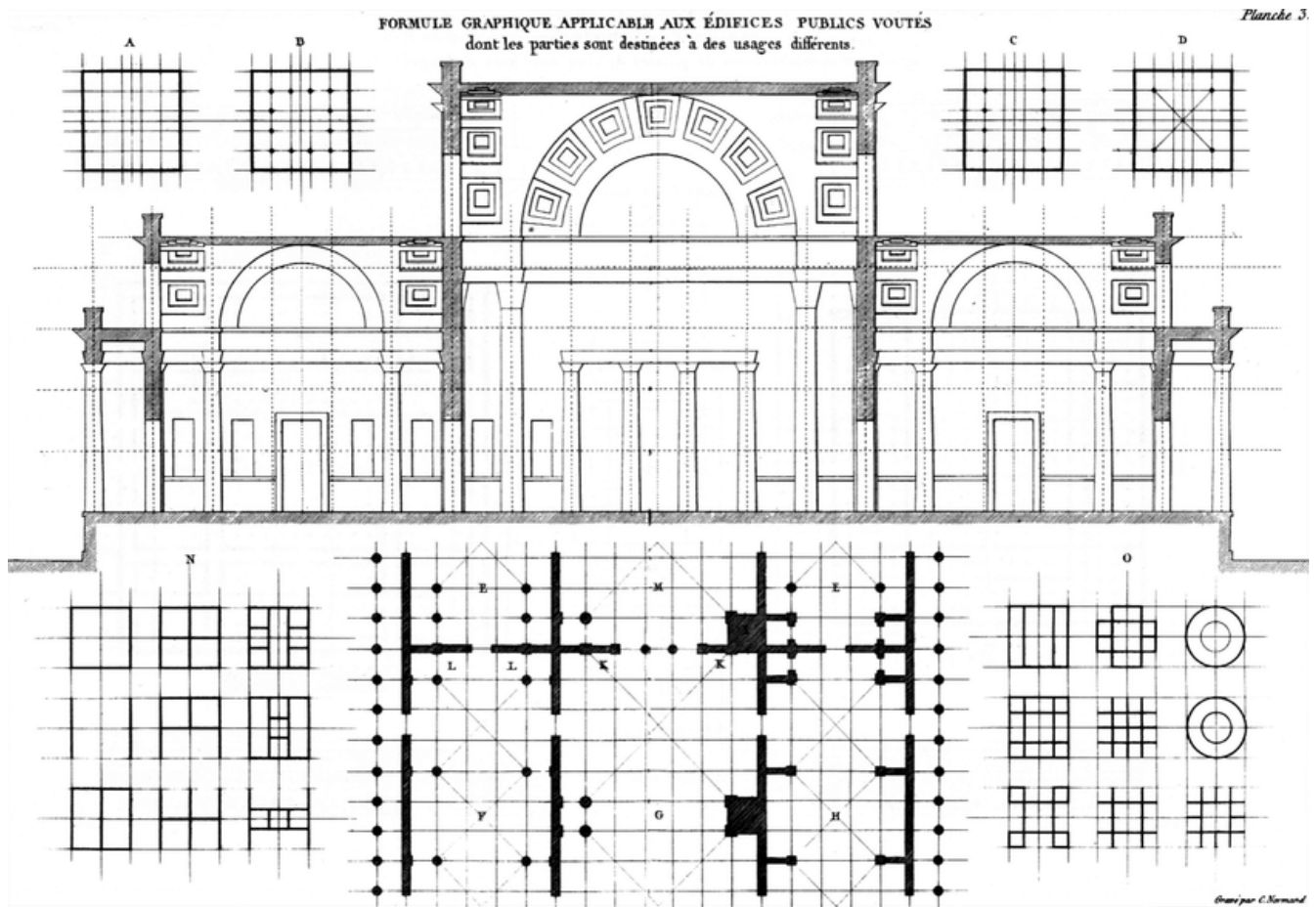


Fig. 23 - Esquemas de variaciones geométricas de once villas paladianas. El hecho de si Palladio dibujo explícitamente el esquema general antes del desarrollo de cada una de las villas es irrelevante.

Esquema geométrico de las Villas de Palladio. Tomado de: Wittkower, Rudolf. "Principles of Palladio's Architecture." In *Architectural Principles in the Age of Humanism*, 5th ed., 60–97. London: Academy Editions, 1998.

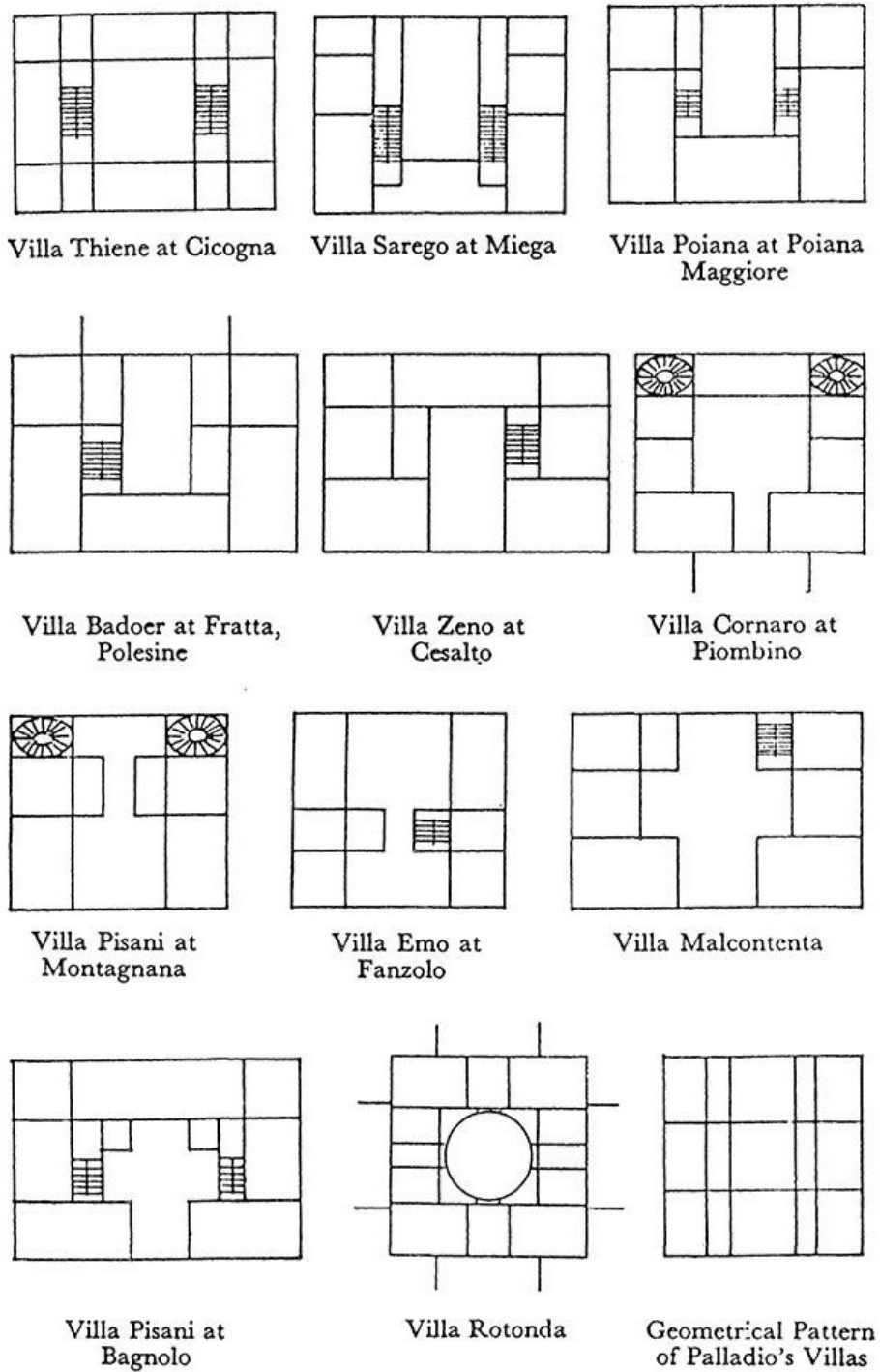


Fig. 24 - Axonometría general de la Casa Texas 1. Planta principal de la casa separada del suelo. La fachada izquierda corresponde al ingreso principal definido por la escalera exterior y el porche transversal continuo.

Imagen: John Hejduk, Axonometría de la Casa Texas 1, 1954-1963, grafito sobre papel translúcido, 73,6cm x 78,8cm, Centro Canadiense de Arquitectura (Código de referencia): DR1998 0047 003 008 ©CCA.

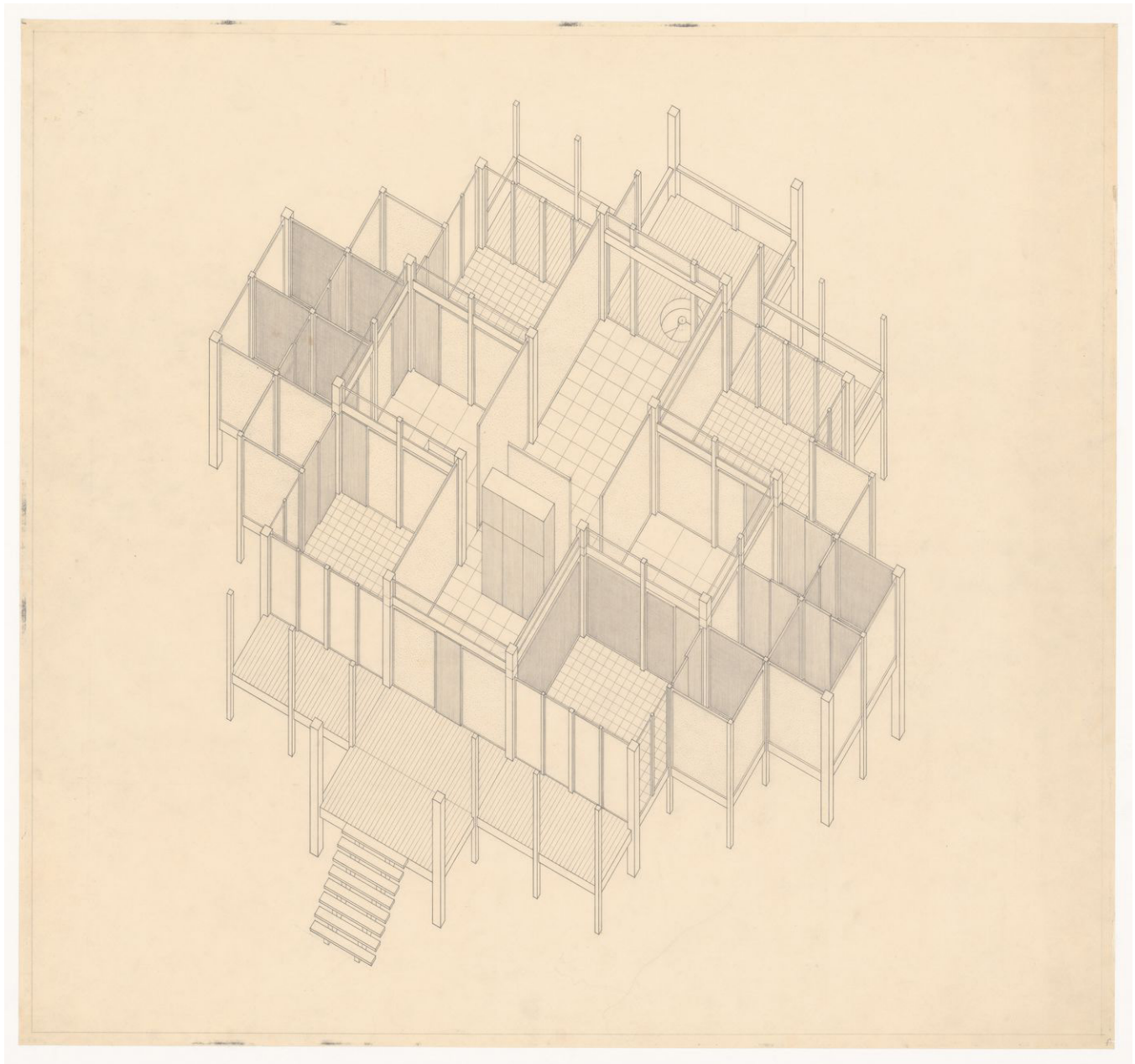


Fig. 25 - Planta principal Casa Texas 1.

Imagen: John Hejduk, Planta de la Casa Texas 1, 1954-1963, grafito y color sobre papel translúcido, 80cm x 84cm, Centro Canadiense de Arquitectura (Código de referencia): DR1998 0047 003 002 ©CCA.

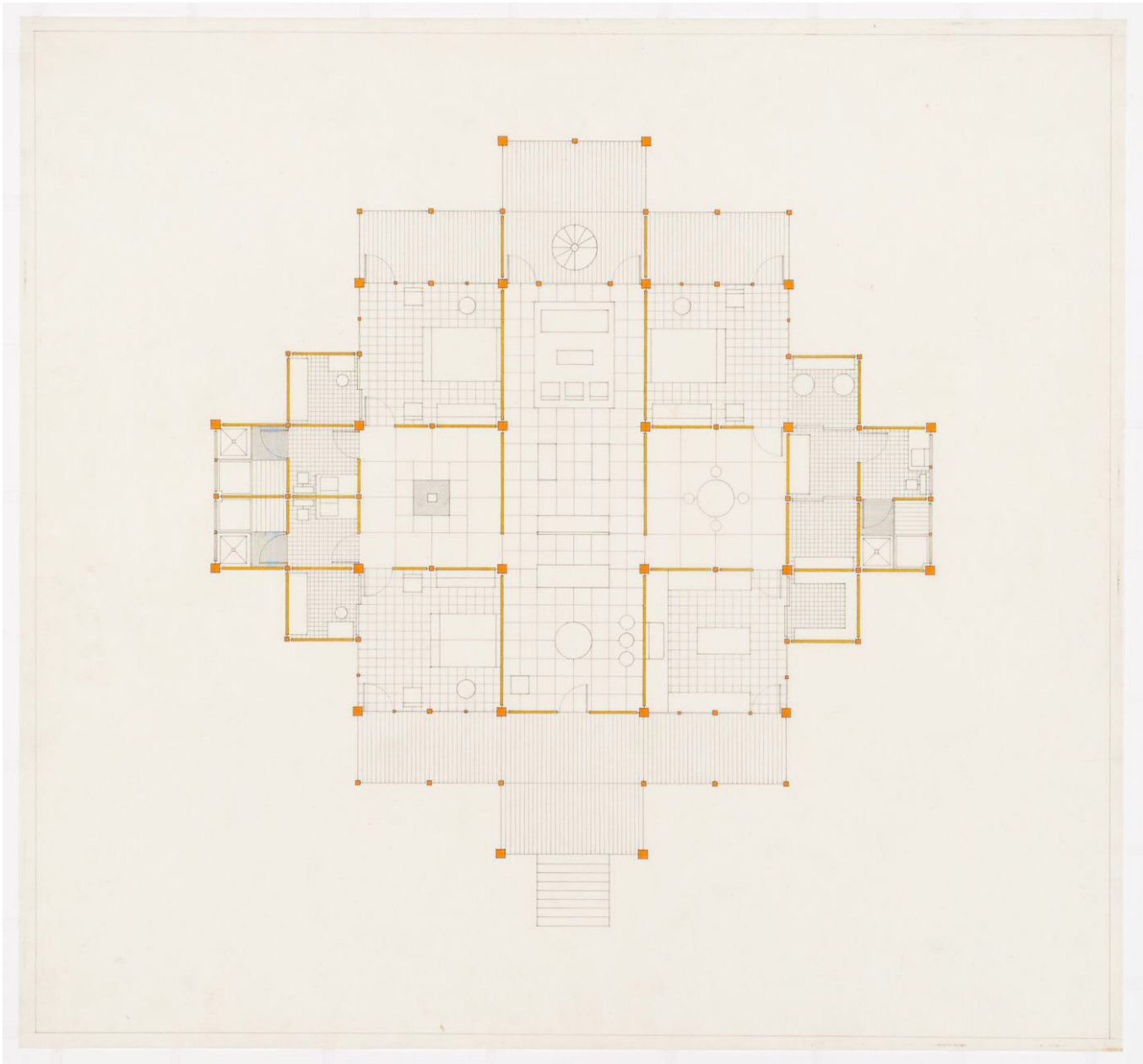


Fig. 26 - Diagrama de las dos agrupaciones de módulos de la Casa Texas 1. (a) Los módulos interiores de tamaño “completo”, que conforman el esquema de los nueve cuadrados. (b) Módulos exteriores de tamaño en relación proporcional con los módulos interiores.

Texas House 1, diagramas de configuración por módulos en la Casa Texas 1 – basado en el plano “DR1998 0047 003 002” (Centro Canadiense de Arquitectura), Fuente: Elaboración propia.

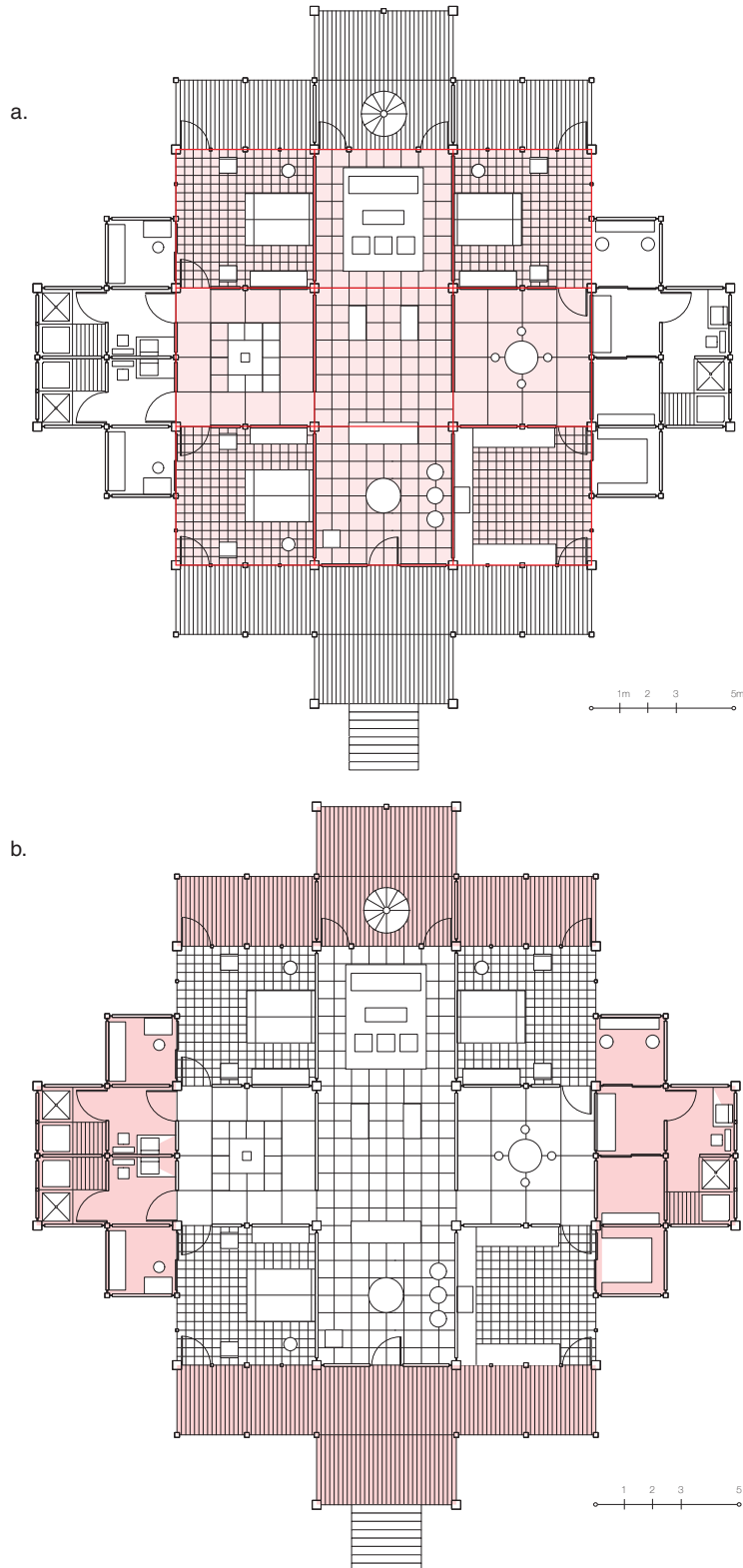


Fig. 27 - Espacios correspondientes a los nueve cuadrados en la Casa Texas 1.

Texas House 1, diagramas de espacios correspondientes a los nueve cuadrados en la Casa Texas 1 – basado en el plano “DR1998 0047 003 008” (Centro Canadiense de Arquitectura), Fuente: Elaboración propia.

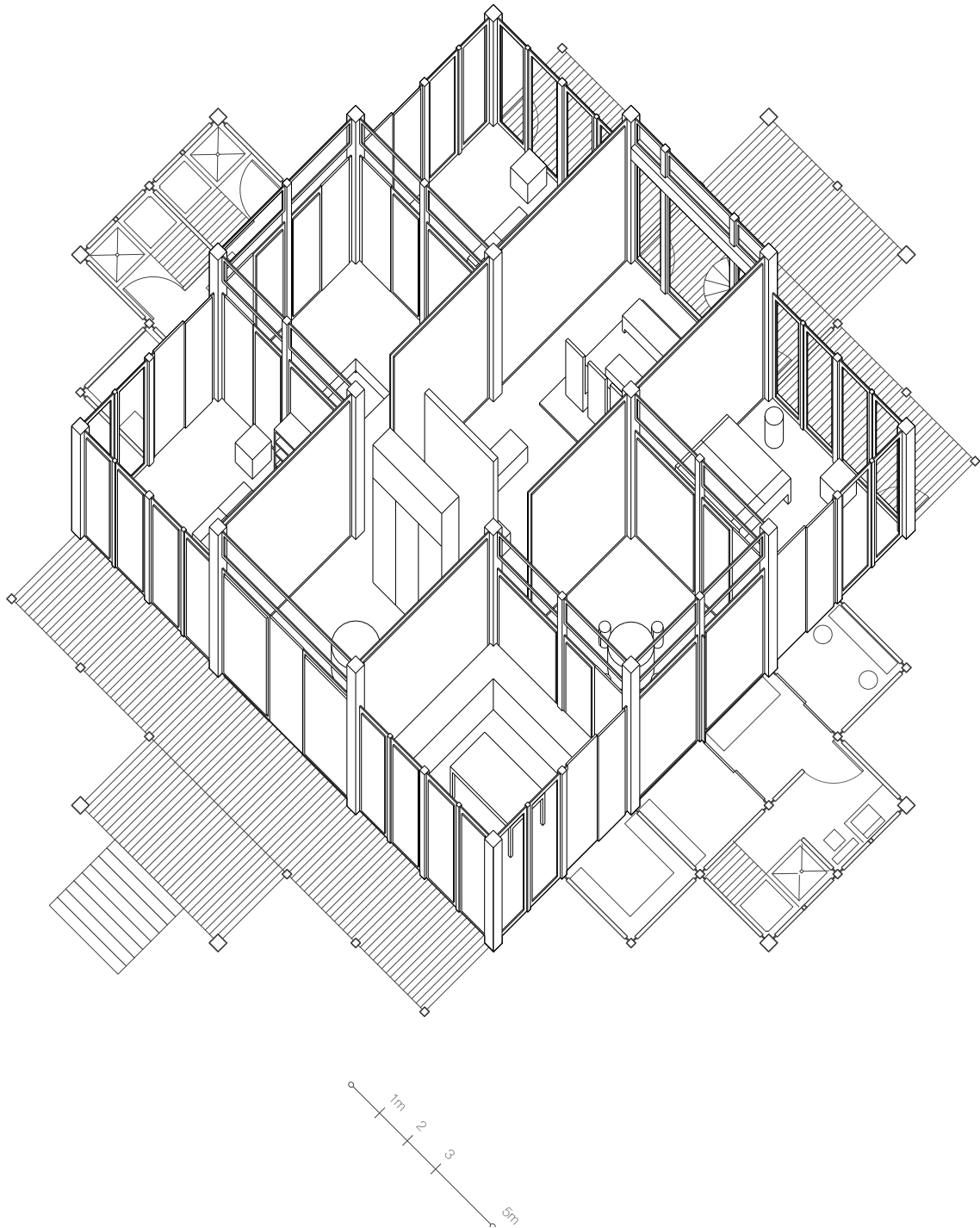


Fig. 28 - Espacios correspondientes a los nueve cuadrados en la Casa Texas 1.

Texas House 1, diagramas de espacios correspondientes a los nueve cuadrados en la Casa Texas 1 – basado en el plano “DR1998 0047 003 008” (Centro Canadiense de Arquitectura), Fuente: Elaboración propia.

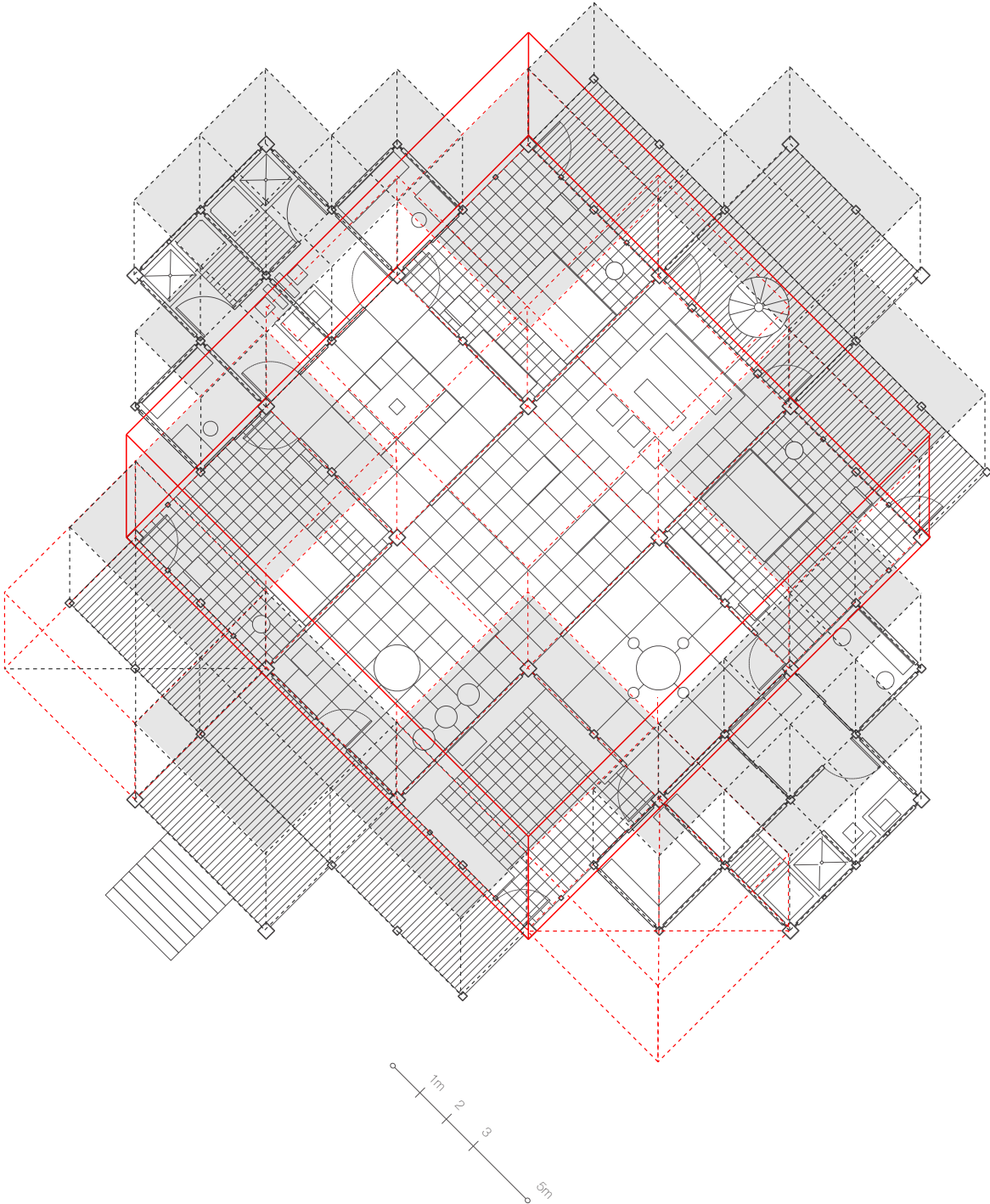


Fig. 29 - Detalle de la planta de la Casa Texas 1, mostrando lógica de posicionamiento y relación entre elementos constructivos.

Texas House 1, detalle de la planta de la Casa Texas 1 – basado en el plano “DR1998 0047 003 002” (Centro Canadiense de Arquitectura), Fuente: Elaboración propia.

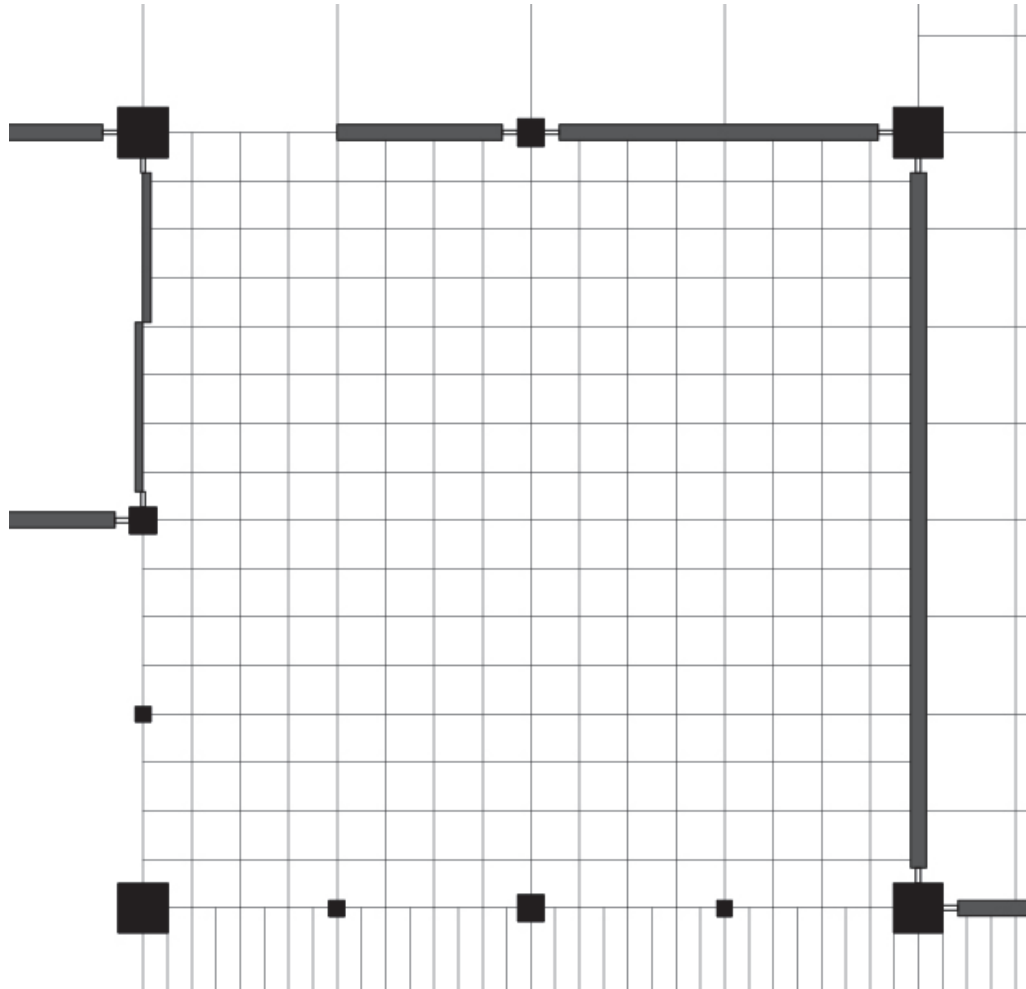


Fig. 30 - Diagrama de posición y tamaño de elementos verticales en la Casa Texas 1. Independiente de la pertenencia de los elementos a módulos exteriores a los nueve cuadrados su posición y determinación de su tamaño sigue la misma lógica. Las columnas de mayor tamaño están espaciadas la longitud total de los módulos. A partir de las mitades de estas distancias están posicionados los otros elementos verticales. Marcando los siguientes ritmos; módulo completo, medio y un cuarto de módulo.

Texas House 1, diagrama explicativo de posición y tamaño de elementos verticales en la Casa Texas 1 – basado en el plano “DR1998 0047 003 008” (Centro Canadiense de Arquitectura), Fuente: Elaboración propia.

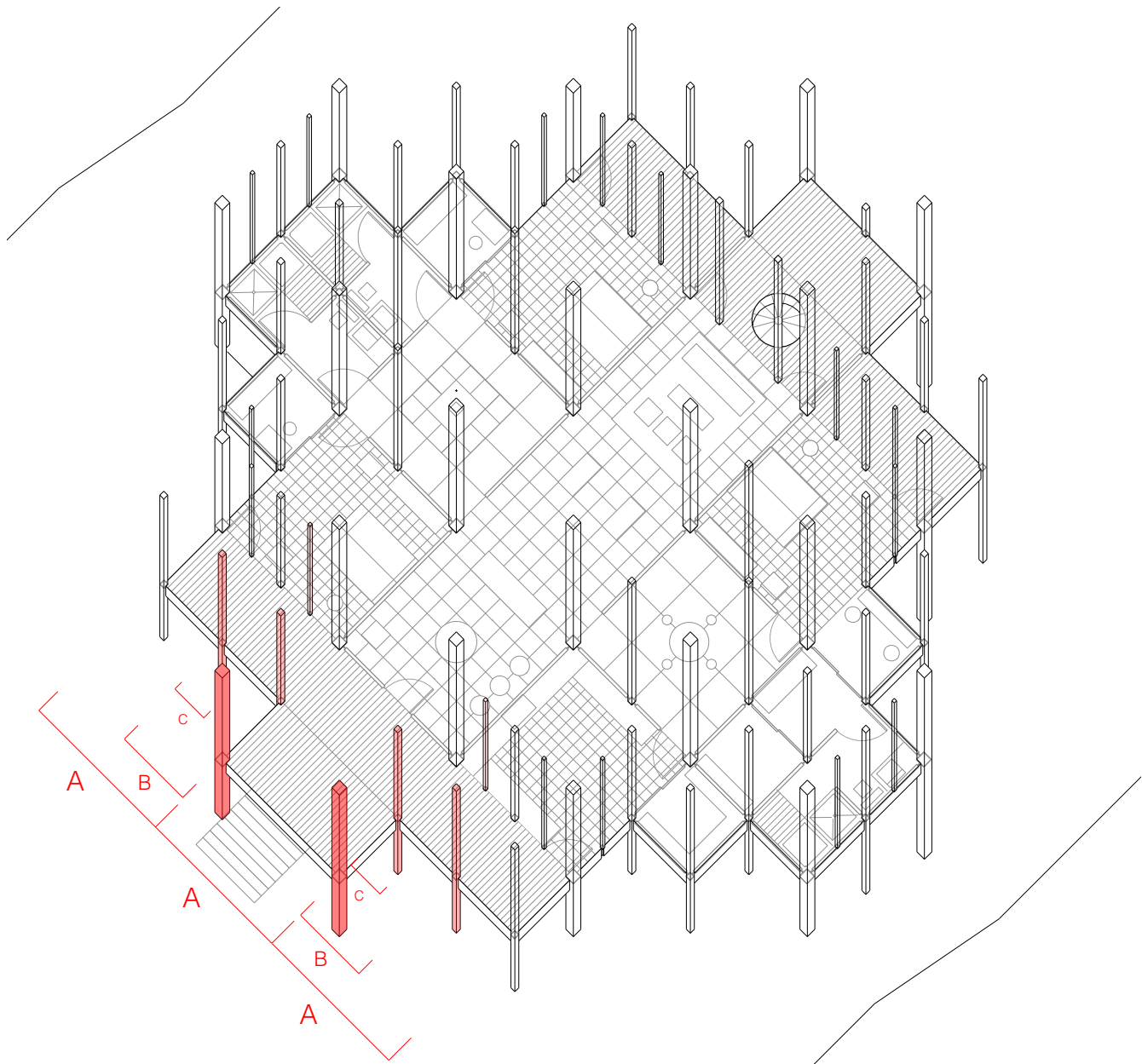


Fig. 31 - Diagrama de variación de altura de la cubierta en la Casa Texas 1.

Texas House 1, diagrama de variación de altura de la cubierta en la Casa Texas 1 – basado en el plando “DR1998 0047 003 008” (Centro Canadiense de Arquitectura), Fuente: Elaboración propia.

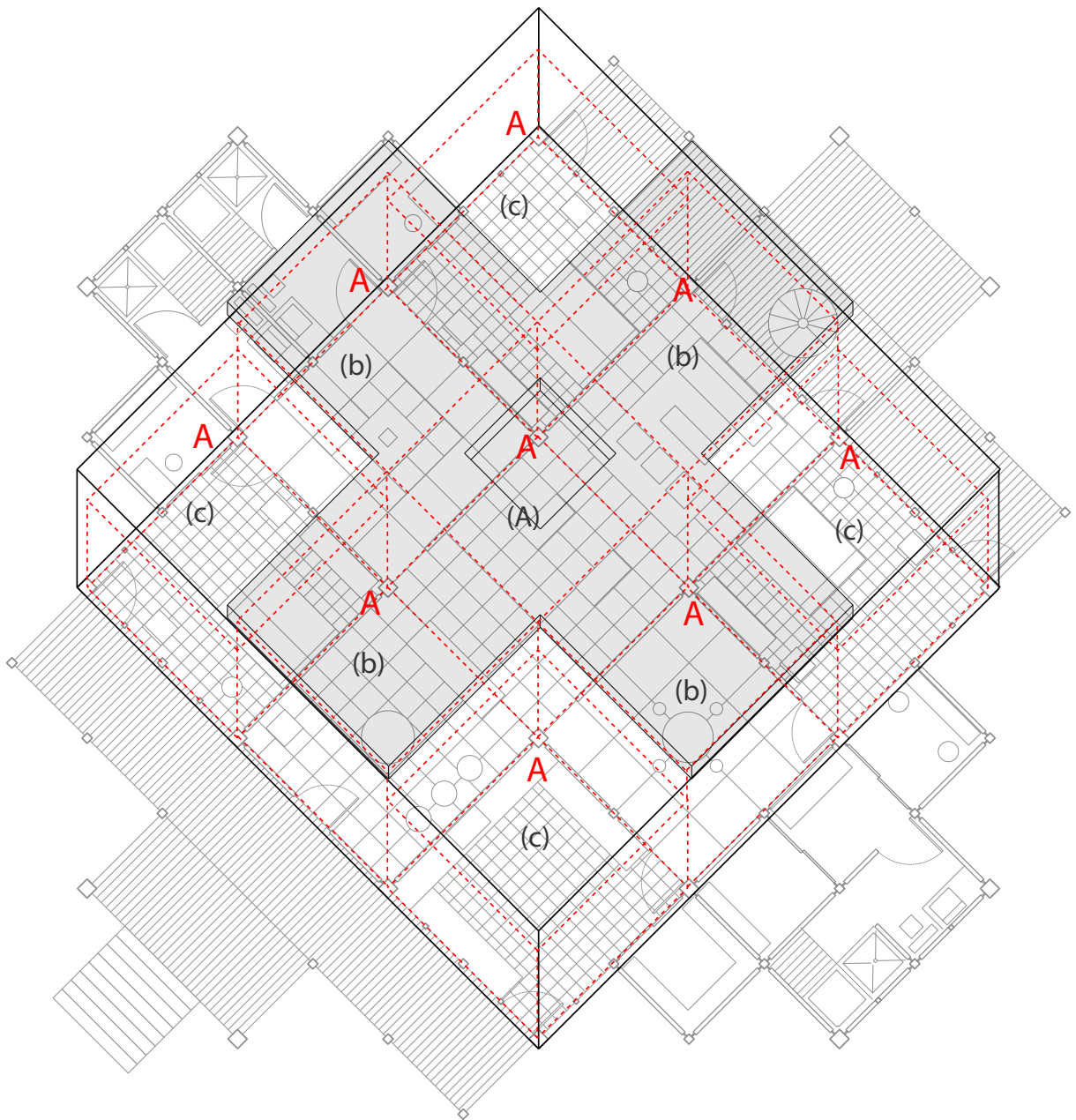


Fig. 32 - Diagrama de continuidad y direccionalidad del espacio en la Casa Texas 1. A pesar de la presencia del mueble exento en la recepción, y del panel divisorio del espacio central existe una evidente continuidad y direccionalidad espacial en los espacios correspondientes con el eje central de la Casa Texas 1. Mientras que en los módulos centrales laterales todos los paneles divisorios son interrumpidos en altura por el triforio en los módulos laterales estos elementos son continuos de piso a techo.

Texas House 1, diagrama de continuidad y direccionalidad del espacio en la Casa Texas 1 – basado en el plano “DR1998 0047 003 008” (Centro Canadiense de Arquitectura), Fuente: Elaboración propia.

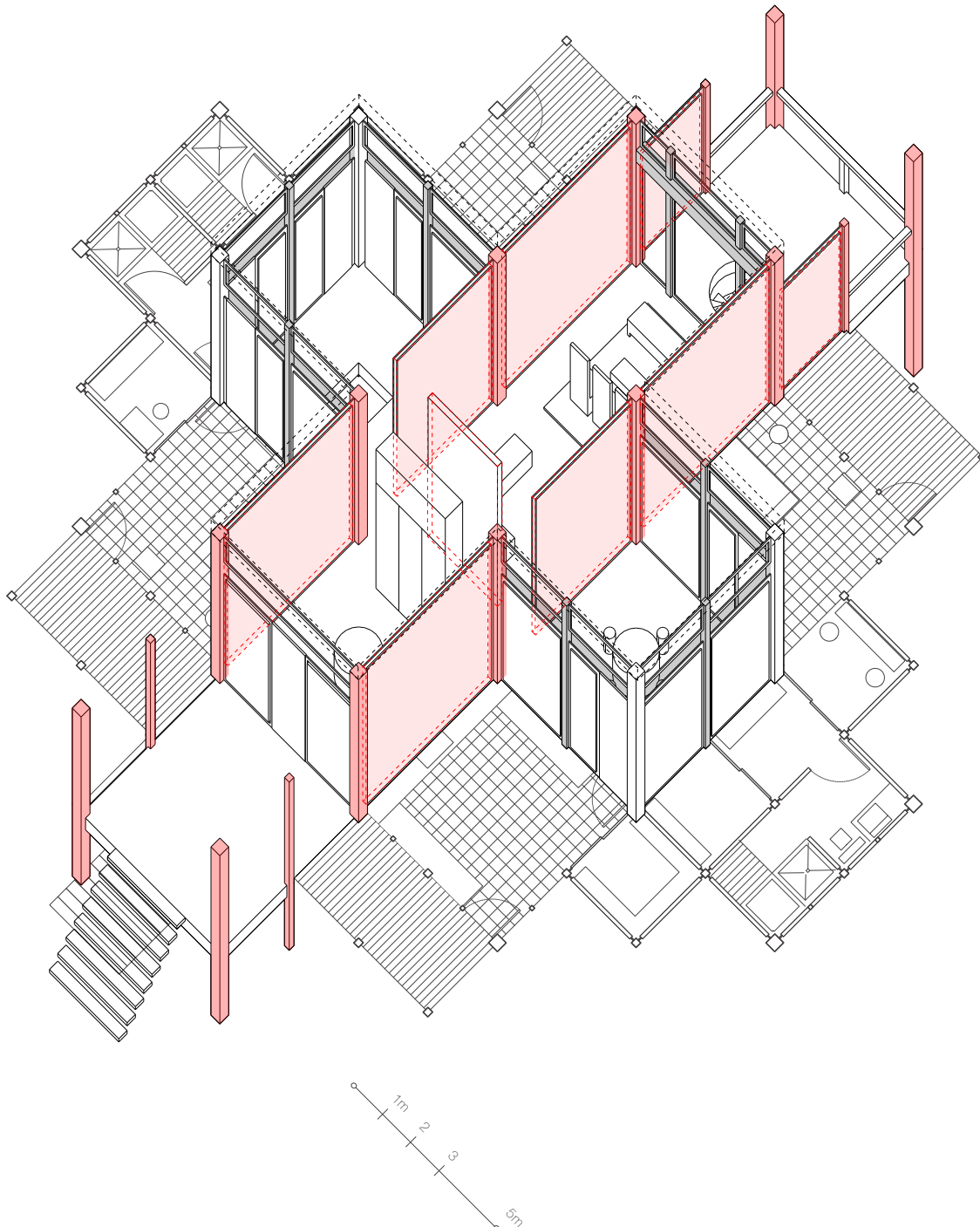


Fig. 33 - Bosquejo de la Casa Texas 1.

Imagen: John Hejduk, Bosquejo de la Casa Texas 1, 1954-1963, tinta sobre papel, 28cm x 22cm, Centro Canadiense de Arquitectura (Código de referencia): DR1998 0047 001 010 ©CCA.

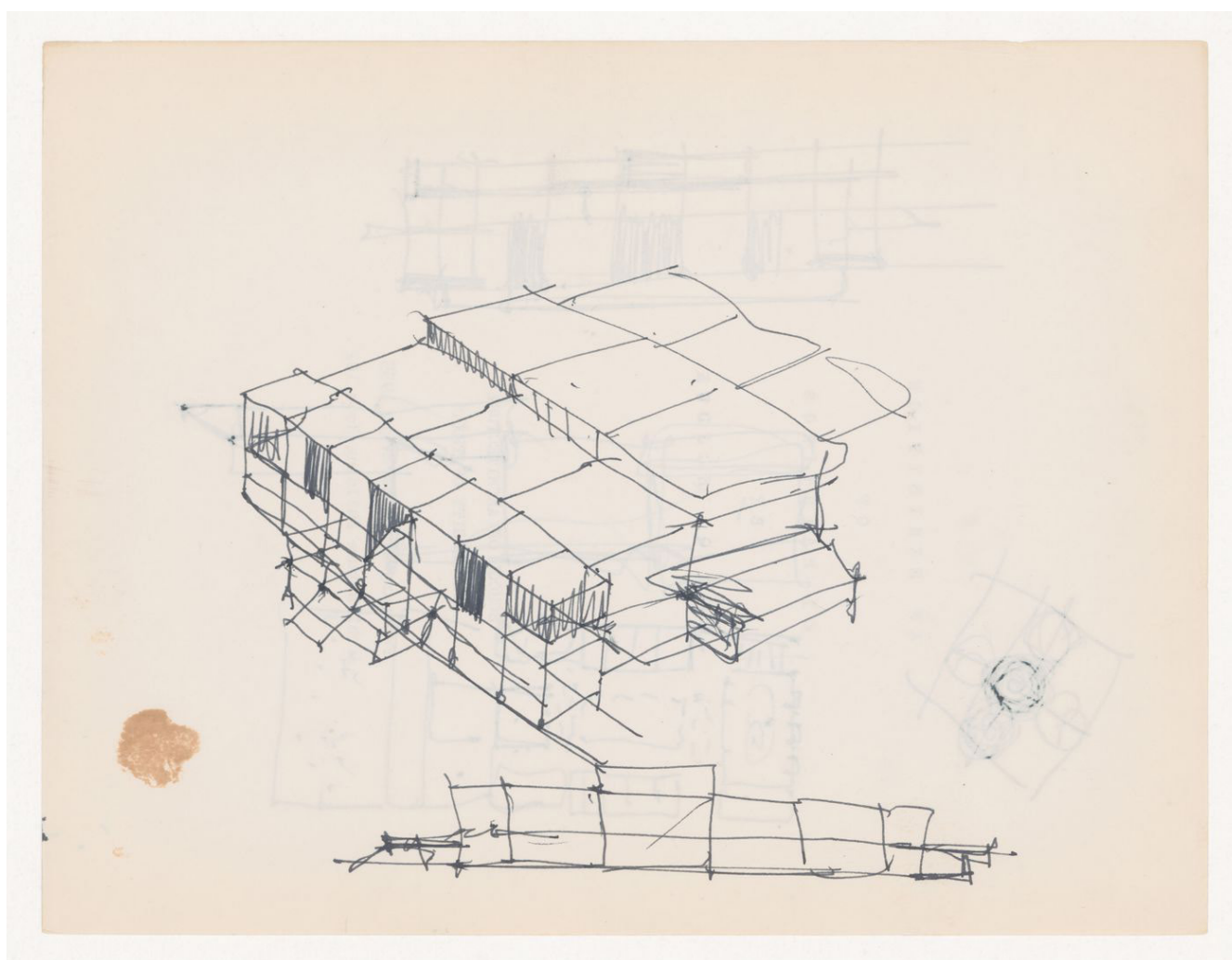


Fig. 34 - Bosquejo de la Casa Texas 1. En este dibujo es evidente la exploración de Hejduk de una estrategia finalmente no utilizada en la Casa Texas 1, la aparición de franjas complementarios al esquema de los nueve cuadrados.

Imagen: John Hejduk, Bosquejo en planta de la Casa Texas 1, 1954-1963, tinta sobre papel, 28cm x 22cm, Centro Canadiense de Arquitectura (Código de referencia): DR1998 0047 001 008 ©CCA.

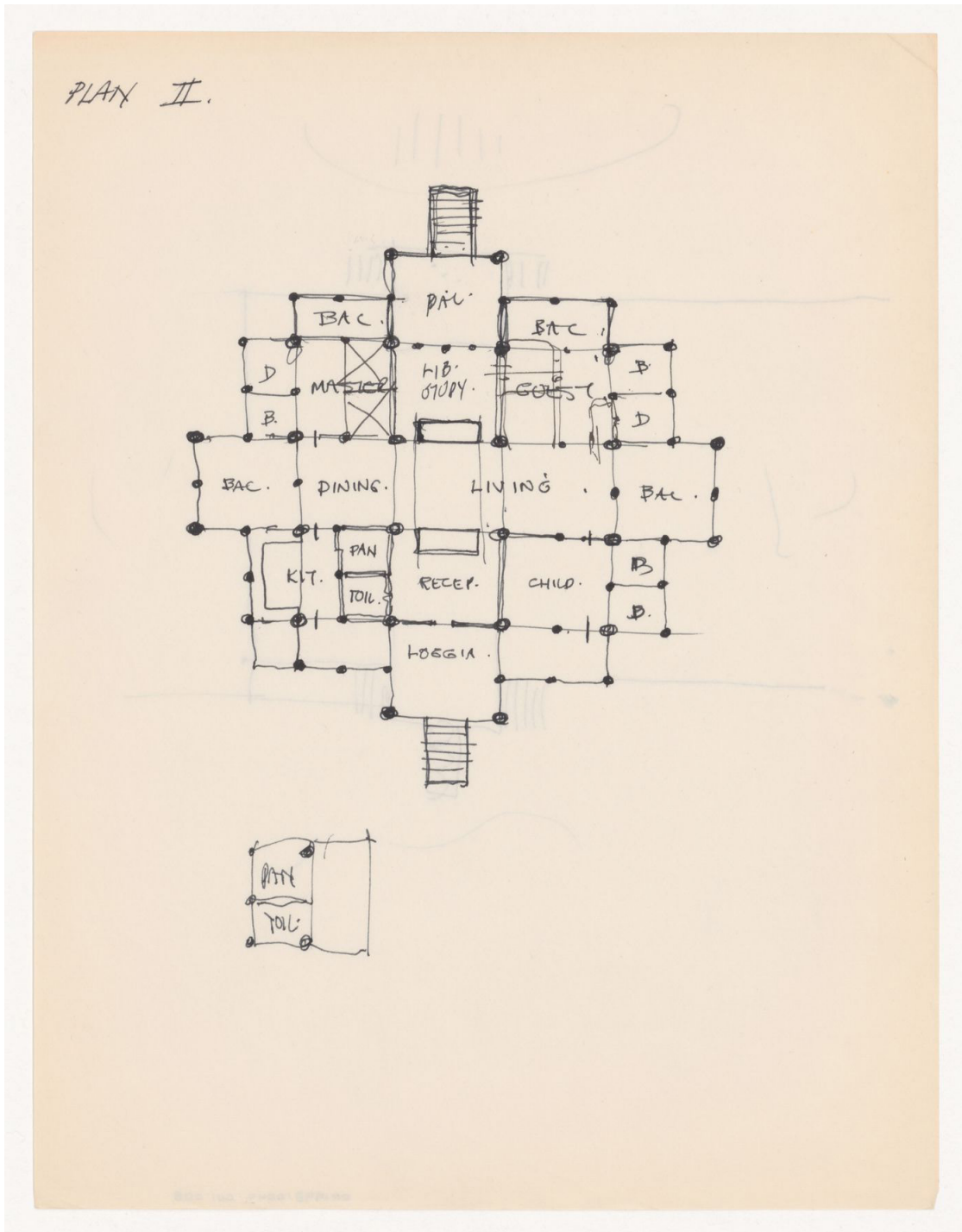


Fig. 35 - Villa Almerico (Rotonda), Andrea Palladio. A pesar de la equivalencia de las cuatro fachadas el interior de la casa presenta modificaciones en la dirección de los espacios esquineros y en el tamaño de las circulaciones correspondientes con los ejes centrales. Esto permite la identificación de dos direcciones diferenciables (longitudinal, transversal) en un sistema en apariencia equivalente en ambos sentidos.

Imagen: Andrea Palladio, Villa Almerico (Villa Rotonda), I quattro libri dell'architettura di Andrea Palladio (Libro 2, p. 19), 1570, xilografía, 28.8 x 19.5 cm, Museo Metropolitano de arte, Nueva York, EE. UU. <https://www.metmuseum.org/art/collection/search/698054>. ©Dominio público.

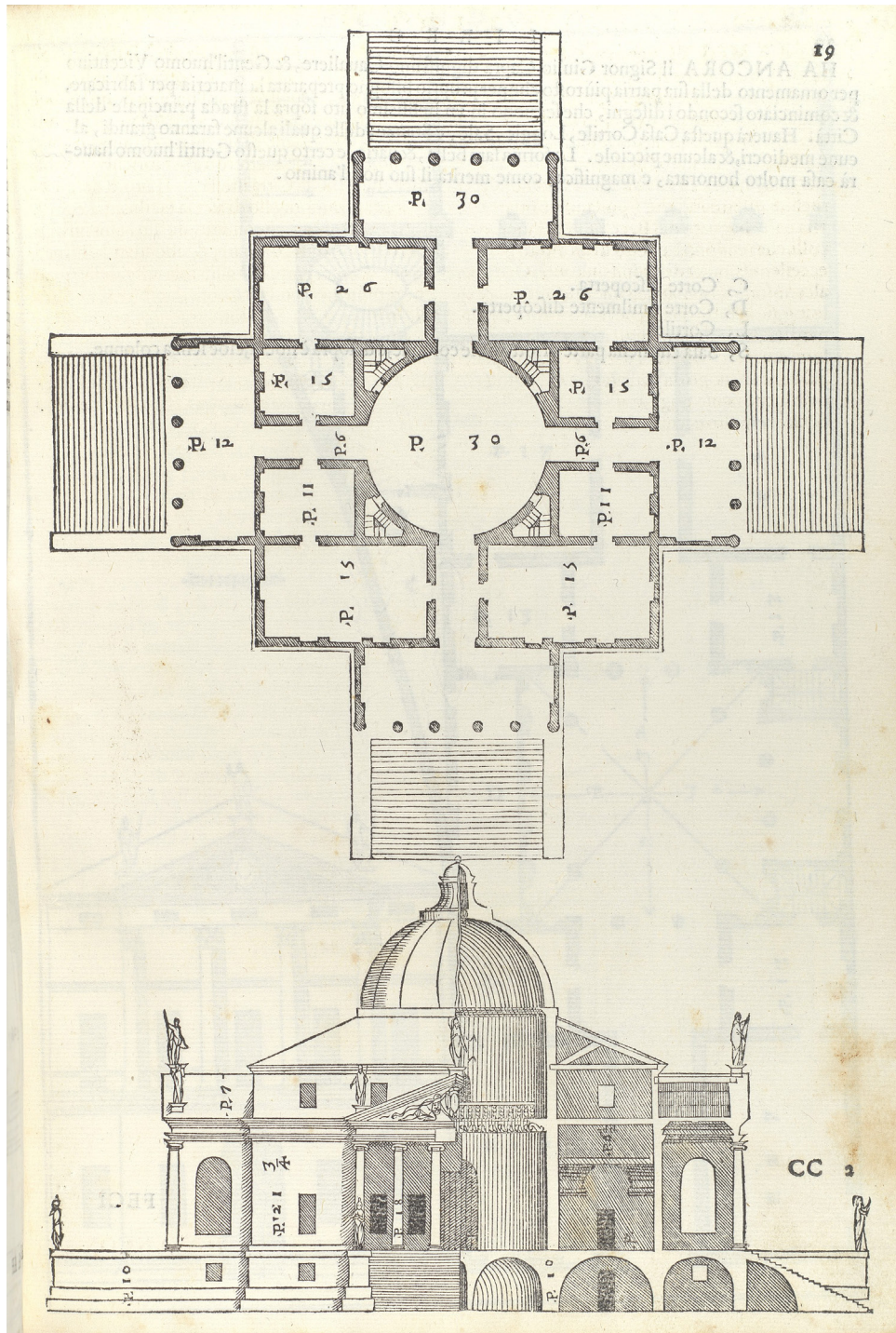


Fig. 36 - Planta inferior Casa Texas 1. Únicamente están representados los elementos verticales y el espacio central cerrado. Los elementos verticales presentes son los correspondientes a las distancias de módulos completos y medio módulo.

Imagen: John Hejduk, Planta Casa Texas 1, 1954-1963, grafito y lápiz de color sobre papel translúcido, 75,5 × 81,5 cm, Centro Canadiense de Arquitectura (Código de referencia): DR1998 0047 003 001 ©CCA.

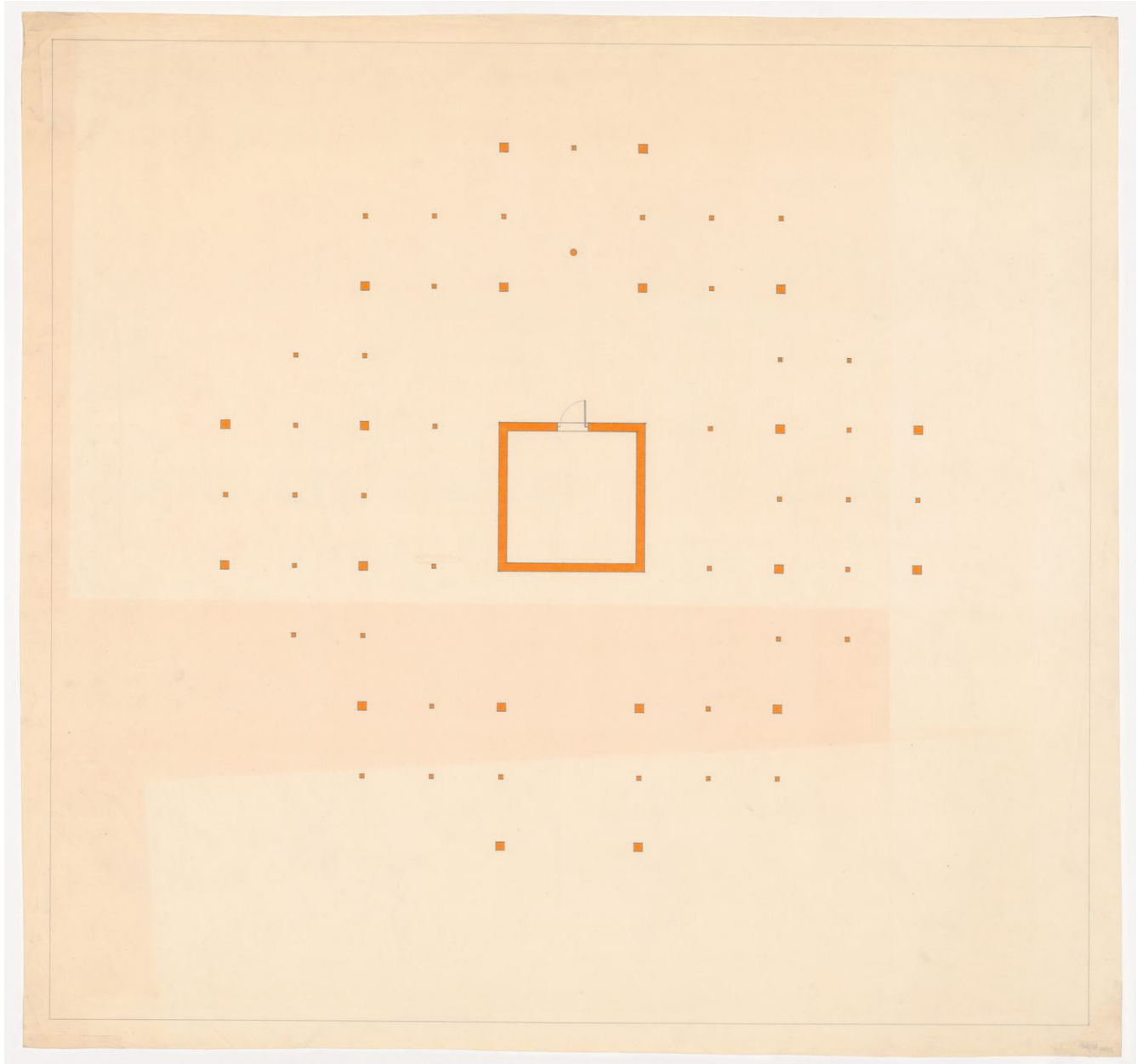


Fig. 37 - Alzado lateral, Casa Texas 1.

Texas House 1, alzado lateral Casa Texas 1 – basado en el plano “DR1998 0047 003 008” (Centro Canadiense de Arquitectura), Fuente: Elaboración propia.

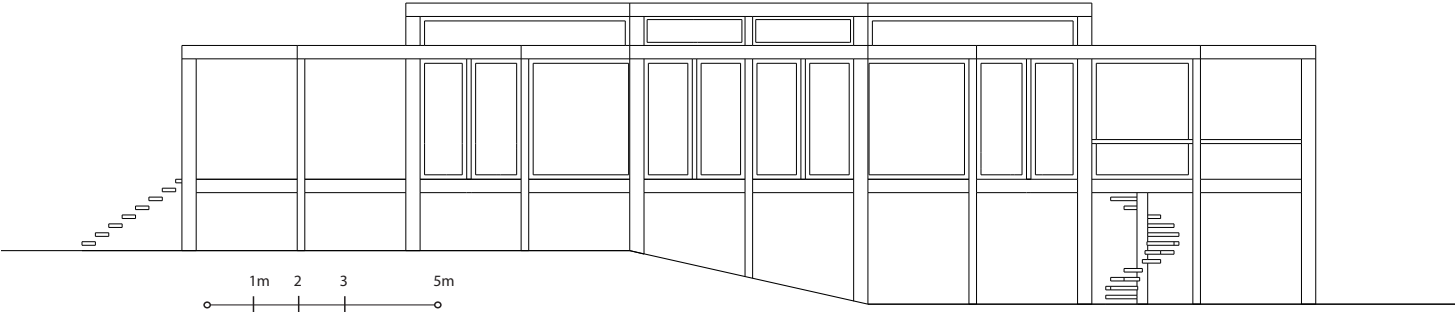


Fig. 38 - Diagrama de continuidad espacial y centro inferior ocupado.

Texas House 1, Diagrama de continuidad espacial y centro inferior ocupado. Casa Texas 1 – basado en el plano “DR1998 0047 003 008” (Centro Canadiense de Arquitectura), Fuente: Elaboración propia.

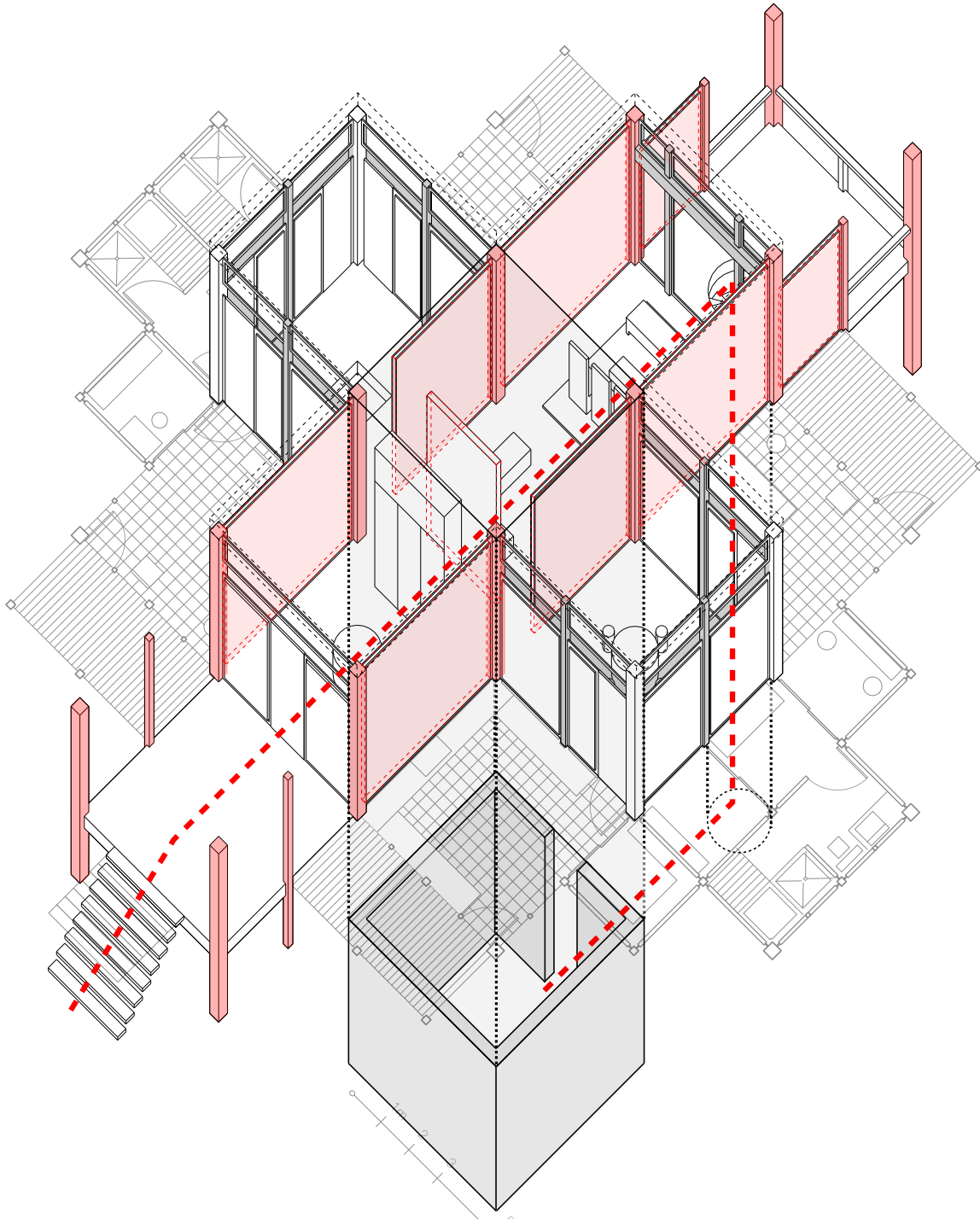


Fig. 39 - Casa de los guardas agrícolas, plancha 254.

Imagen: Claude-Nicolas Ledoux, "Maison des Gardes Agricoles" En L'architecture considérée sous le rapport de l'art, des moeurs et de la législation (chez l'auteur, 1804) plancha 254. Archivo de la Biblioteca Nacional de Francia. Bibliothèque nationale de France, département Littérature et art .<https://gallica.bnf.fr/ark:/12148/bpt6k857284.image>

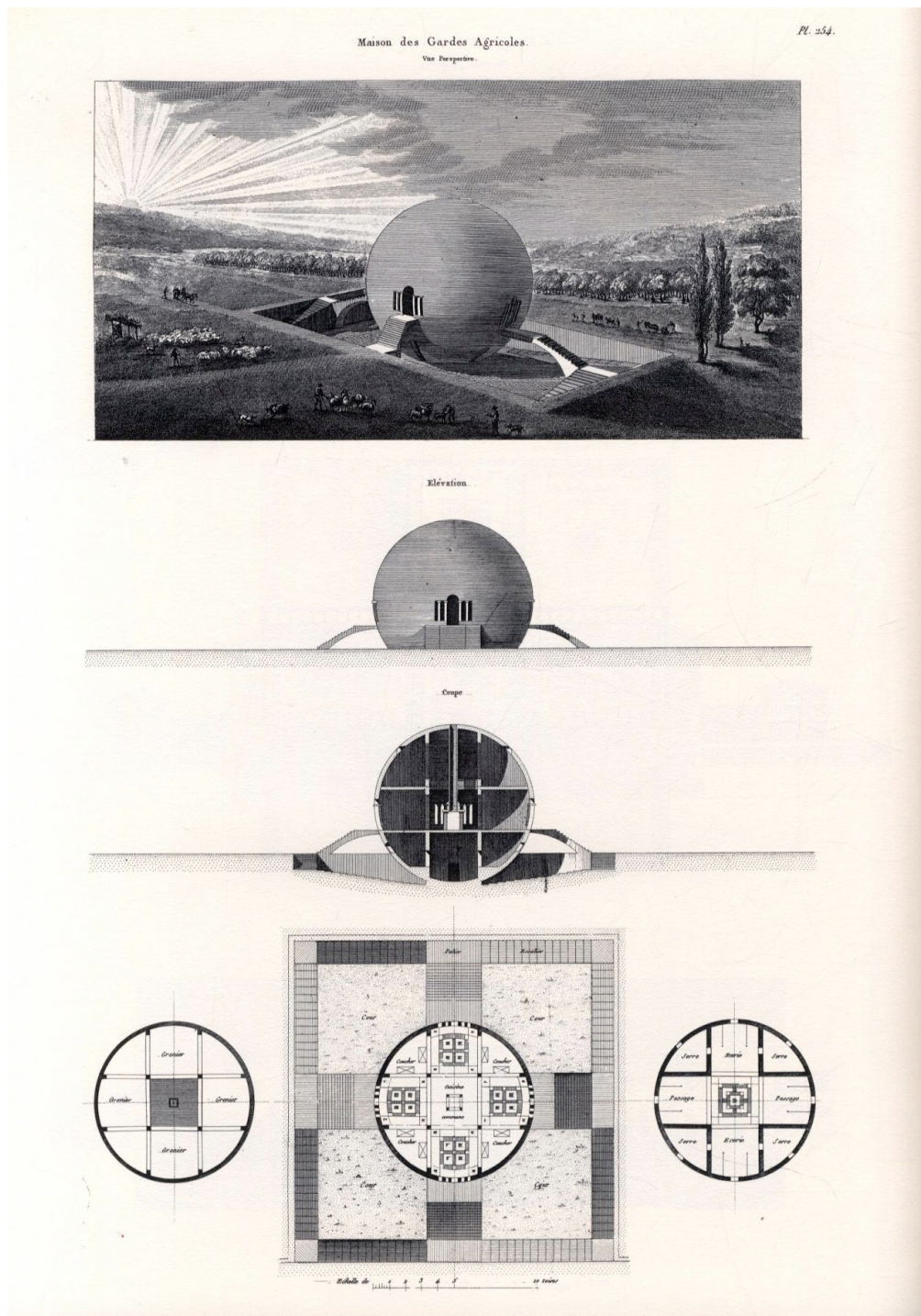


Fig. 40 - Casa de los guardas agrícolas, perspectiva, plancha 254.

Imagen: Claude-Nicolas Ledoux, "Vue perspective, Maison des Gardes Agricoles" En L'architecture considérée sous le rapport de l'art, des moeurs et de la législation (chez l'auteur, 1804) plancha 254. Archivo de la Biblioteca Nacional de Francia. Bibliothèque nationale de France, département Littérature et art .<https://gallica.bnf.fr/ark:/12148/bpt6k857284.image>

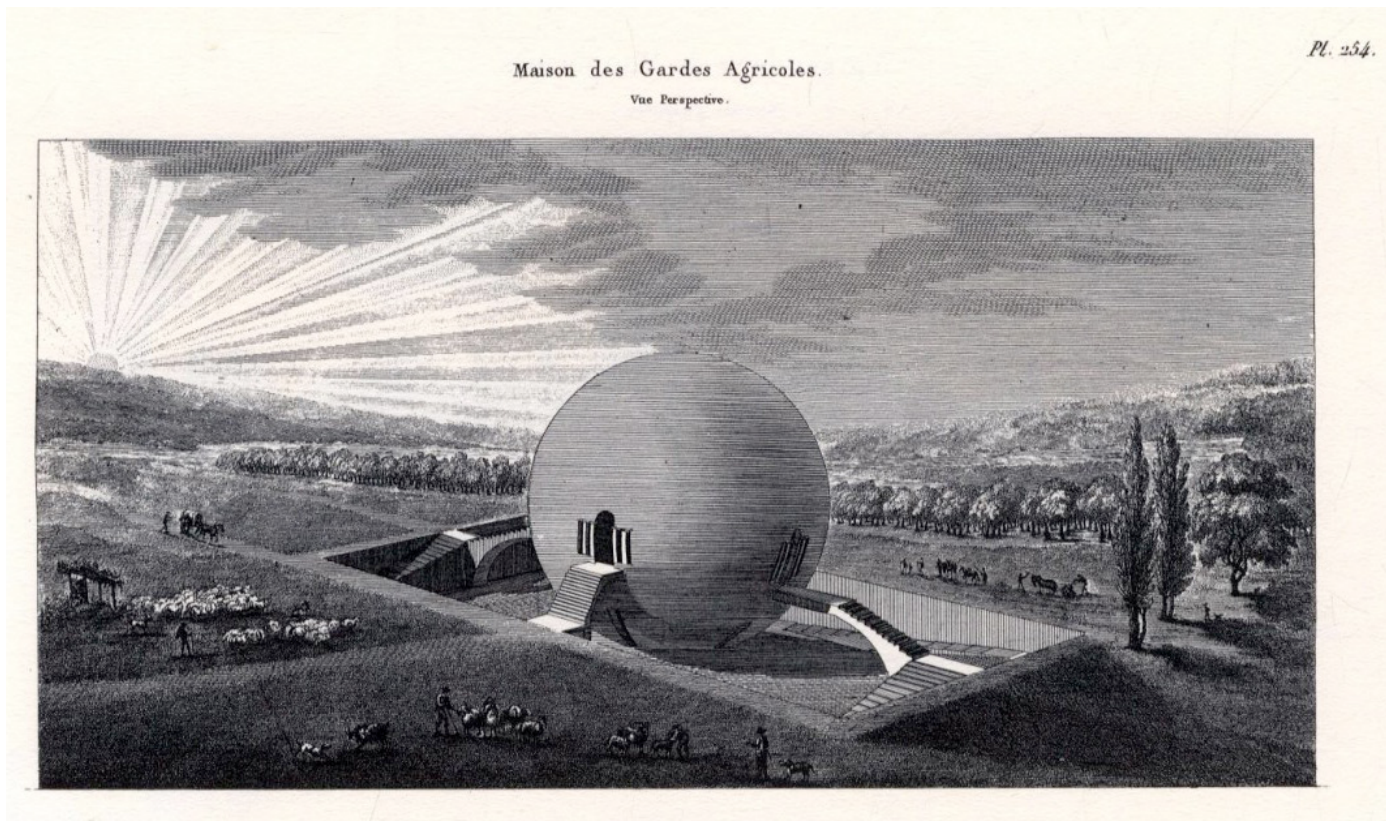


Fig. 41 - Casa de los guardas agrícolas, plantas, plancha 254. En las tres plantas el centro es reconocido como el espacio más importante de la composición, evidente por el posicionamiento de la cocina. Pero no hay ninguna variación a las reglas de la composición espacial. A pesar del reconocimiento de la actividad dispuesta en este espacio como actividad “central” de la casa esta condición no modifica la lógica de subdivisión espacial del interior.

Imagen: Claude-Nicolas Ledoux, “Maison des Gardes Agricoles” En L’architecture considérée sous le rapport de l’art, des moeurs et de la législation (chez l’auteur, 1804) plancha 254. Archivo de la Biblioteca Nacional de Francia. Bibliothèque nationale de France, département Littérature et art .<https://gallica.bnf.fr/ark:/12148/bpt6k857284.image>

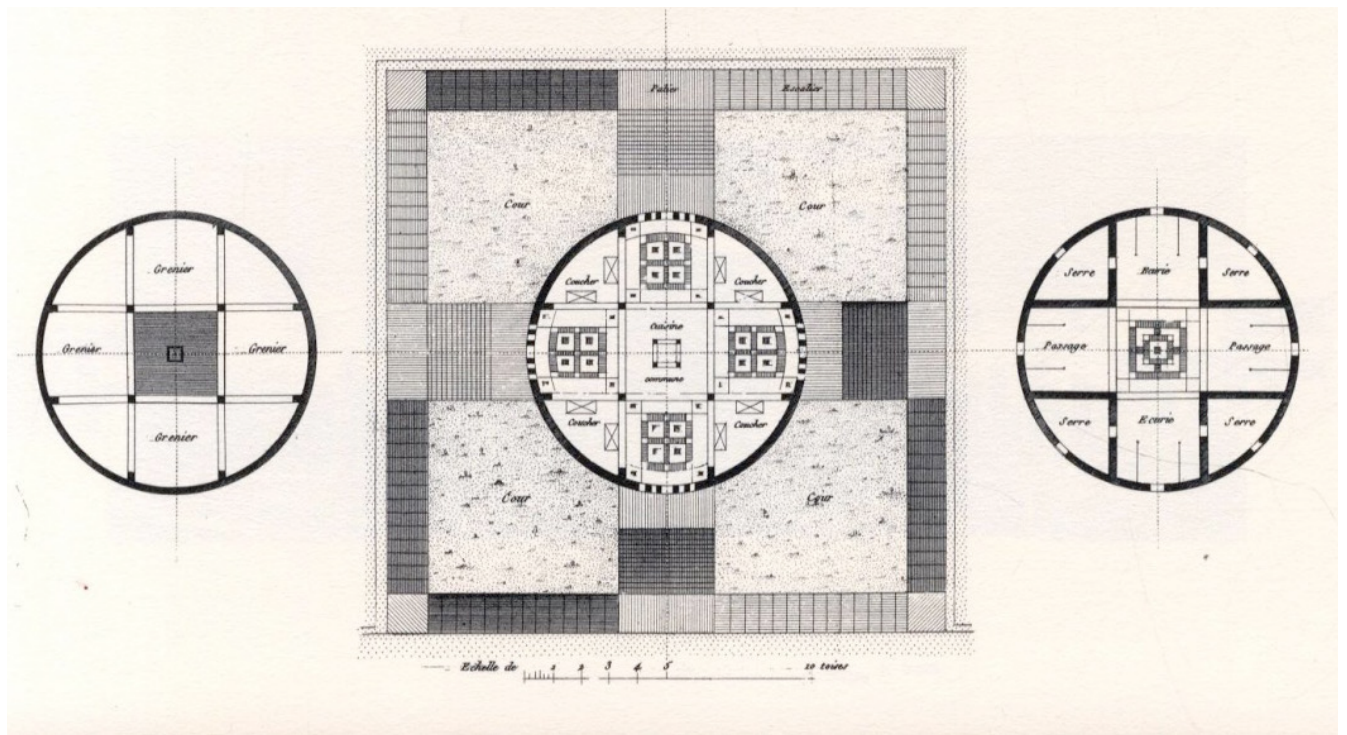


Fig. 42 - Casa de los guardas agrícolas, alzado y corte, plancha 254.

Imagen: Claude-Nicolas Ledoux, "élévation et coupe, Maison des Gardes Agricoles" En L'architecture considérée sous le rapport de l'art, des moeurs et de la législation (chez l'auteur, 1804) plancha 254. Archivo de la Biblioteca Nacional de Francia. Bibliothèque nationale de France, département Littérature et art .<https://gallica.bnf.fr/ark:/12148/bpt6k857284.image>

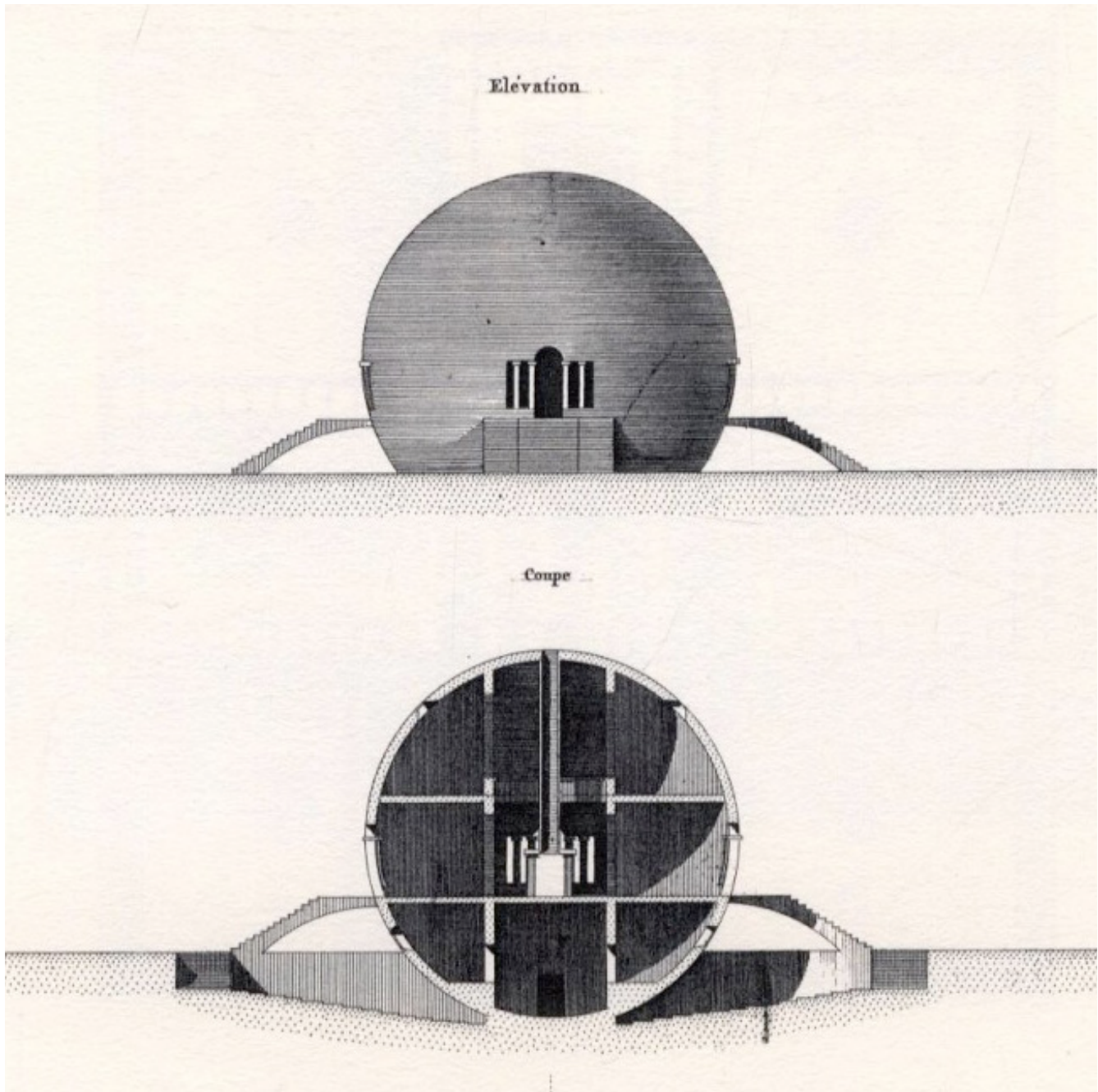


Fig. 43 - Corte y alzado de la Villa Almerico (Rotonda) de Andrea Palladio. Este grabado de Bernard Picart ilustra una reedición inglesa por Giacomo Leoni.

Imagen: Andrea Palladio (grabador: Bernard Picart), Villa Almerico (Villa Rotonda), I quattro libri dell'architettura di Andrea Palladio (Libro 2, p. 19), 1570 (esta edición: 1715), grabado, 31.8 × 22 cm, Museo Metropolitano de arte, Nueva York, EE. UU. <https://www.metmuseum.org/art/collection/search/698058>. ©Dominio público.

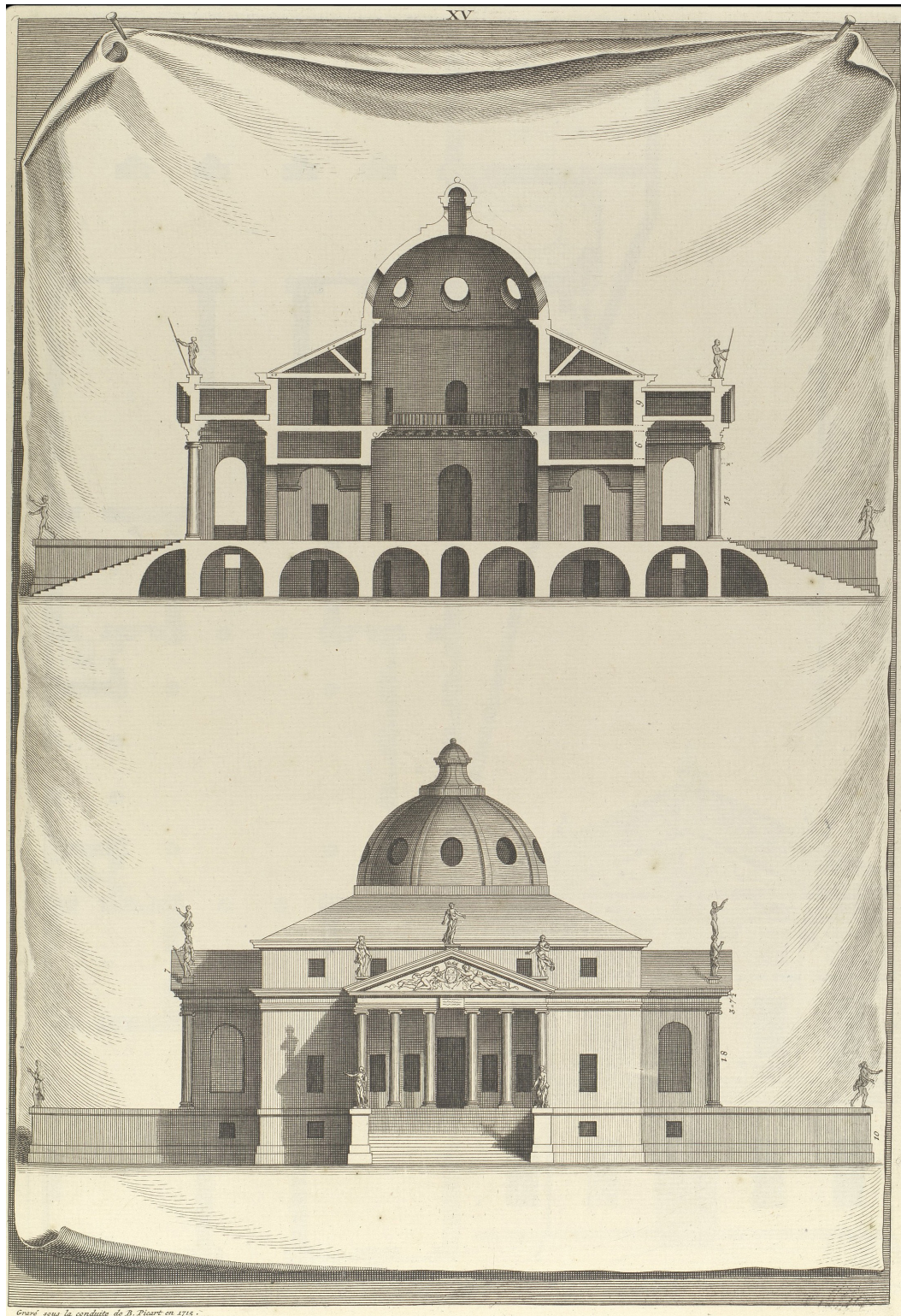


Fig. 44 - Fachada de acceso de la Casa Texas 7.

Texas House 7, Fachada de acceso Casa Texas 7 – basado en el plano “DR1998 0053 009” (Centro Canadiense de Arquitectura), Fuente: Elaboración propia.

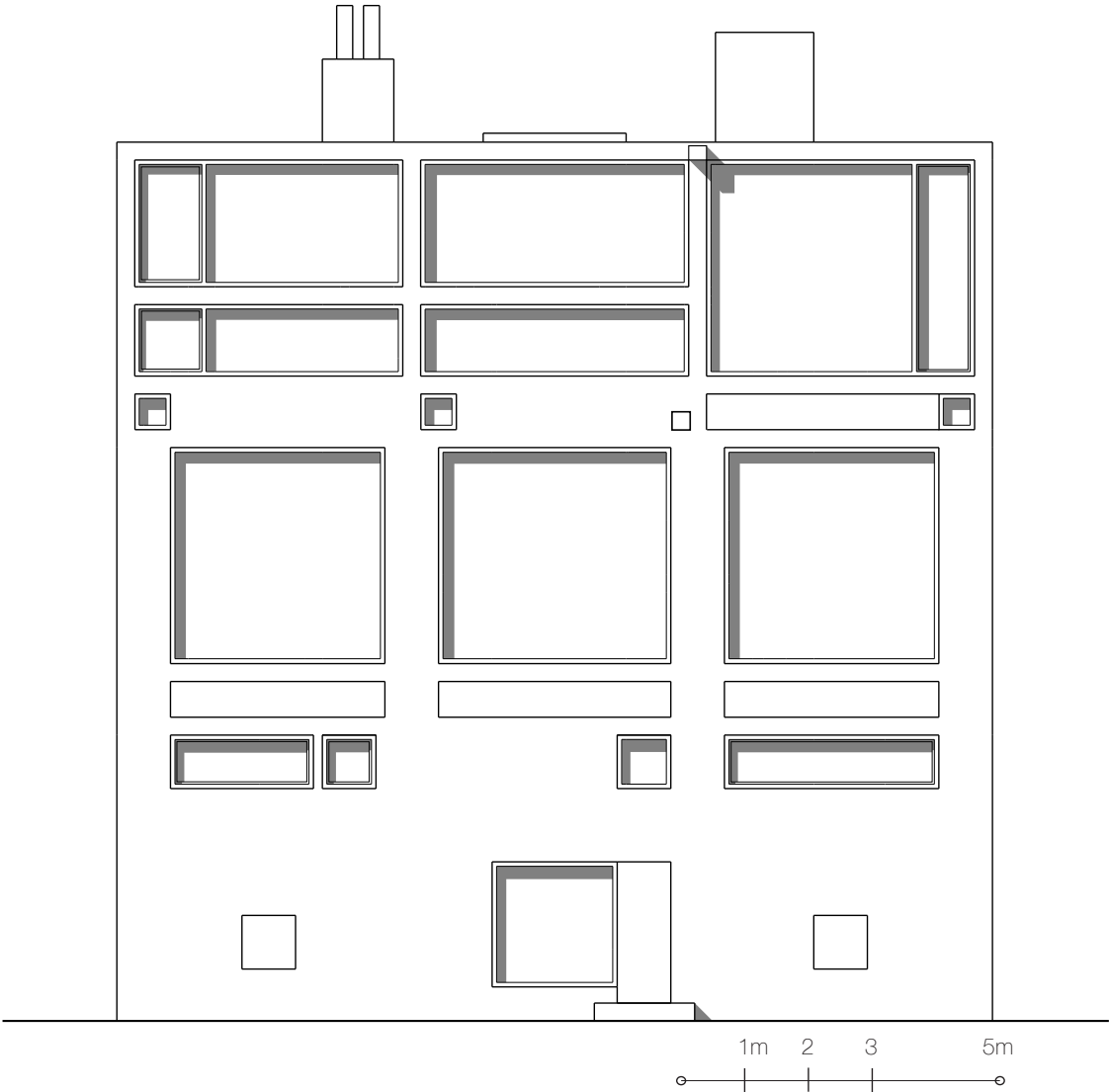


Fig. 45 - Axonometría Casa Texas 7.

Imagen: John Hejduk, axonometría Casa Texas 7, 1954-1963, grafito sobre papel translúcido, 77 x 92cm, Centro Canadiense de Arquitectura (Código de referencia): DR1998 0053 009 ©CCA.

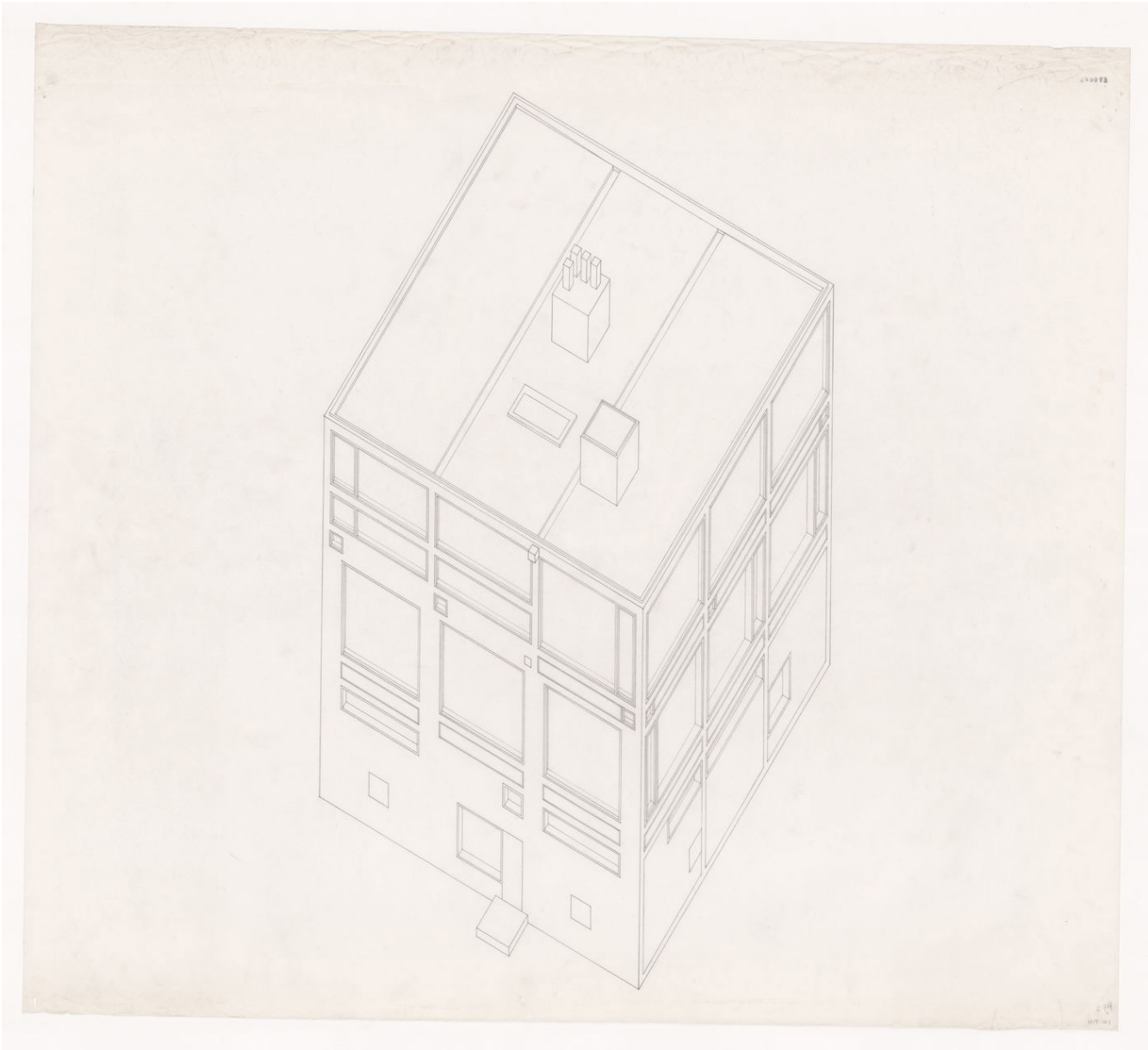


Fig. 46 - Retículas tridimensionales de Cesare Cesariano.

Imagen: Cesare Cesariano, Retículas tridimensionales, imagen referenciada en: Tzoniz, Alexander, y Liane Lefavre. "Taxis: The Framework". En The Poetics of Order, 5a ed., 9-35. Cambridge, Massachusetts: MIT Press, 1986.

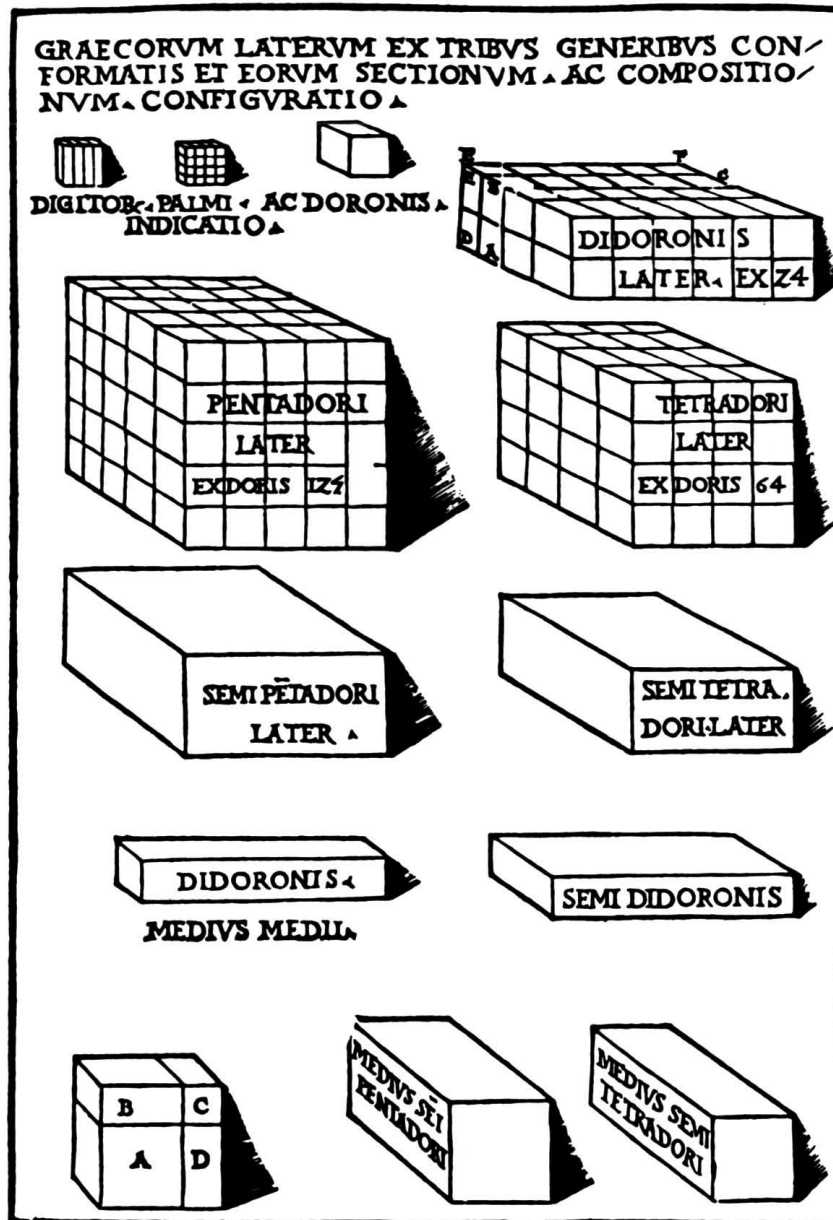


Fig. 47 - Diagrama sobre estructuración de fachadas en la Casa Texas 7. En la Casa Texas 7 las fachadas asumen autonomía como elementos proyectuales. En las Casas Texas 1 y 3 las fachadas están conformadas por la repetición de elementos utilizados en el interior del proyecto, sean estos elementos estructurales, divisorios o paneles de vidrio. A diferencia de la Casa Texas 7 en donde las fachadas, en sí, tienen una relación con las condiciones presentes en el resto de la casa: el esquema formal de los nueve cuadrados, la transformación de los elementos estructurales en altura y la direccionalidad de estos elementos.

Texas House 7, diagrama sobre estructuración de fachadas en la Casa Texas 7 – basado en los planos “DR1998 0053 009” y “DR1998 0053 008” y “DR1998 0053 007” (Centro Canadiense de Arquitectura), Fuente: Elaboración propia.

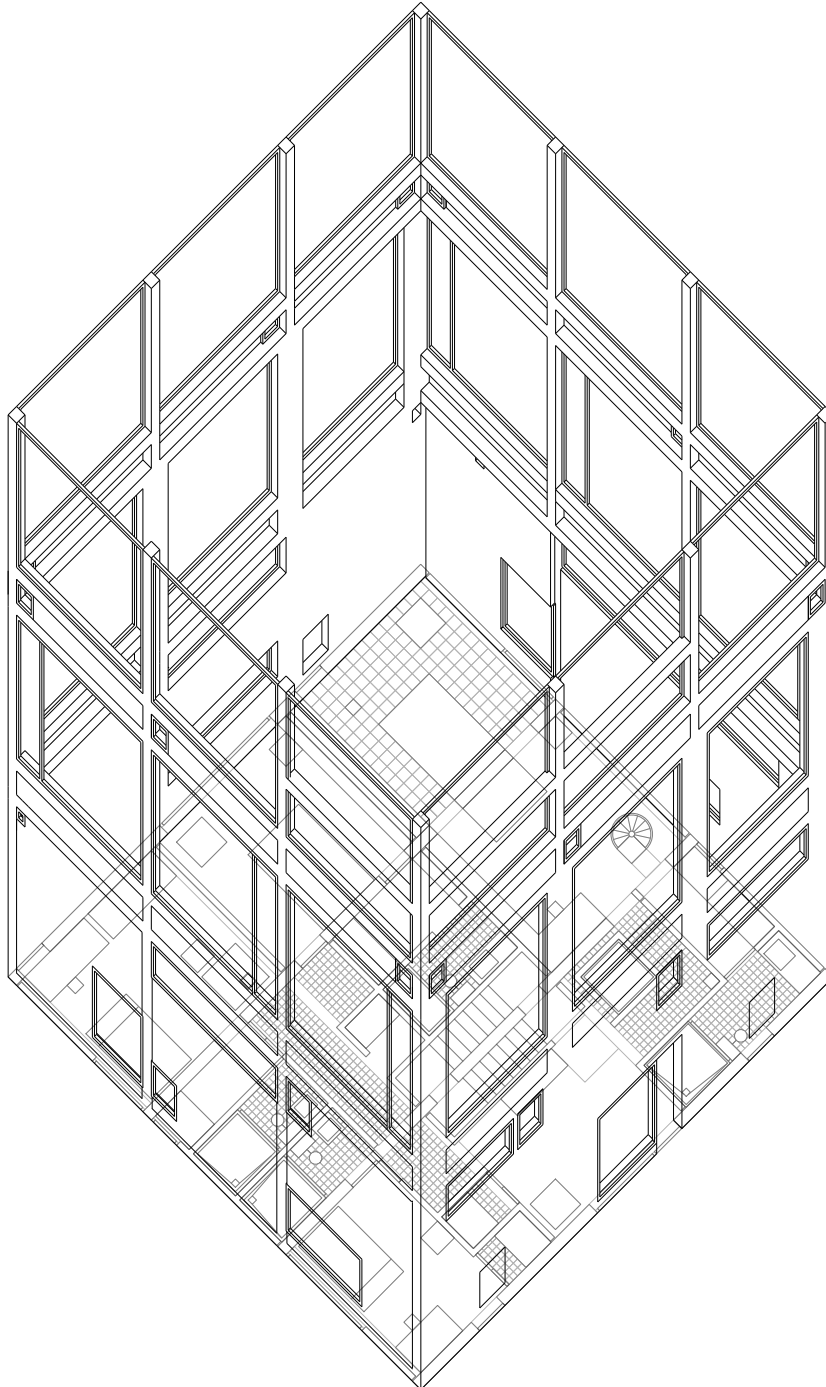
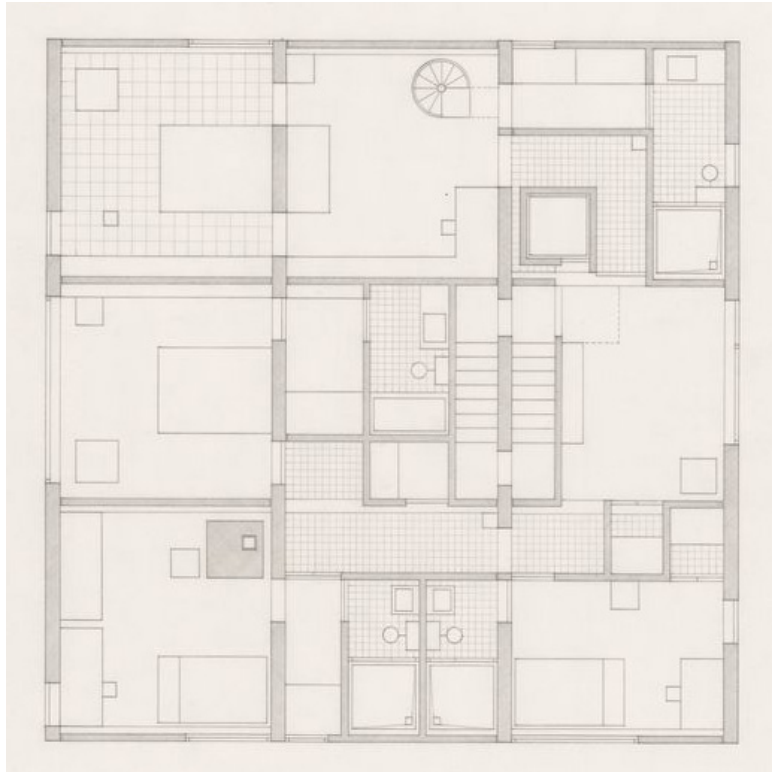


Fig. 48 - a. Imagen: John Hejduk, Planta Casa Texas 7, nivel 1, 1954-1963, grafito sobre papel translúcido, 77 x 92cm, Centro Canadiense de Arquitectura (Código de referencia): DR1998 0053 008 ©CCA.

b. Imagen: John Hejduk, Planta Casa Texas 7, nivel 2, 1954-1963, grafito sobre papel translúcido, 77 x 92cm, Centro Canadiense de Arquitectura (Código de referencia): DR1998 0053 007 ©CCA.

a.



b.

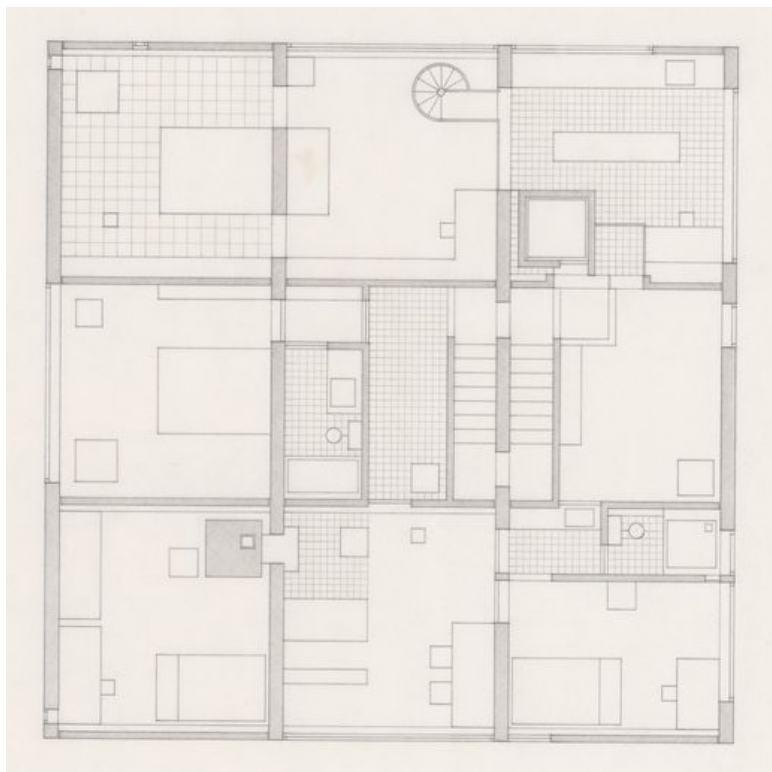


Fig. 49 - Axonometría de los pisos 1 y 2.

Texas House 7, axonometría de los pisos 1 y 2 – basado en los planos “DR1998 0053 009” y “DR1998 0053 008” y “DR1998 0053 007” (Centro Canadiense de Arquitectura), Fuente: Elaboración propia.

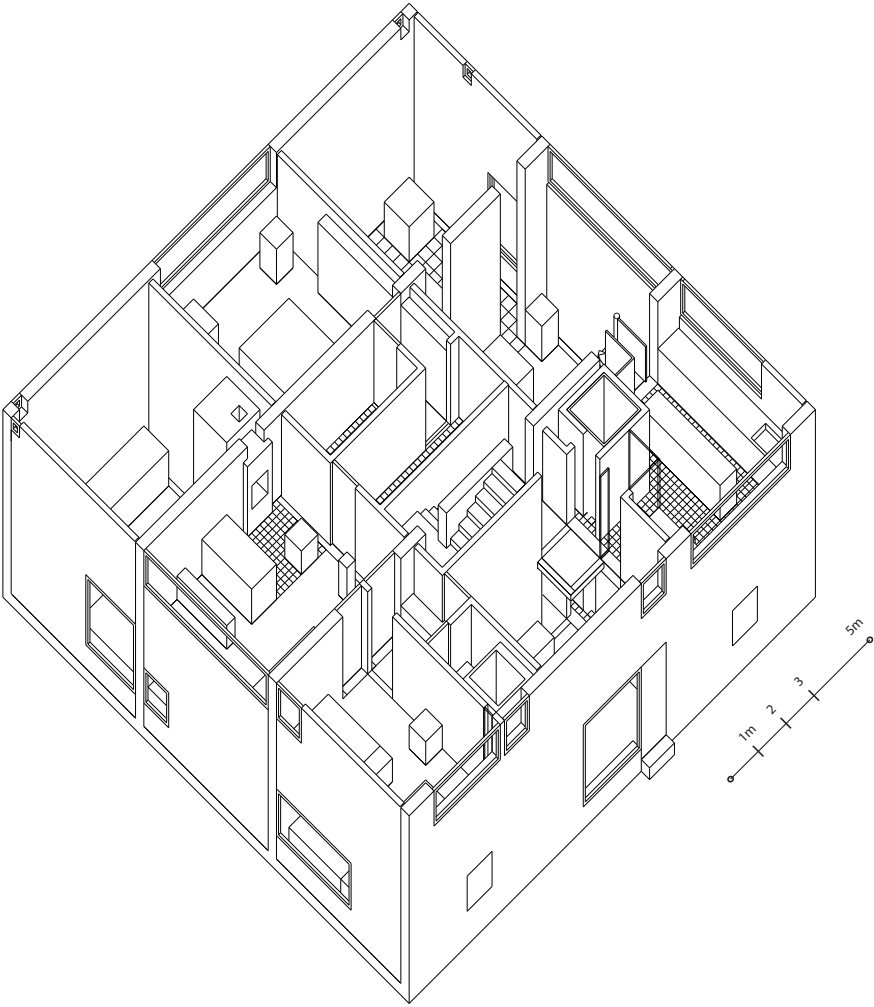
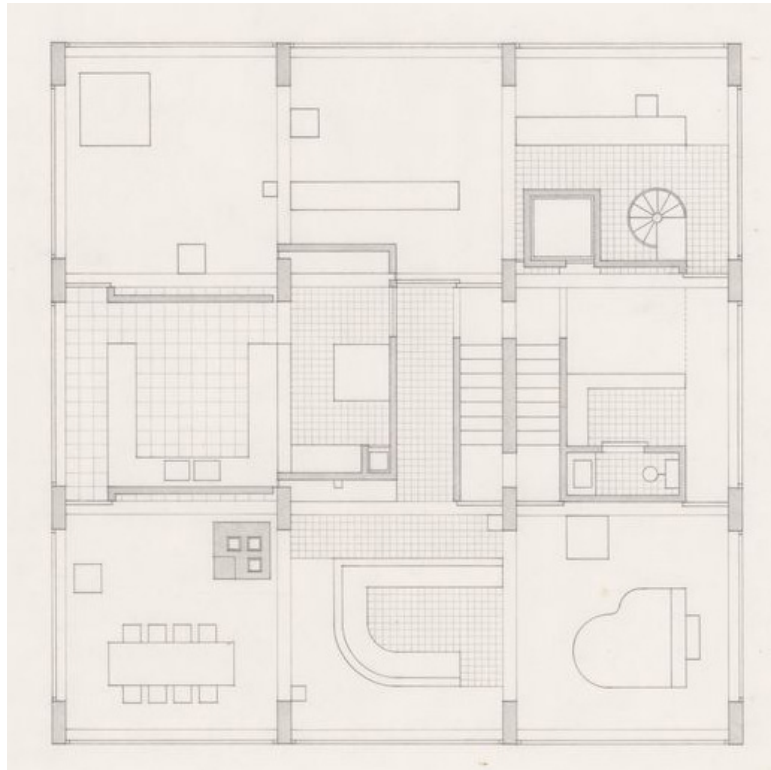


Fig. 50 - En las plantas 3 y 4 existe una separación, en planta, explícita del sistema de paneles divisorios con respecto a los elementos estructurales.

a. Imagen: John Hejduk, Planta Casa Texas 7, nivel 3, 1954-1963, grafito sobre papel translúcido, 77 x 92cm, Centro Canadiense de Arquitectura (Código de referencia): DR1998 0053 006 ©CCA.

b. Imagen: John Hejduk, Planta Casa Texas 7, nivel 4, 1954-1963, grafito sobre papel translúcido, 77 x 92cm, Centro Canadiense de Arquitectura (Código de referencia): DR1998 0053 005 ©CCA.

a.



b.

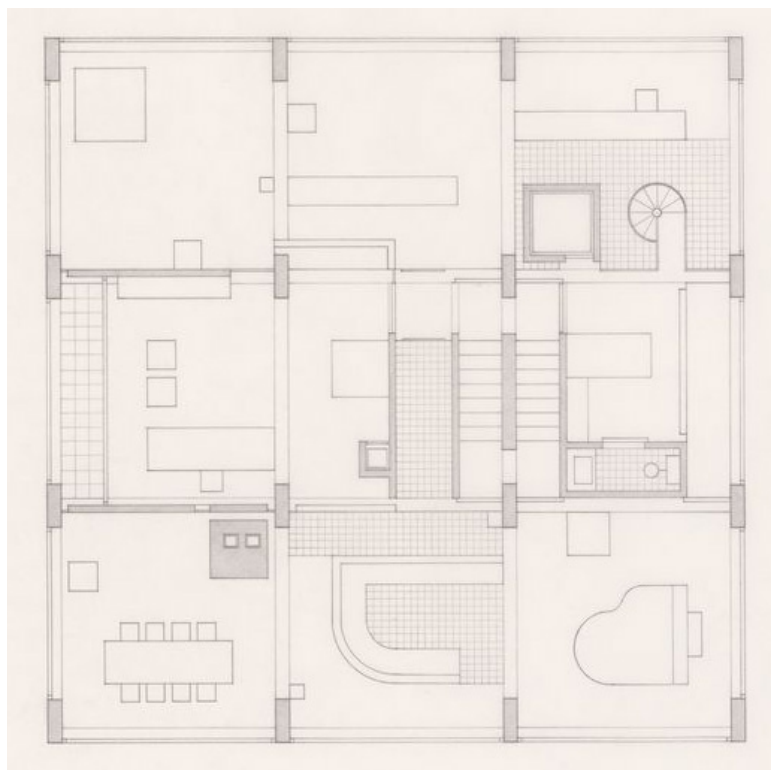


Fig. 51 - Axonometría de los pisos 3 y 4. Nótese la organización de los espacios de doble altura sobre las fachadas perpendiculares con respecto a la dirección de la estructura. Esto permite establecer en fachada módulos completos. Para los módulos centrales de las fachadas paralelas los espacios del nivel 4 están retrocedidos manteniendo la lectura de los módulos completos sobre todas las fachadas intermedias.

Texas House 7, axonometría de los pisos 3 y 4 – basado en los planos “DR1998 0053 009” y “DR1998 0053 003” (Centro Canadiense de Arquitectura), Fuente: Elaboración propia.

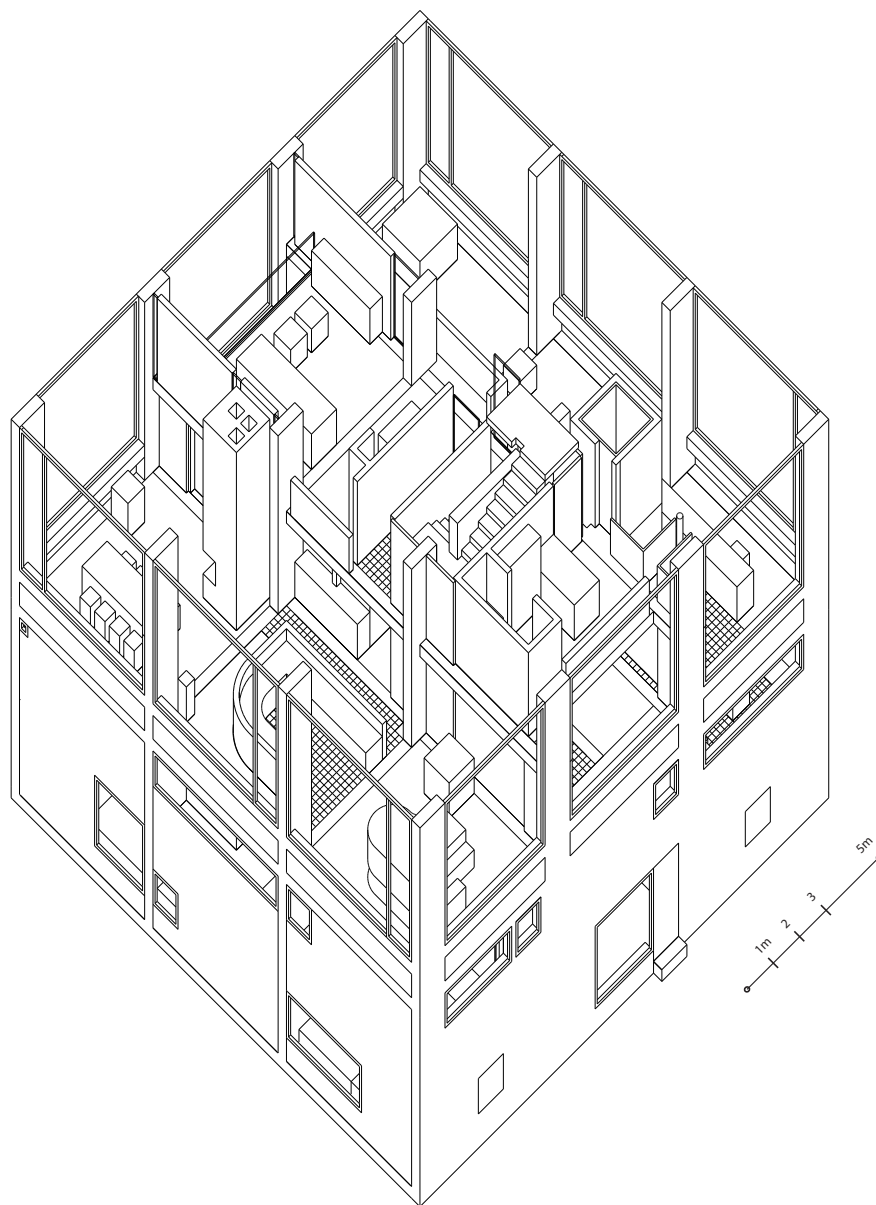


Fig. 52 - Planta Casa Texas 7, nivel 6.

Imagen: John Hejduk, planta Casa Texas 7, nivel 6, 1954-1963, grafito, tinta y lápiz de color sobre papel translúcido, 77x92cm, Centro Canadiense de Arquitectura (Código de referencia): DR1998 0053 003 ©CCA.



Fig. 53 - Axonometría de los pisos 5 y 6.

Texas House 7, axonometría de los pisos 5 y 6 – basado en los planos “DR1998 0053 009” y “DR1998 0053 003” (Centro Canadiense de Arquitectura), Fuente: Elaboración propia.

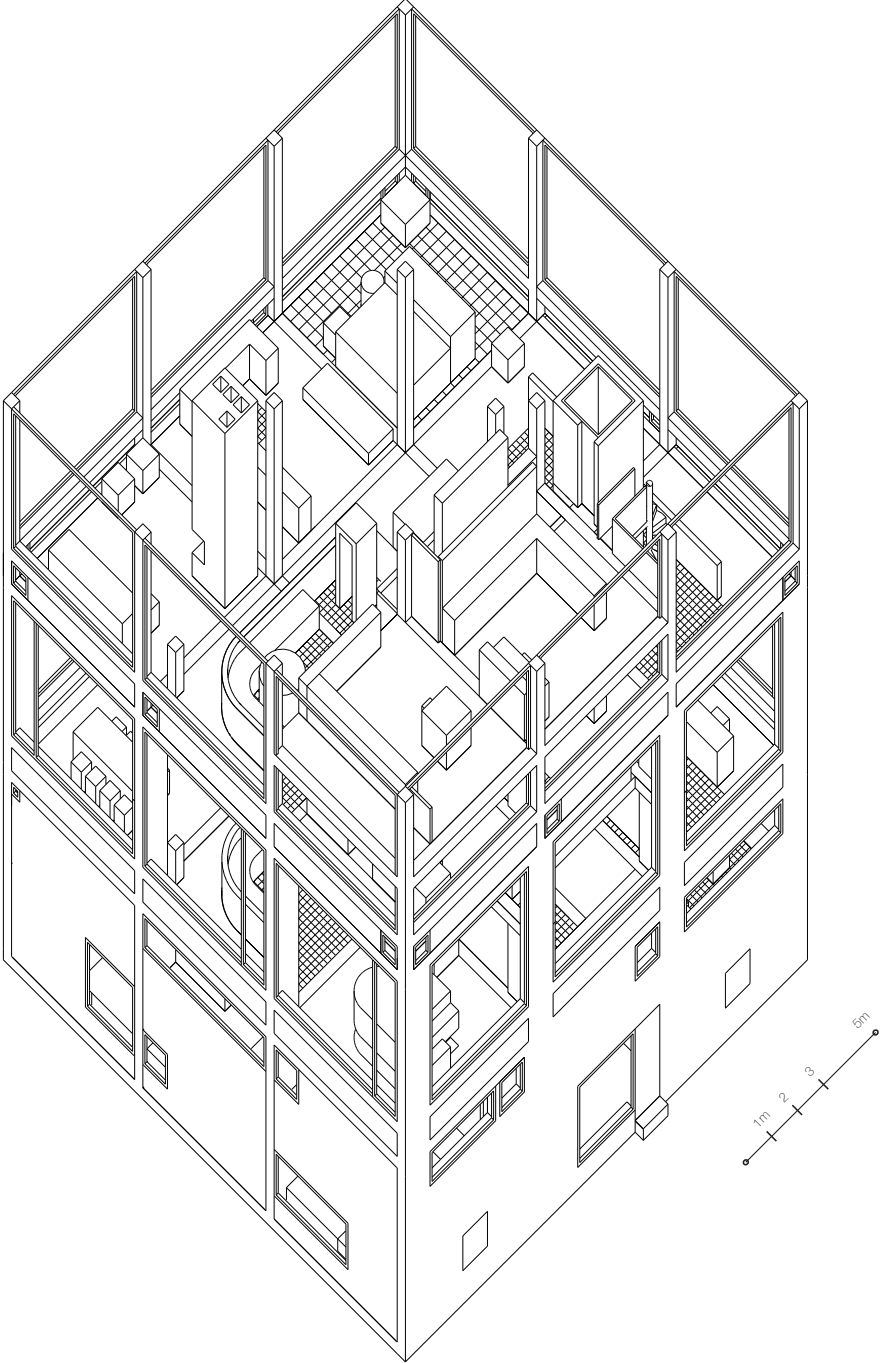


Fig. 54 - Planta sótano Casa Texas 7.

Imagen: John Hejduk, planta sótano Casa Texas 7, 1954-1963, grafito sobre papel translúcido, 77x92cm, Centro Canadiense de Arquitectura (Código de referencia): DR1998 0053 004 ©CCA.

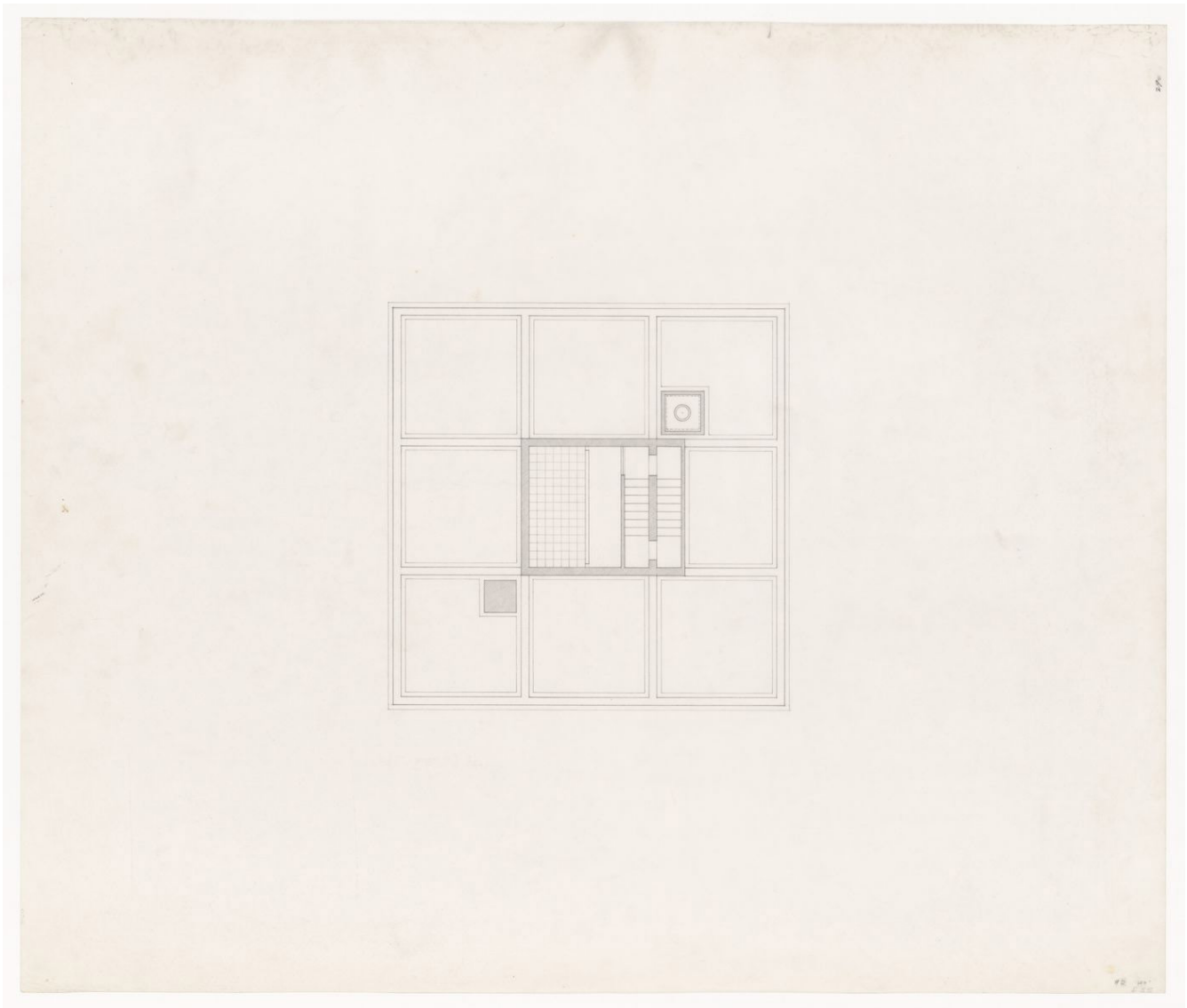


Fig. 55 - Diagrama de descentralización en la disposición de elementos de movimiento vertical. Aunque la presencia del centro sea explícita en el esquema formal de los nueve cuadrados no existe un reconocimiento a esta condición en la Casa Texas 7. El centro no está acompañado de un cambio programático, disposición de elementos singulares, ni variaciones en altura. Los elementos de movimiento vertical de la casa aportan a la desjerarquización del centro. Las escaleras están colocadas entre el módulo central de la casa, y el módulo lateral correspondiente al acceso.

Texas House 7, Diagrama de descentralización en la disposición de elementos de movimiento vertical – basado en el plando “DR1998 0053 009” y en “DR1998 0053 004” (Centro Canadiense de Arquitectura), Fuente: Elaboración propia.

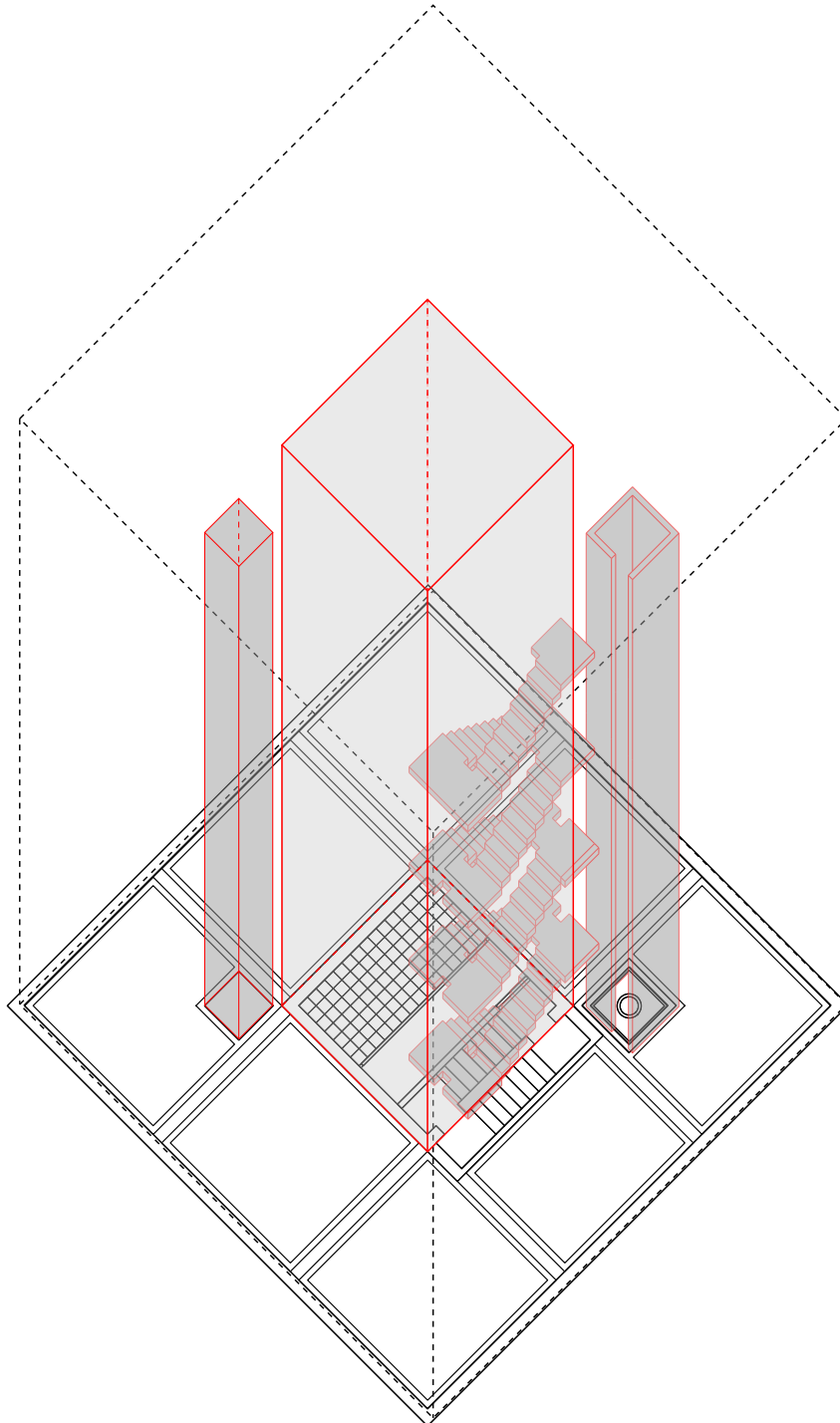


Fig. 56 - Diagrama de transformación de elementos estructurales. Los elementos estructurales de la Casa Texas 7 están dispuestos sobre los ejes del esquema formal de los nueve cuadrados en una única dirección, paralelos al movimiento de la escalera. Estos elementos varían a lo largo de la altura de la casa.

Texas House 7, diagrama de transformación de elementos estructurales – basado en el plano “DR1998 0053 009” (Centro Canadiense de Arquitectura), Fuente: Elaboración propia.

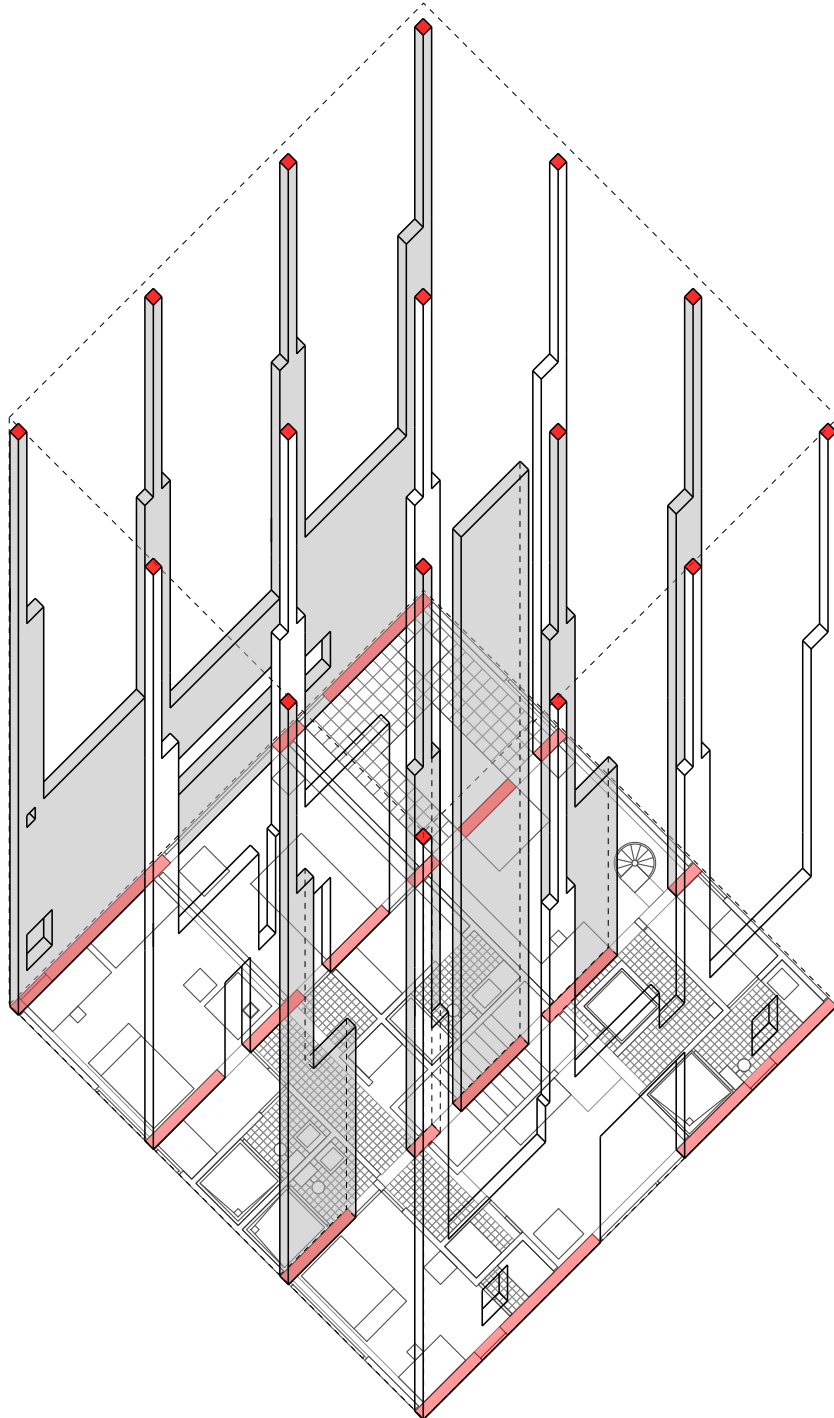


Fig. 57 - Diagrama de relación de las fachadas con el sistema estructural. Las fachadas paralelas a la dirección del sistema estructural repiten la transformación en altura. Hay una coincidencia en planta de los elementos estructurales de los bordes y las fachadas. En las fachadas paralelas al sistema estructural no hay una diferenciación entre el sistema estructural y los demás elementos presentes; puertas, paneles opacos, ventanas y subdivisiones de las mismas.

Texas House 7, Diagrama de relación de las fachadas con el sistema estructural – basado en el plano “DR1998 0053 009” (Centro Canadiense de Arquitectura), Fuente: Elaboración propia.

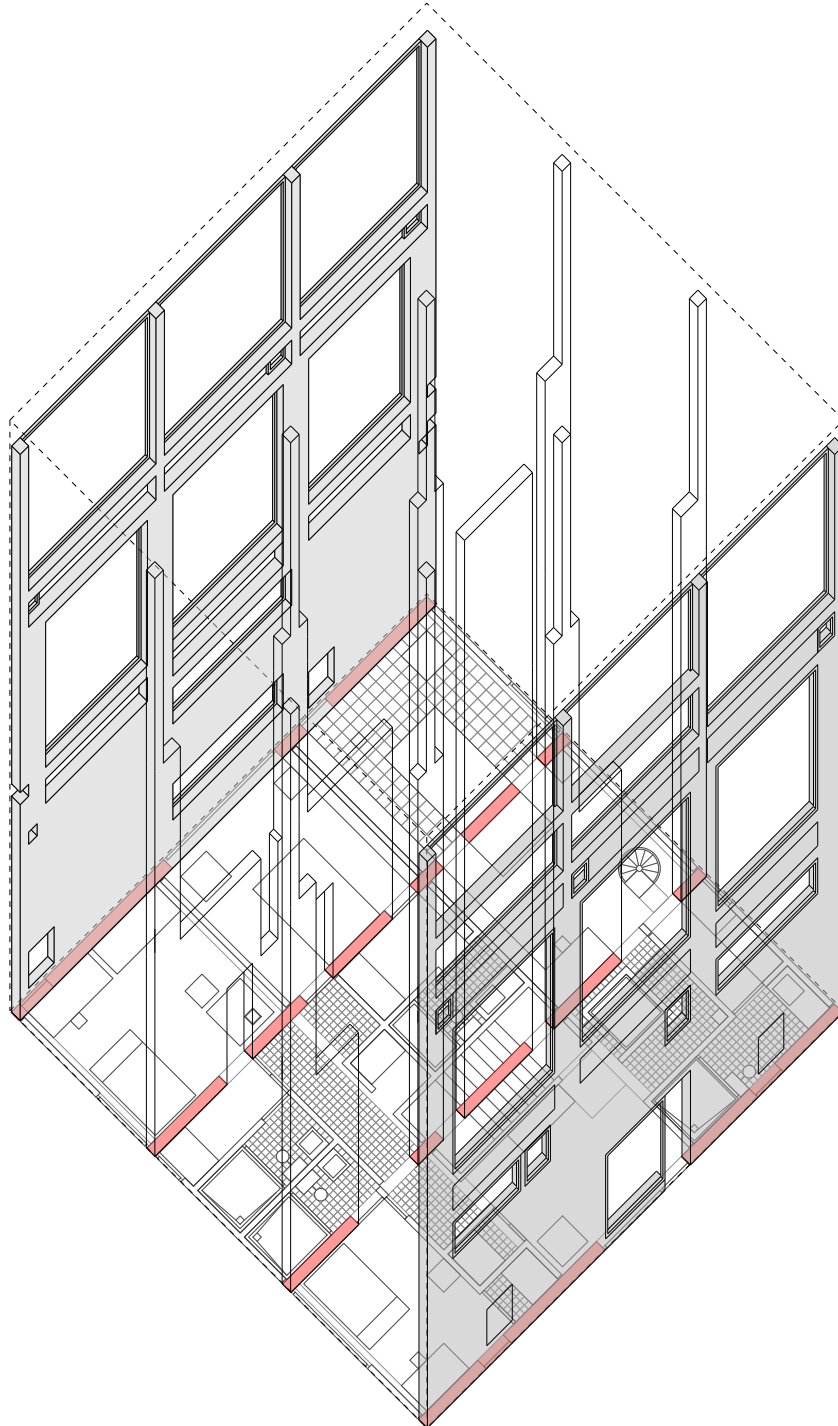


Fig. 58 - Diagrama de relación de las fachadas con el sistema estructural. Las fachadas transversales a la dirección de los elementos estructurales no presentan ninguna transformación en altura. Esto coincide con los elementos estructurales, que no presentan cambios de dimensión en el sentido transversal al movimiento interior de la casa. A diferencia de las fachadas paralelas al sentido del sistema estructural, las fachadas transversales diferencian el esquema formal de los nueve cuadrados de los demás elementos presentes.

Texas House 7, diagrama de relación de las fachadas con el sistema estructural 2 – basado en el plano “DR1998 0053 009” (Centro Canadiense de Arquitectura), Fuente: Elaboración propia.

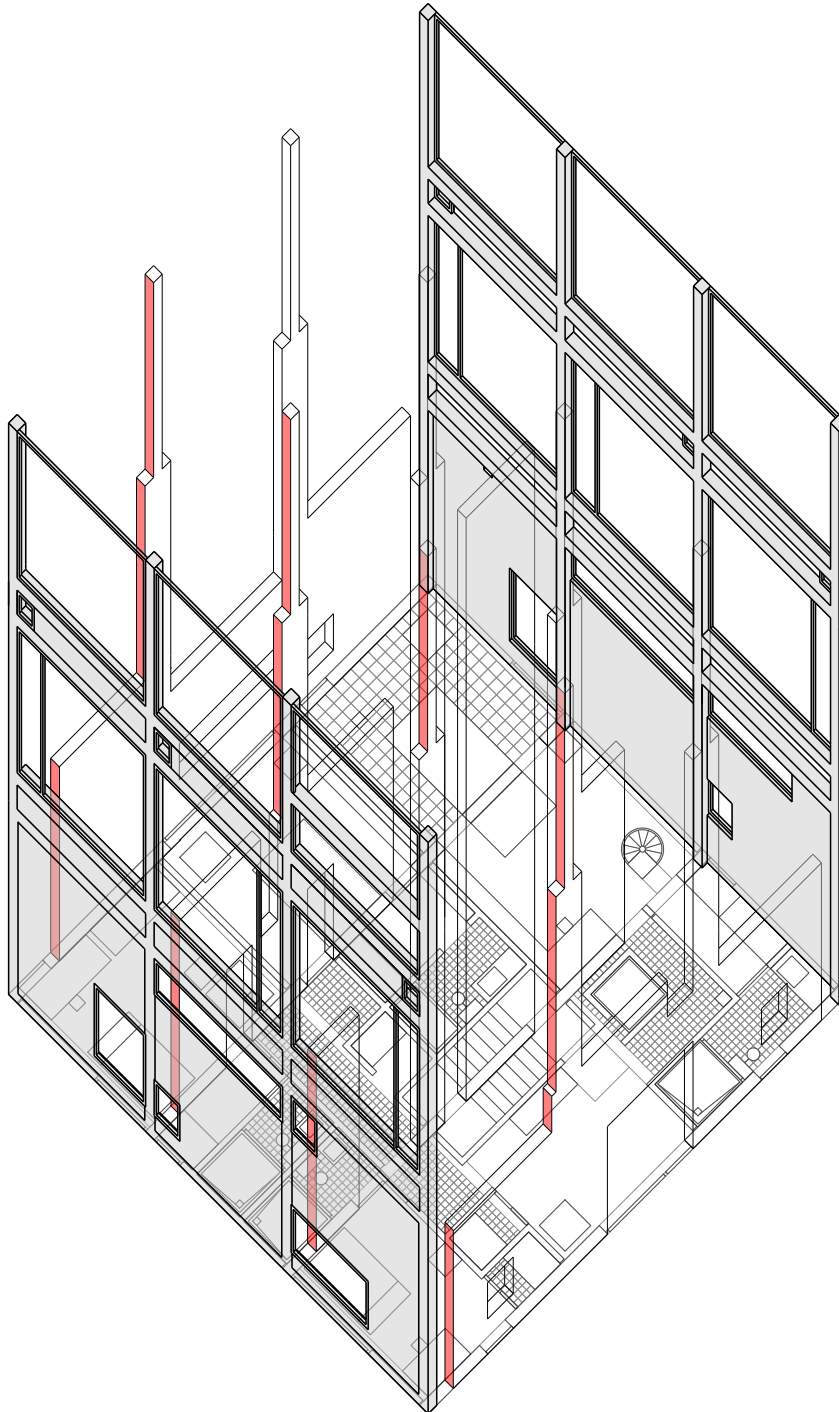


Fig. 59 - Delineante realizando un dibujo en perspectiva de una mujer reclinada.

Imagen: Albrecht Dürer (Nuremberg 1471–1528 Nuremberg), Delineante realizando un dibujo en perspectiva de una mujer reclinada, sin fecha, xilografía, 7.7 x 21.4 cm, Museo Metropolitano de arte, Nueva York, EE. UU. <https://www.metmuseum.org/art/collection/search/366555> ©Dominio público.



Fig. 60 - Pianta di ampio magnifico Collegio.

Imagen: Giovanni Battista Piranesi (1720-1778), Pianta di ampio magnifico Collegio. 1750 - 1751, grabado, 74.5 x 53 cm. Biblioteca Pública de Nueva York, EE. UU. <https://digitalcollections.nypl.org/items/639b6496-e520-e1ae-e040-e00a18061b63>. ©Dominio público.

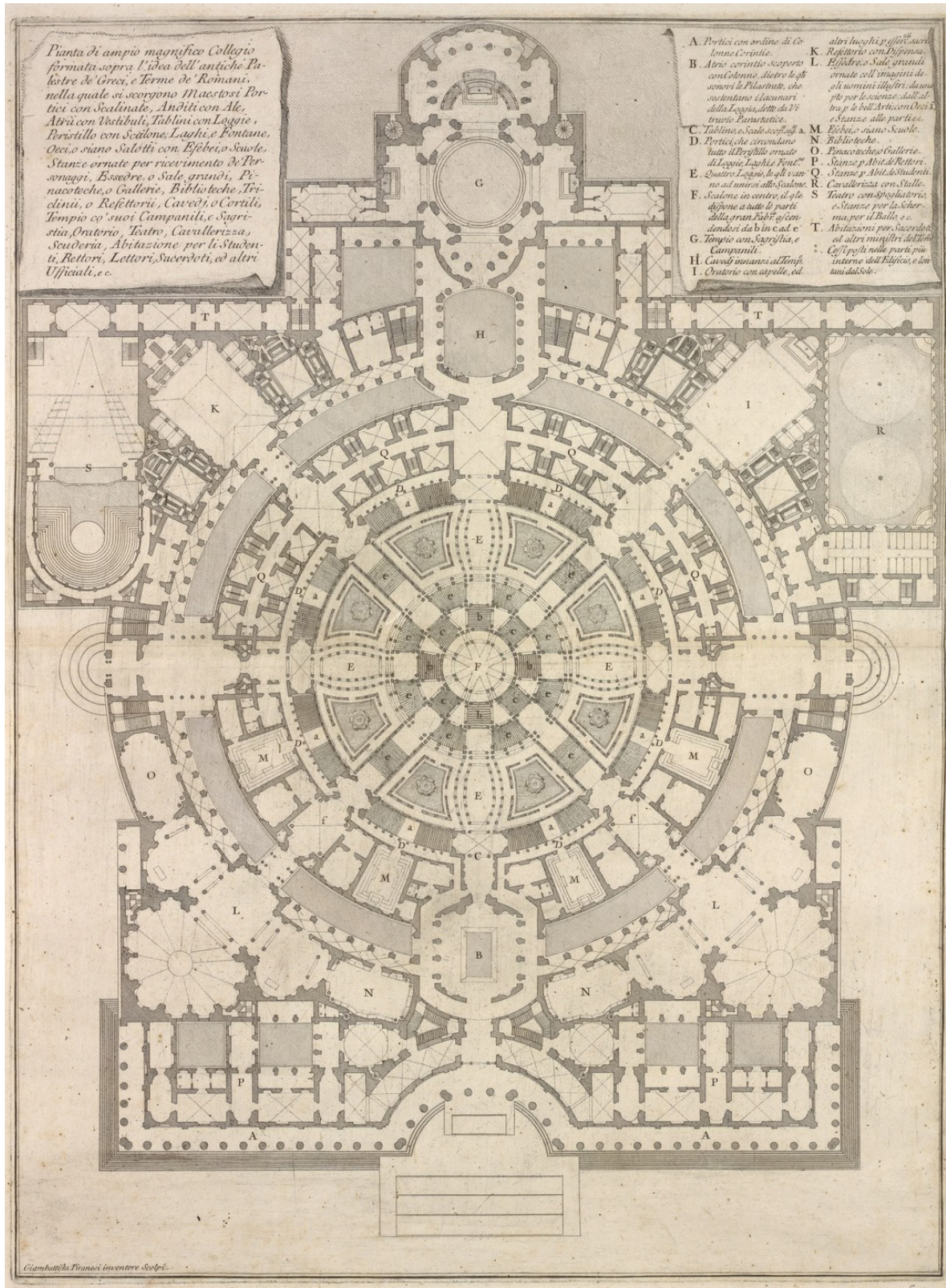


Fig. 61 - Axonometría general, Casa Diamante A.

Imagen: John Hejduk, axonometría general, Casa Diamante A, 1963-1967, grafito sobre papel translúcido, 68x68cm, Centro Canadiense de Arquitectura (Código de referencia): DR1998 0060 003 019. ©CCA.

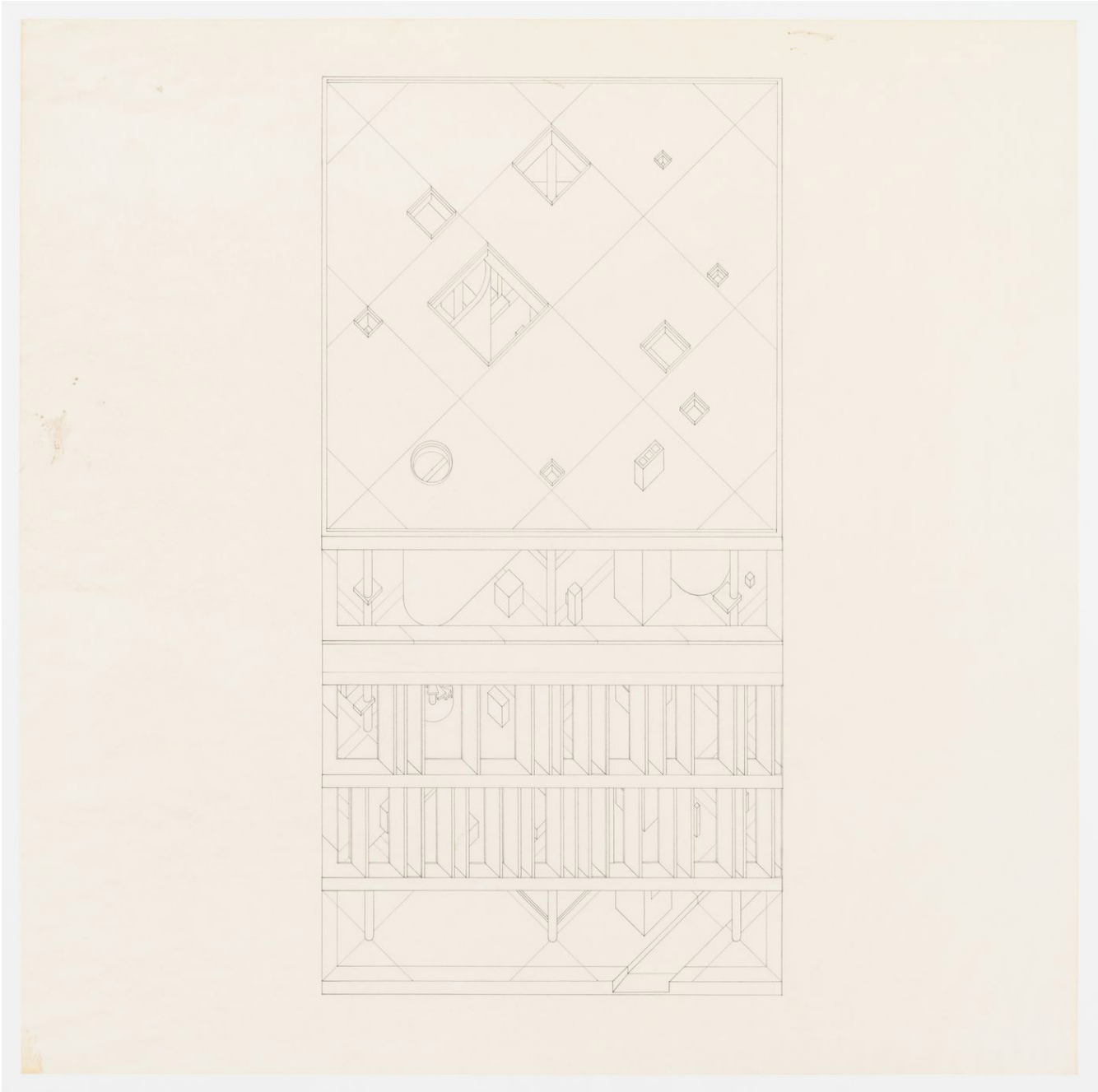


Fig. 62 - Planta nivel 1, Casa Diamante A.

Imagen: John Hejduk, planta nivel 1, Casa Diamante A., Casa Diamante A, 1963-1967, tinta sobre papel translúcido, 77x77cm, Centro Canadiense de Arquitectura (Código de referencia): DR1998 0060 003 001 ©CCA.

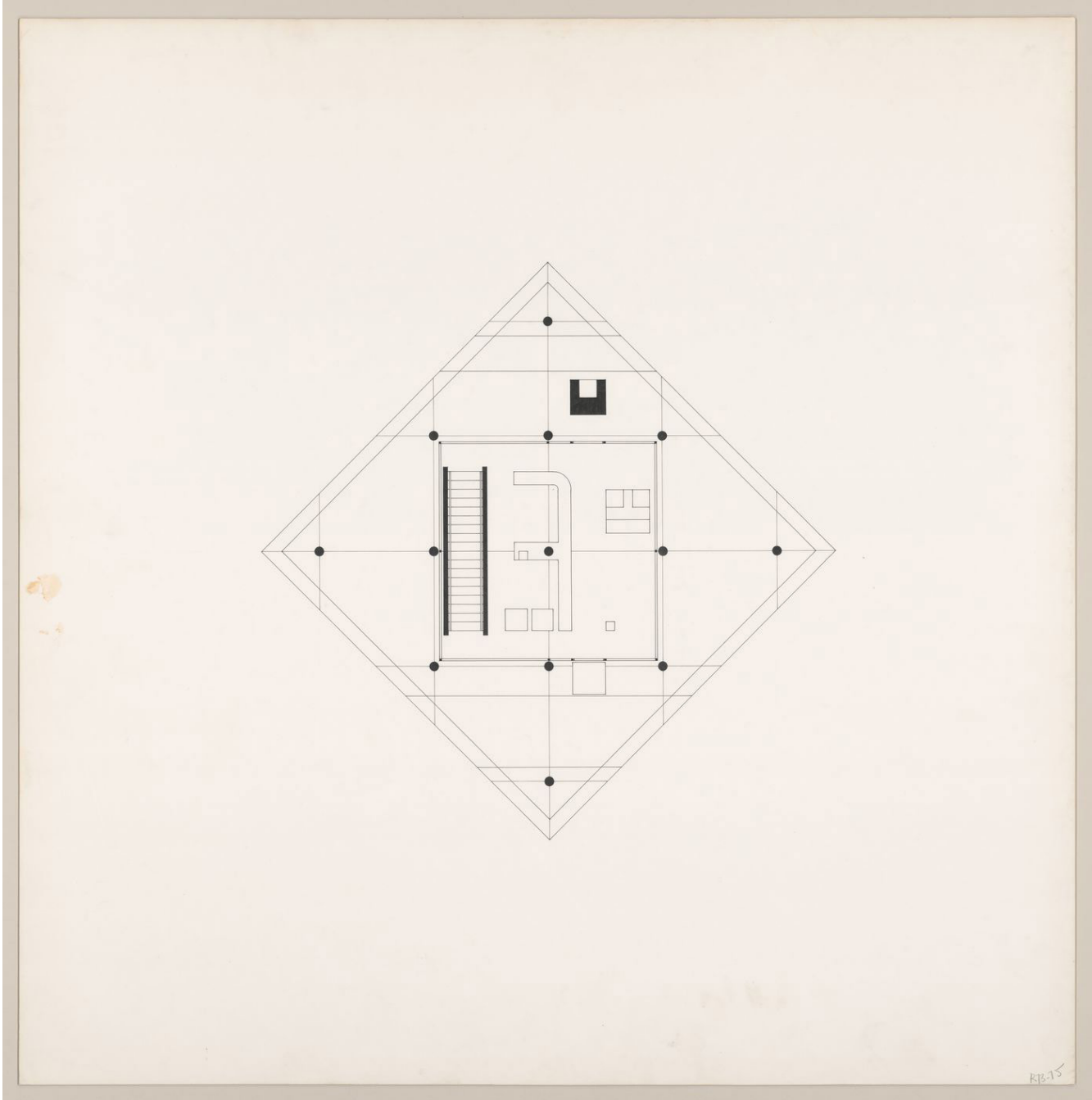


Fig. 63 - Axonometría nivel 1, Casa Diamante A.

Imagen: John Hejduk, axonometría nivel 1, Casa Diamante A, 1963-1967, grafito sobre papel translúcido, 68x68cm, Centro Canadiense de Arquitectura (Código de referencia): DR1998 0060 003 012. ©CCA.

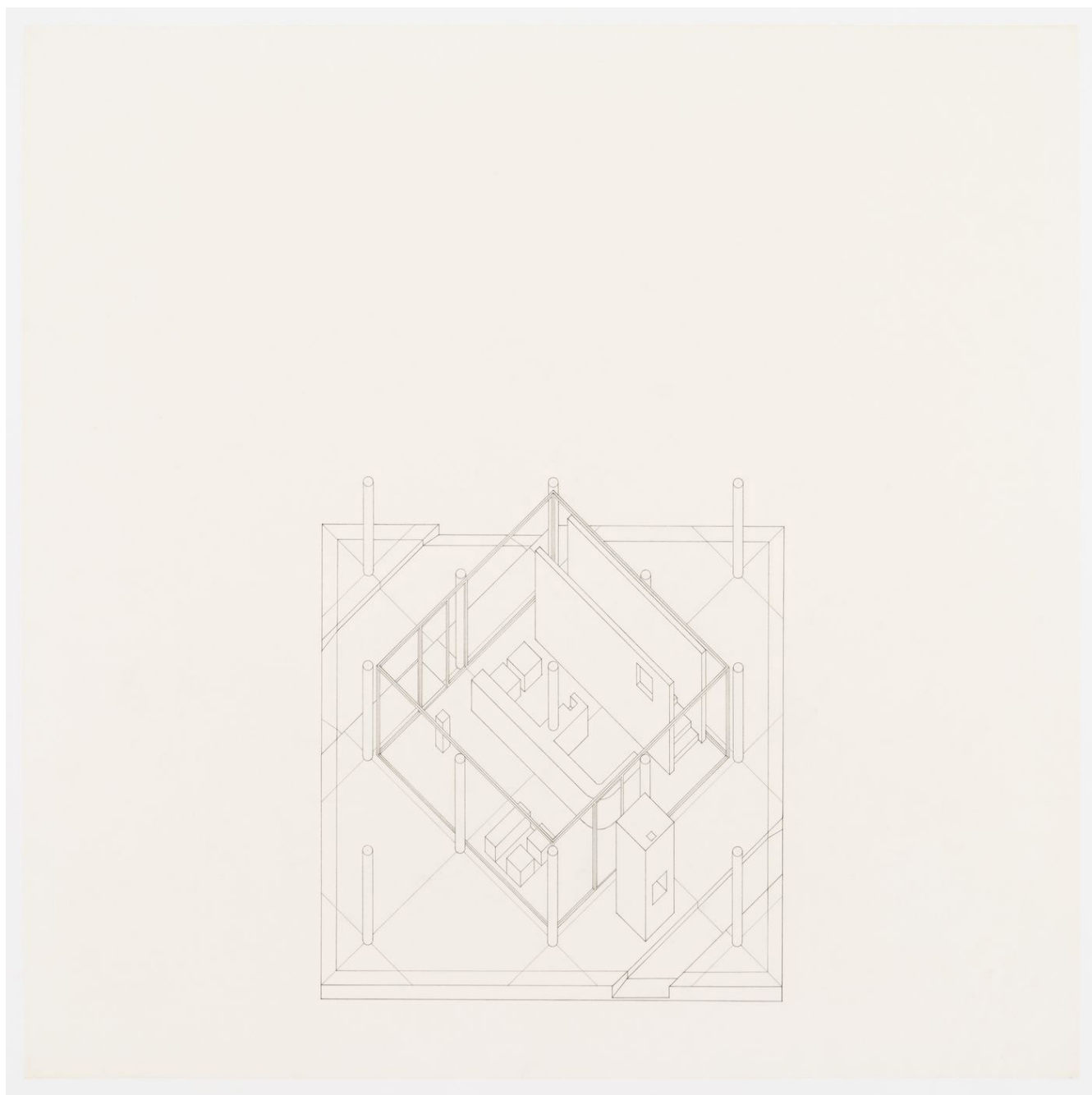


Fig. 64 - Planta nivel 2, Casa Diamante A.

Imagen: John Hejduk, planta nivel 2, Casa Diamante A., Casa Diamante A, 1963-1967, tinta sobre papel translúcido, 77x77cm, Centro Canadiense de Arquitectura (Código de referencia): DR1998 0060 003 002 ©CCA.

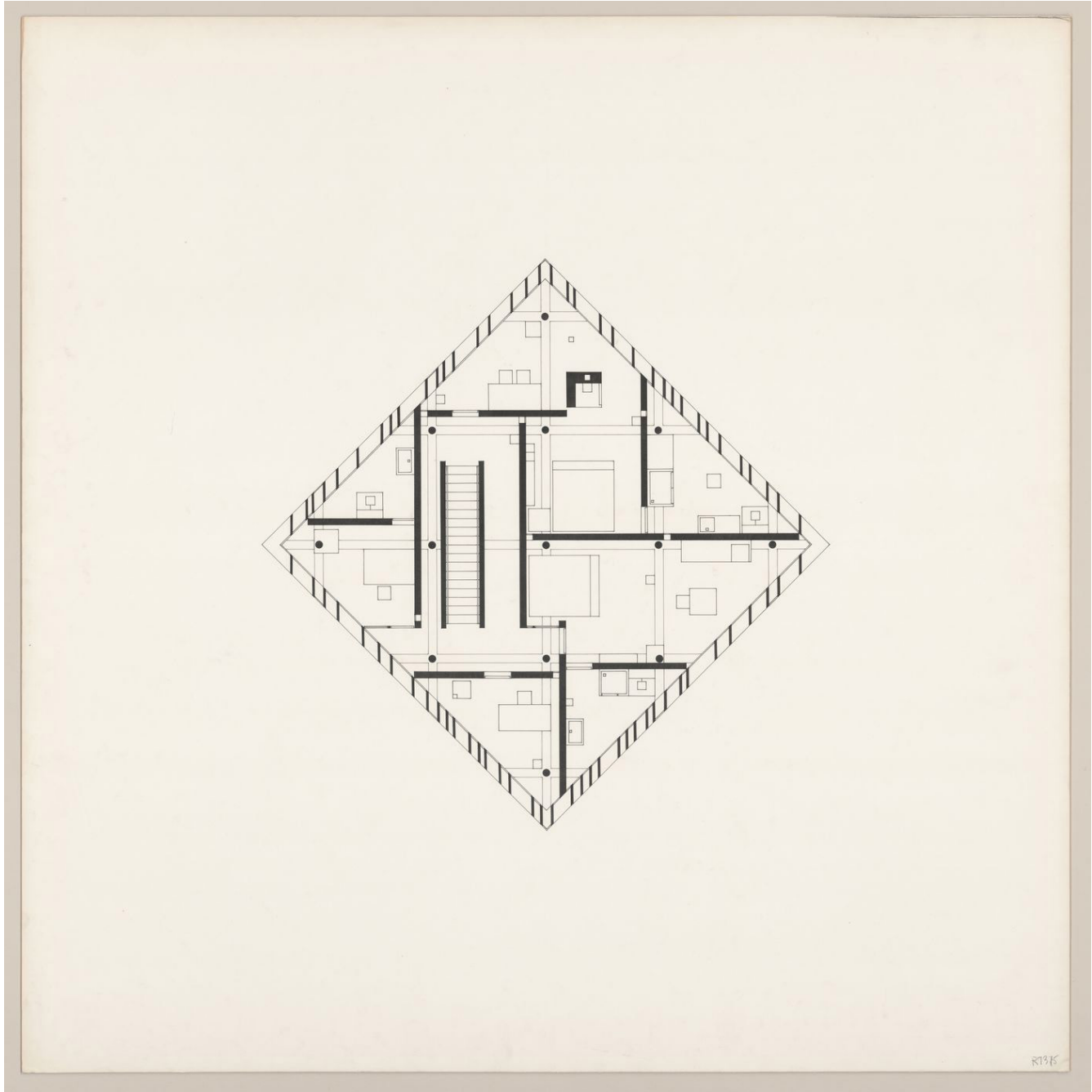


Fig. 65 - Axonometría nivel 2, Casa Diamante A.

Imagen: John Hejduk, axonometría nivel 2, Casa Diamante A, 1963-1967, grafito sobre papel translúcido, 68x68cm, Centro Canadiense de Arquitectura (Código de referencia): DR1998 0060 003 014. ©CCA.

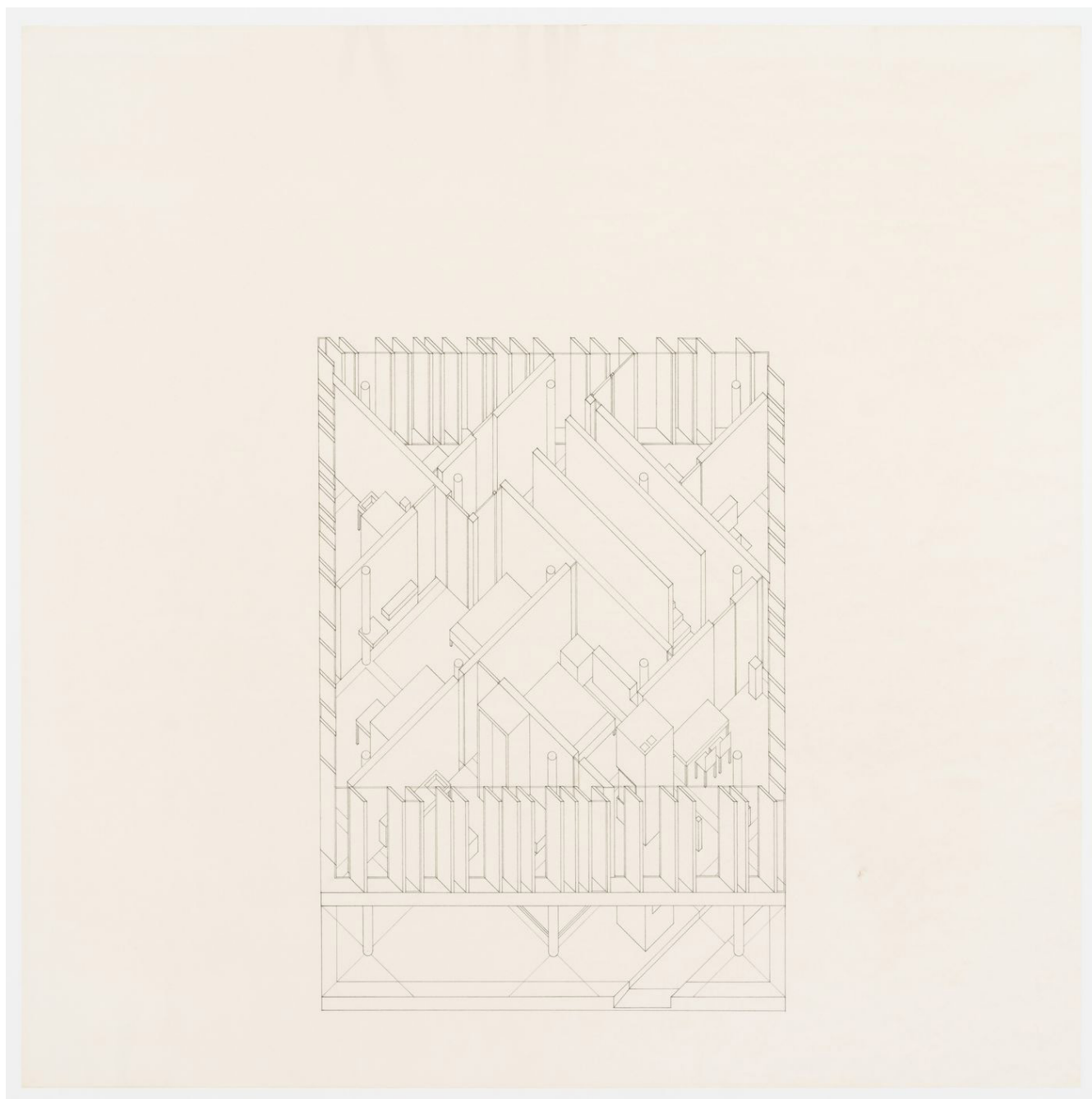


Fig. 66 - Axonometría nivel 3, Casa Diamante A.

Imagen: John Hejduk, axonometría nivel 3, Casa Diamante A, 1963-1967, grafito sobre papel translúcido, 66,68x66,68cm, Centro Canadiense de Arquitectura (Código de referencia): DR1998 0060 003 016. ©CCA.

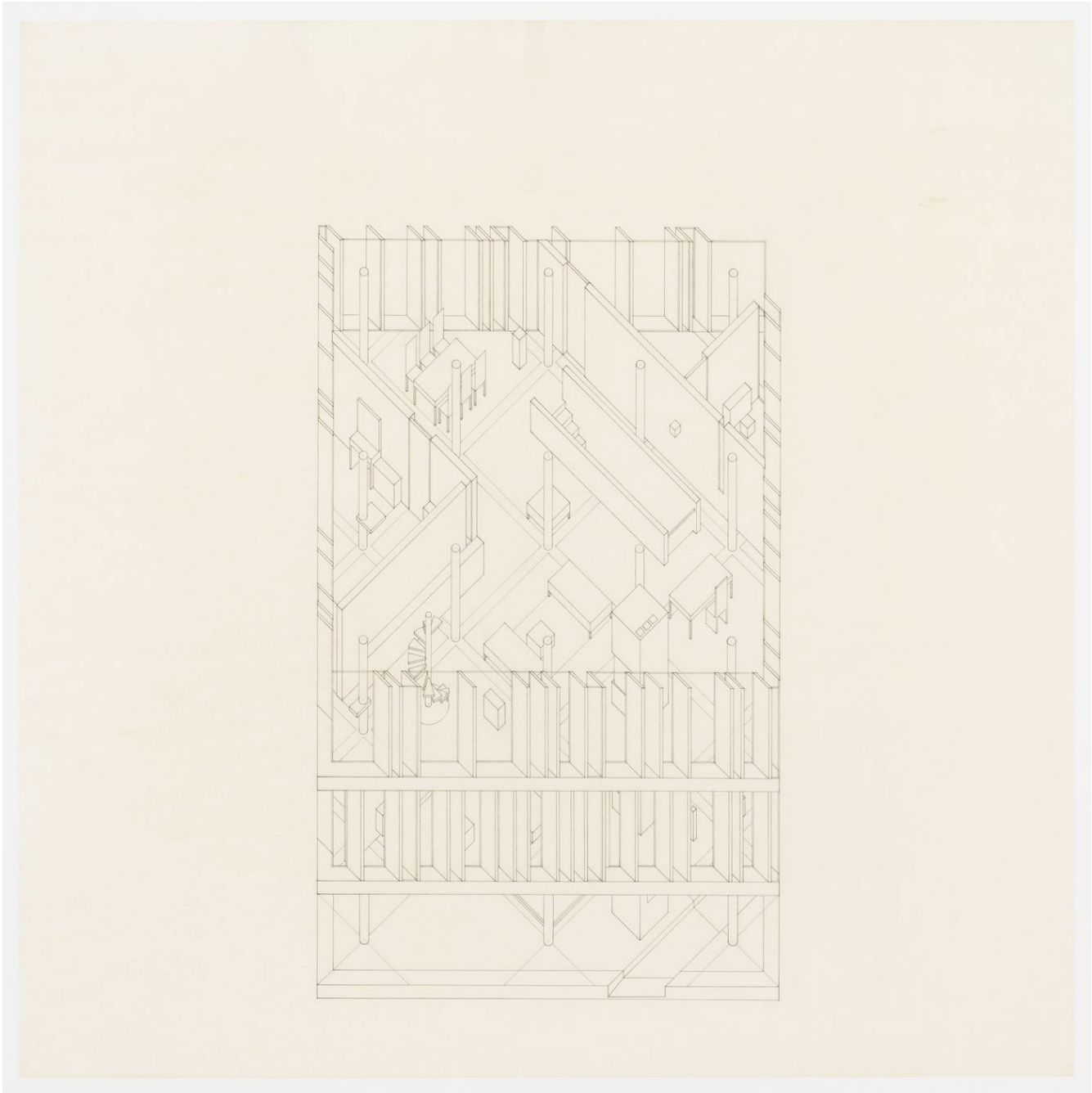


Fig. 67 - Diagrama de dilataciones entre muros, nivel 2.

Casa Diamante A, diagrama de dilataciones entre muros, nivel 2.- basado en los planos "DR1998 0060 003 014" (Centro Canadiense de Arquitectura), Fuente: Elaboración propia.

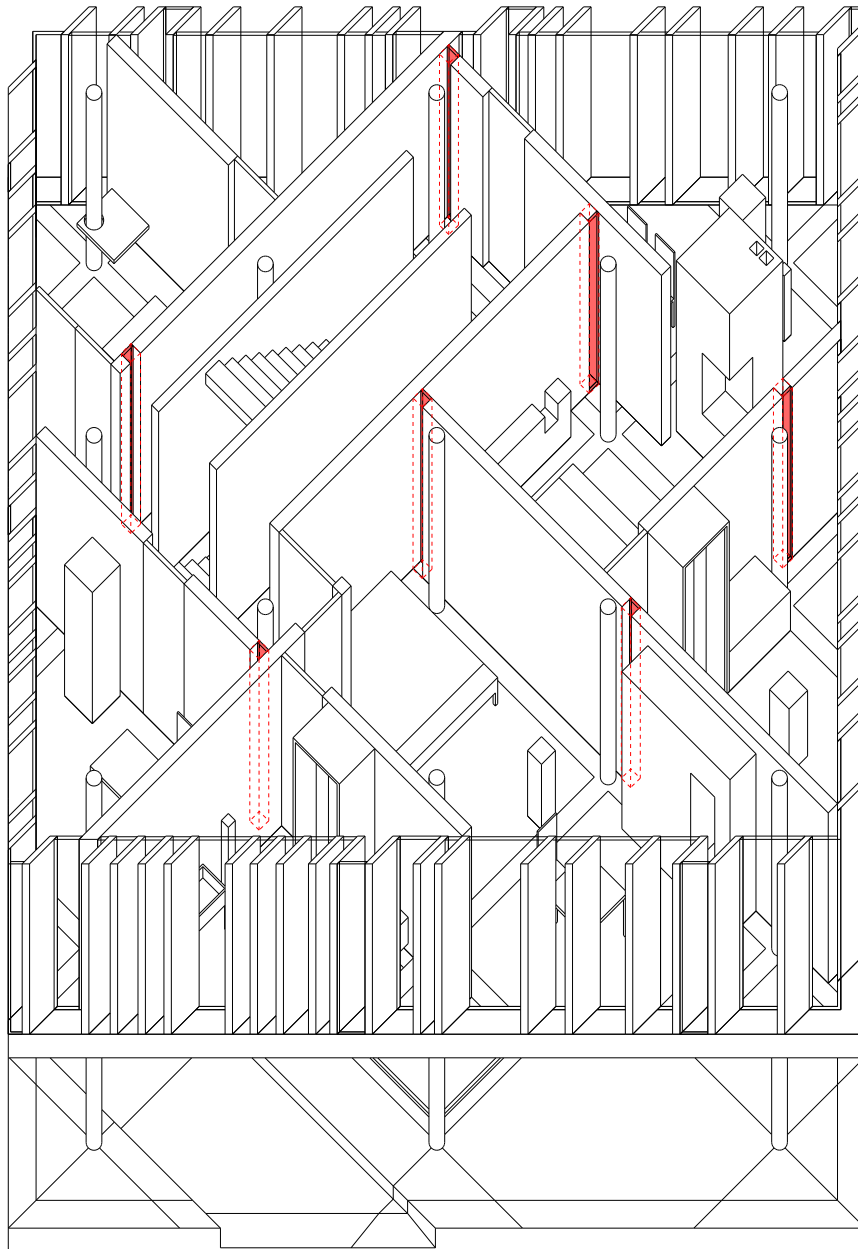


Fig. 68 - Diagrama de espacialización del borde, nivel 2. En la Casa Diamond A está presente una condición de espacialización del borde. Desde el trazado del suelo en el nivel de acceso, hasta la disposición de los elementos de fachada en los niveles 2 y 3.

Casa Diamante A, diagrama de espacialización del borde– basado en el plano “DR1998 0060 003 014” (Centro Canadiense de Arquitectura), Fuente: Elaboración propia.

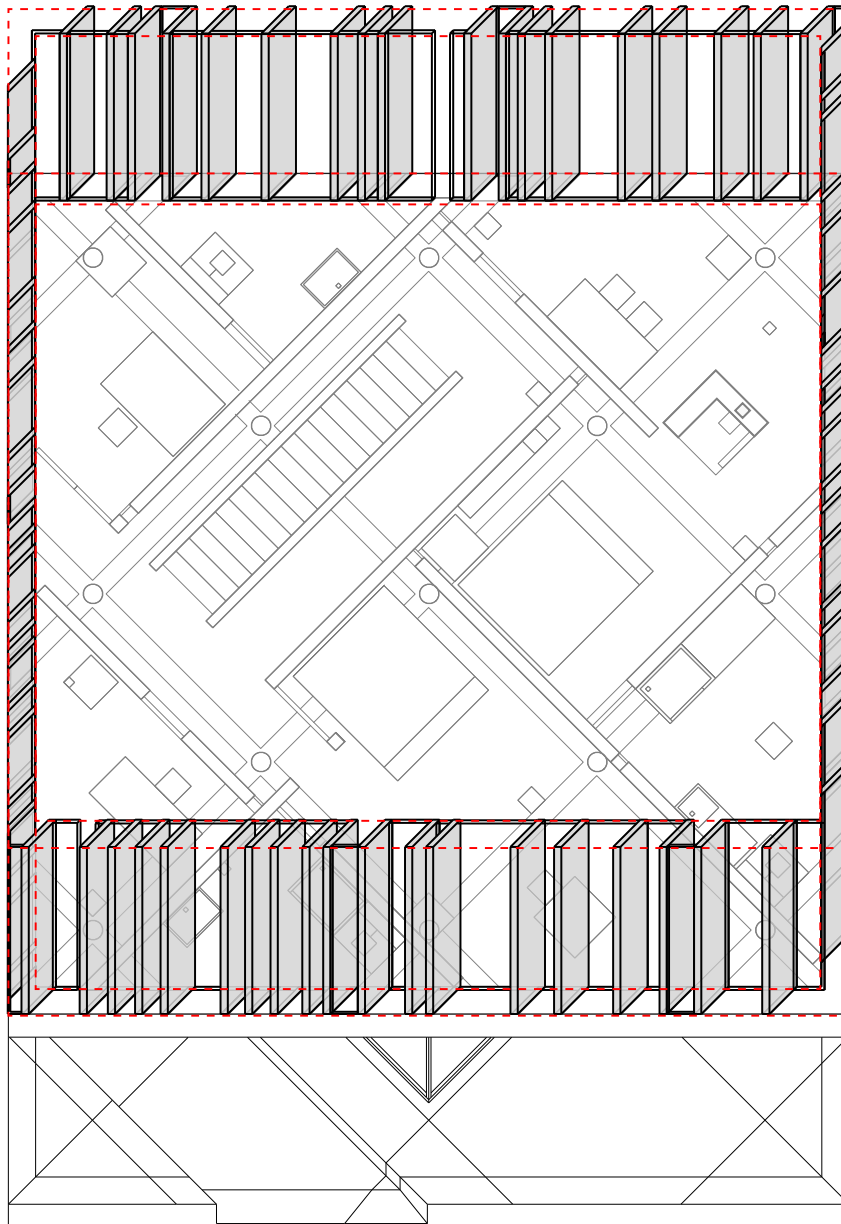


Fig. 69 - Diagrama de espacialización del borde, nivel 3.

Casa Diamante A, diagrama de espacialización del borde— basado en el plano “DR1998 0060 003 016”
(Centro Canadiense de Arquitectura), Fuente: Elaboración propia.

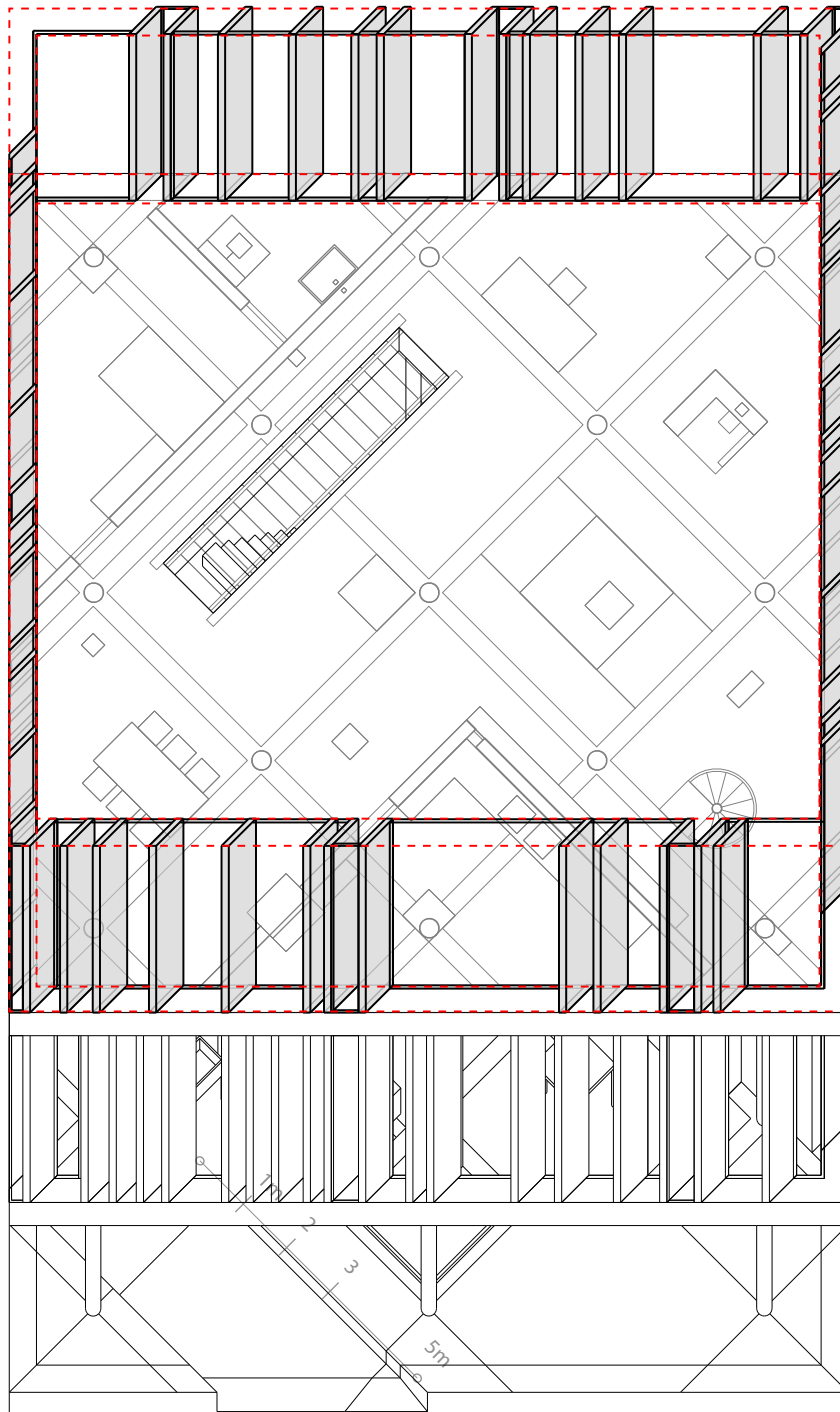


Fig. 70 - Diagrama de relaciones entre los elementos de fachada en la Casa Diamante A. Existe una excepción a la no correspondencia de los elementos de fachada con los elementos del interior de la casa. En el sentido transversal, con respecto a la dirección de los elementos de fachada hay una coincidencia entre el esquema formal, regulador de las columnas, y la colocación de los elementos de la fachada en el borde de la planta. En cada uno de estos casos hay una ruptura también en la colocación de los vidrios de borde. Estos pasan a ocupar el borde exterior del espacio de las fachadas. Esta condición se repite en todos los encuentros del esquema formal y el borde de la planta, incluyendo la hipotenusa de la planta.

Casa Diamante A, diagrama de relaciones entre los elementos de fachada– basado en el plano “DR1998 0060 003 016” (Centro Canadiense de Arquitectura), Fuente: Elaboración propia.

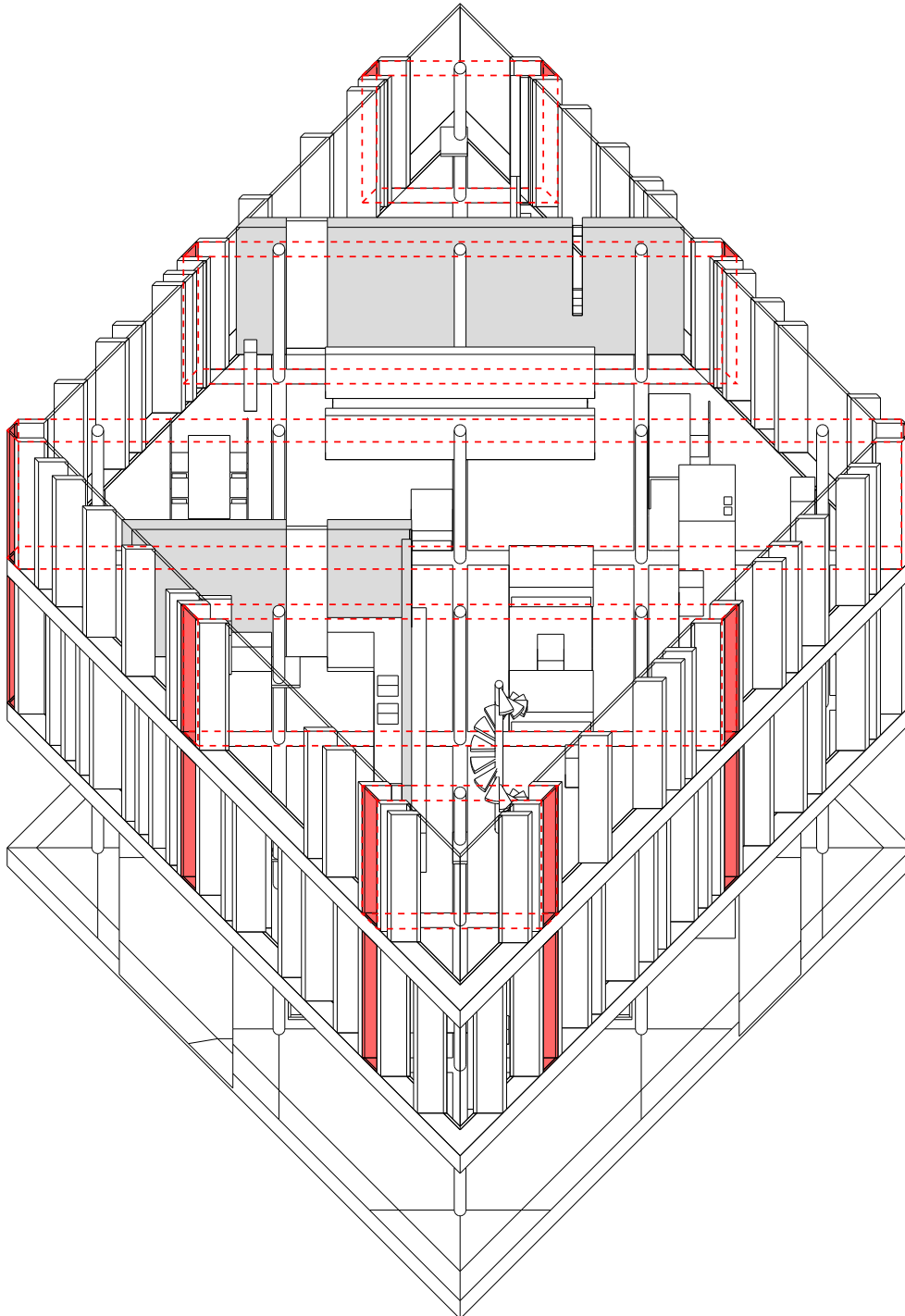


Fig. 71 - Planta nivel 3 de la Casa diamante A.

Imagen: John Hejduk, Planta nivel 3 de la Casa diamante A, 1963-1967, grafito y lápiz de color sobre papel translúcido, 46x52cm, Centro Canadiense de Arquitectura (Código de referencia): DR1998 0060 003 003©CCA.

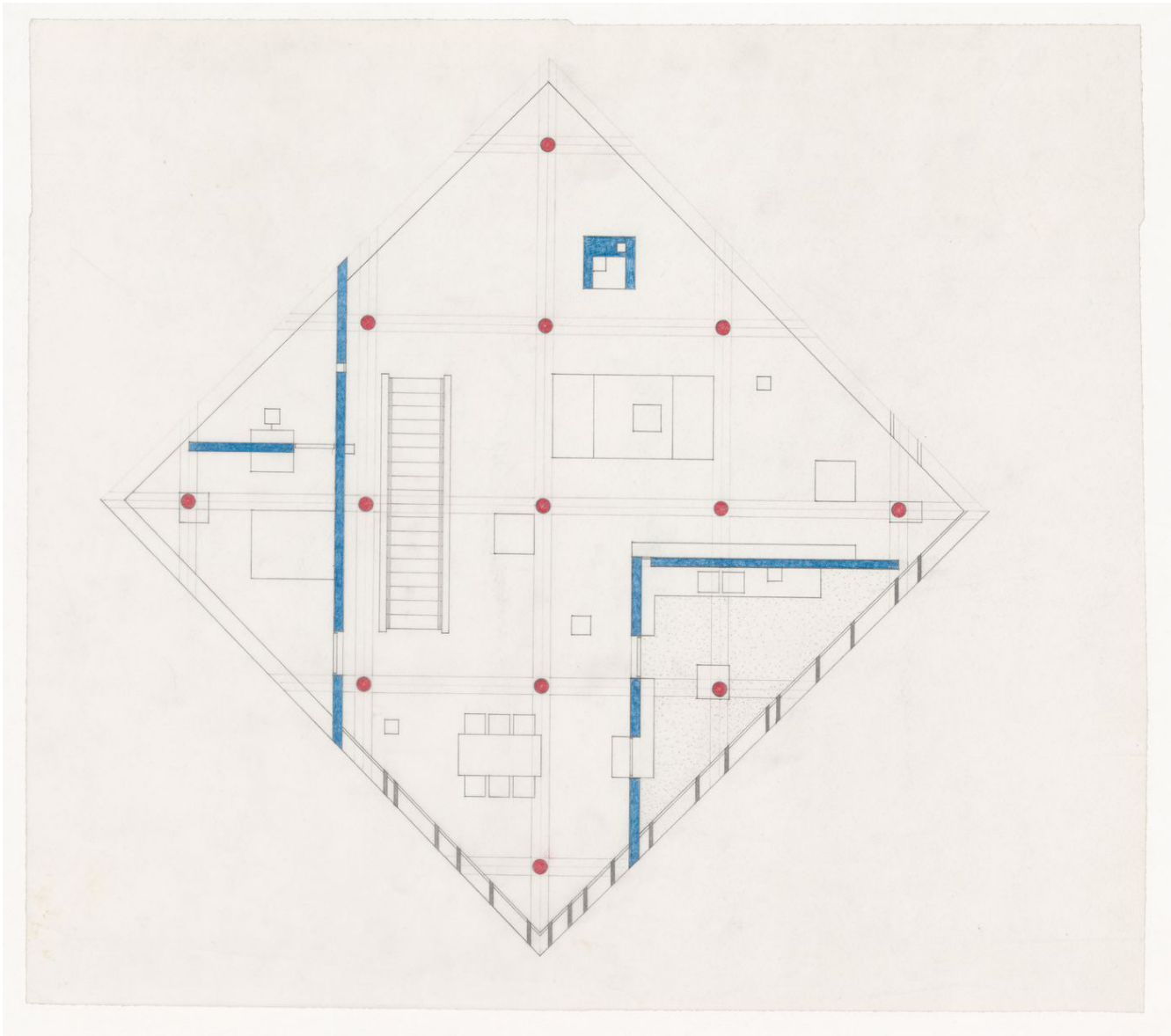


Fig. 72 -Diagrama explicativo de los nueve cuadrados y su opuesto dialéctico el diagrama de los cuatro cuadrados.

Arquitecto: Peter Eisenman Contenido: Diagrama explicativo de los nueve cuadrados y su opuesto dialéctico el diagrama de los cuatro cuadrados. Dibujo. LAL. Basado en la imagen contenida en: Eisenman, Peter, and Matt Roman. "Introduction." In Palladio Virtuel, 1st ed., 15–30. New Haven: Yale University Press, 2015.

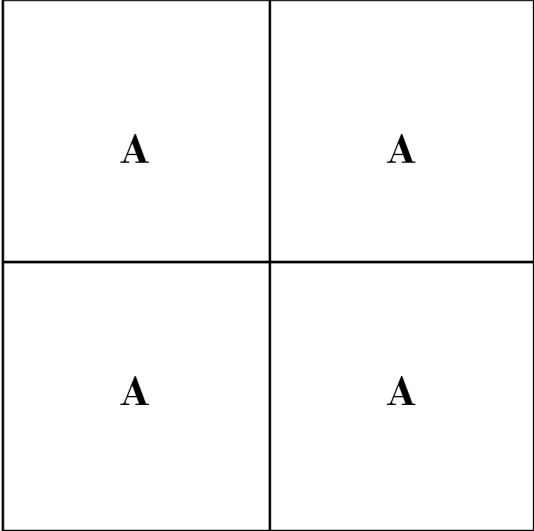
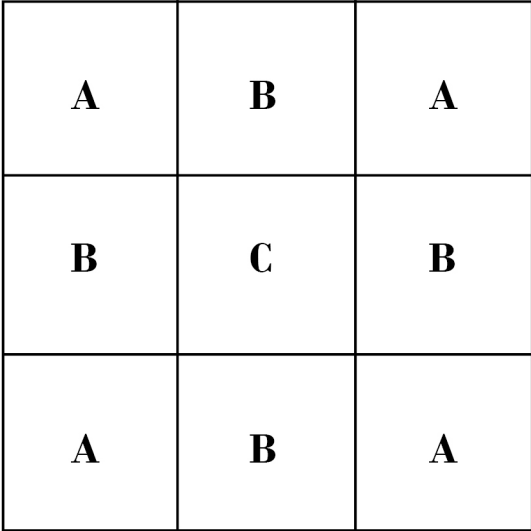


Fig. 73 - Ilustración Libro 3, Cap. 2. Los Diez Libros de Arquitectura.

Imagen: Atribuido a miembro de la familia Sangallo, Ilustración *Libro 3, Cap. 2. Los Diez Libros de Arquitectura*, 1530-1545, pluma y tinta café oscura, 15x25 cm. Esta imagen así como la descripción de la misma fue tomada de: Emmons, Paul. "Vitruvius: Follow the Footprints". Drawingmatter.org, 2020. <https://drawingmatter.org/follow-the-footprints/>.



Fig. 74 - Dibujo explicativo de la serie de las Casas Texas. Todas las casas están dibujadas de la misma manera, mostrando su relación con respecto al esquema de los nueve cuadrados. Hejduk incluye tres casas que no fueron desarrolladas en la serie; las Casas 8, 9 y 10. Sobre la Casa 8, Hejduk anota las palabras retícula y volumen, dibujando encima del esquema formal rectángulos, o precisamente volúmenes que no coinciden en su colocación con las líneas de la retícula. Sobre el dibujo correspondiente a la Casa 10 está escrita la palabra "explosión". Encima del esquema de los nueve cuadrados están dibujados volúmenes que no sólo no coinciden con las líneas de la retícula sino que trasngreden los límites del esquema formal.

Imagen: John Hejduk, Sketches and notes for Texas Houses, 1954-1963, Tinta sobre papel, 22x28cm, Centro Canadiense de Arquitectura (Código de referencia): DR1998 0054 015 ©CCA.

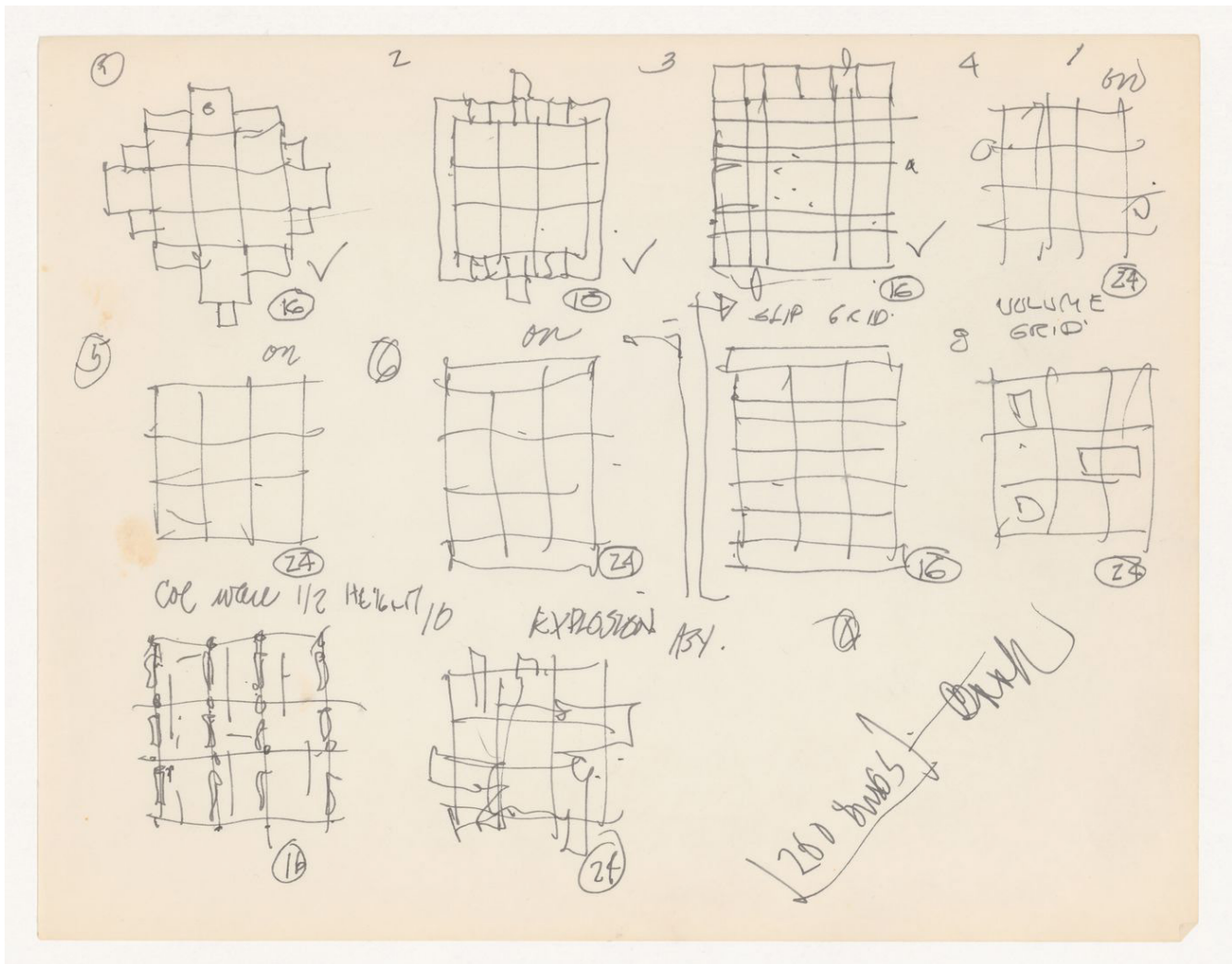


Fig. 75 - Axonometría Texas House 3. Todas las Texas houses utilizan una cubierta continua y única para cubrir la totalidad de la obra. Al igual que la Casa Texas 1, esta casa utiliza variaciones de altura para la sala de estar, la sala de música y el patio central. Posibilitando la iluminación por triforios en estos espacios.

Imagen: John Hejduk, Axonometric Texas House 3, 1954-1963, grafito sobre papel translúcido, 92x107cm, Centro Canadiense de Arquitectura (Código de referencia): DR1998 0049 002 001 ©CCA.

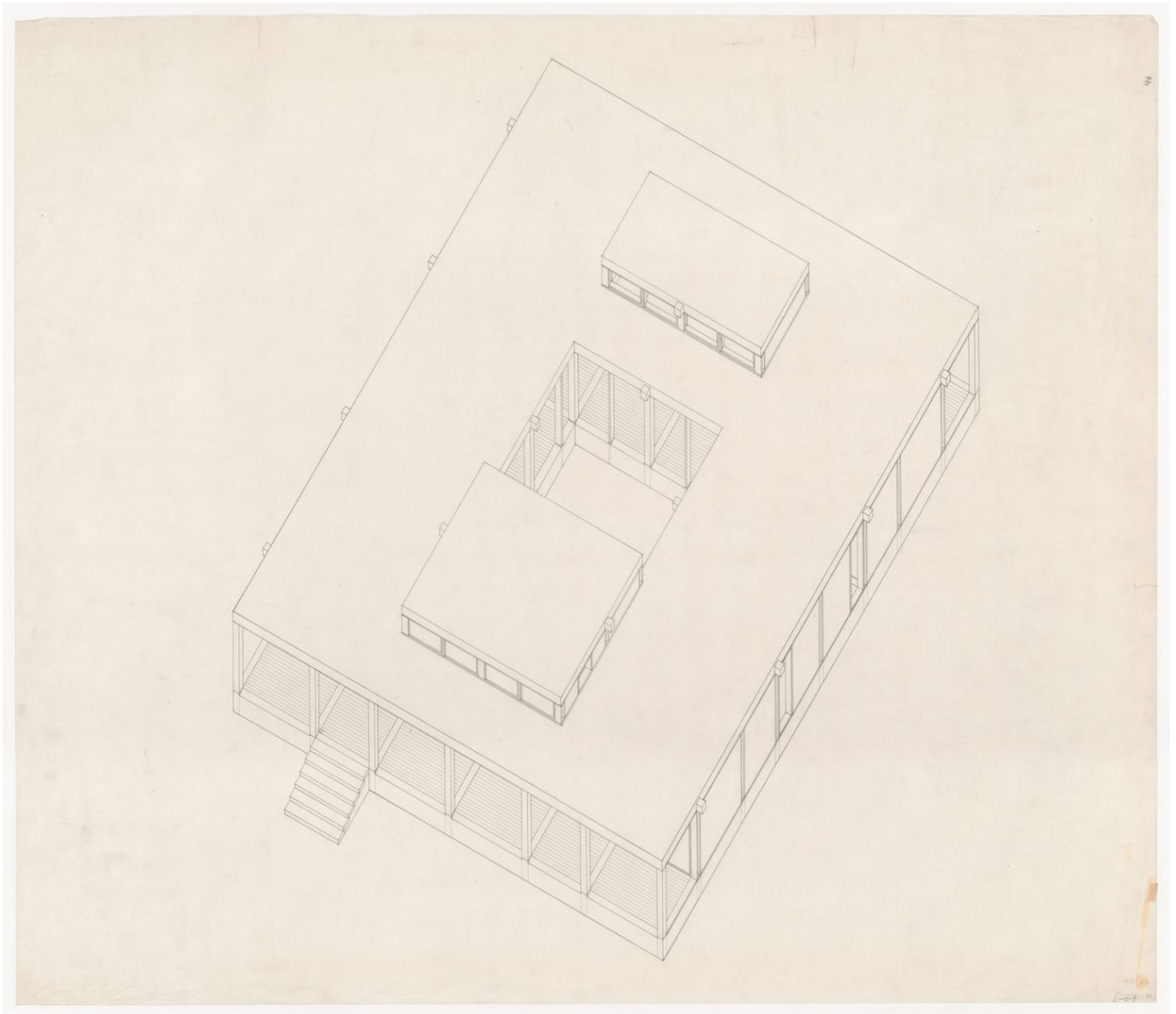


Fig. 76 - Planta Casa Texas 3.

Imagen: John Hejduk, Plan Texas House 3, 1954-1963, grafito sobre papel translúcido, 77x97cm, Centro Canadiense de Arquitectura (Código de referencia): DR1998 0049 001 008 ©CCA.

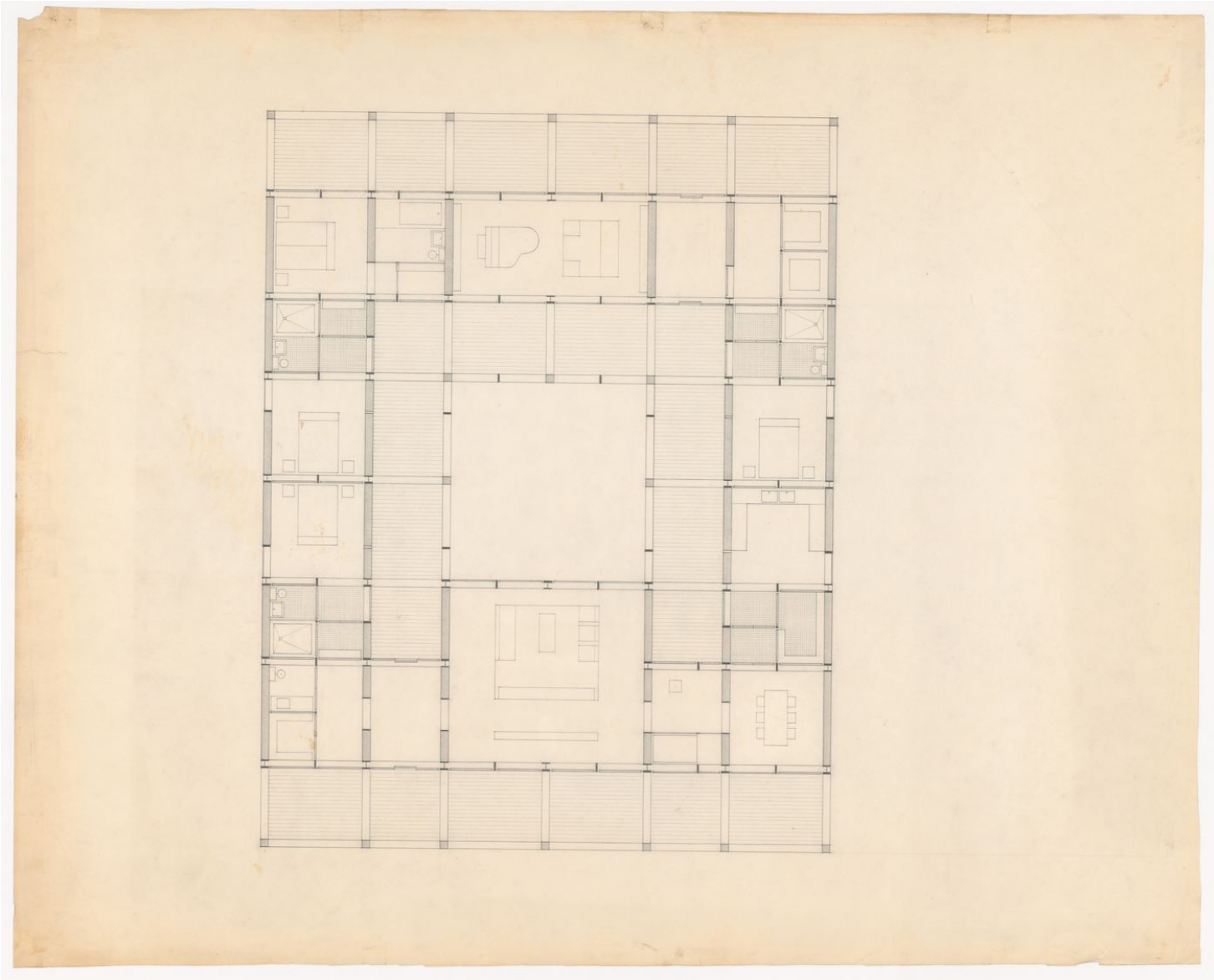
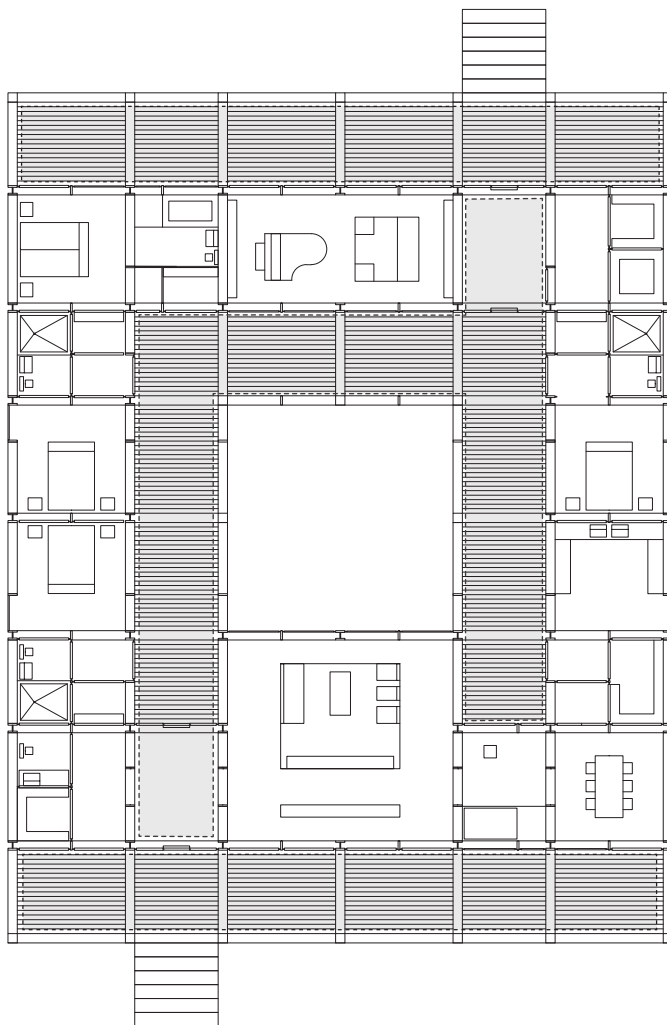


Fig. 77 - Posición de sistema de circulación en la Casa Texas 3 y diagrama de identificación de los nueve cuadrados en la Casa Texas 3.

a. Casa Texas 3, posición de sistema de circulación en la Casa Texas 3 – basado en el plano “DR1998 0049 001 008” (Centro Canadiense de Arquitectura), Fuente: Elaboración propia.

b. Casa Texas 3, diagrama de identificación de los nueve cuadrados en la Casa Texas 3 - basado en el plano “DR1998 0049 001 008” (Centro Canadiense de Arquitectura), Fuente: Elaboración propia.

a.



b.

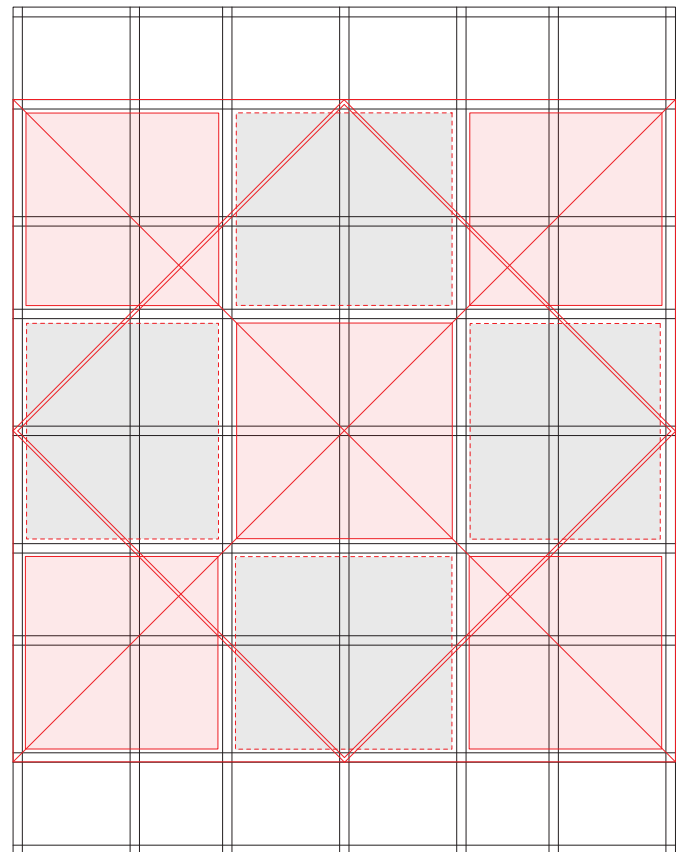


Fig. 78 - Diagrama de conformación de módulos cuadrados A y su relación con el centro.

Casa Texas 3, diagrama de conformación de módulos cuadrados A y su relación con el centro en la Casa Texas 3 – basado en el plano “DR1998 0049 002 002” (Centro Canadiense de Arquitectura), Fuente: Elaboración propia.

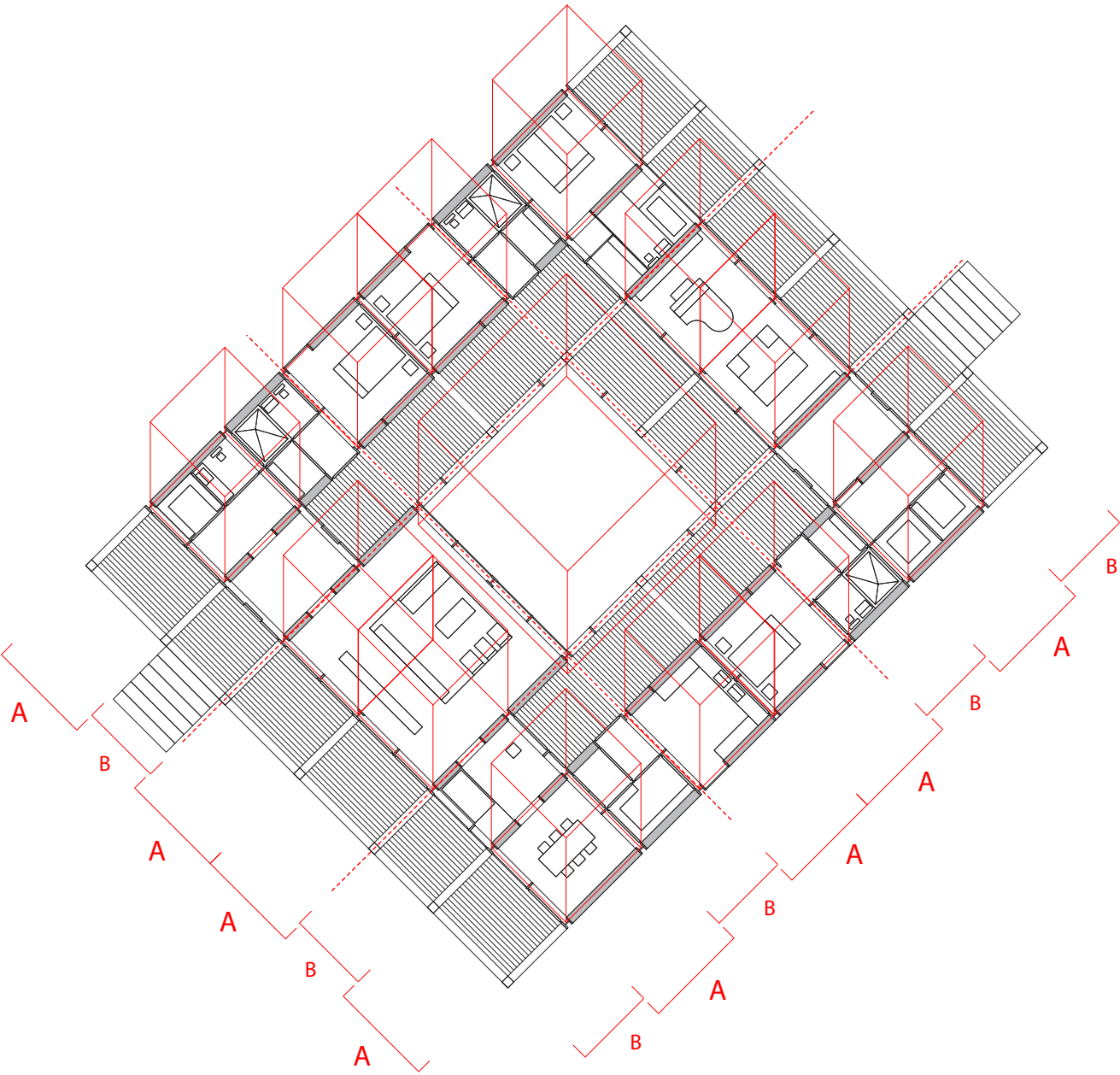


Fig. 79 - Planta Casa Texas 3. Esta propuesta para la Casa Texas 3 tiene una relación directa con las dos Casas Texas anteriores, 1 (DR1998:0047:003:002) y 2 (DR1998:0048:002:002). La representación sigue los mismo códigos, grafito y color amarillo, además de utilizar los mismo elementos en la composición interior, paneles divisorios entre las columnas cuadradas y todas las subdivisiones de los módulos siguen relaciones de media distancia. La colocación de la fuente en el centro del patio y la presencia de paneles móviles entre la sala de estar y el patio sugieren que en esta propuesta el patio estaba a la misma altura de la casa y por ende era habitable.

Imagen: John Hejduk, Plan Texas House 3, 1954-1963, grafito y lápiz de color sobre papel translúcido, 77x92cm, Centro Canadiense de Arquitectura (Código de referencia): DR1998 0049 001 003 ©CCA.

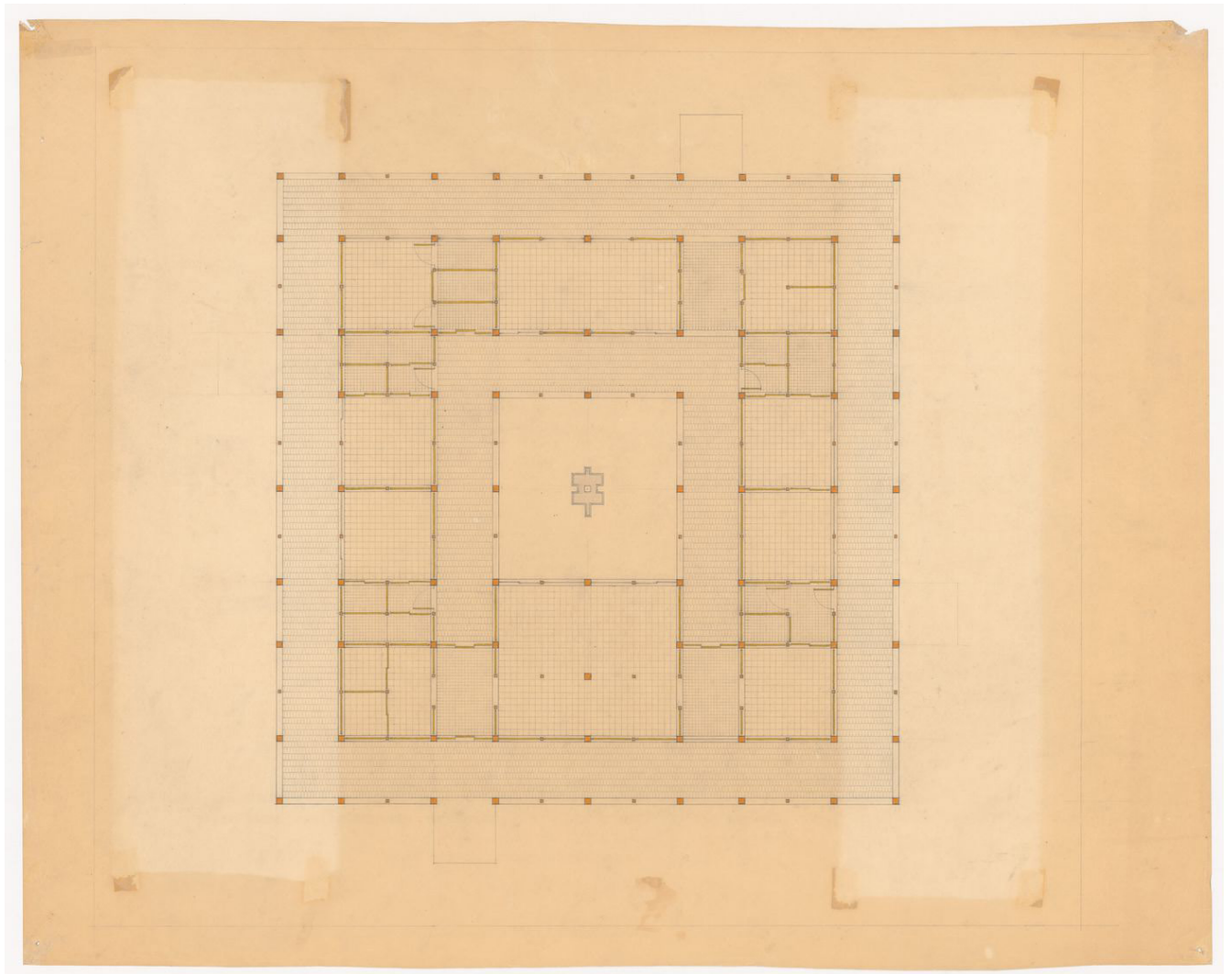


Fig. 80 - Axonometría Casa Texas 3.

Imagen: John Hejduk, Axonometric Texas House 3, 1954-1963, grafito sobre papel translúcido, 92x107cm, Centro Canadiense de Arquitectura (Código de referencia): DR1998 0049 002 002 ©CCA.

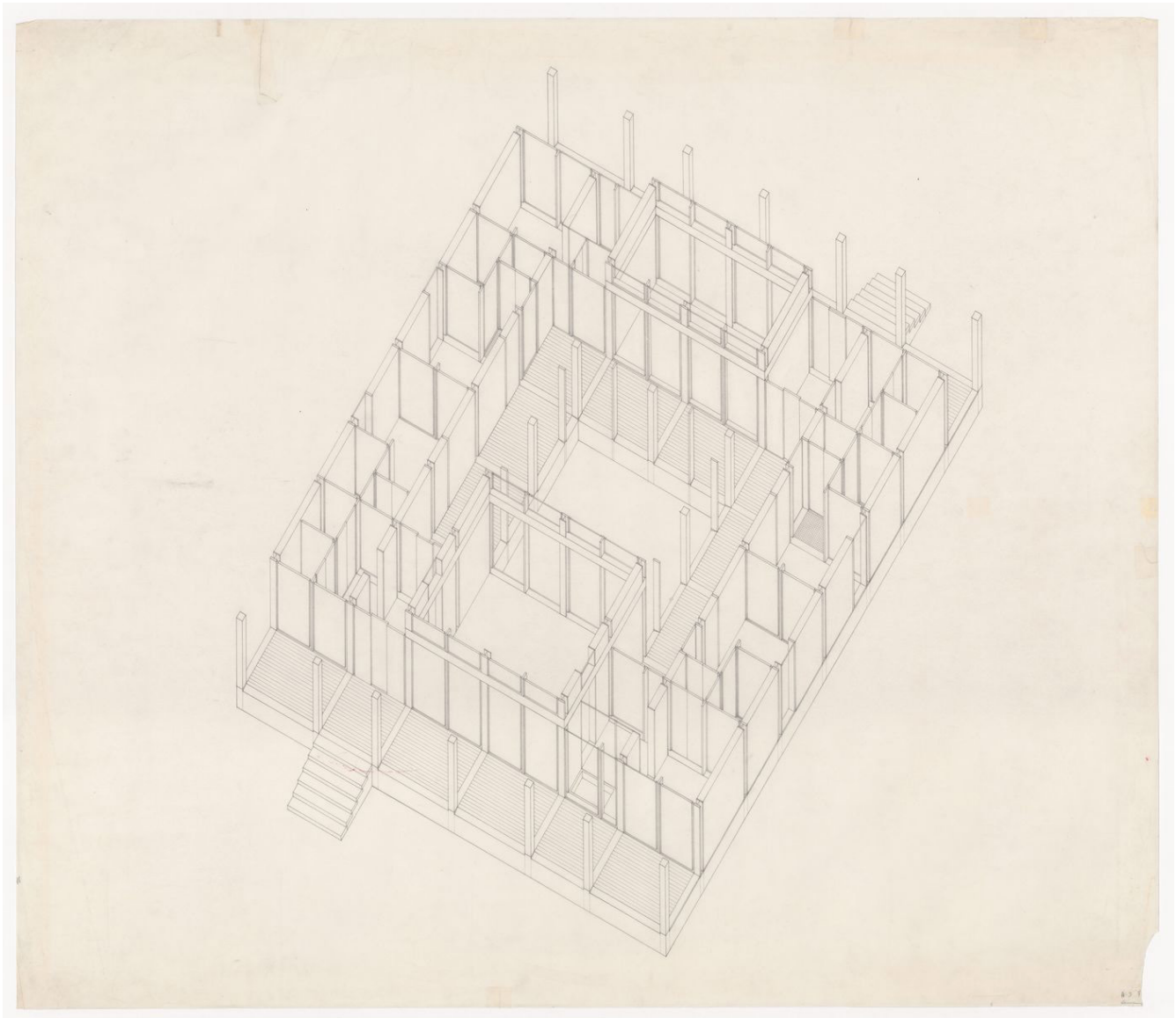


Fig. 81 - Diagrama de definición de límite en la Casa Texas 3.

Casa Texas 3, diagrama de definición de límite en la Casa Texas 3 – basado en el plano “DR1998 0049 002 002” (Centro Canadiense de Arquitectura), Fuente: Elaboración propia.

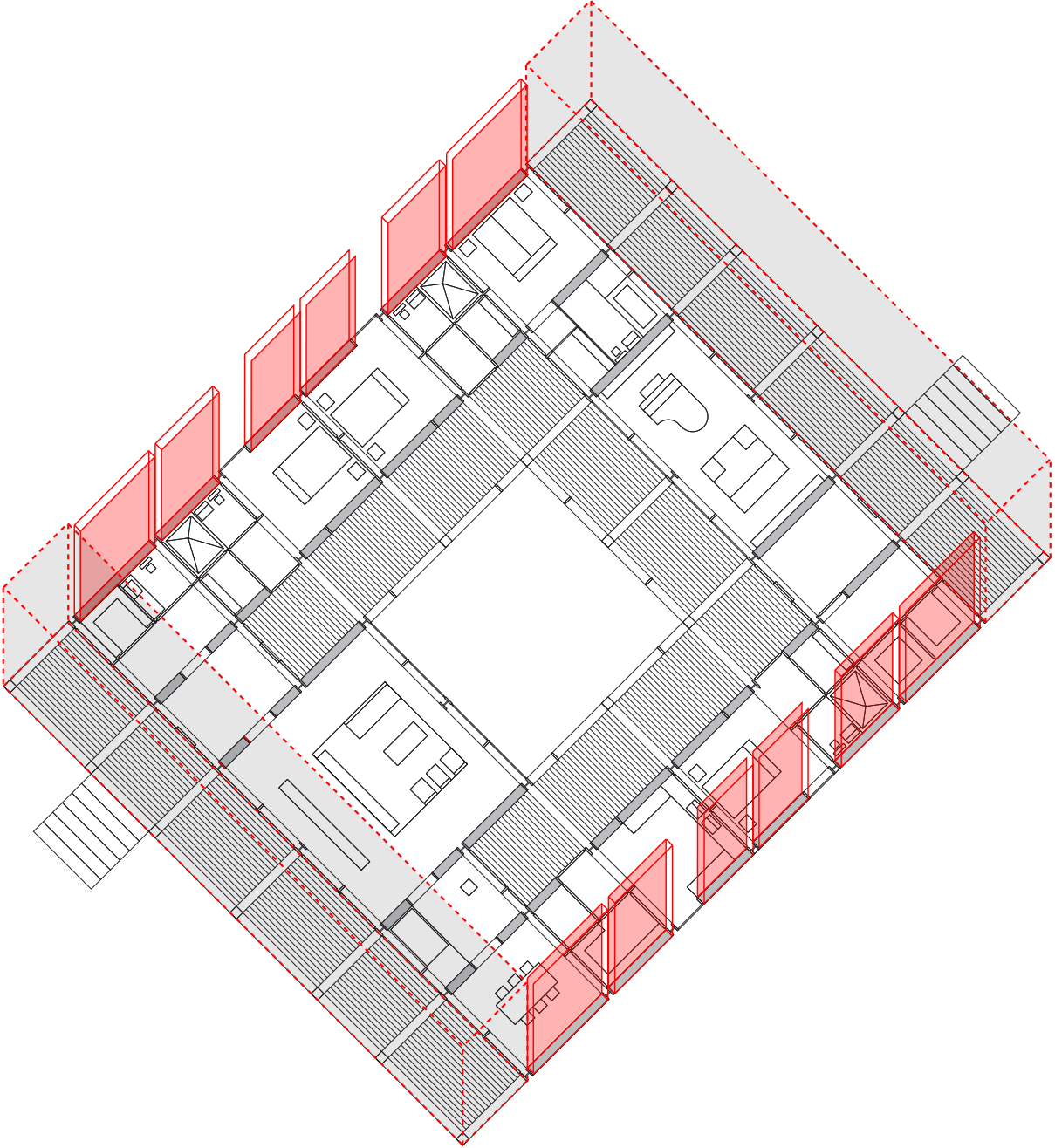


Fig. 82 - Diagrama de composición de módulos espaciales.

Casa Texas 3, diagrama de composición de módulos espaciales en la Casa Texas 3 – basado en el plano “DR1998 0049 001 008” (Centro Canadiense de Arquitectura), Fuente: Elaboración propia.

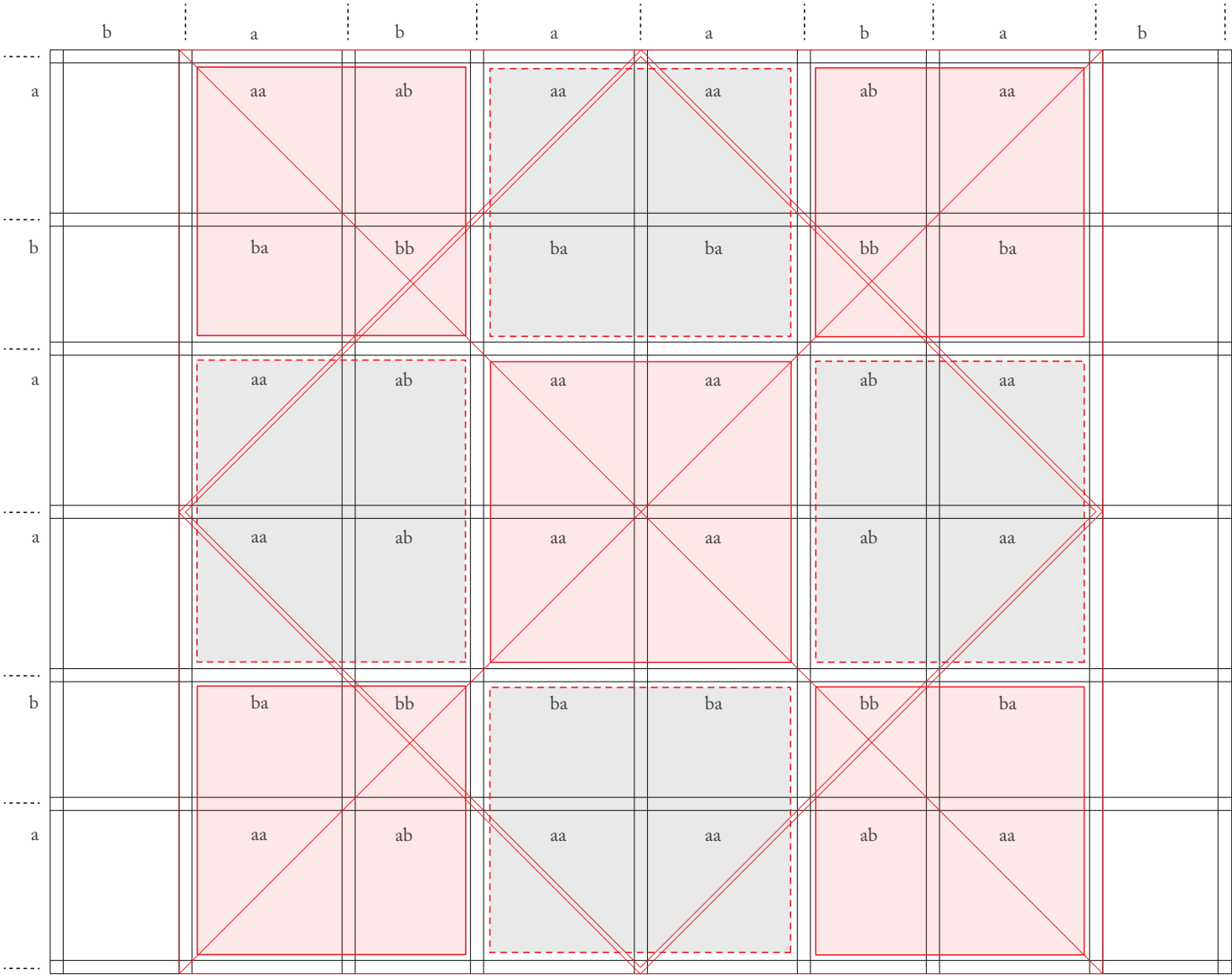
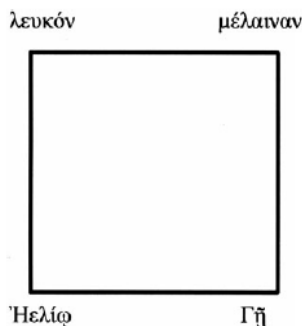
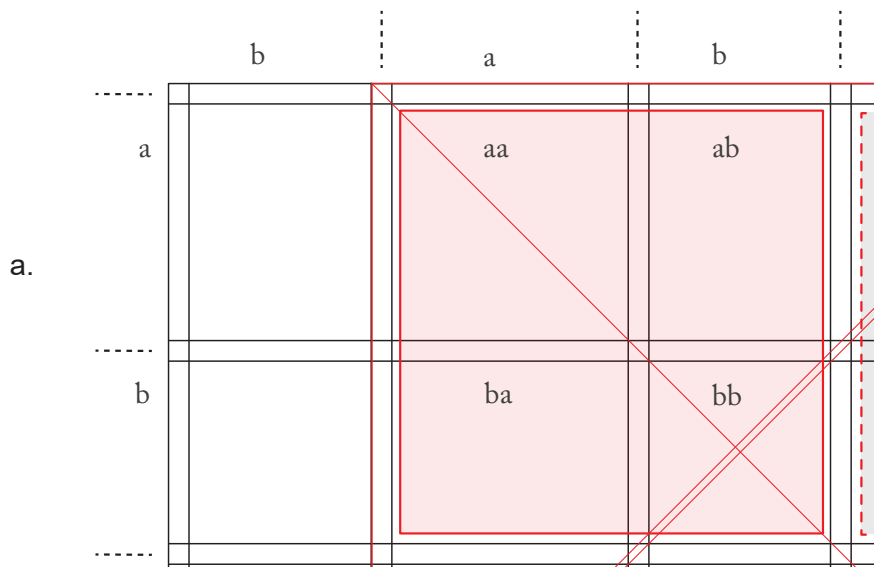


Fig. 83 - Detalle de diagrama de composición de módulos espaciales en la Casa Texas 3 y reconstrucción del diagrama de Eustacio de Tesalónica mostrando la utilización homérica del quiasmo.

a. Casa Texas 3, detalle de diagrama de composición de módulos espaciales en la Casa Texas 3 – basado en el plano “DR1998 0049 001 008” (Centro Canadiense de Arquitectura), Fuente: Elaboración propia.

b. Reconstrucción del diagrama de Eustacio de Tesalónica mostrando la utilización homérica del quiasmo. Diagrama por Edmund Thomas, tomado de: Thomas, Edmund. “Chiasmus in art and text”. Greece and Rome 60, núm. 1 (2013): 50–88. <https://doi.org/10.1017/S0017383512000265>.



b.

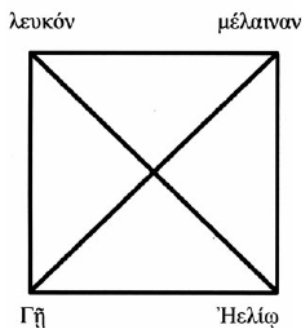


Figure 2. Reconstruction of Eustathius’ diagram to indicate Homeric chiasmus (based on the surviving manuscript). Source: after Lehnert (n. 14).

Fig. 84 - Identificación de las dos partes relacionadas por quiasmo en la totalidad de la obra.

Casa Texas 3, identificación de las dos partes relacionadas por quiasmo en la totalidad de la obra – basado en el plano “DR1998 0049 001 008” (Centro Canadiense de Arquitectura), Fuente: Elaboración propia.

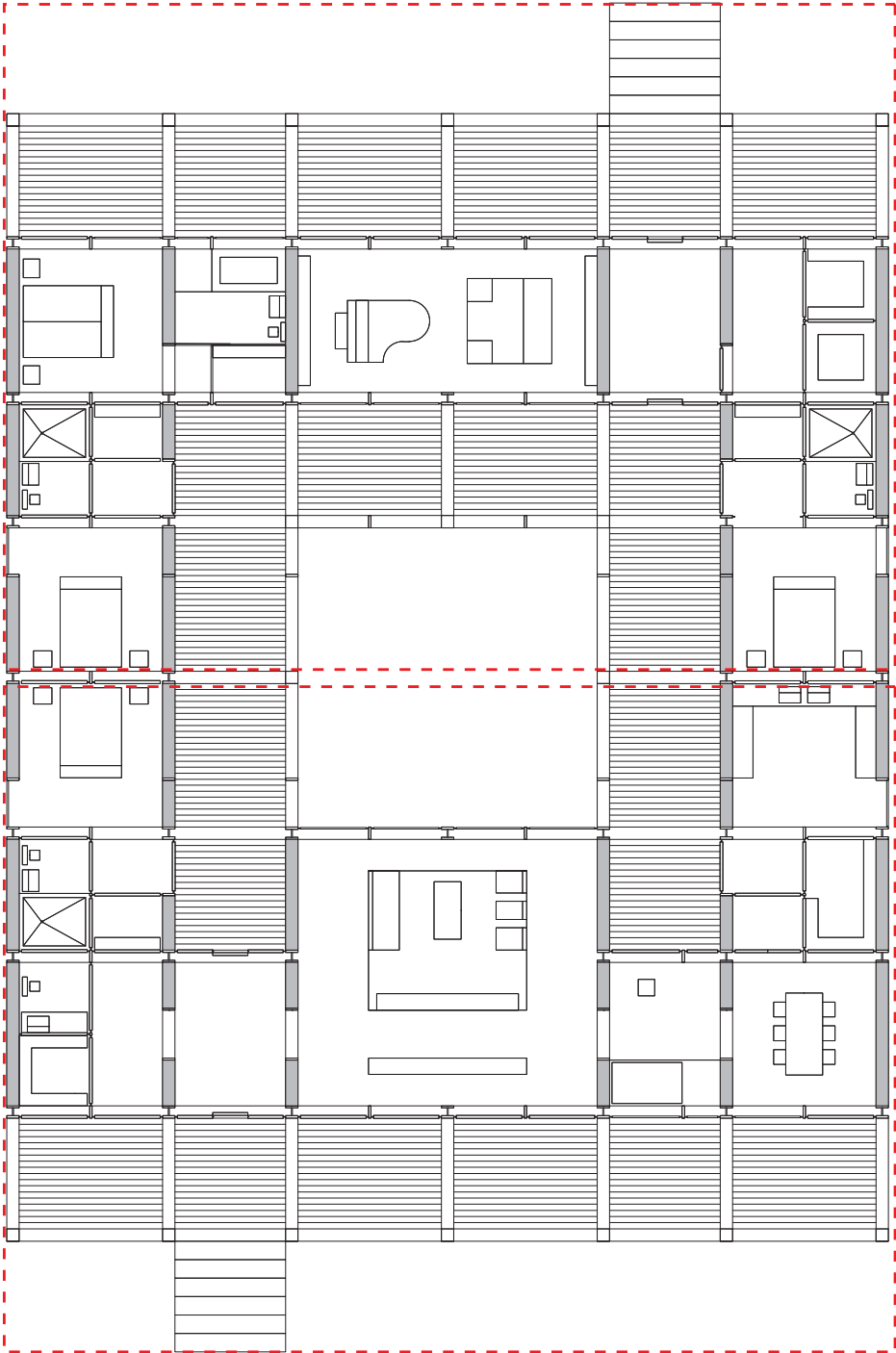


Fig. 85 - Detalle de la planta de la Casa Texas 3.

a. Imagen: Detalle de la planta de la Casa Texas 3 como es publicada en Mask of Medusa: Hejduk, John. Mask of Medusa. Editado por Kim Skapich. 1a ed. New York City: Rizzoli International Publications, 1985. p.227.

b. Casa Texas 3, detalle de la planta de la Casa Texas 3 - basado en el plano "DR1998 0049 001 008" (Centro Canadiense de Arquitectura), Fuente: Elaboración propia.

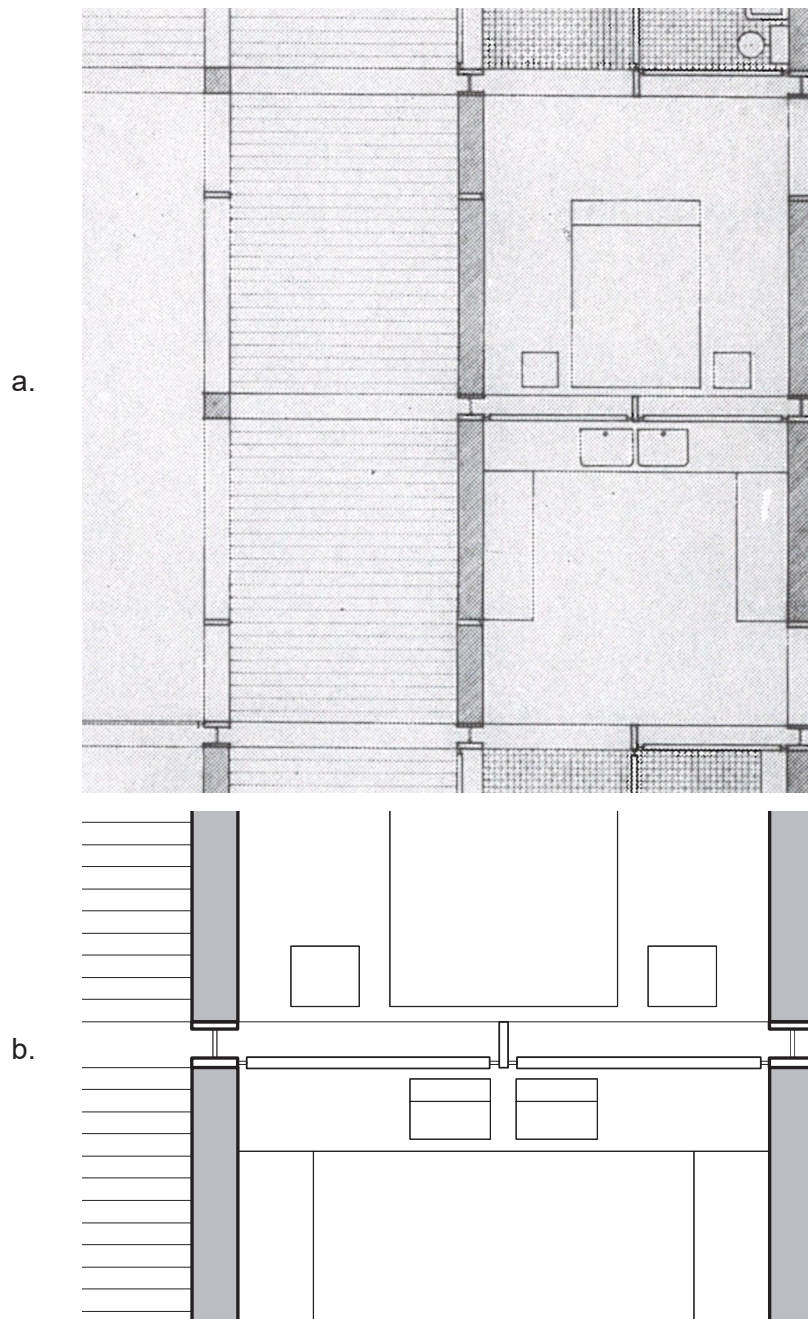


Fig. 86 - Planta Casa Texas 3. Existen diferentes versiones de la planta de la Casa Texas 3 que mantienen la composición de los módulos espaciales del interior y la organización en quiasmo pero que varían en cuanto a la definición de las columnas interiores de la casa.

Imagen: John Hejduk, Plan Texas House 3, 1954-1963, grafito sobre papel translúcido, 77x92cm, Centro Canadiense de Arquitectura (Código de referencia): DR1998 0049 001 006 ©CCA.

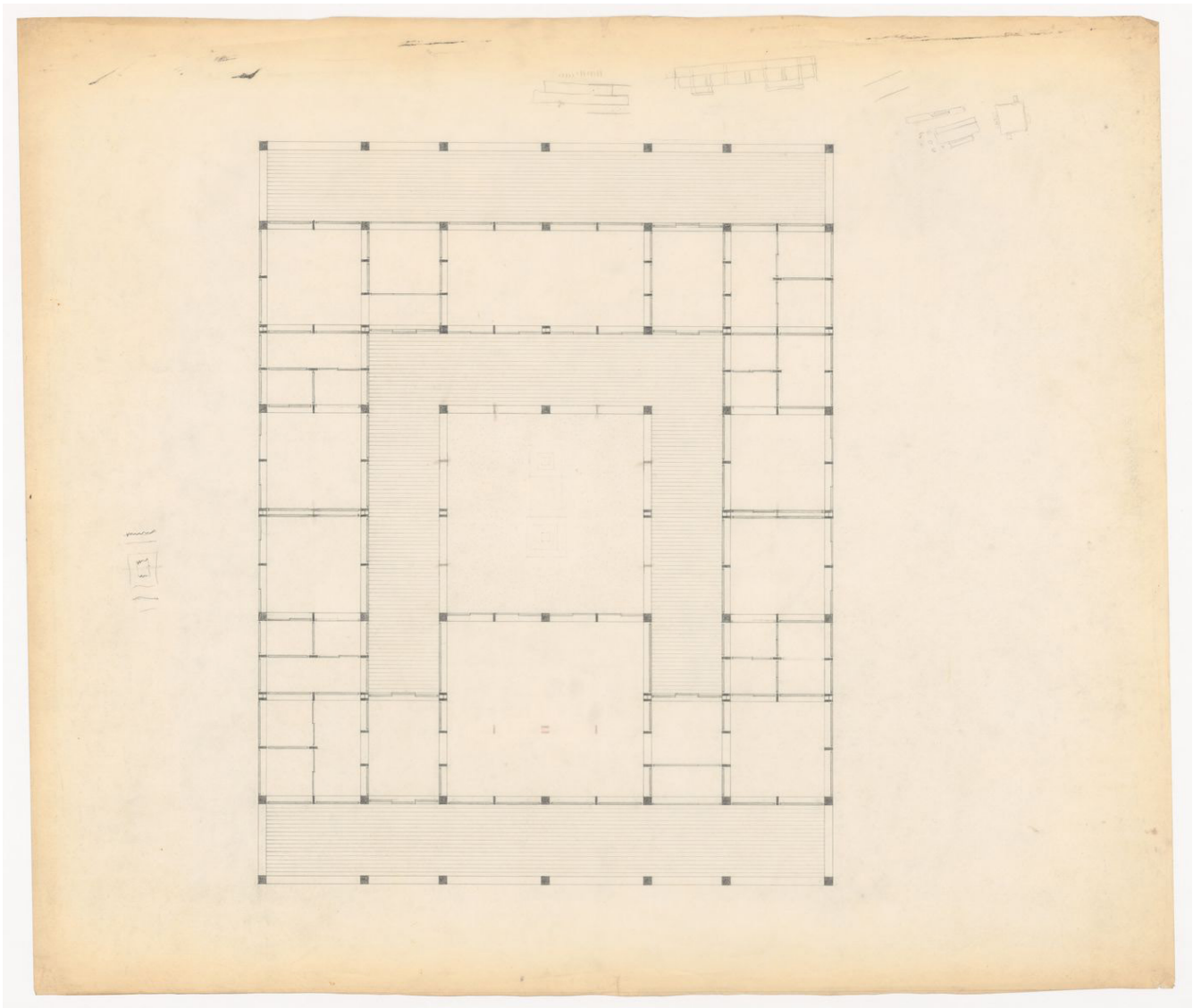


Fig. 87 - Planta y alzado esquemático de la Casa Texas 3.

Imagen: John Hejduk, Plan Texas House 3, 1954-1963, grafito sobre papel translúcido, 77x92cm, Centro Canadiense de Arquitectura (Código de referencia): DR1998 0049 001 004 ©CCA.

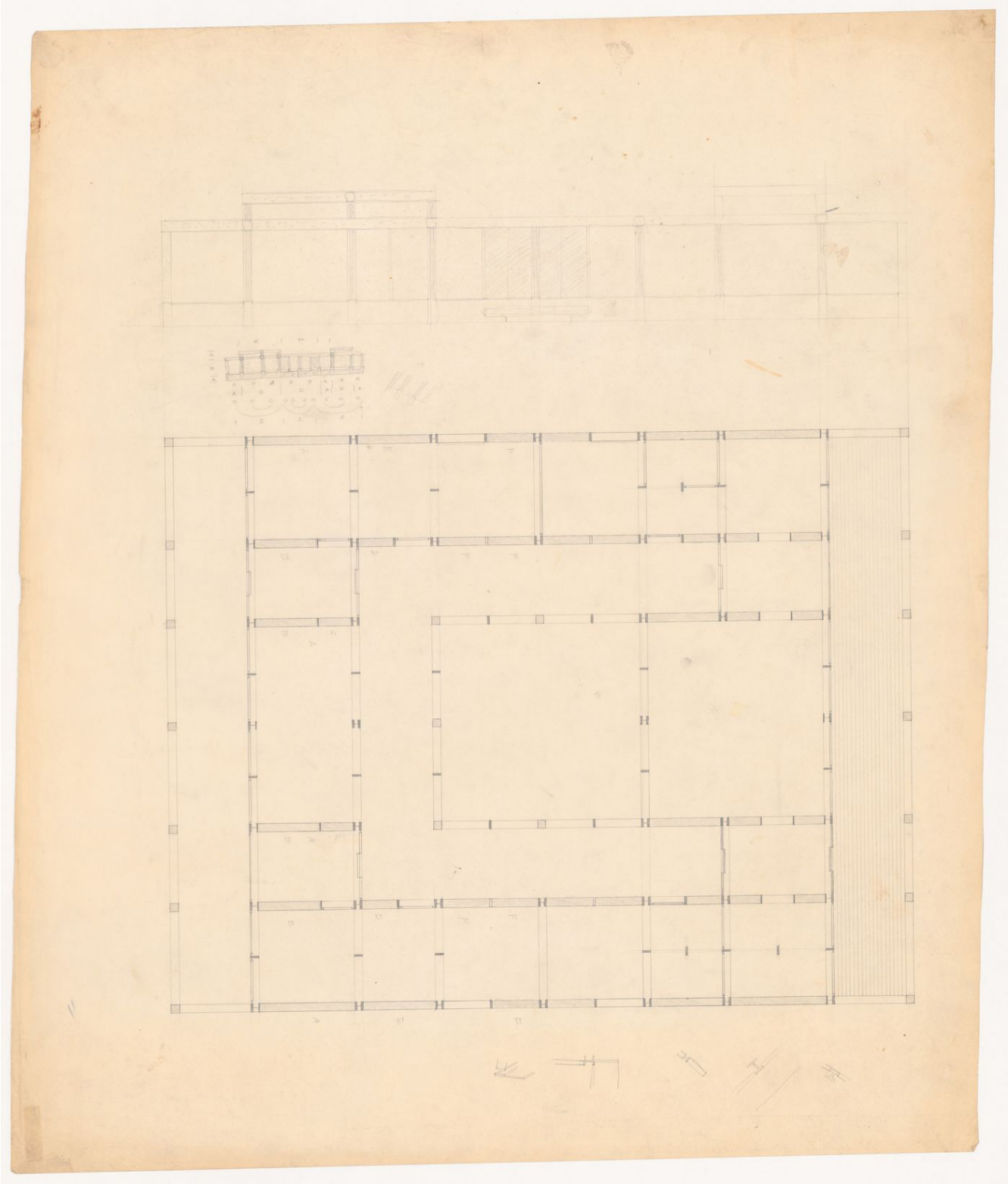


Fig. 88 - Splitting imagen exterior.

Imagen: Gordon Matta-Clark, Splitting, 1974, gelatin silver print from Matta-Clark negatives, 39,5x49,5cm, Centro Canadiense de Arquitectura (Código de referencia): PHCON2002 0016 088 004 ©CCA.



Fig. 89 - Splitting. Aunque la posición de Matta-Clark sea efectivamente opuesta a la creencia en el dibujo como esencia de la arquitectura, su exploración acerca de la separación (splitting) de una obra arquitectónica obtiene un resultado análogo al de Hejduk. Gordon Matta-Clark parte de una obra completa. Una casa unifamiliar en y procede a dividirla físicamente por una línea, en apariencia, aleatoria.

a. Imagen: Gordon Matta-Clark, Splitting, 1974, gelatin silver print from Matta-Clark negatives, 39,5x49,5cm, Centro Canadiense de Arquitectura (Código de referencia): PHCON2002 0016 088 010 ©CCA.

b. Imagen: Gordon Matta-Clark, Splitting, 1974, gelatin silver print from Matta-Clark negatives, 39,5x49,5cm, Centro Canadiense de Arquitectura (Código de referencia): PHCON2002 0016 088 001 ©CCA.

a.



b.



Fig. 90 - Splitting imagen interior.

Imagen: Gordon Matta-Clark, Splitting, 1974, gelatin silver print from Matta-Clark negatives, 39,5x49,5cm, Centro Canadiense de Arquitectura (Código de referencia): PHCON2002 0016 088 002 ©CCA.

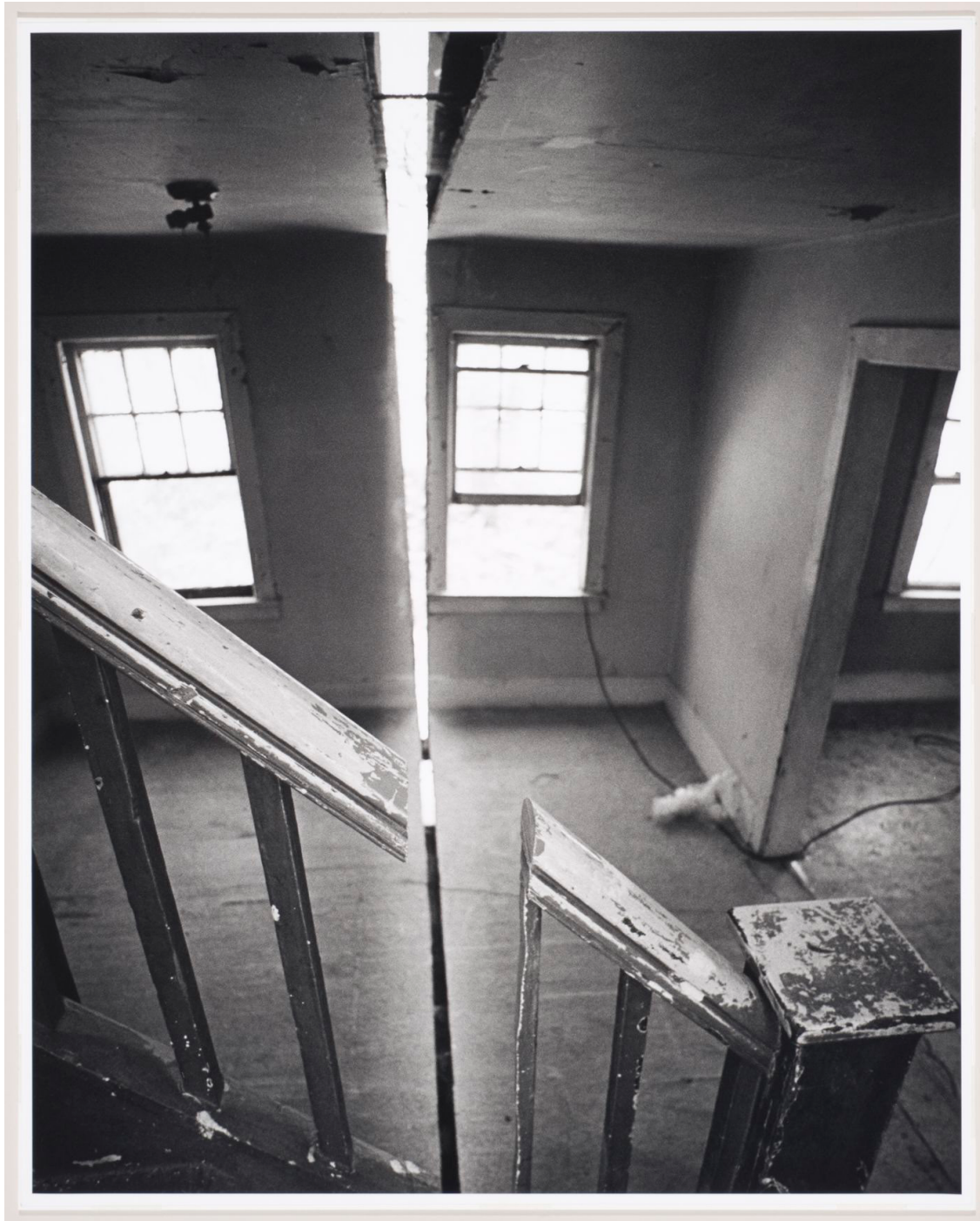


Fig. 91 - Diagrama de esquema formal y su relación con el borde en la Casa Diamond A.

Casa Diamond A, Diagrama en planta– basado en el plano “DR1998 0060 003 002 ” (Centro Canadiense de Arquitectura), Fuente: Elaboración propia.

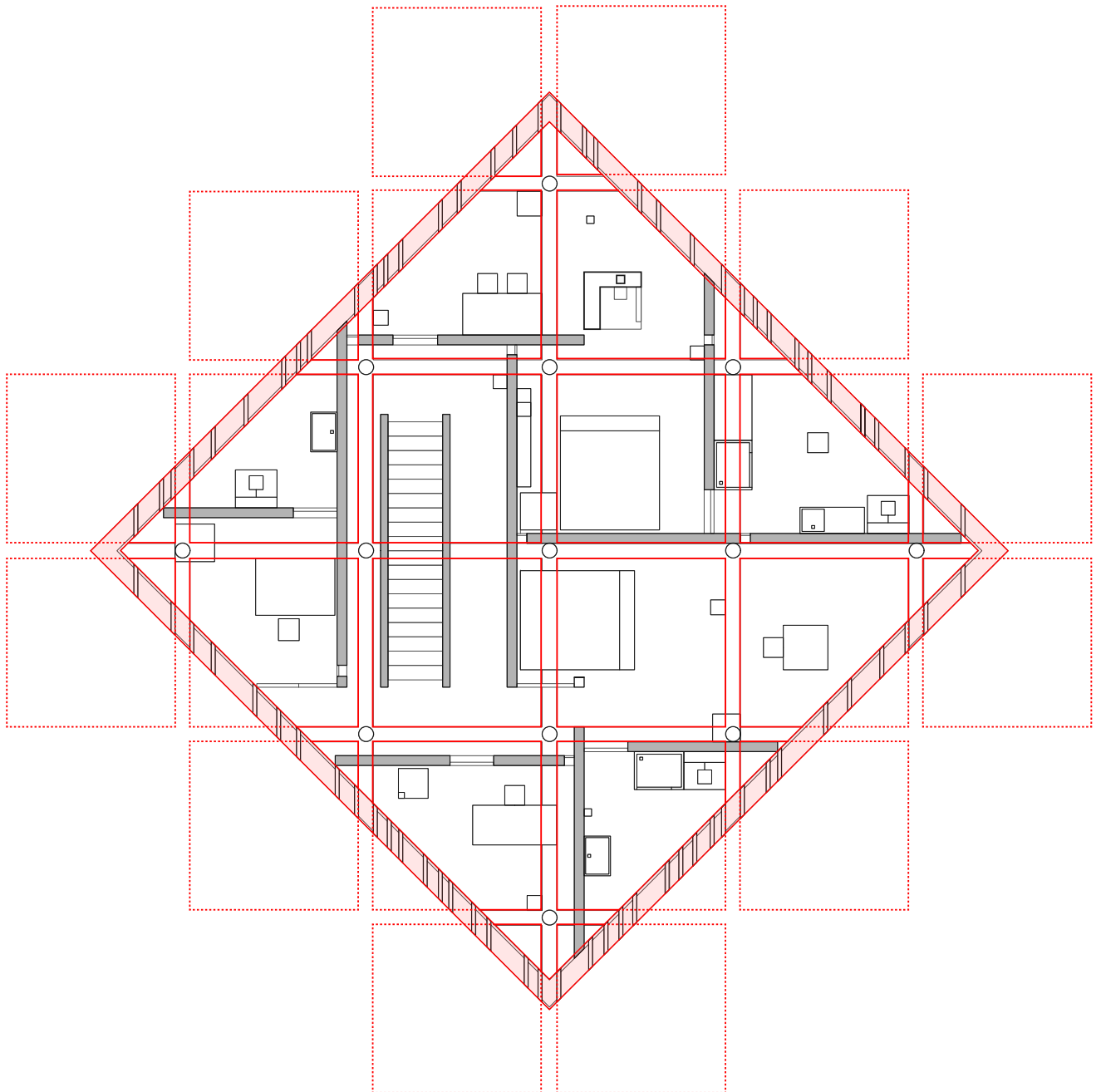


Fig. 92 - Fanal à étages, faro por niveles.

Imagen: Étienne-Louis Boullée, *Élévation, Fanal à étages*, 1781-1793, dibujo tinta negra, aguada gris-marrón, 40x62cm, Bibliothèque nationale de France, département Estampes et photographie (Código de referencia): [ark:/12148/btv1b531645872](https://nbn-resolving.org/urn:nbn:fr:bnf-est-12148-btv1b531645872) ©Dominio público.

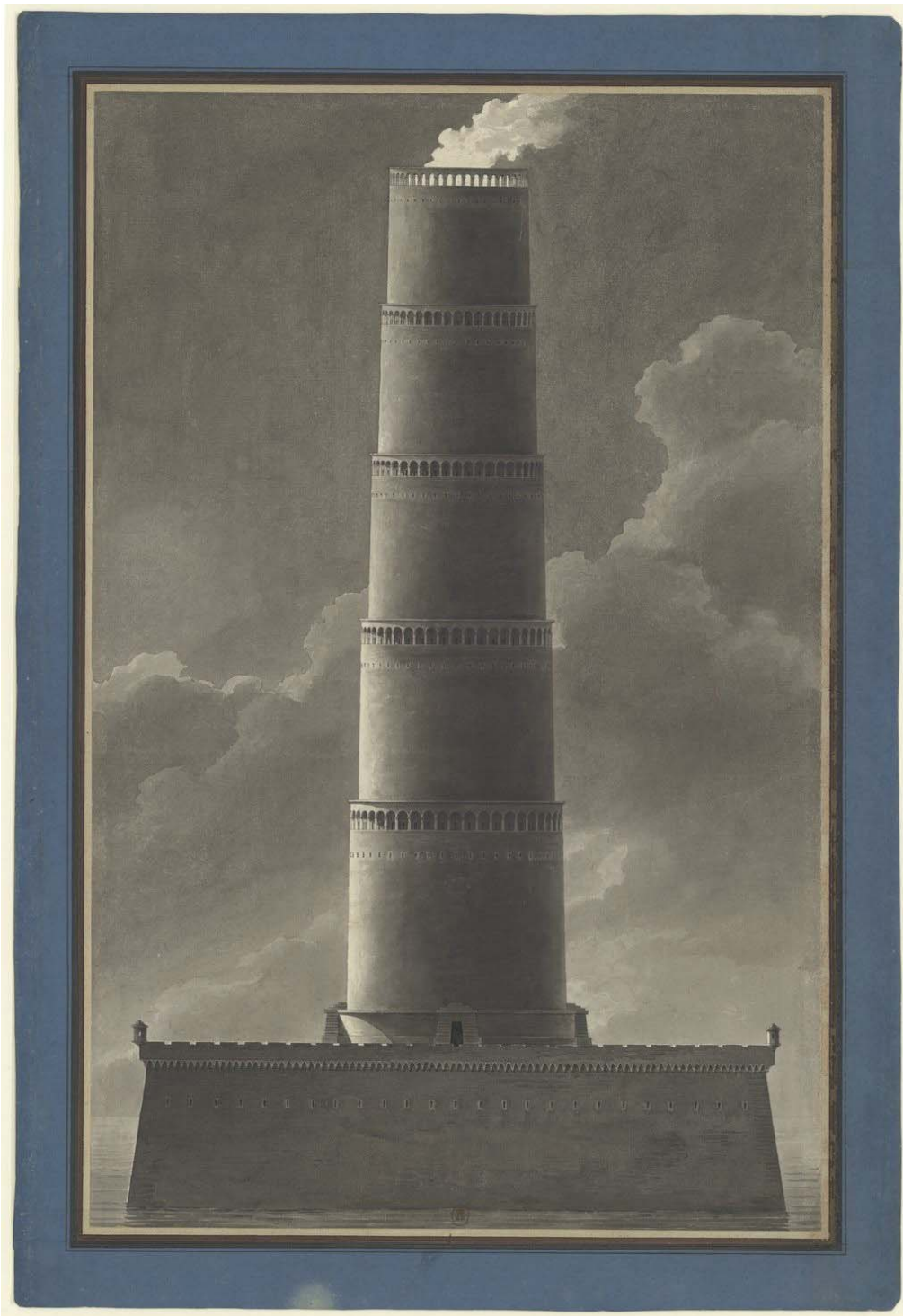


Fig. 93 - Fanal tronconique, faro cónico.

Imagen: Étienne-Louis Boullée, *Élévation*, Fanal tronconique, 1781-1793, dibujo tinta negra, aguada gris-marrón, 40x62cm, Bibliothèque nationale de France, département Estampes et photographie (Código de referencia): [ark:/12148/cb45195305z](https://nla.ark:/12148/cb45195305z) ©Dominio público.

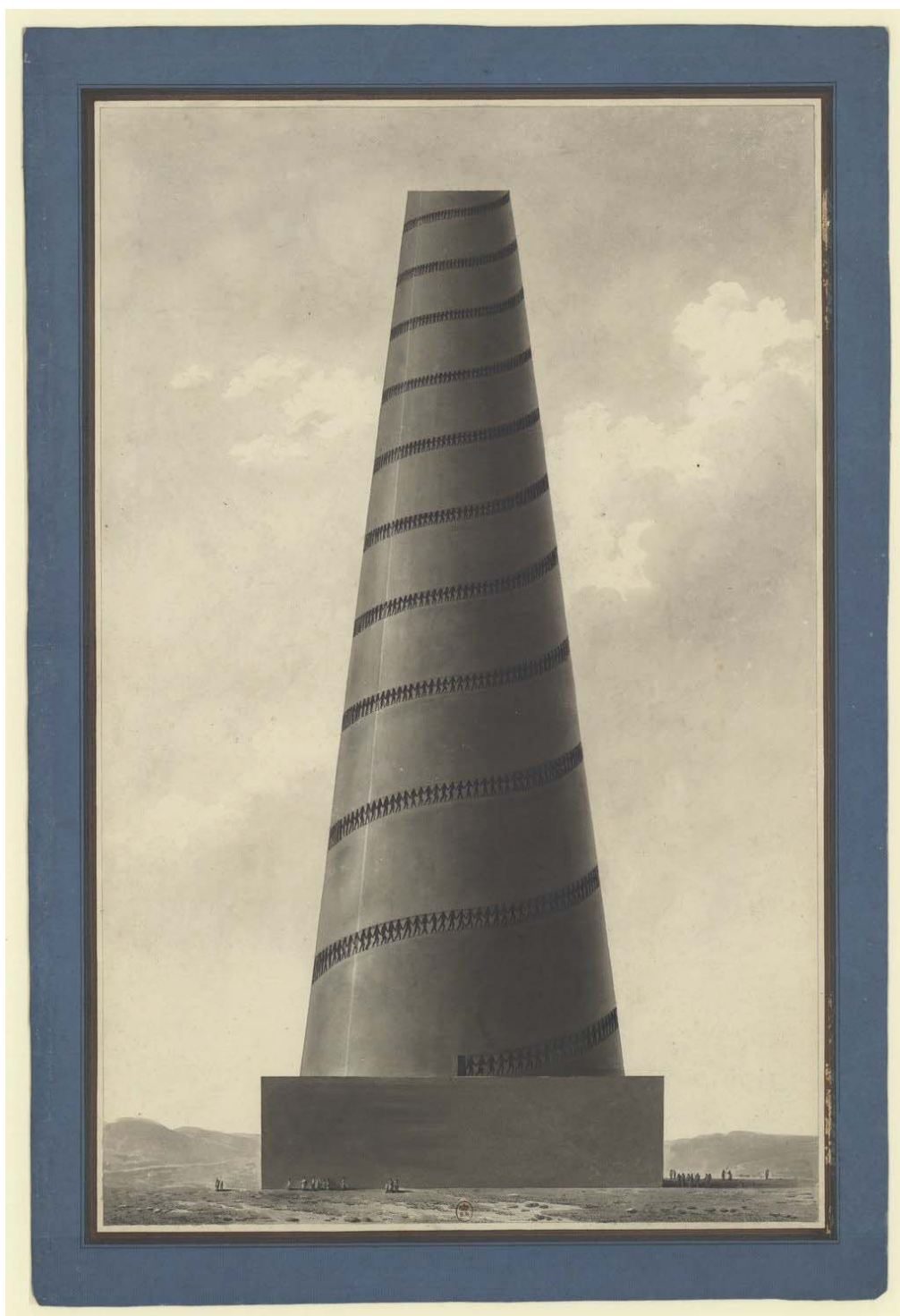


Fig. 94 -Ritmo de una danza rusa.

Imagen: Theo van Doesburg, Rhythm of a Russian Dance, 1918, óleo sobre lienzo, 135.9x61.6 cm, The Museum of Modern Art. Department, Painting and Sculpture. (código de referencia) 135.1946 <https://www.moma.org/collection/works/78948>

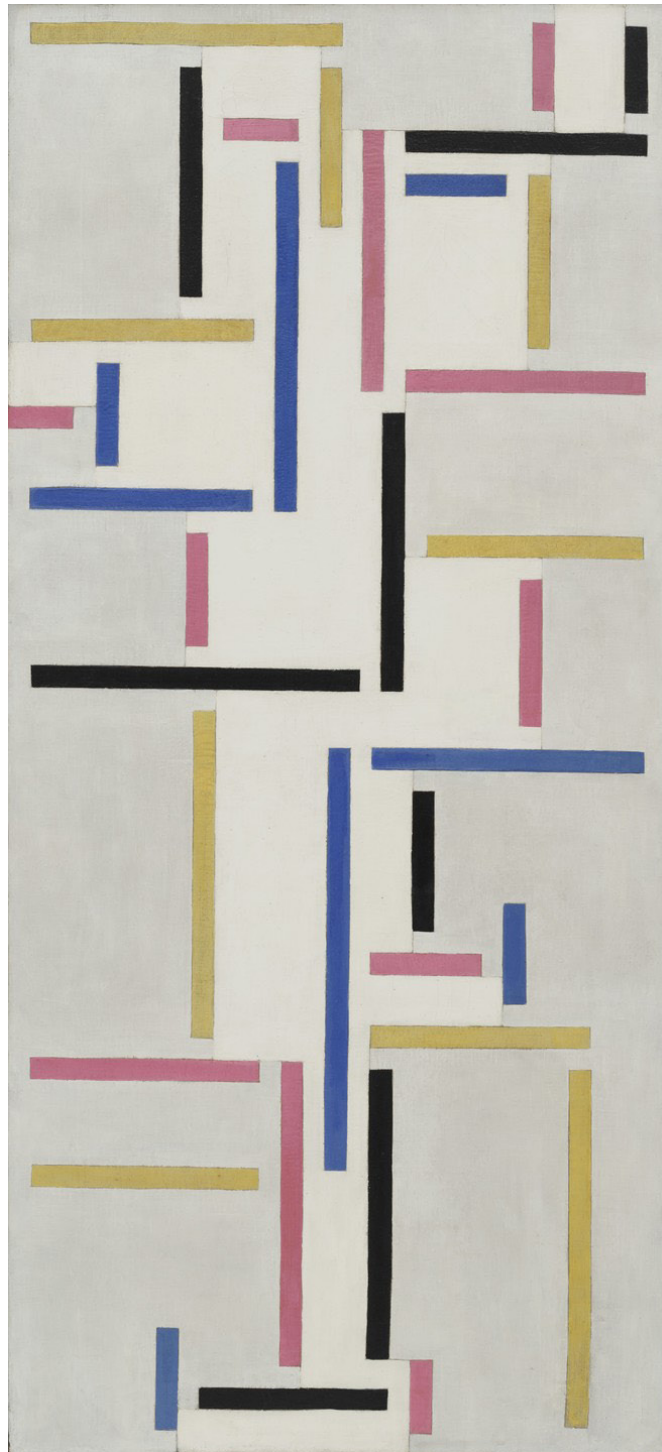


Fig. 95 - Planta Casa Diamond A.

Imagen: John Hejduk, Plan Diamond House A, 1963-1967, grafito sobre papel translúcido, 68x68cm, Centro Canadiense de Arquitectura (Código de referencia): DR1998 0060 003 013 ©CCA.

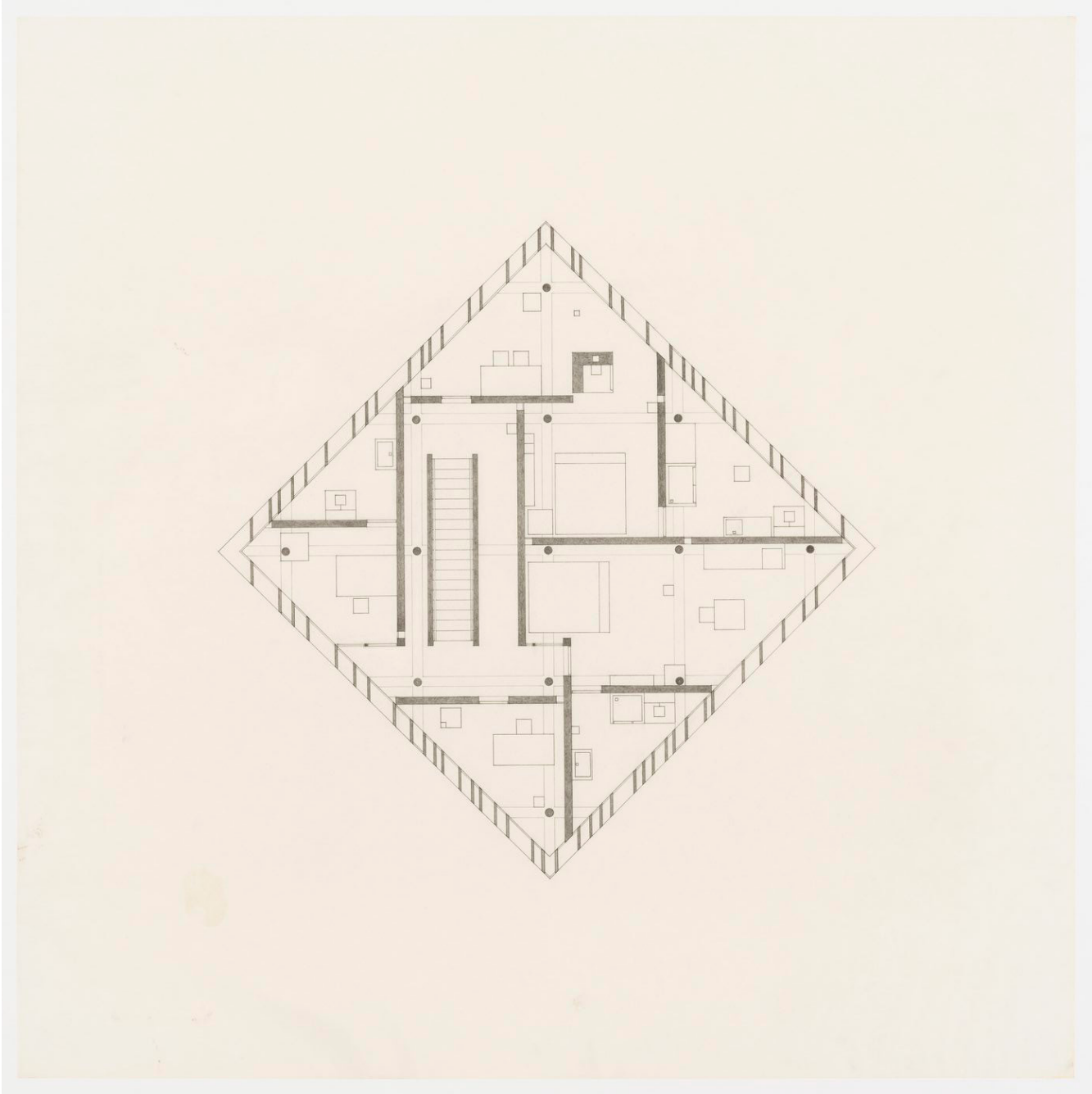


Fig. 96 - Planta Casa Diamond B.

Imagen: John Hejduk, Plan Diamond House B, 1963-1967, grafito sobre papel translúcido, 73x72,4cm, Centro Canadiense de Arquitectura (Código de referencia): DR1998 0061 001 002 ©CCA.

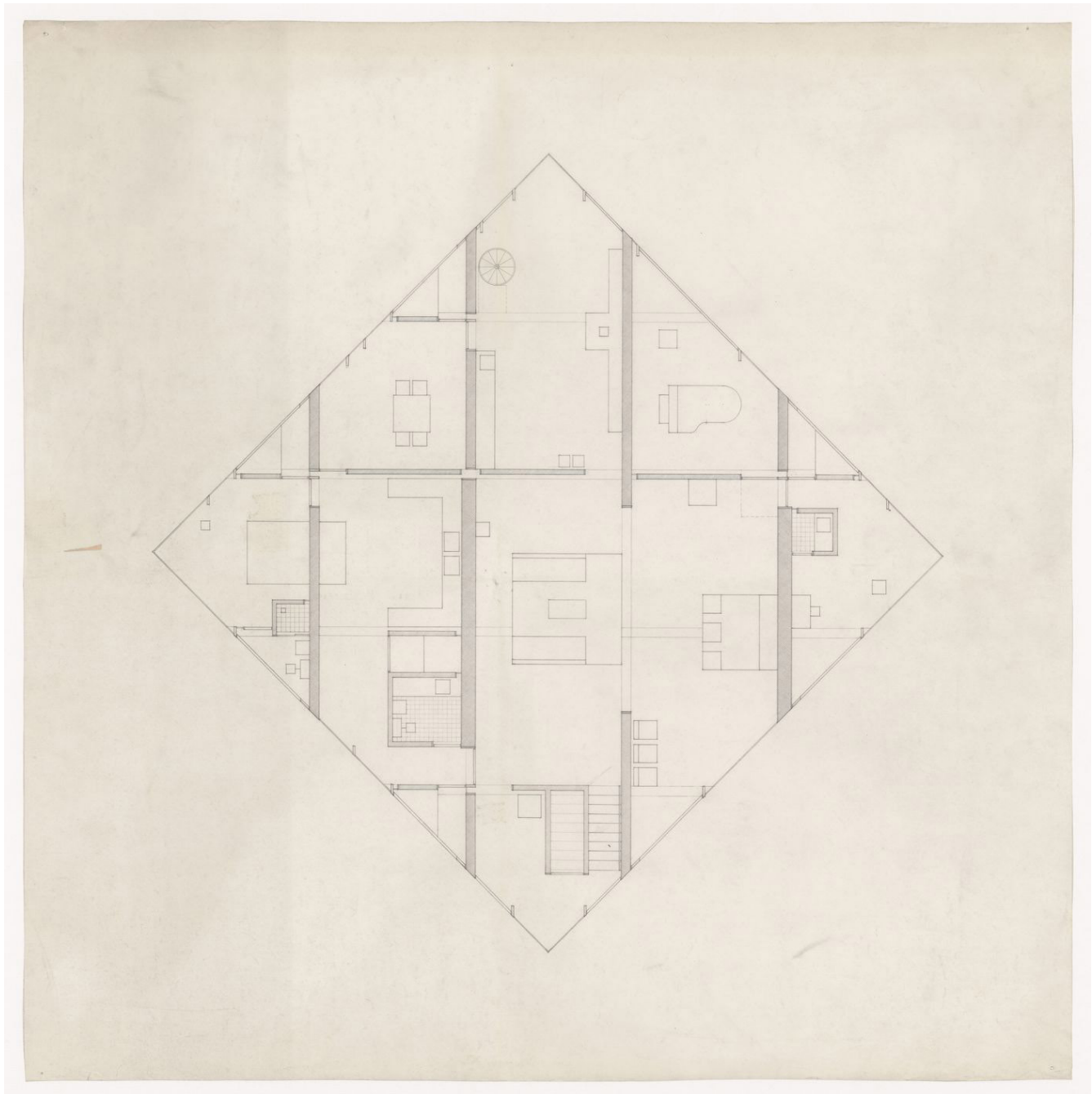


Fig. 97 - Alzado Casa Diamond A.

Casa Diamond A, Alzado – basado en el plano “DR1998 0060 003” (Centro Canadiense de Arquitectura),
Fuente: Elaboración propia.

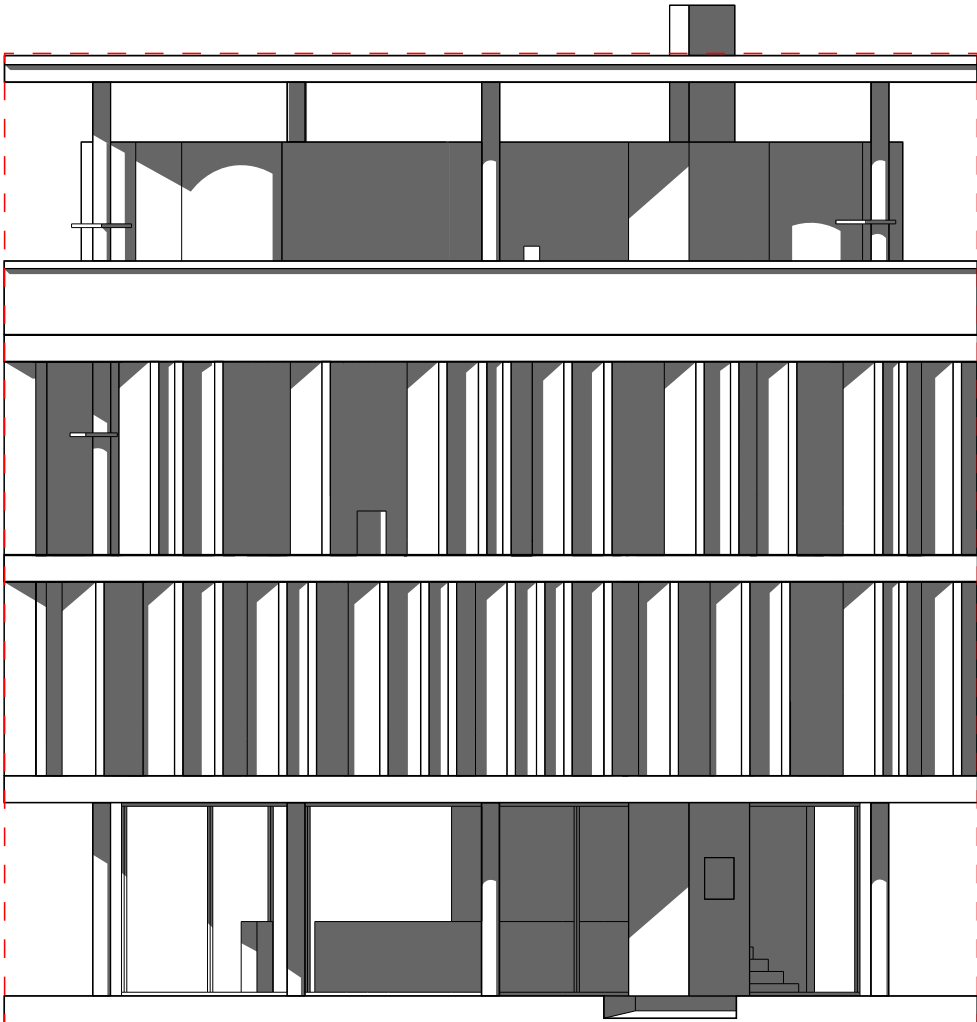


Fig. 98 - Axonometría general Casa Diamond A.

Imagen: John Hejduk, Axonometric for Diamond House A, 1963-1967, grafito sobre papel translúcido, 68x68 cm, Centro Canadiense de Arquitectura (Código de referencia): DR1998 0060 003 ©CCA.

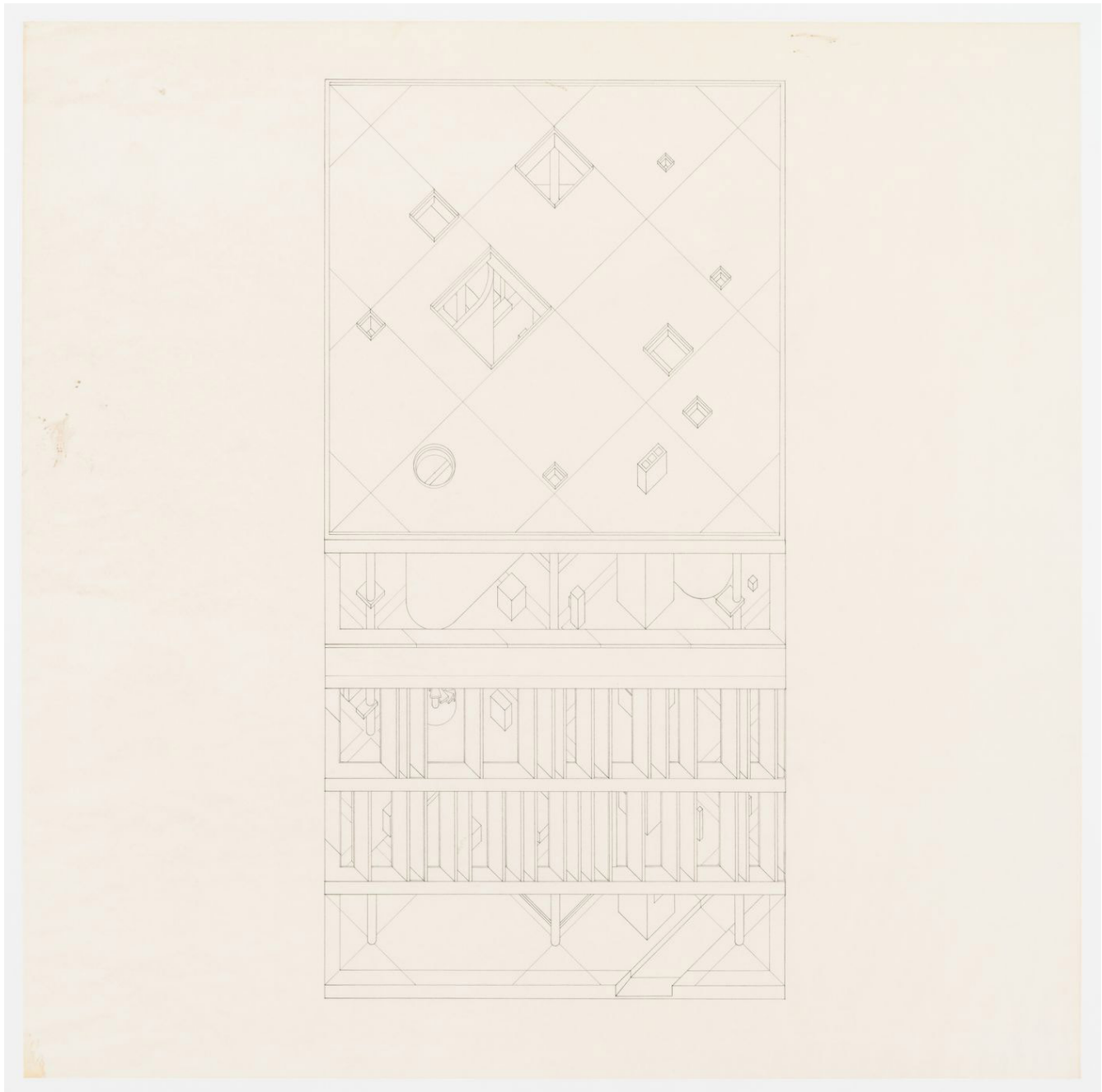


Fig. 99 - Axonometría tercer nivel Casa Diamond B.

Imagen: John Hejduk, Axonometric for Diamond House B, 1963-1967, grafito sobre papel translúcido, 75x118 cm, Centro Canadiense de Arquitectura (Código de referencia): DR1998 0061 001 017 ©CCA.



Fig. 100 - Axonometría nivel de acceso Casa Diamond A.

Imagen: John Hejduk, Axonometric for Diamond House A, 1963-1967, grafito sobre papel translúcido, 68x68 cm, Centro Canadiense de Arquitectura (Código de referencia): DR1998 0060 003 ©CCA.

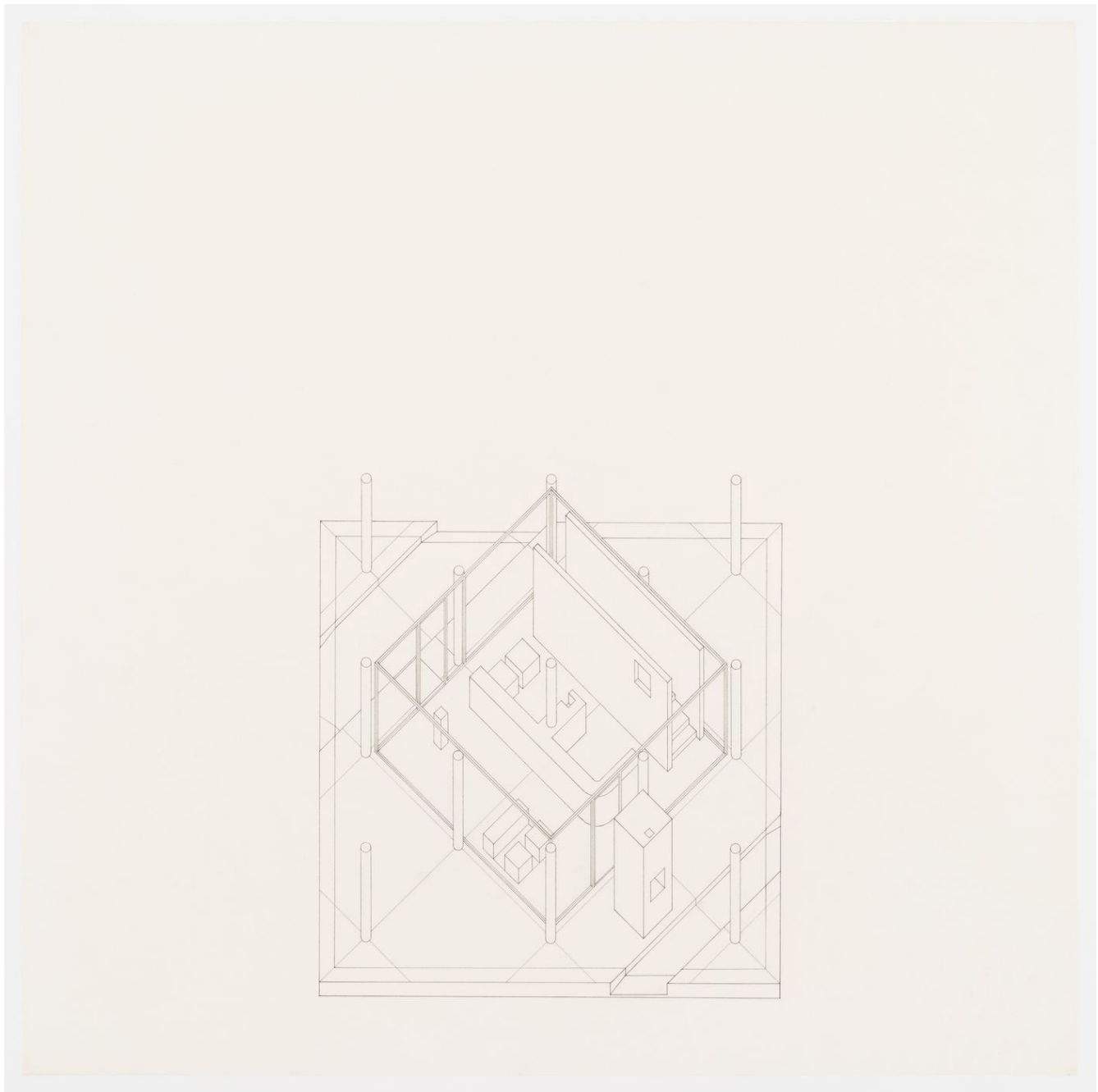


Fig. 101 -Borde nivel 4 Casa Diamond A.

Casa Diamond A, Alzado – basado en el plano “R1998 0060 003 ” (Centro Canadiense de Arquitectura),
Fuente: Elaboración propia.

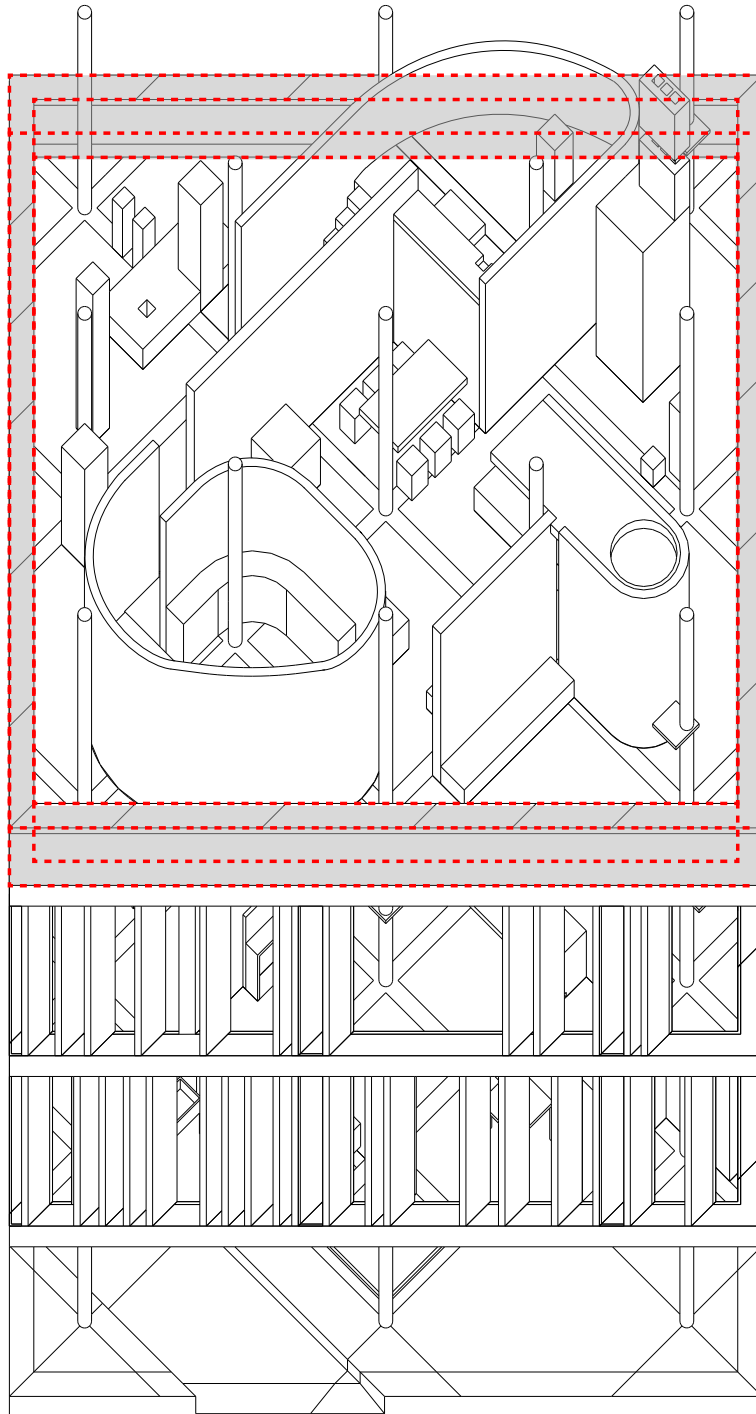


Fig. 102 - Borde nivel 3 en sentido paralelo a los elementos verticales Casa Diamond A.

Casa Diamond A, Alzado – basado en el plano “DR1998 0060 003” (Centro Canadiense de Arquitectura),
Fuente: Elaboración propia.

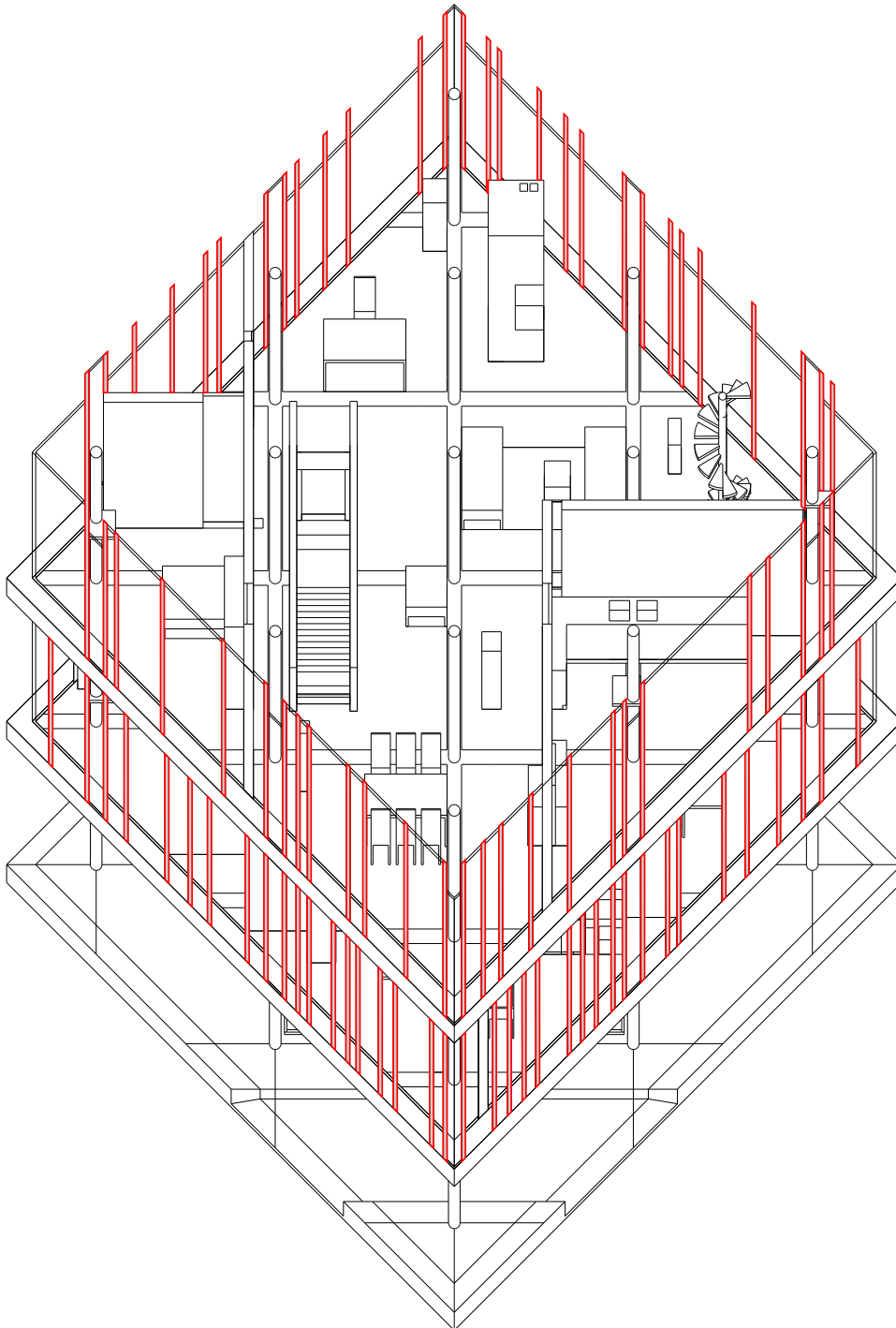


Fig. 103 - Borde nivel 3 en sentido perpendicular a los elementos verticales Casa Diamond A.

Casa Diamond A, Diagrama en axonometría – basado en el plano “DR1998 0060 003” (Centro Canadiense de Arquitectura), Fuente: Elaboración propia.

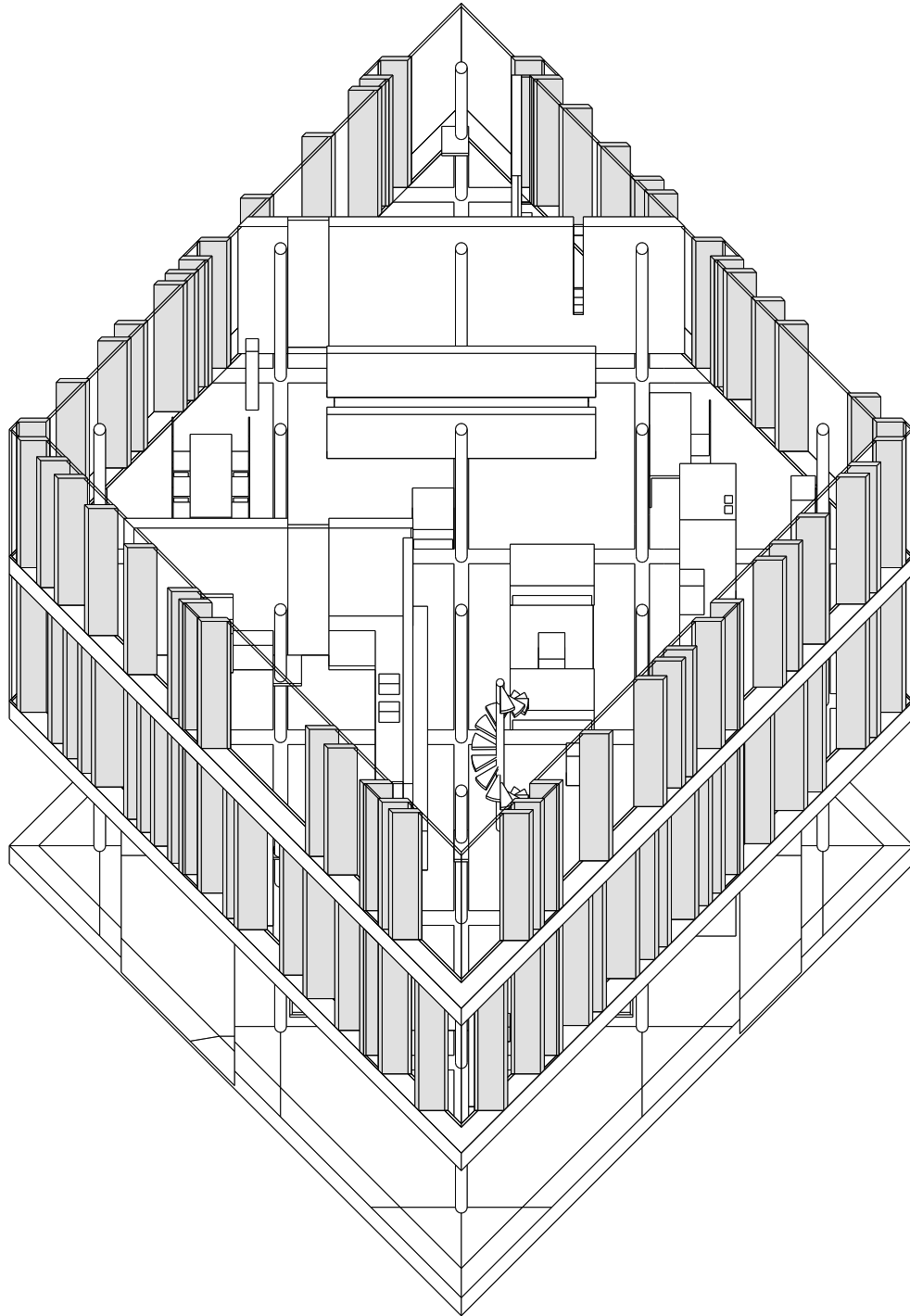


Fig. 104 - Templo dórico de Segeste. Aunque Sigfried Giedion y Vincent Scully ven en las columnatas de los templos griegos relaciones contrarias de apertura al espacio exterior. Vincent Scully comenta que en los templos dóricos como este localizado en Segeste, Sicilia, el grosor y la expresividad de las columnas están relacionadas con la expresividad escultórica del cuerpo del templo. Las opiniones de Scully y Giedion coinciden en su lectura de los templos dóricos.

Fotografía de Samivel, imagen tomada de: Samivel. *Le Soleil se lève en Grèce*. 1a ed. París, Francia: Arthaud, 1959. ©ARTHAUD.

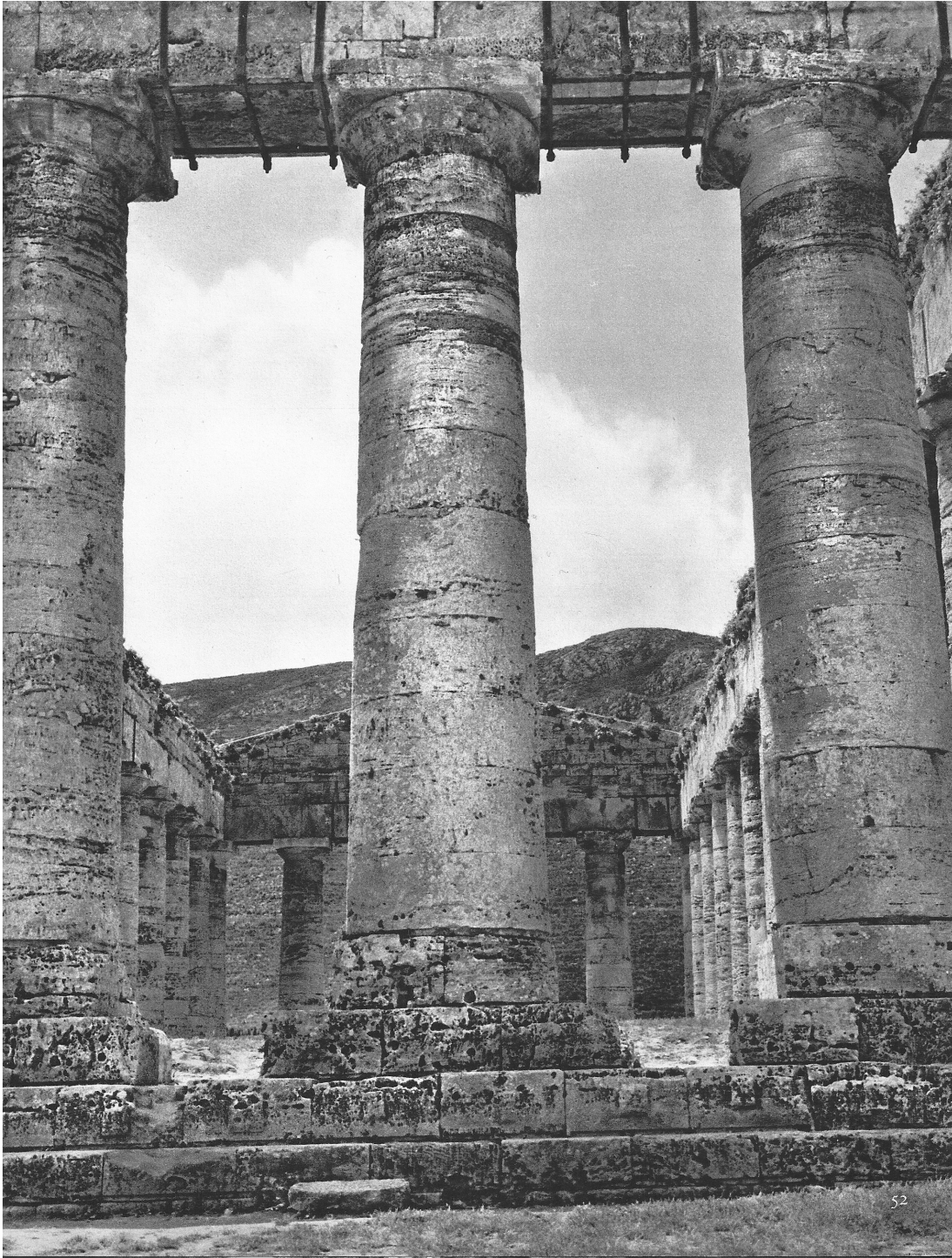


Fig. 105 - Partenón de Atenas. “Vista tomada desde el interior, hacia la columnata este (esquina noreste), en el peristilo norte, al amanecer.”

Fotografía de Samivel, imagen y descripción tomada de: Samivel. *Le Soleil se lève en Grèce*. 1a ed. París, Francia: Arthaud, 1959. Imagen. 102. ©ARTHAUD.



102

Fig. 106 - Vista interior hacia la fachada este del templo de Juno en Agrigento.

Fotografía de Samivel, imagen tomada de: Samivel. *Le Soleil se lève en Grèce*. 1a ed. París, Francia: Arthaud, 1959. ©ARTHAUD.



Fig. 107 - Planta nivel de acceso Casa Diamond B.

Imagen: John Hejduk, Plan Diamond House B, 1963-1967, grafito sobre papel translúcido, 70,8x92,2cm, Centro Canadiense de Arquitectura (Código de referencia): DR1998 0061 001 012 ©CCA.

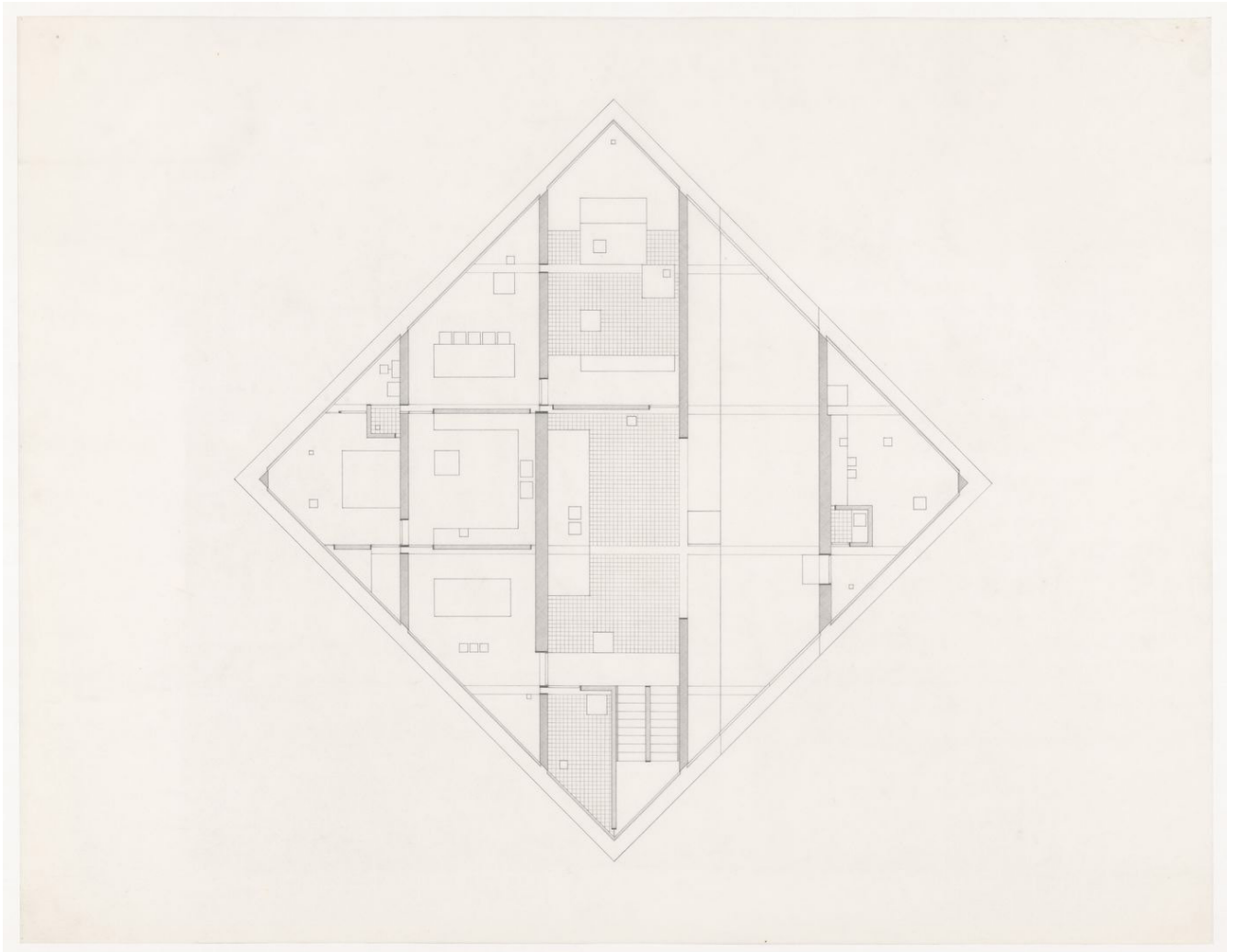


Fig. 108 - Diagrama de organización de muros Casa Diamond B.

Casa Diamond B, Diagrama en axonometría – basado en el plano “DR1998 0061 001 016” (Centro Canadiense de Arquitectura), Fuente: Elaboración propia.

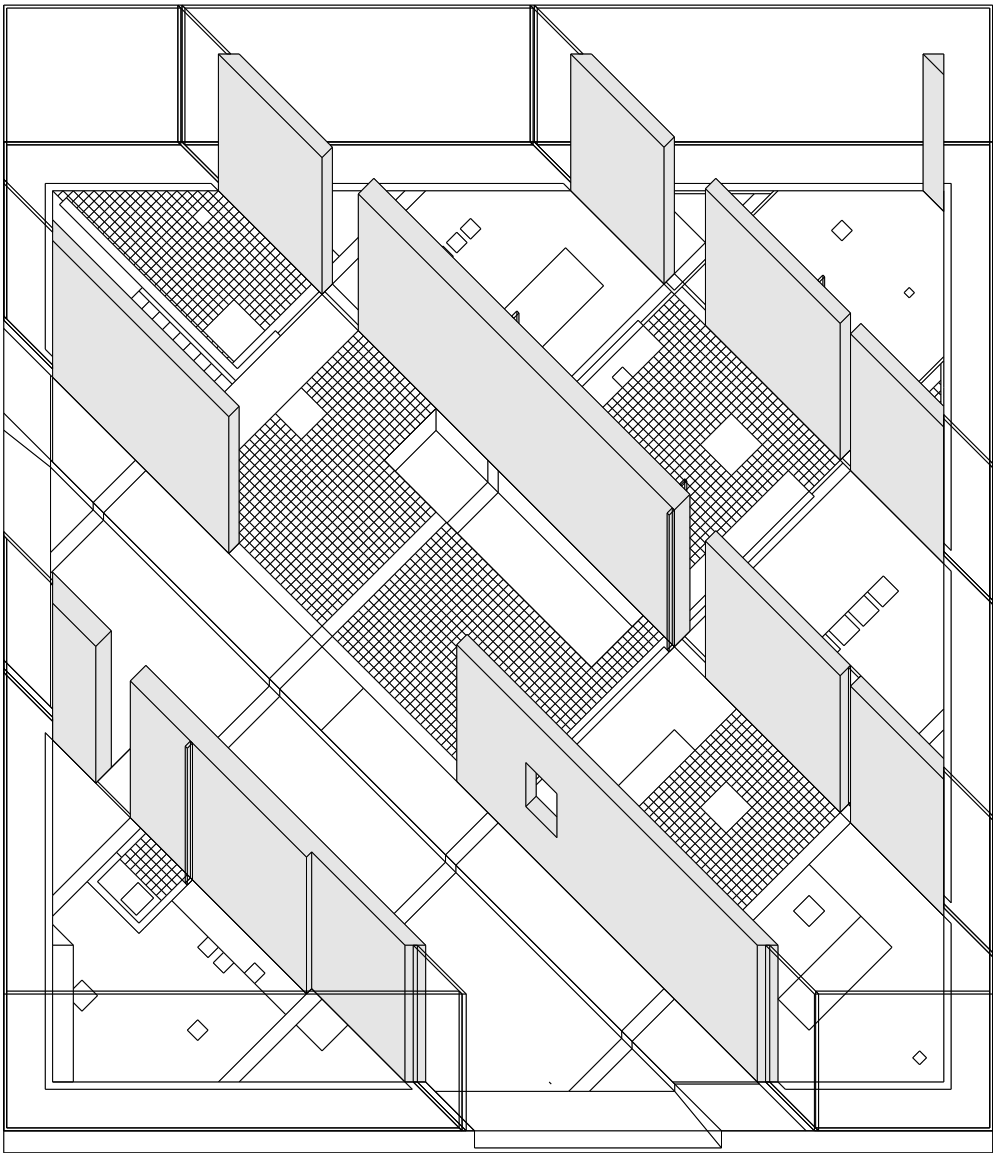


Fig. 109 -Diagrama de vacío sobre intersecciones en la Casa Diamond B.

Casa Diamond B, Diagrama en axonometría – basado en el plano “DR1998 0061 001 016” (Centro Canadiense de Arquitectura), Fuente: Elaboración propia.

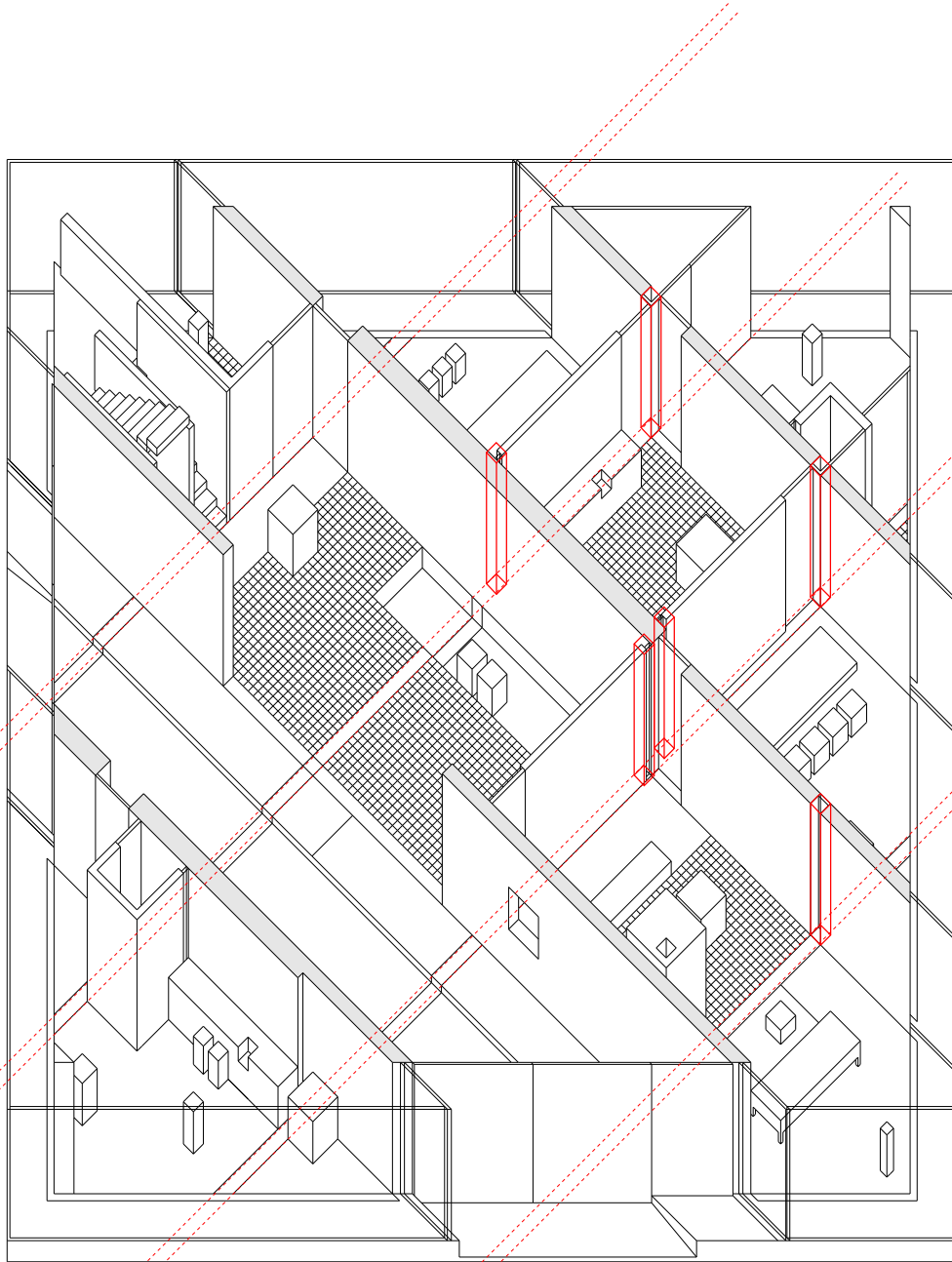


Fig. 110 - Detalles plantas de la Casa Diamond B.

- a. Casa Diamond B, Detalle planta nivel acceso, basado en el plano "DR1998 0061 001 012" (Centro Canadiense de Arquitectura), Fuente: Elaboración propia.
- b. Casa Diamond B, Detalle planta nivel 2, basado en el plano "DR1998 0061 001 015" (Centro Canadiense de Arquitectura), Fuente: Elaboración propia.
- c. Casa Diamond B, Detalle planta nivel 3, basado en el plano "DR1998 0061 002 003" (Centro Canadiense de Arquitectura), Fuente: Elaboración propia.

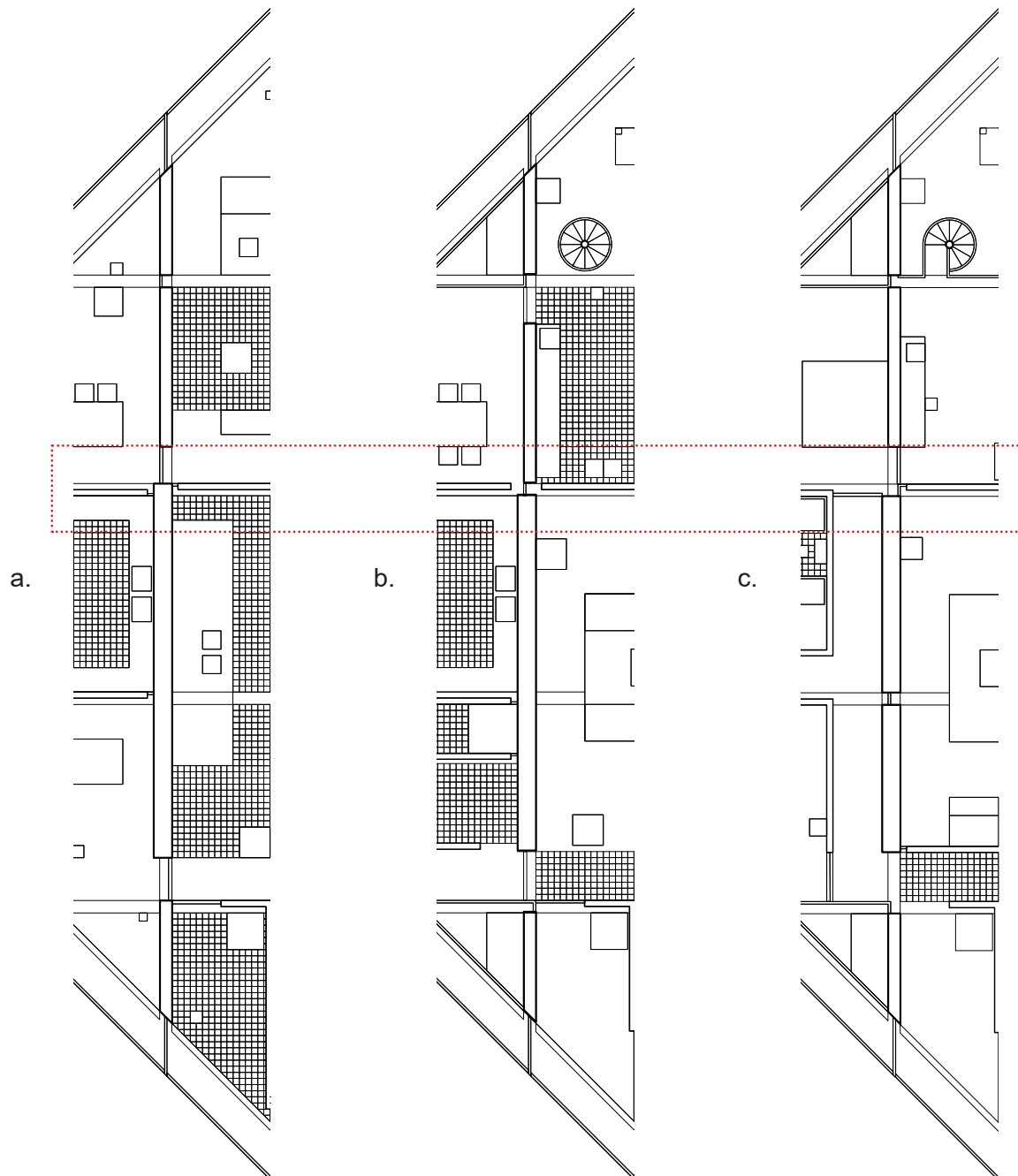


Fig. 111 - Planta Casa Diamond B.

Imagen: John Hejduk, Plan Diamond House B, 1963-1967, grafito y lapiz de color sobre papel translúcido, 77x87cm, Centro Canadiense de Arquitectura (Código de referencia): DR1998 0061 001 004 ©CCA.

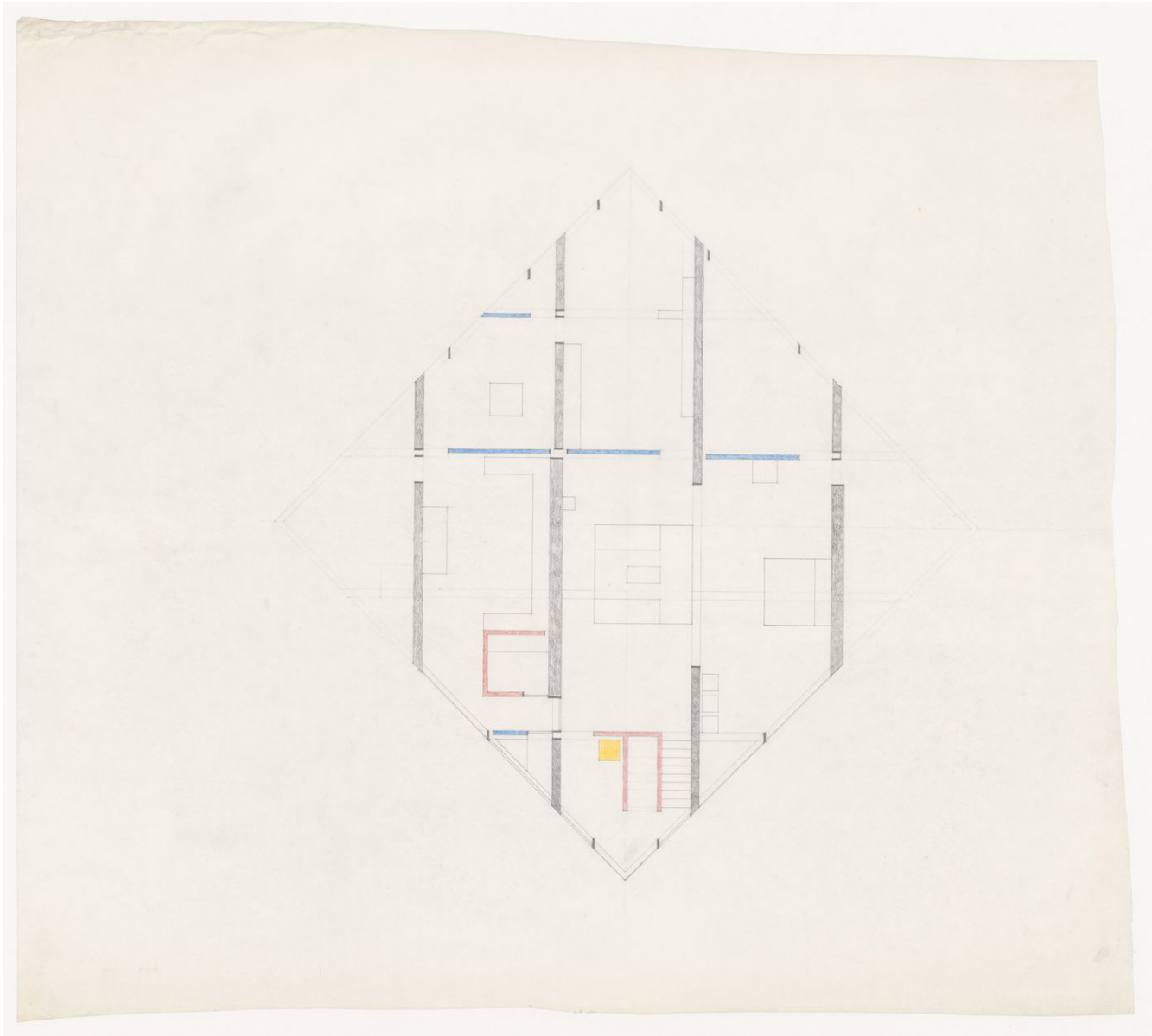


Fig. 112 - Planta Casa Diamond B.

Imagen: John Hejduk, Plan Diamond House B, 1963-1967, grafito y lapiz de color sobre papel translúcido, 77x87cm, Centro Canadiense de Arquitectura (Código de referencia): DR1998 0061 001 004 ©CCA.

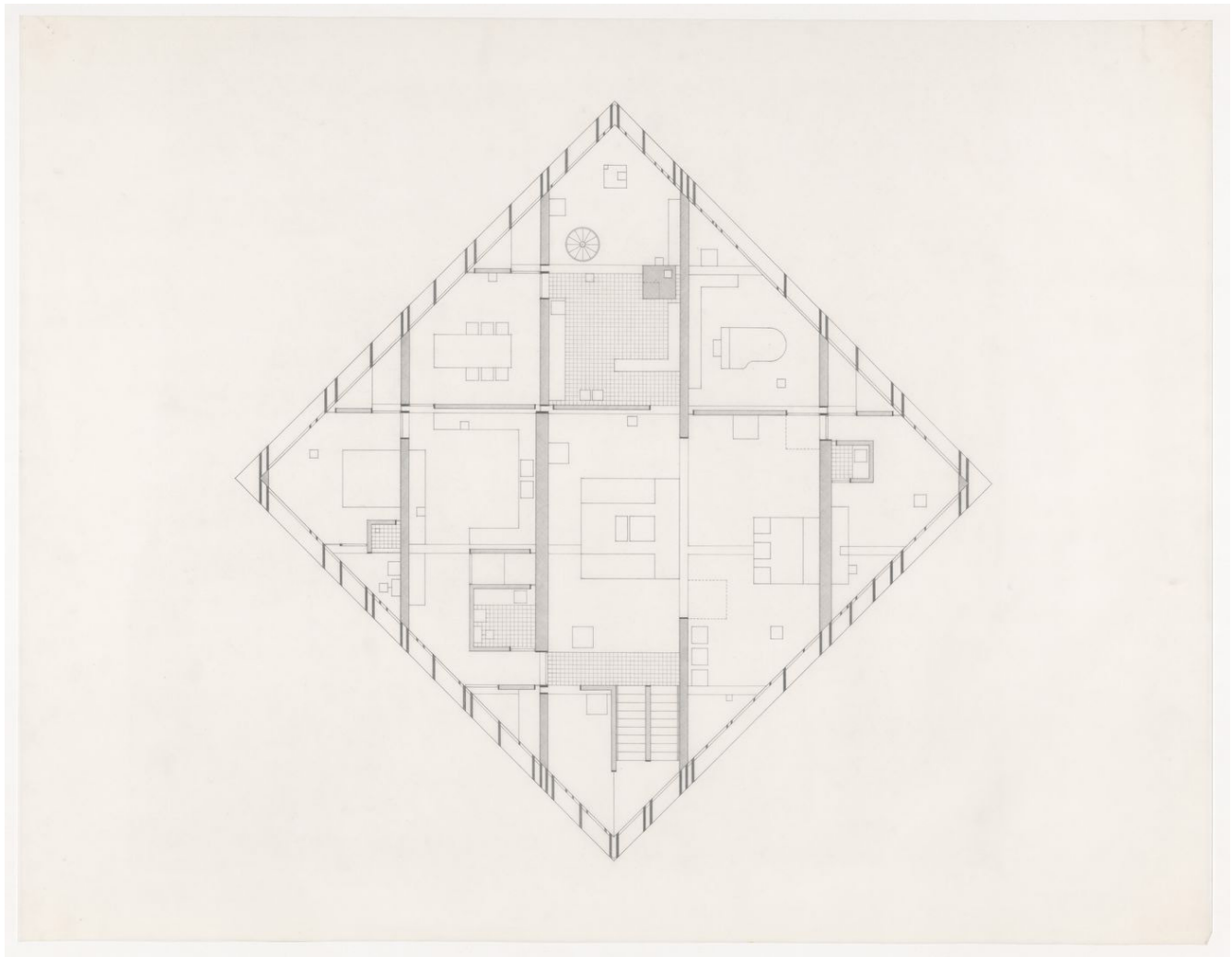


Fig. 113 - Planta Casa Diamond B.

Imagen: John Hejduk, Plan Diamond House B, 1963-1967, grafito y lapiz de color sobre papel translúcido, 77x87cm, Centro Canadiense de Arquitectura (Código de referencia): DR1998 0061 001 004 ©CCA.

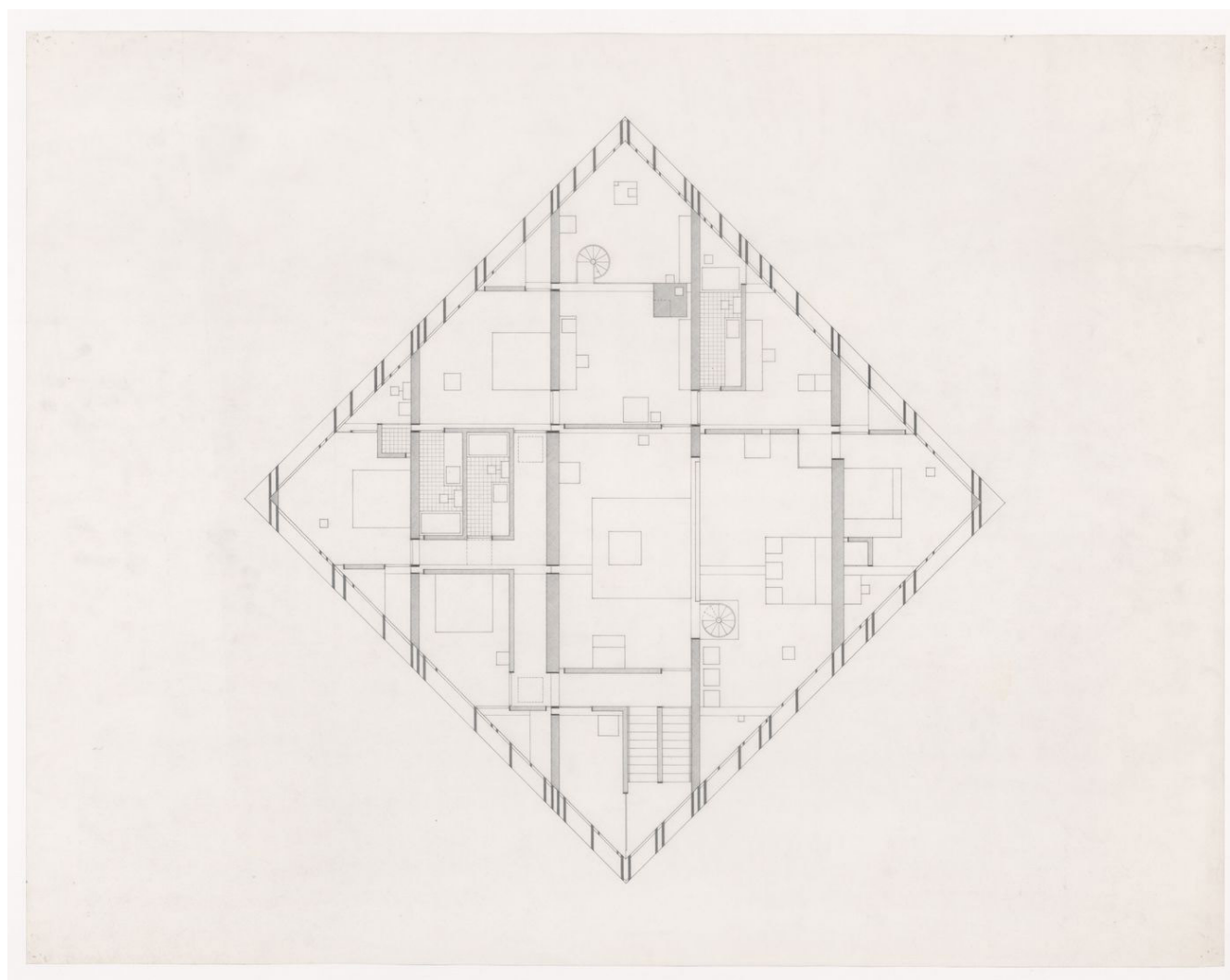


Fig. 114 - Planta tercer nivel Casa Diamond B.

Imagen: John Hejduk, Plan Diamond House B, 1963-1967, grafito y tinta sobre cartón, 50,9x76,3cm, Centro Canadiense de Arquitectura (Código de referencia): DR1998 0061 002 003 ©CCA.

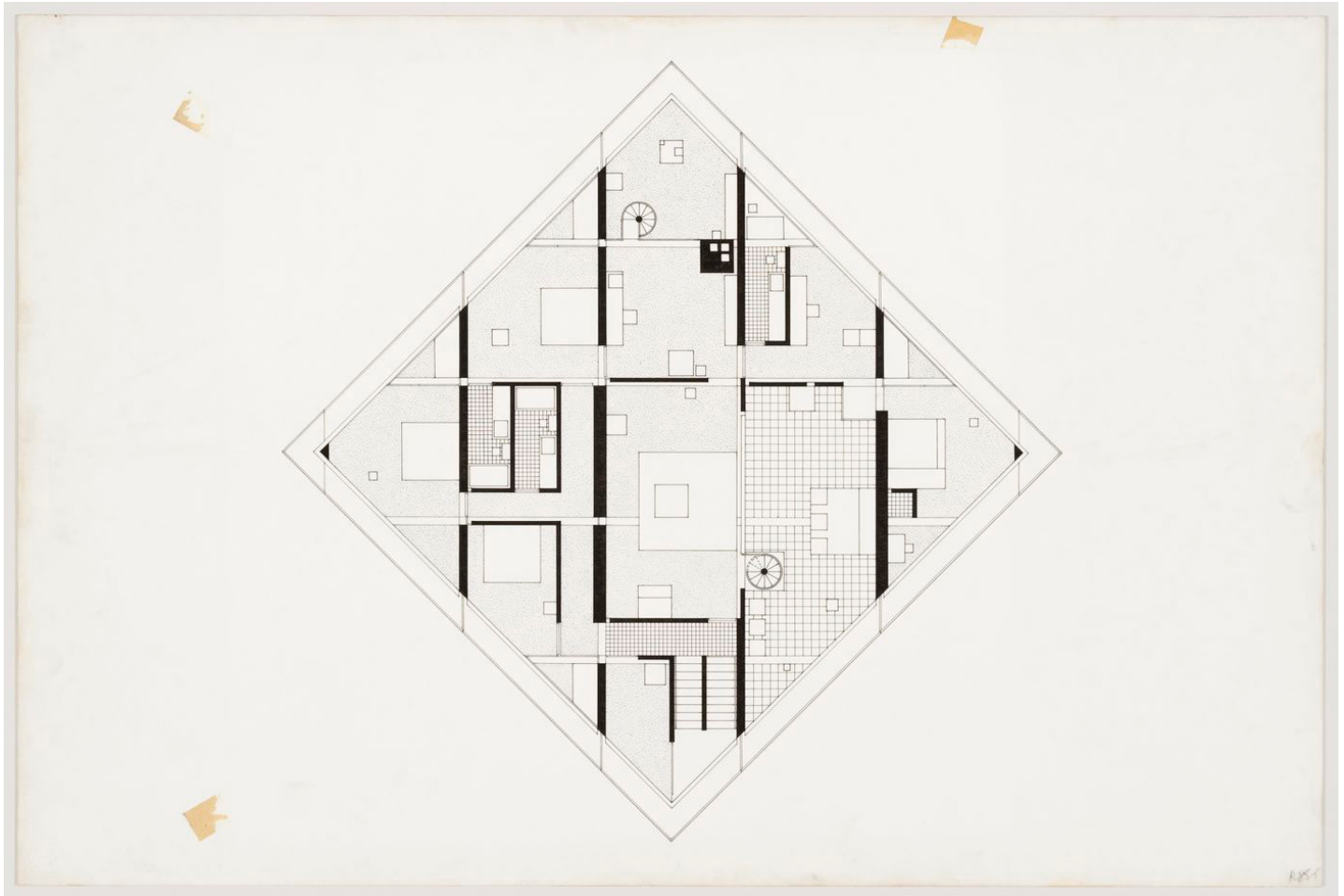


Fig. 115 - Axonometría Casa Diamond B.

Imagen: John Hejduk, Axonometric for Diamond House B, 1963-1967, grafito y tinta sobre papel más cuatro capas de acetatos transparentes coloreados fijados con cinta adhesiva , 50,6x76,1cm, Centro Canadiense de Arquitectura (Código de referencia): DR1998 0061 003 001 ©CCA.

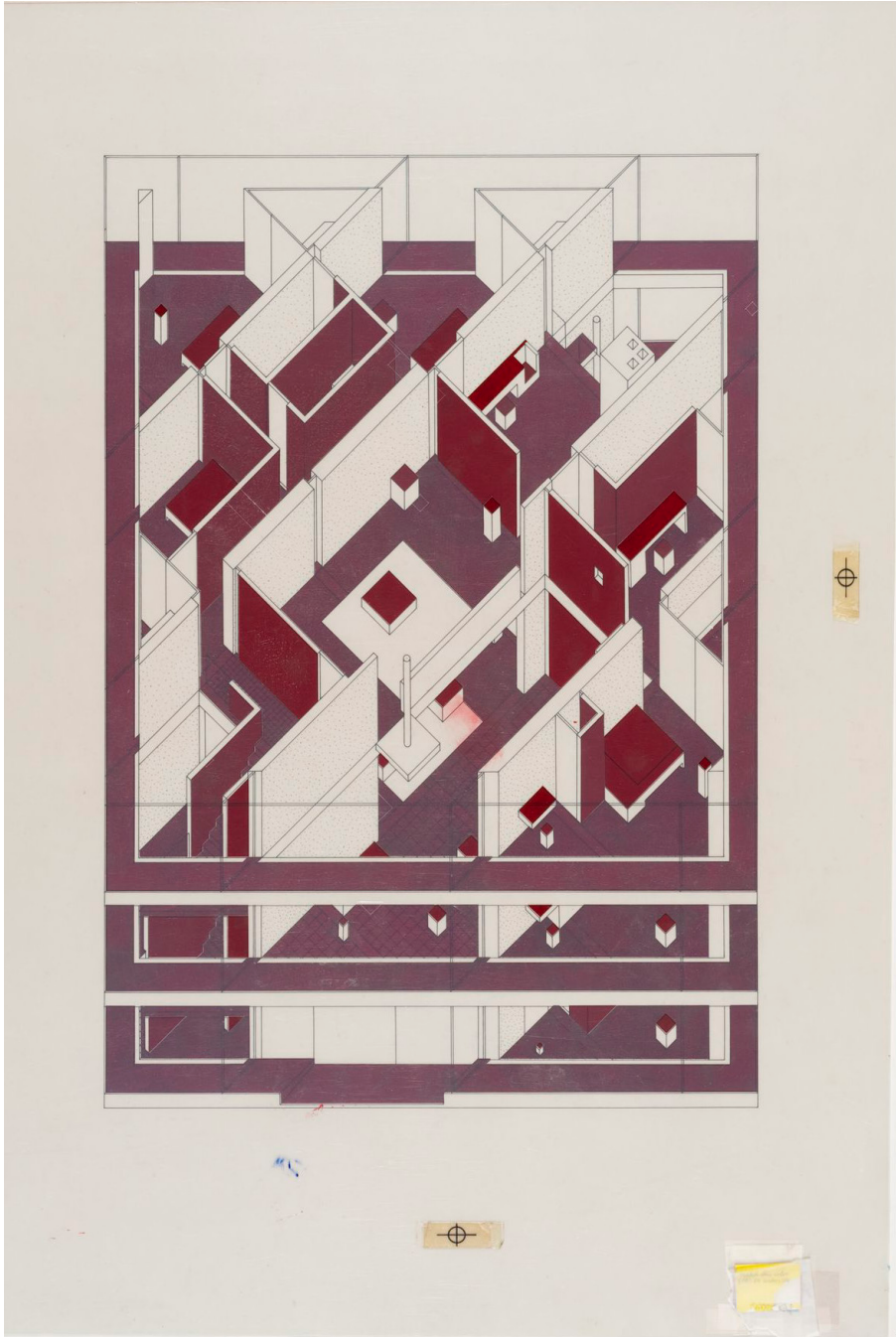


Fig. 116 - Imagen descrita por Giedion como: "La gran bóveda de cañón del salón de recepciones del palacio de Shapur I en Ctesifón, cerca de Bagdad, siglo III d.C."

Imagen tomada de: Giedion, Sigfried. *La Arquitectura Fenómeno de Transición*. Primera ed. Barcelona, España: Gustavo Gili, 1971.p.89.

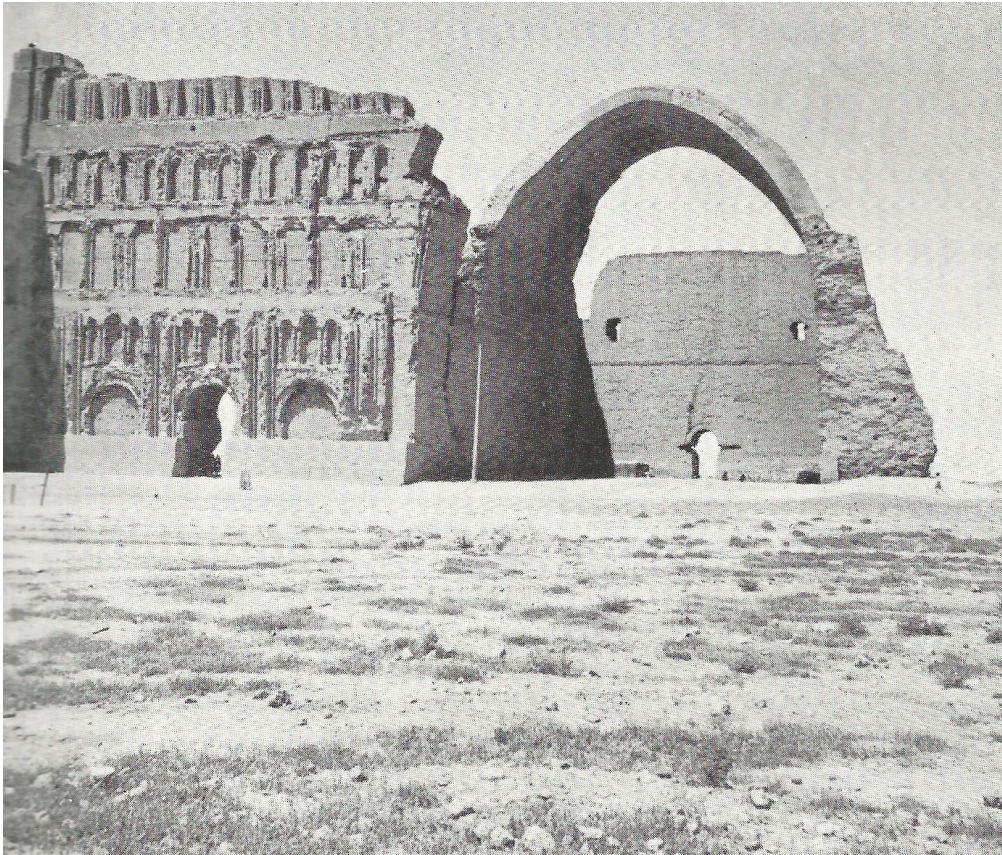


Fig. 117 - Vista exterior del Panteón por Giovanni Battista Piranesi. En la vista exterior del Panteón de Piranesi están representadas las monumentales columnas del pórtico de ingreso revestidas de mármol que, según el mismo Giedion, esconden la estructura en mampostería del interior de las columnas.

Autor: Giovanni Battista Piranesi. Contenido: vista exterior del Panteón. Año: 1720–78. Técnica: grabado. Dimensiones: 47 x 69.9 cm. <https://www.metmuseum.org/art/collection/search/348799>. © Dominio público.



Fig. 118 - Vista interna del Panteón por Francesco Piranesi.

Autor: Francesco Piranesi. Contenido: Veduta interna del Panteon volgarmente detto la Rotonda (Vista interior del Panteón comúnmente conocido como Rotonda). Año: 1790. Técnica: grabado. Dimensiones: 57,2 x 80 cm. Tomado de: <https://commons.wikimedia.org/wiki/File:Piranesi-6036.jpg>. © Dominio público.



Veduta interna del Panteon volgarmente detto la Rotonda

Fig. 119 - Planta cuarto nivel Casa Diamond A.

Imagen: John Hejduk, Plan Diamond House B, 1963-1967, grafito sobre papel translúcido, 68x68cm, Centro Canadiense de Arquitectura (Código de referencia): DR1998 0060 003 017 ©CCA.

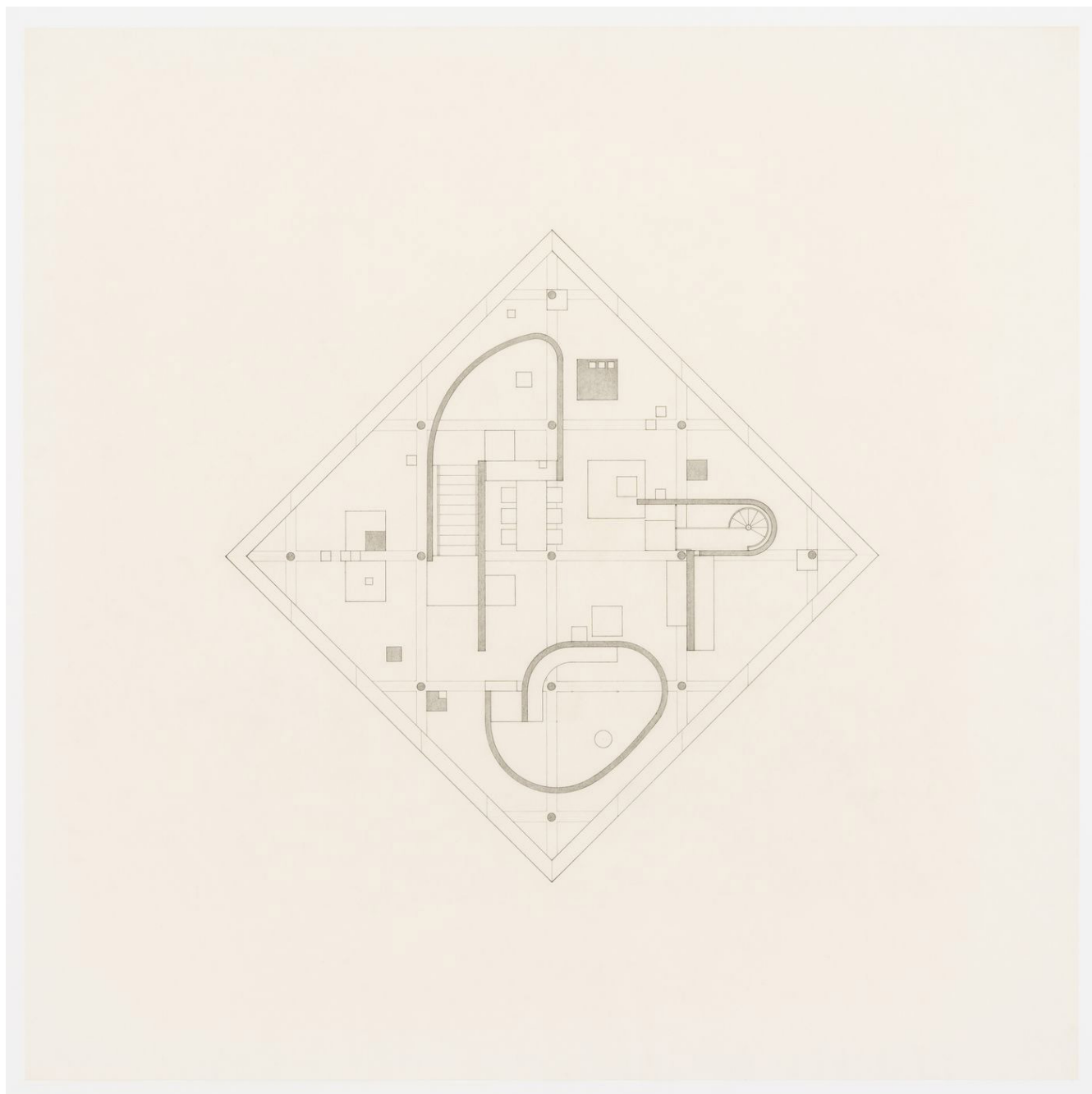


Fig. 120 - Planta cuarto nivel Casa Diamond A.

Imagen: John Hejduk, Plan Diamond House B, 1963-1967, grafito sobre papel translúcido, 35x36cm, Centro Canadiense de Arquitectura (Código de referencia): DR1998 0060 002 002 ©CCA.

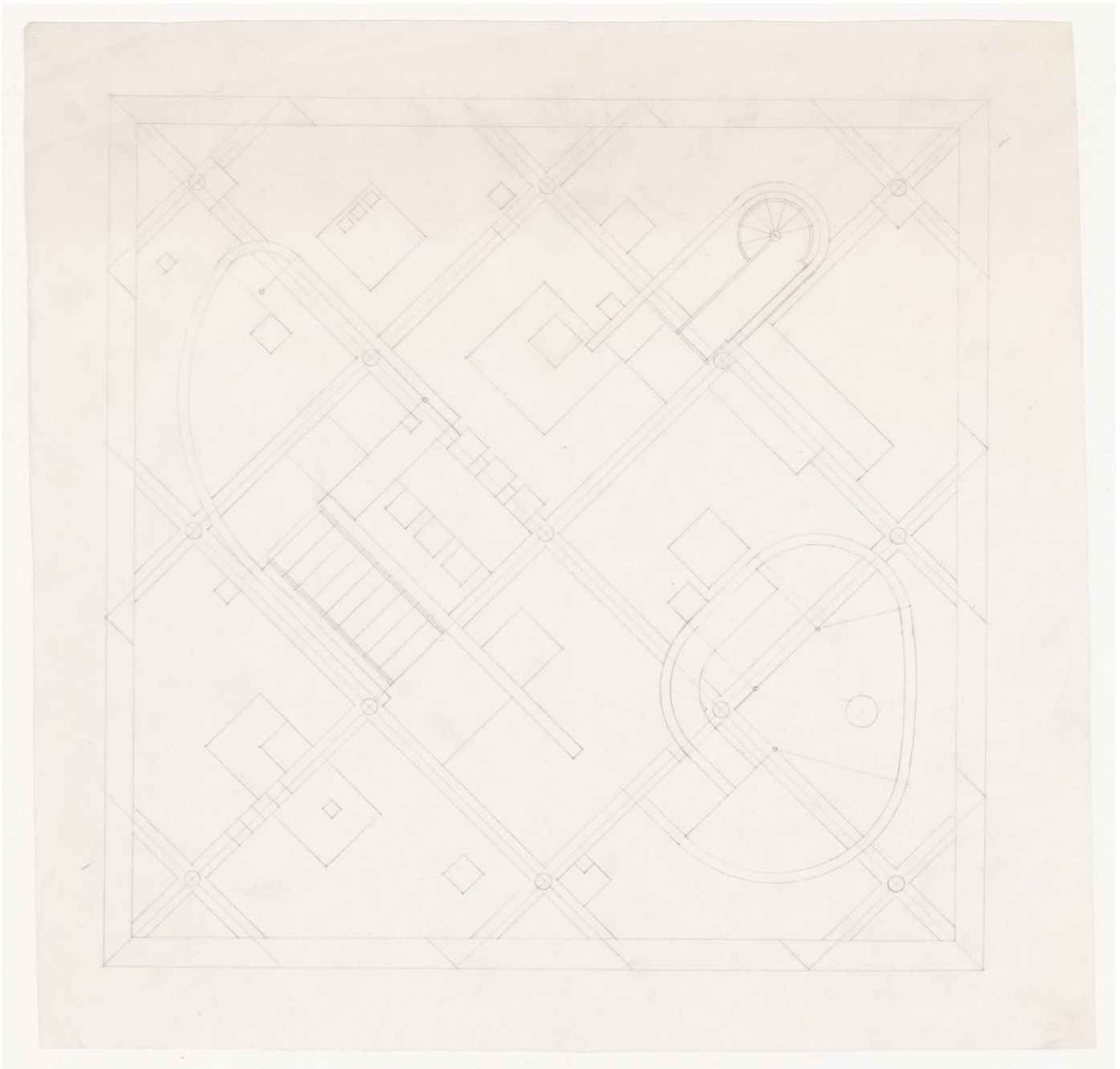


Fig. 121 - Axonometría sobre cuarto nivel Casa Diamond A.

Imagen: John Hejduk, Axonometric for Diamond House A, 1963-1967, grafito sobre papel translúcido, 68x68cm, Centro Canadiense de Arquitectura (Código de referencia): DR1998 0060 003 ©CCA.

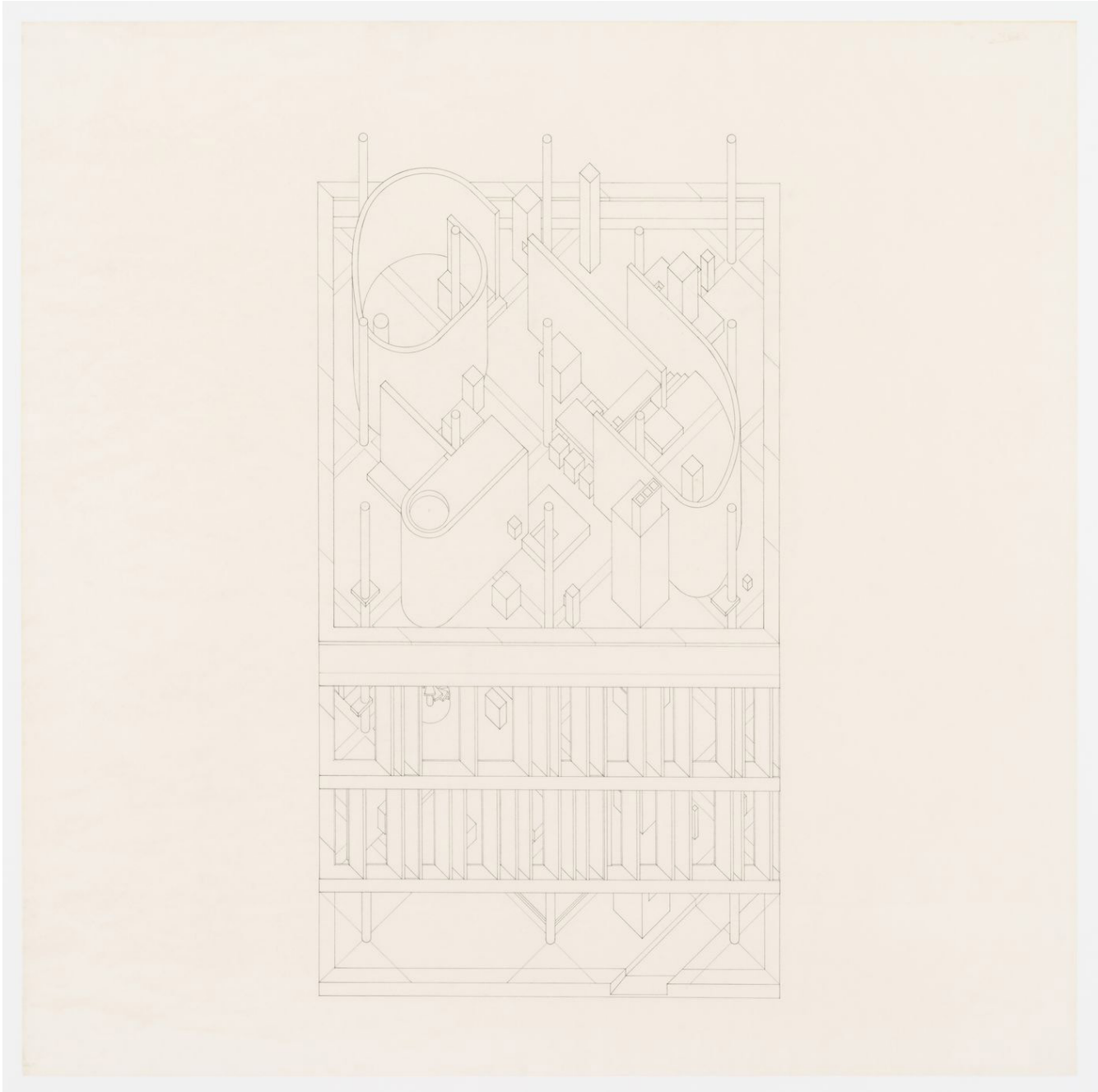


Fig. 122 - Planta cuarto nivel Diamond House B.

Imagen: John Hejduk, Plan for Diamond House B, 1963-1967, grafito sobre papel translúcido, 71x92,2cm, Centro Canadiense de Arquitectura (Código de referencia): DR1998 0060 003 ©CCA.

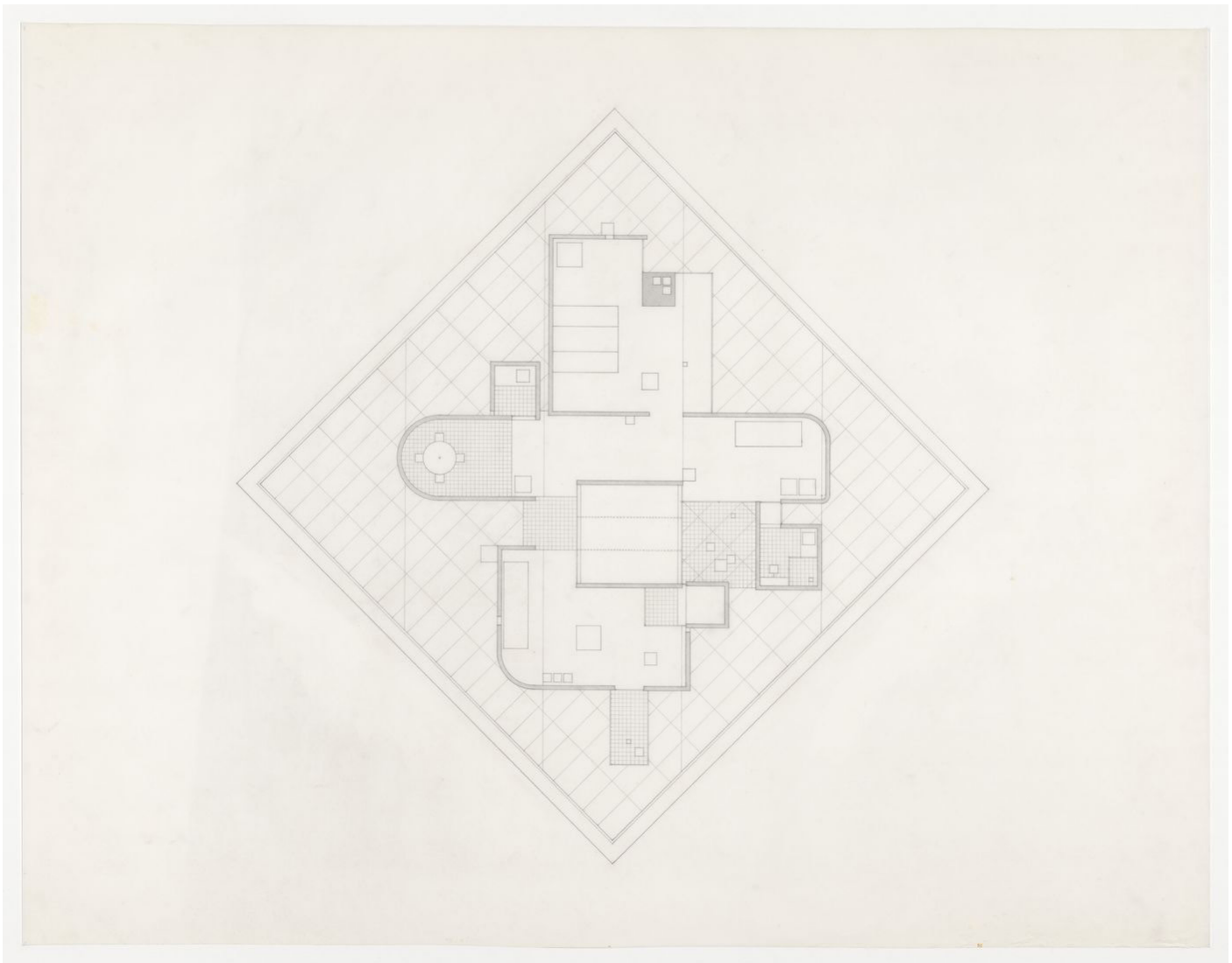


Fig. 123 - Casa Diamond B, axonometría general.

Diamond House B, axonometría general – basado en el plano “DR1998 0061 001 01” (Centro Canadiense de Arquitectura). Fuente: Elaboración propia.

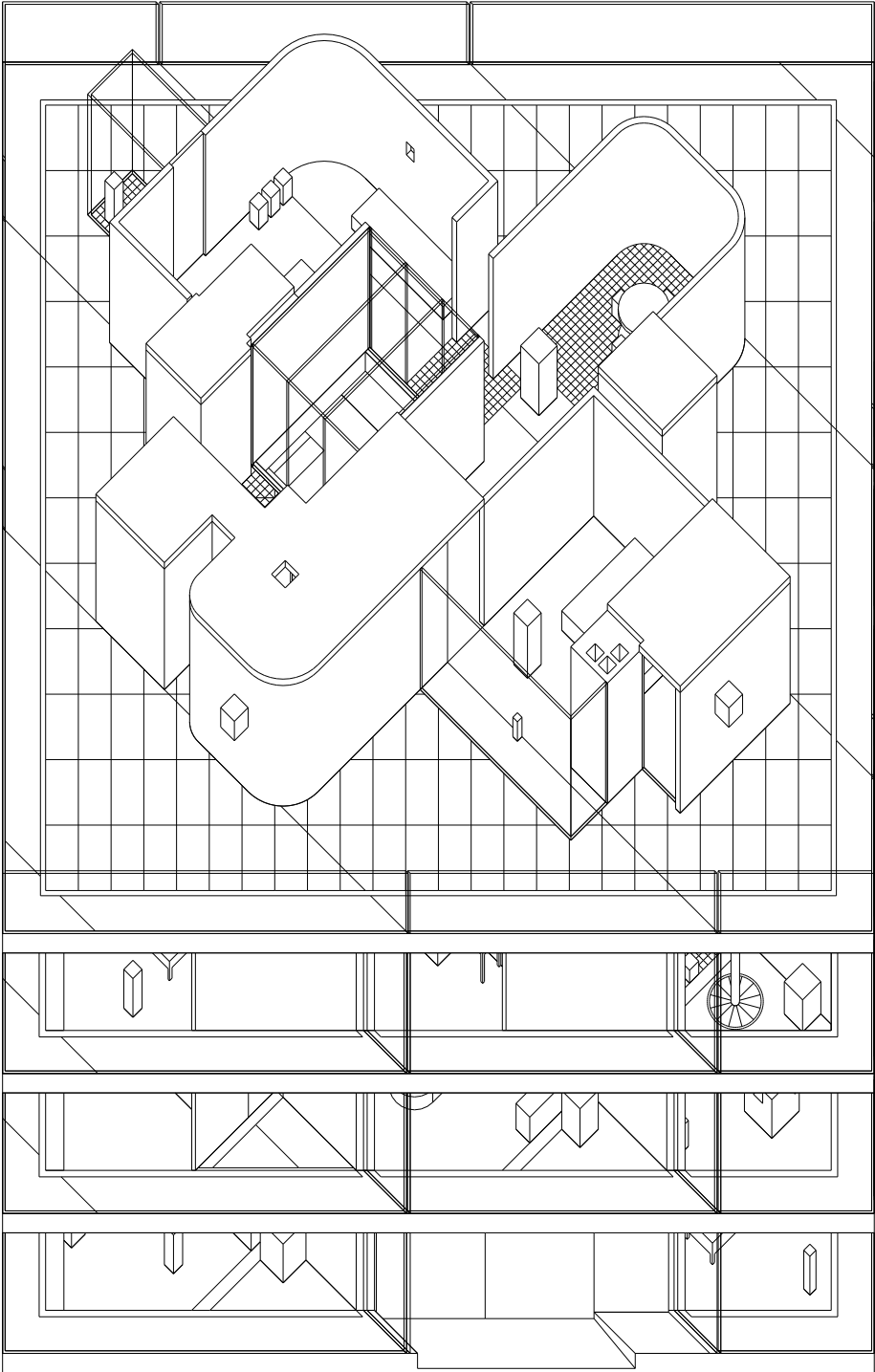


Fig. 124 -Diagrama de límites del espacio interno en la terraza de la Casa Diamond A.

Casa Diamond A, Diagrama en axonometría – basado en el plano “DR1998 0060 003” (Centro Canadiense de Arquitectura), Fuente: Elaboración propia.

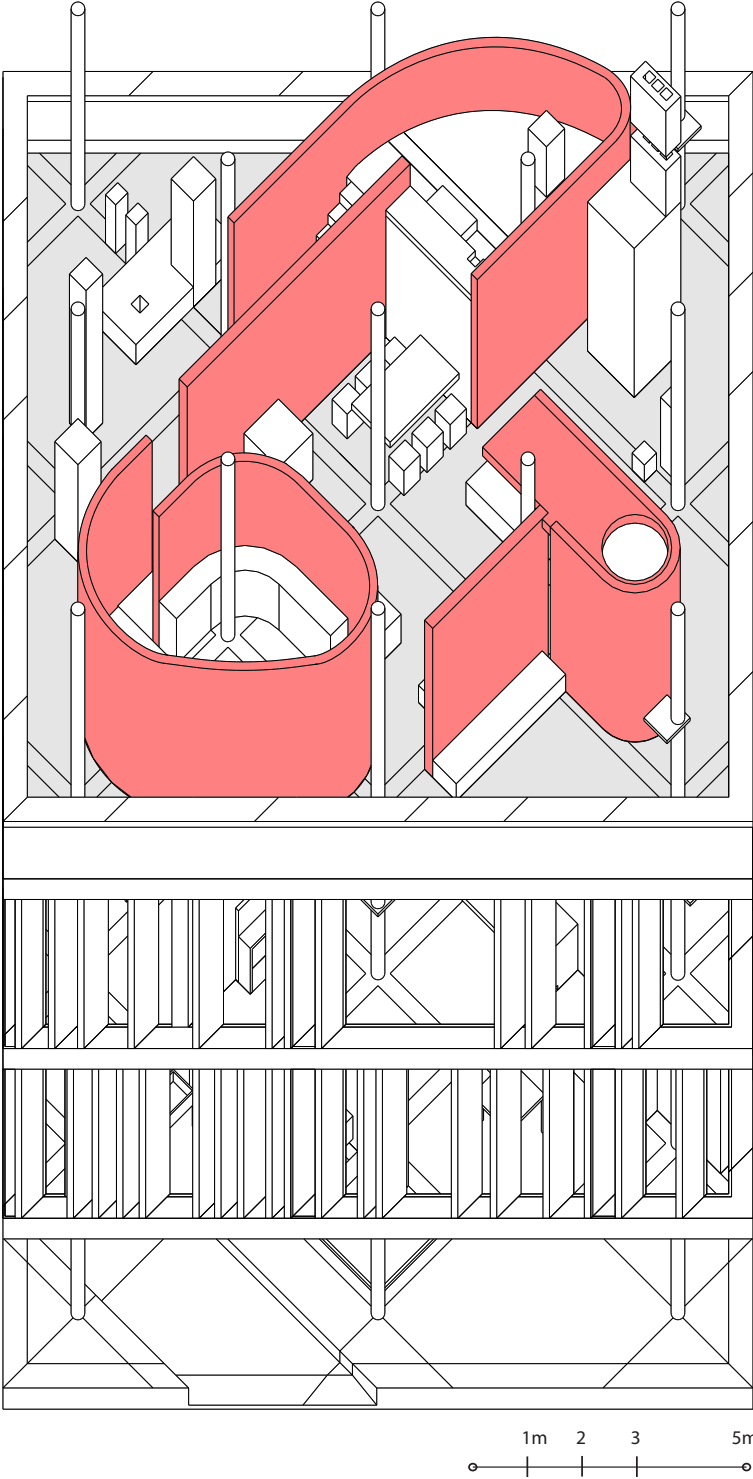


Fig. 125 -Diagrama de límites del espacio interno en la terraza de la Casa Diamond B.

Casa Diamond B, Diagrama en axonometría – basado en el plano “DR1998 0061 003 001” (Centro Canadiense de Arquitectura), Fuente: Elaboración propia.

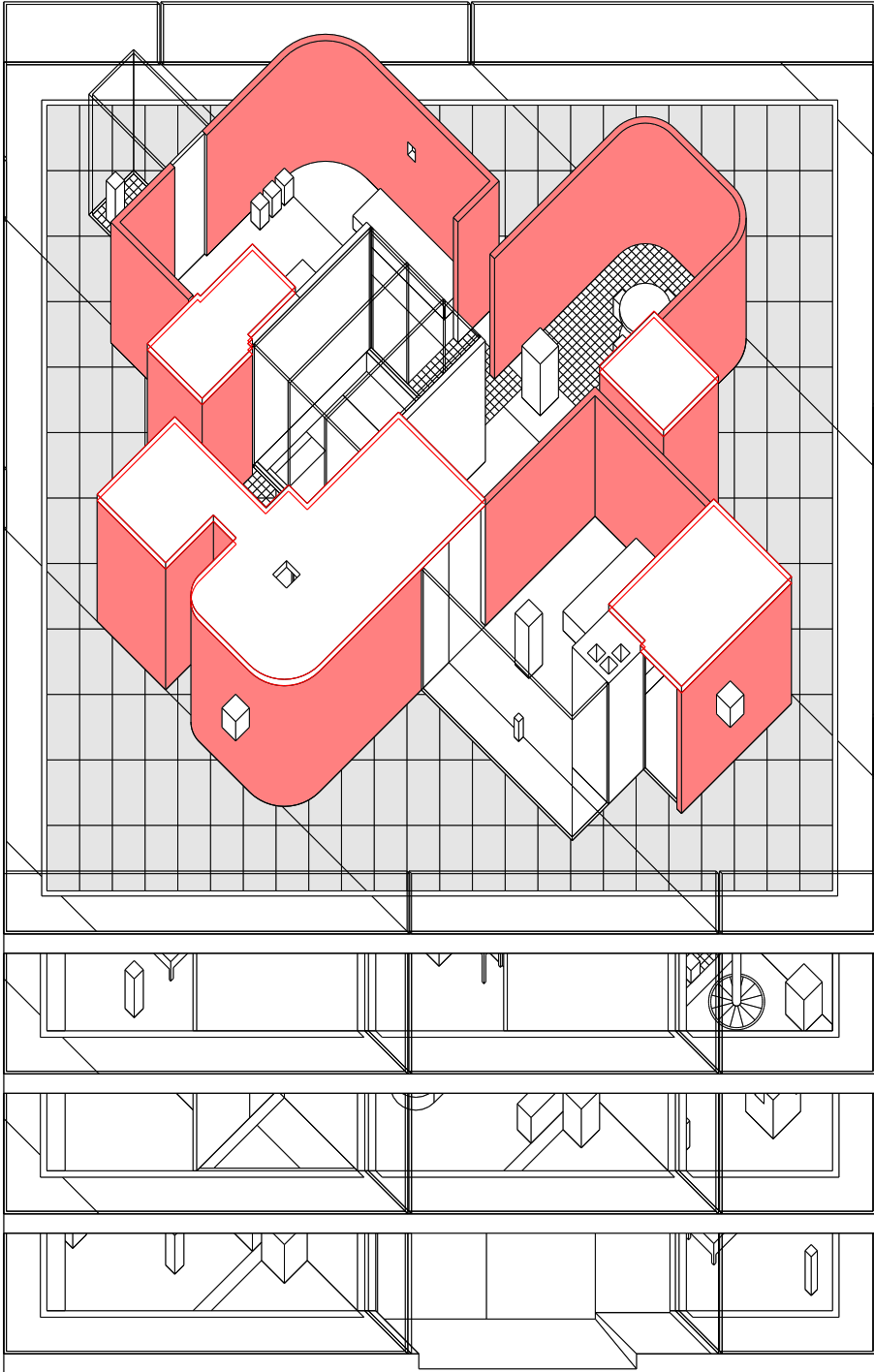


Fig. 126 - Corte Casa Muro 1.

Imagen: John Hejduk, Section for Wall House 1, 1968-1974, tinta sobre papel translúcido, 93x93cm, Centro Canadiense de Arquitectura (Código de referencia): DR1998 0077 018 ©CCA.

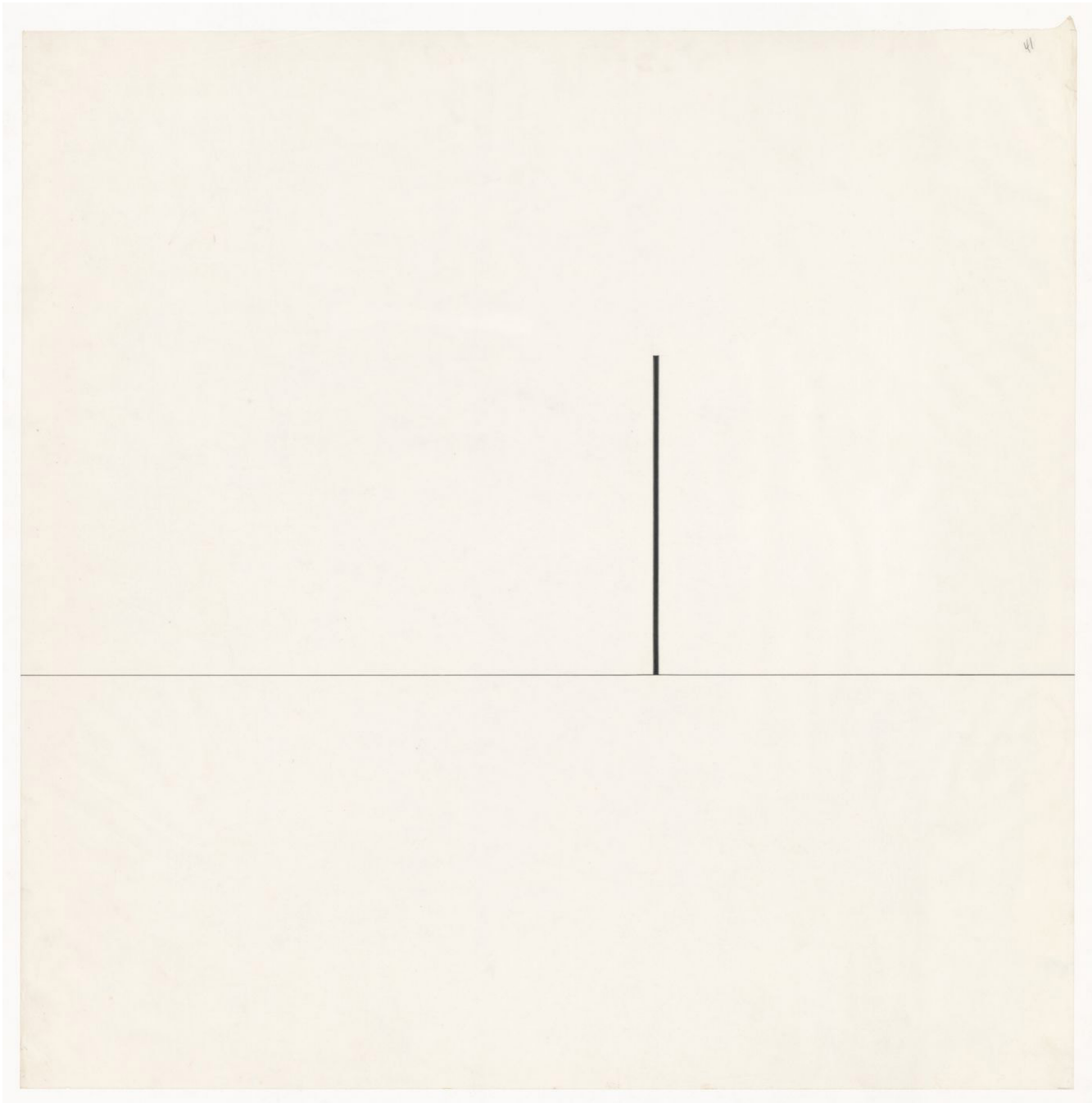


Fig. 127 - Planta Casa Muro 1.

Imagen: John Hejduk, Plan for Wall House 1, 1968-1974, tinta sobre papel translúcido, 93x93cm, Centro Canadiense de Arquitectura (Código de referencia): DR1998 0077 002 ©CCA.

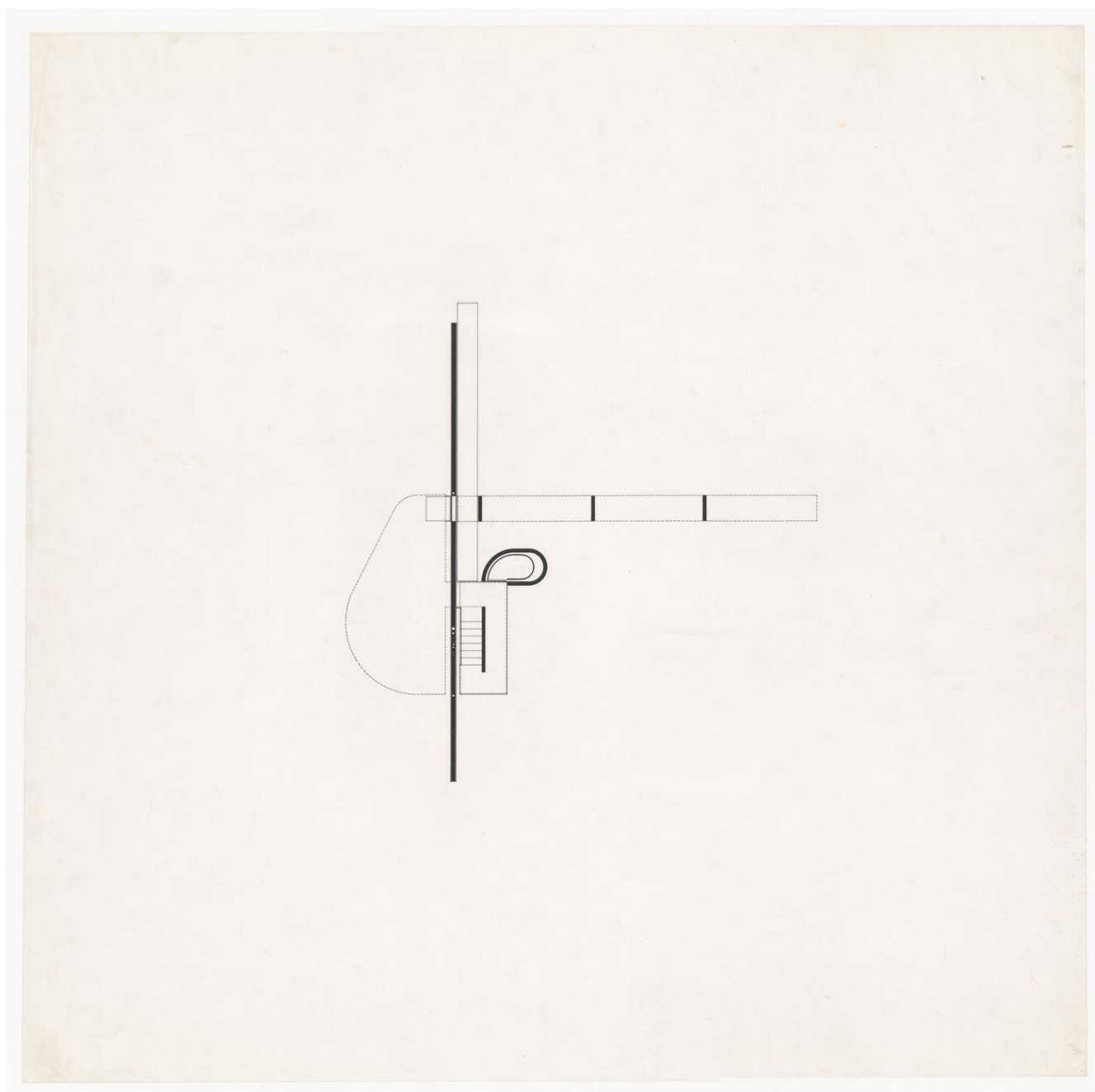


Fig. 128 -Elementos de circulación vertical y su relación con el espacio habitable en la Casa Muro 1.

Casa Muro 1, Diagrama en axonometría – basado en el plano “DR1998 0077 025” (Centro Canadiense de Arquitectura), Fuente: Elaboración propia.

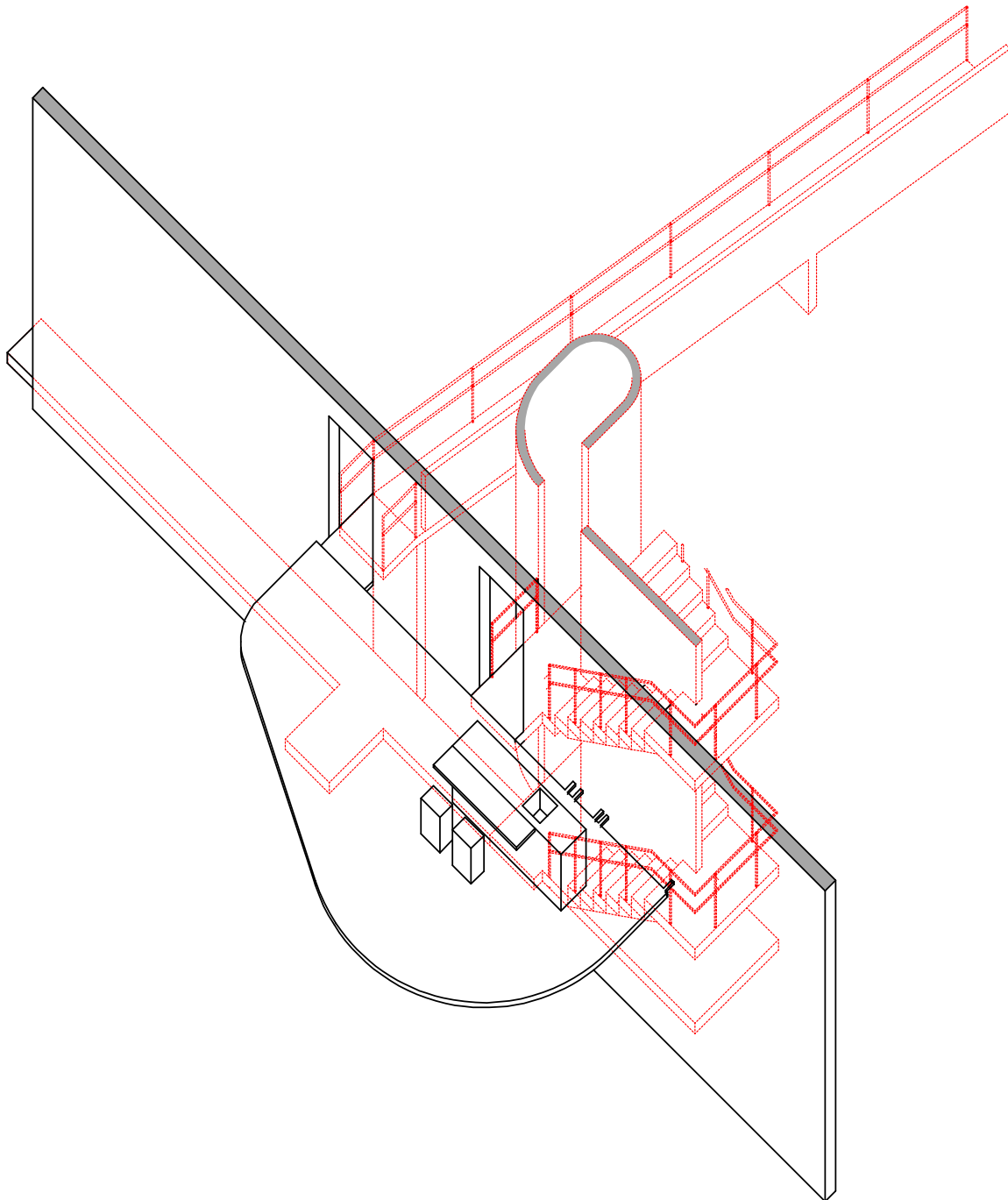


Fig. 129 - Sección longitudinal Casa Muro 2 (Bye House).

Imagen: John Hejduk, Section A A detail Wall House 2, firmado el 24 de enero de 1976, Copia reprográfica, detalle de un documento de 47x100cm, Centro Canadiense de Arquitectura (Código de referencia): DR1998 0078 007 008 ©CCA.

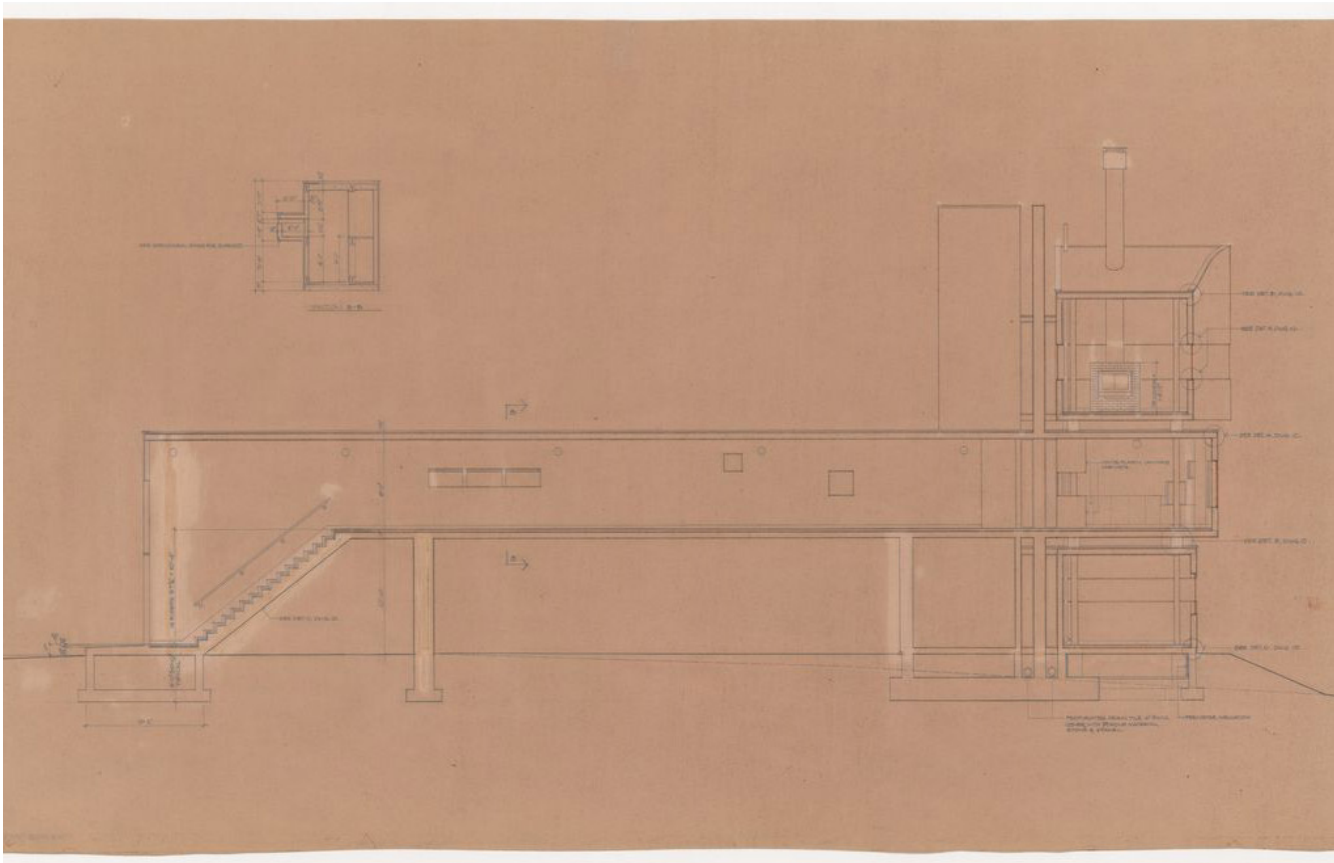


Fig. 130 - Planta Casa Muro 3.

Imagen: John Hejduk, Plan for Wall House 3, 1968-1974, tinta sobre papel translúcido, 36x46cm, Centro Canadiense de Arquitectura (Código de referencia): DR1998 0079 003 002 ©CCA.

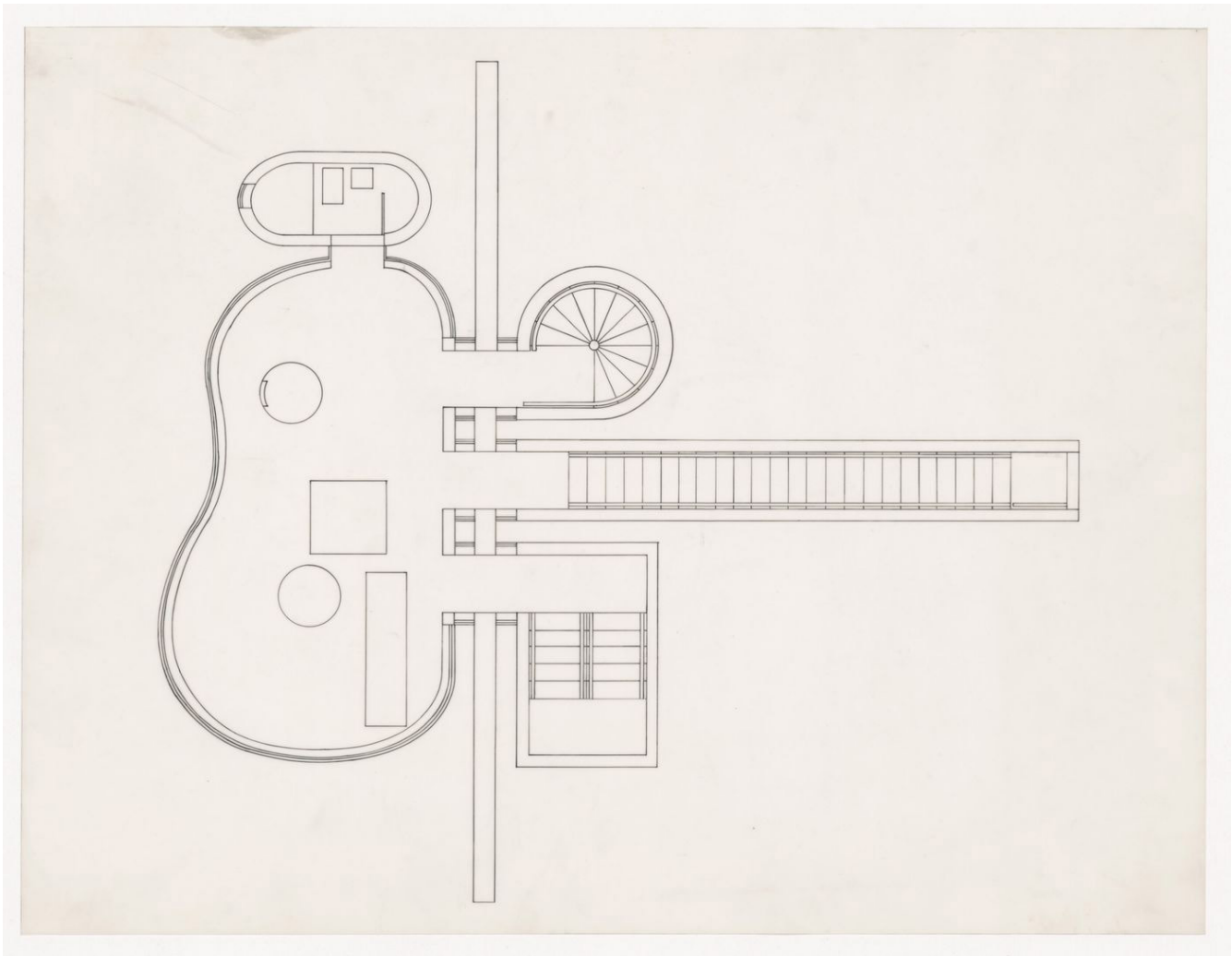


Fig. 131 - Corte en axonometría, Casa Muro 1.

Casa Muro 1, Corte en axonometría – basado en el plano “DR1998 0077 014” (Centro Canadiense de Arquitectura), Fuente: Elaboración propia.

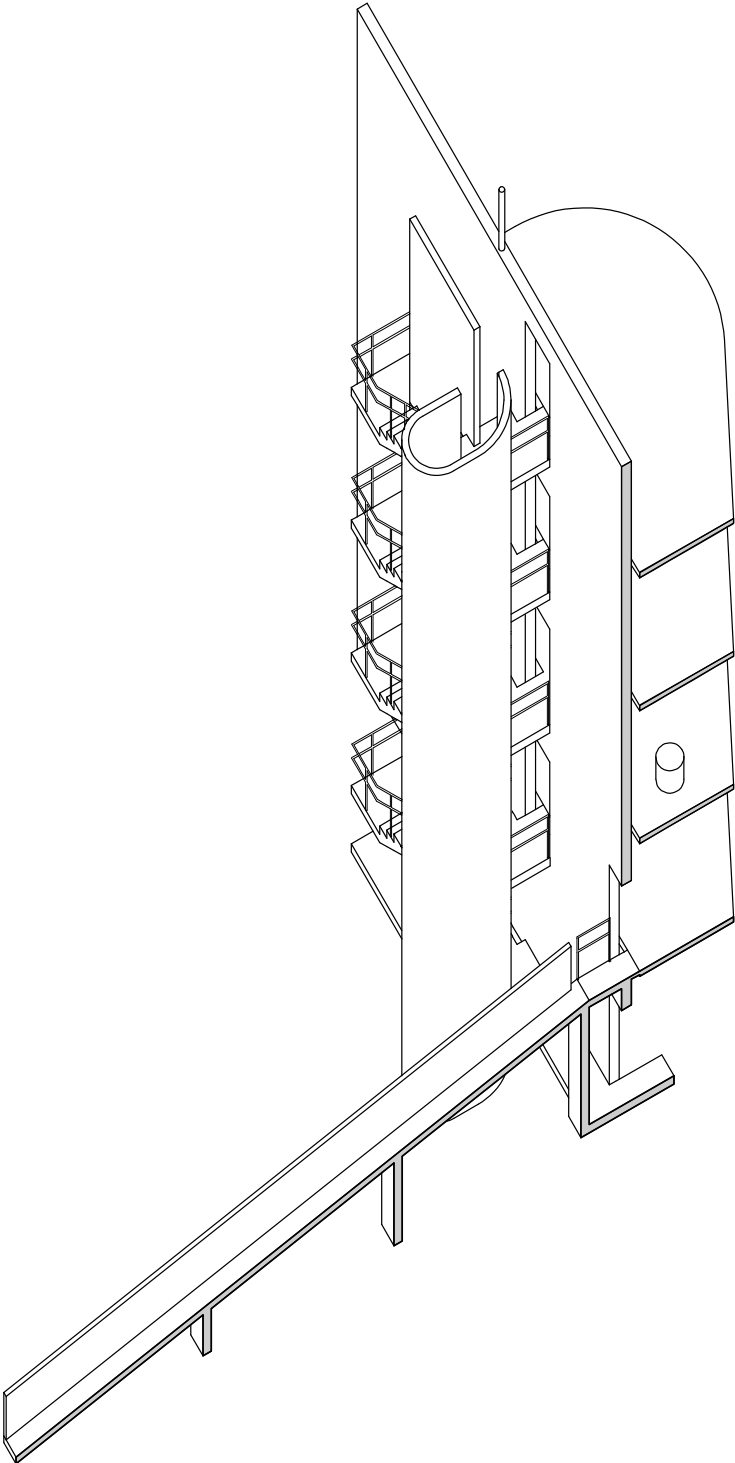


Fig. 132 - Corte Casa Muro 1.

Imagen: John Hejduk, Section Wall House 1, 1968-1974, tinta sobre papel translúcido, 93x93cm, Centro Canadiense de Arquitectura (Código de referencia): DR1998 0077 014 ©CCA.

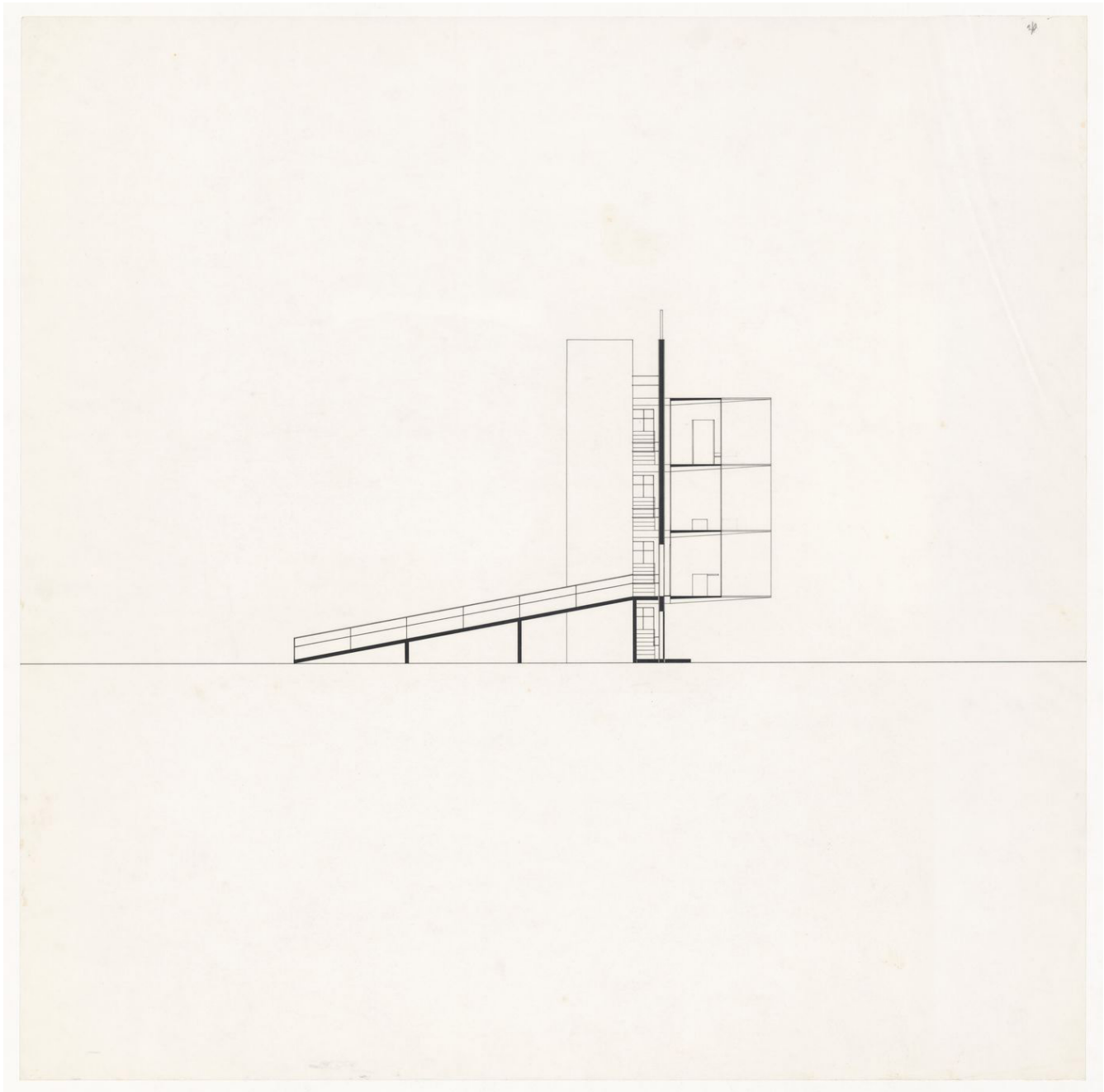


Fig. 133 - Cortes mostrando espacio entre volúmenes y muro, Casa Muro 1.

a. Imagen: John Hejduk, Elevation Wall House 1, 1968-1974, tinta sobre papel translúcido, detalle de un documento de 93x93cm, Centro Canadiense de Arquitectura (Código de referencia): DR1998 0077 010 ©CCA.

b. Imagen: John Hejduk, Elevation Wall House 1, 1968-1974, tinta sobre papel translúcido, detalle de un documento de 93x93cm, Centro Canadiense de Arquitectura (Código de referencia): DR1998 0077 017 ©CCA.

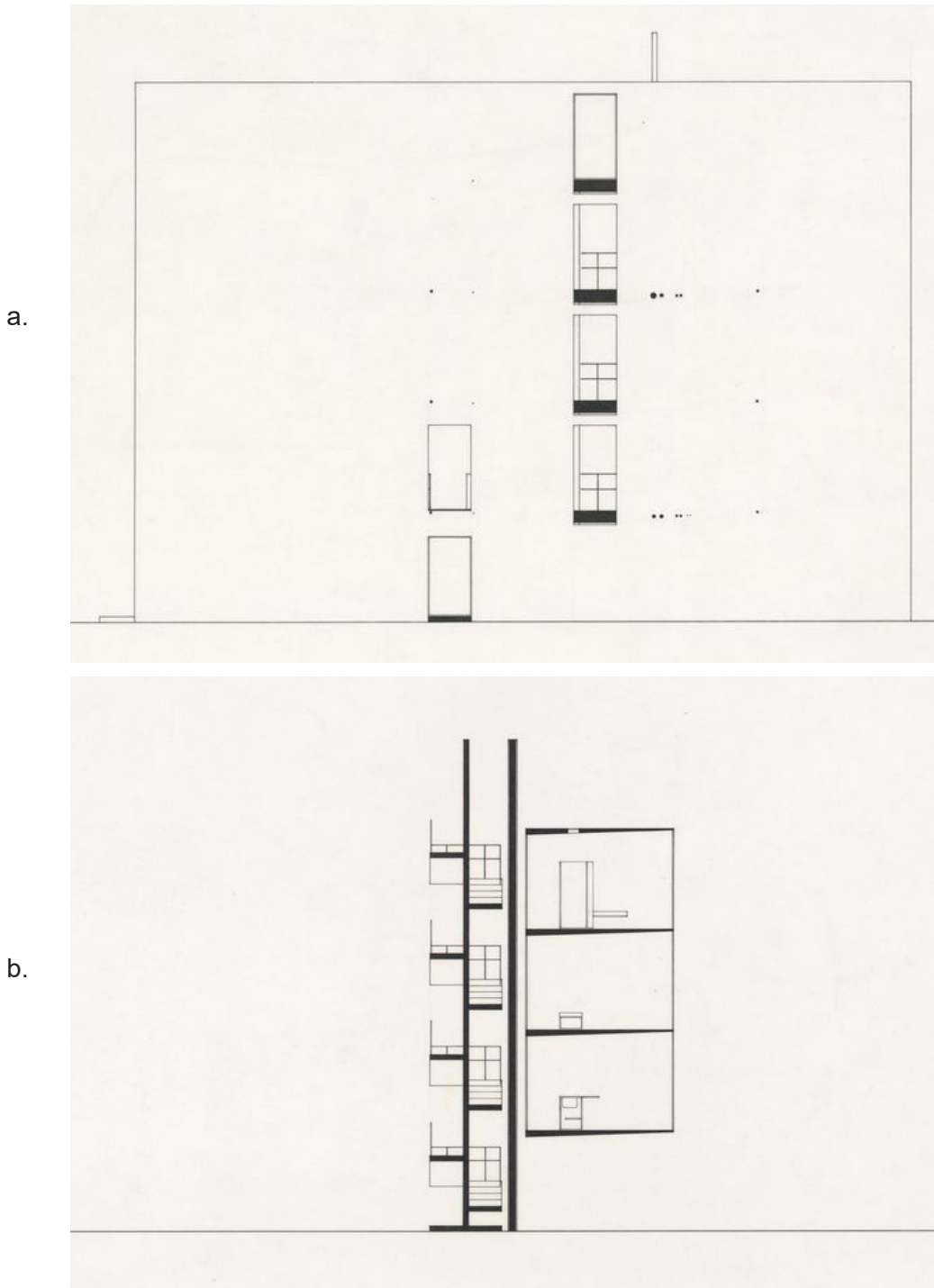


Fig. 134 - Elemento de cerramiento de espacios habitables, Casa Muro 1.

Casa Muro 1, Diagrama sobre axonometría – basado en el plano “DR1998 0077 025” (Centro Canadiense de Arquitectura), Fuente: Elaboración propia.

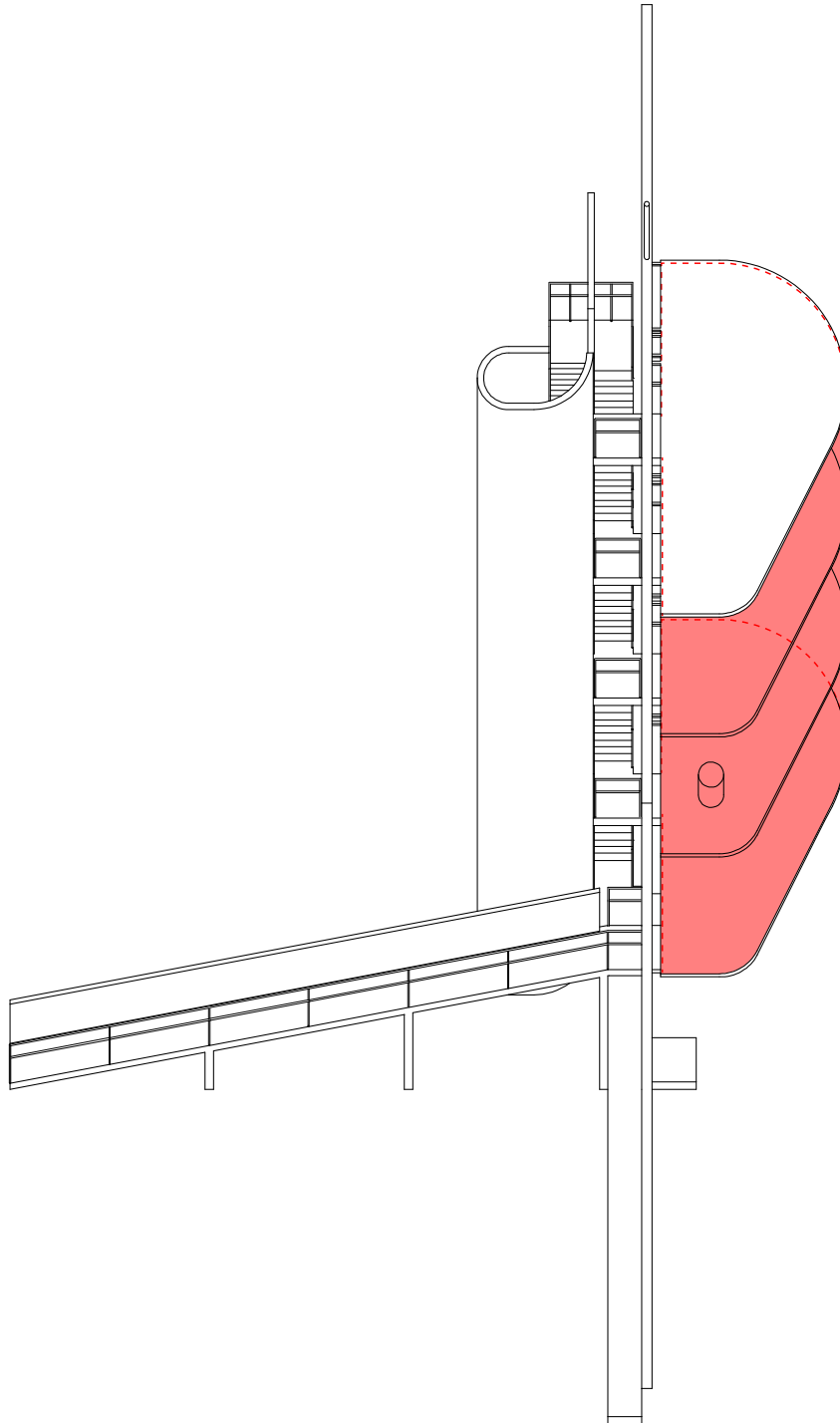


Fig. 135 - Alzado norte, Casa Muro 2 (Bye House).

Imagen: John Hejduk, north and south elevation detail Wall House 2, firmado el 24 de enero de 1976, copia reprográfica, mostrando detalle, documento completo de 47x100cm , Centro Canadiense de Arquitectura (Código de referencia): DR1998 0078 007 007 ©CCA.

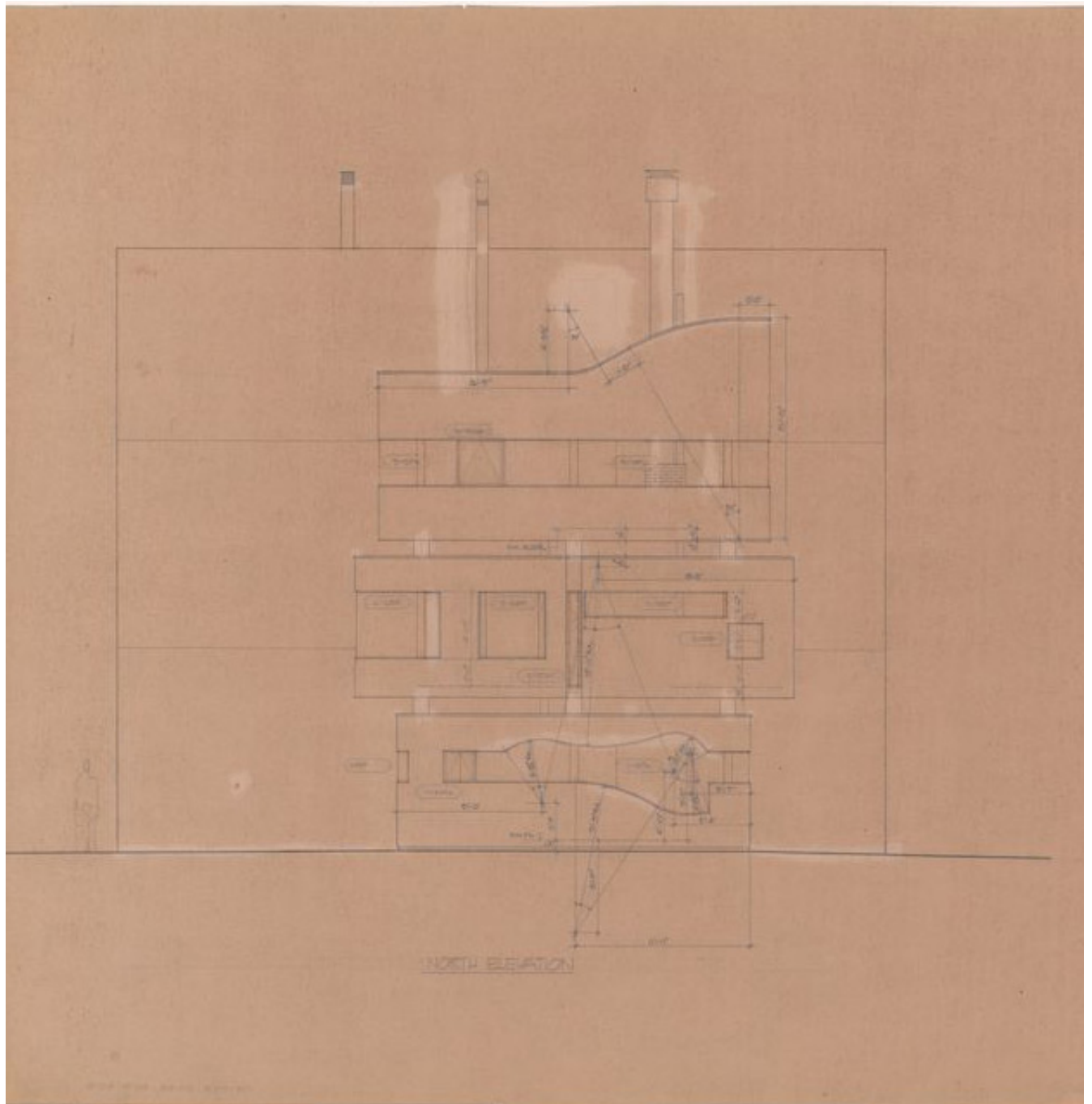


Fig. 136 - Diagrama de organización secuencial en planta, Casa Muro 1.

Casa Muro 1, Diagrama de organización secuencial sobre la planta de nivel 2- basado en el plano "DR1998 0077 011" (Centro Canadiense de Arquitectura), Fuente: Elaboración propia.

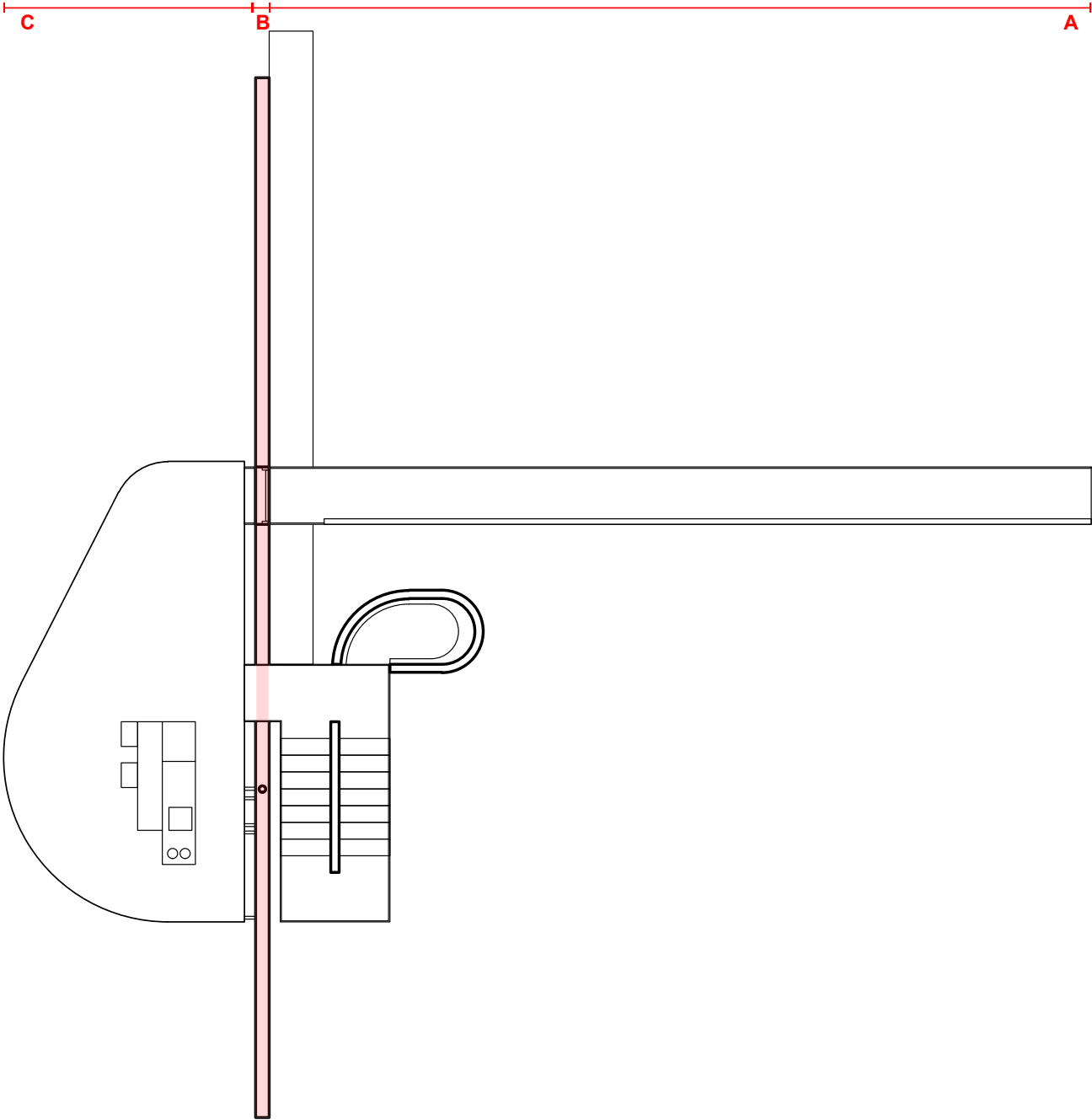


Fig. 137 - Diagrama de organización secuencial en corte, Casa Muro 1.

Casa Muro 1, Diagrama de organización en corte – basado en el plano “DR1998 0077 011” (Centro Canadiense de Arquitectura), Fuente: Elaboración propia.

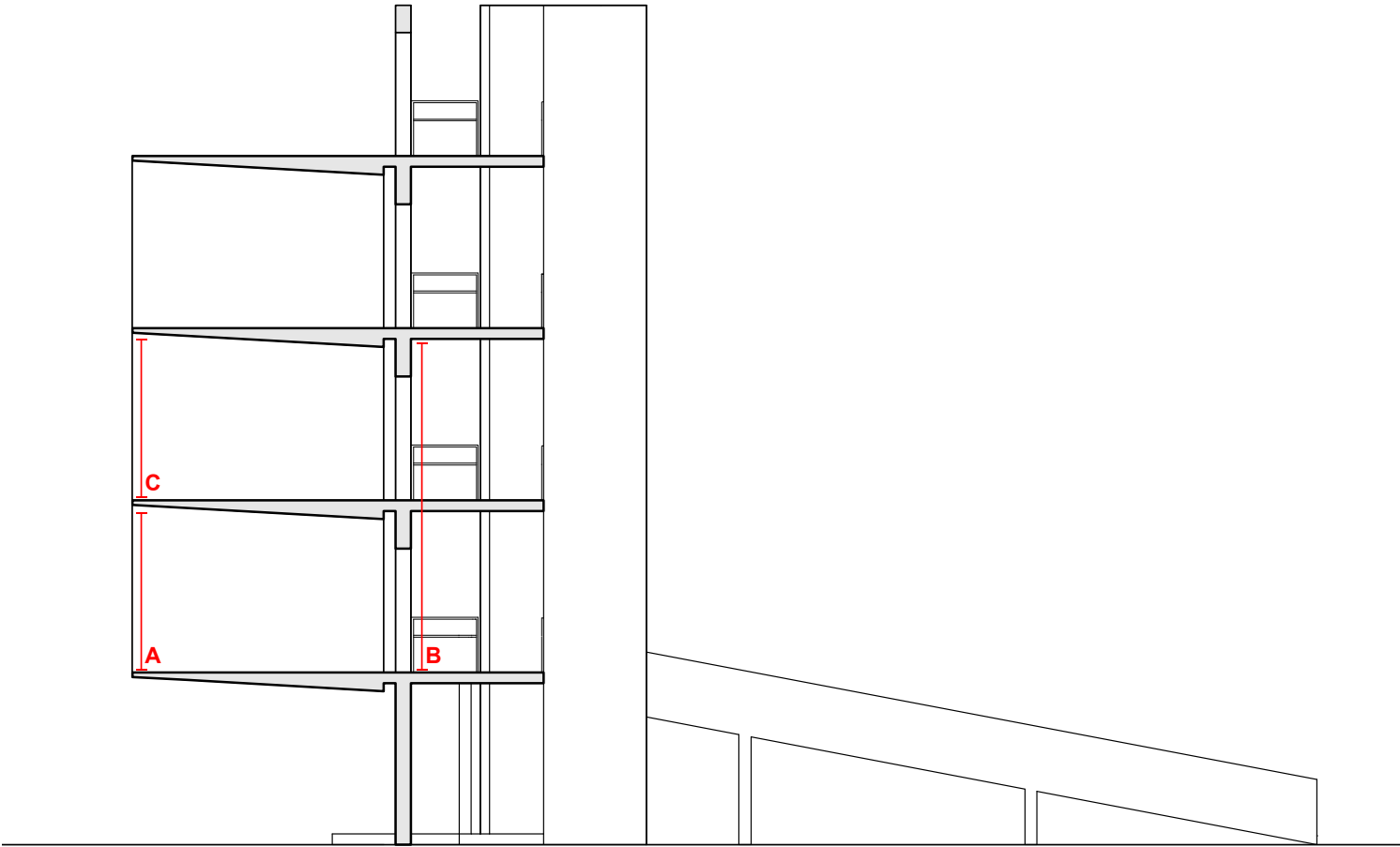


Fig. 138 - Manuscrito "Pendulum Music". Las indicaciones para la interpretación de esta pieza reemplazan la tradicional notación musical. La pieza está descrita para, "microfonos, amplificadores, altavoces e interpretes". Aunque Reich define las acciones que permiten la interpretación de la obra con claridad tanto el inicio como la definición final son abiertas. El número de micrófonos utilizados para cada interpretación puede variar y la finalización de la obra es indeterminada. Reich únicamente comenta, "La pieza es terminada en algún momento luego de que todos los micrófonos se hayan detenido encima de los altavoces y estén generando un tono continuo..."

Imagen: Steve Reich, manuscrito "Pendulum Music", 1968, tinta sobre papel, © 1980 Universal Editions. London. Ltd. Esta imagen fue tomada del libro: Reich, Steve. "Pendulum Music". En *Writings on Music, 1965-2000*, editado por Paul Hillier, 1a ed., 31-32. New York City: Oxford University Press, 2002.p.32.

PENDULUM MUSIC

FOR MICROPHONES, AMPLIFIERS, SPEAKERS AND PERFORMERS

2, 3, 4 or more microphones are suspended from the ceiling by their cables so that they all hang the same distance from the floor and are all free to swing with a pendular motion. Each microphone's cable is plugged into an amplifier which is connected to a speaker. Each microphone hangs a few inches directly above or next to its speaker.

The performance begins with performers taking each mike, pulling it back like a swing, and then in unison releasing all of them together. Performers then carefully turn up each amplifier just to the point where feedback occurs when a mike swings directly over or next to its speaker. Thus, a series of feedback pulses are heard which will either be all in unison or not depending on the gradually changing phase relations of the different mike pendulums.

Performers then sit down to watch and listen to the process along with the audience.

The piece is ended sometime after all mikes have come to rest and are feeding back a continuous tone by performers pulling out the power cords of the amplifiers.

Steve Reich 8/68

Fig. 139 - Interpretación de la pieza “Pendulum Music”, 1969. Interpretación de la pieza “Pendulum Music” por (de izquierda a derecha) Richard Serra, James Tenney, Steve Reich, Bruce Nauman y Michael Snow, en el Whitney Museum of American Art, Nueva York, 1969.

Imagen: © fotografía por Richard Landry . Esta imagen así como la descripción de la misma fue tomada del libro: Reich, Steve. “Pendulum Music”. En *Writings on Music, 1965-2000*, editado por Paul Hillier, 1a ed., 31–32. New York City: Oxford University Press, 2002.p.30-31.

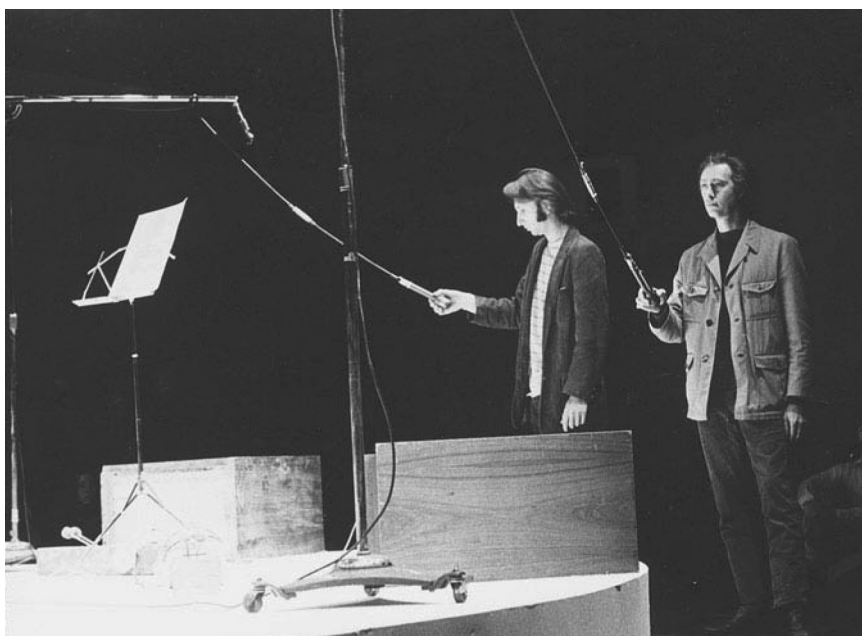


Fig. 140 - Diagrama de activación de sonido y plano vertical en Pendulum Music. El plano vertical, virtual, de la pieza Pendulum Music es activado únicamente por el tiempo en uno de los micrófonos esté lo suficientemente cerca del altavoz como para generar una realimentación de la señal. Al comienzo de la pieza

Fuente: Elaborado por Andrea Ramos.

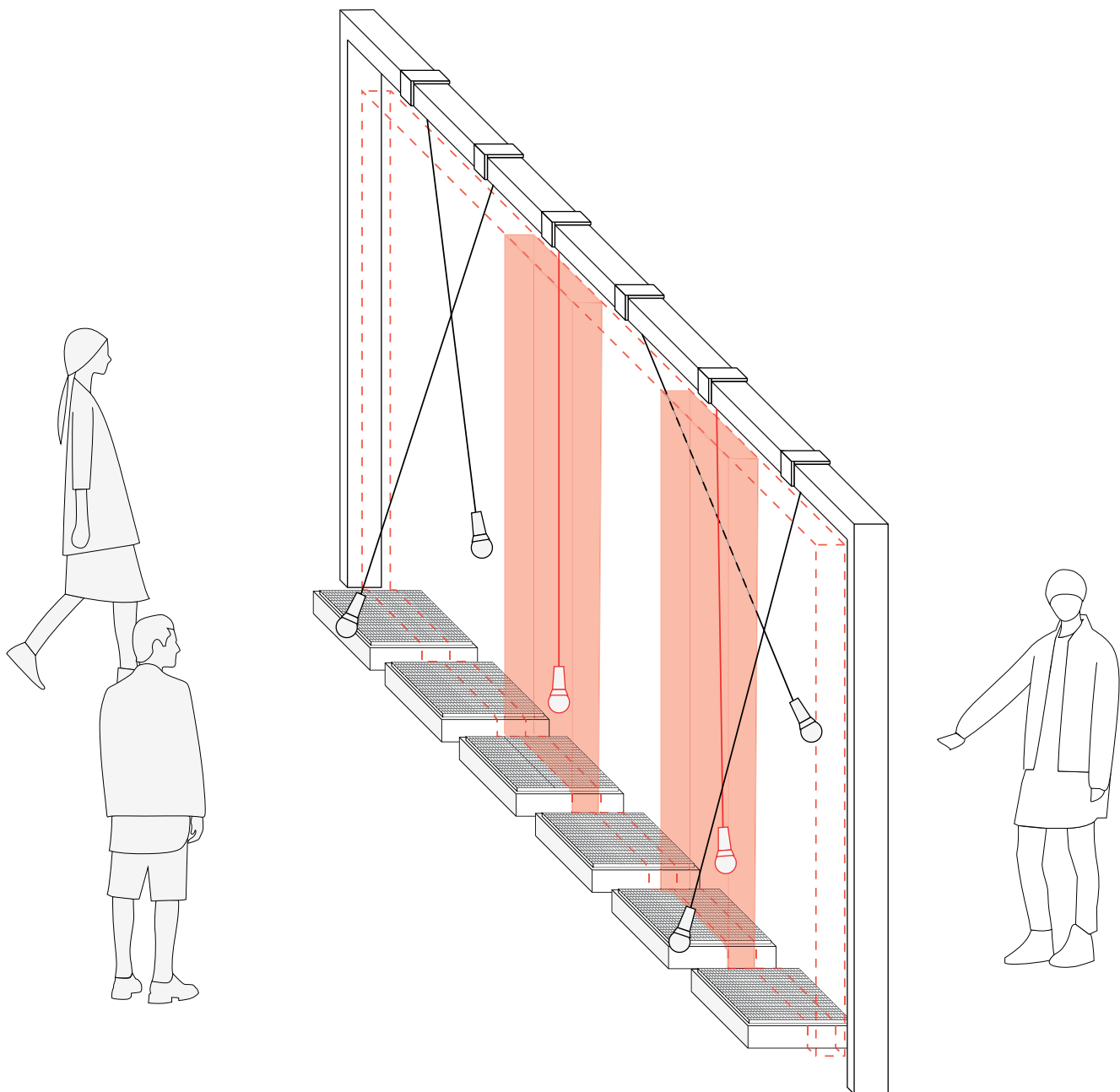


Fig. 141 - Diagrama de micrófonos en reposo en Pendulum Music.

Fuente: Elaborado por Andrea Ramos.

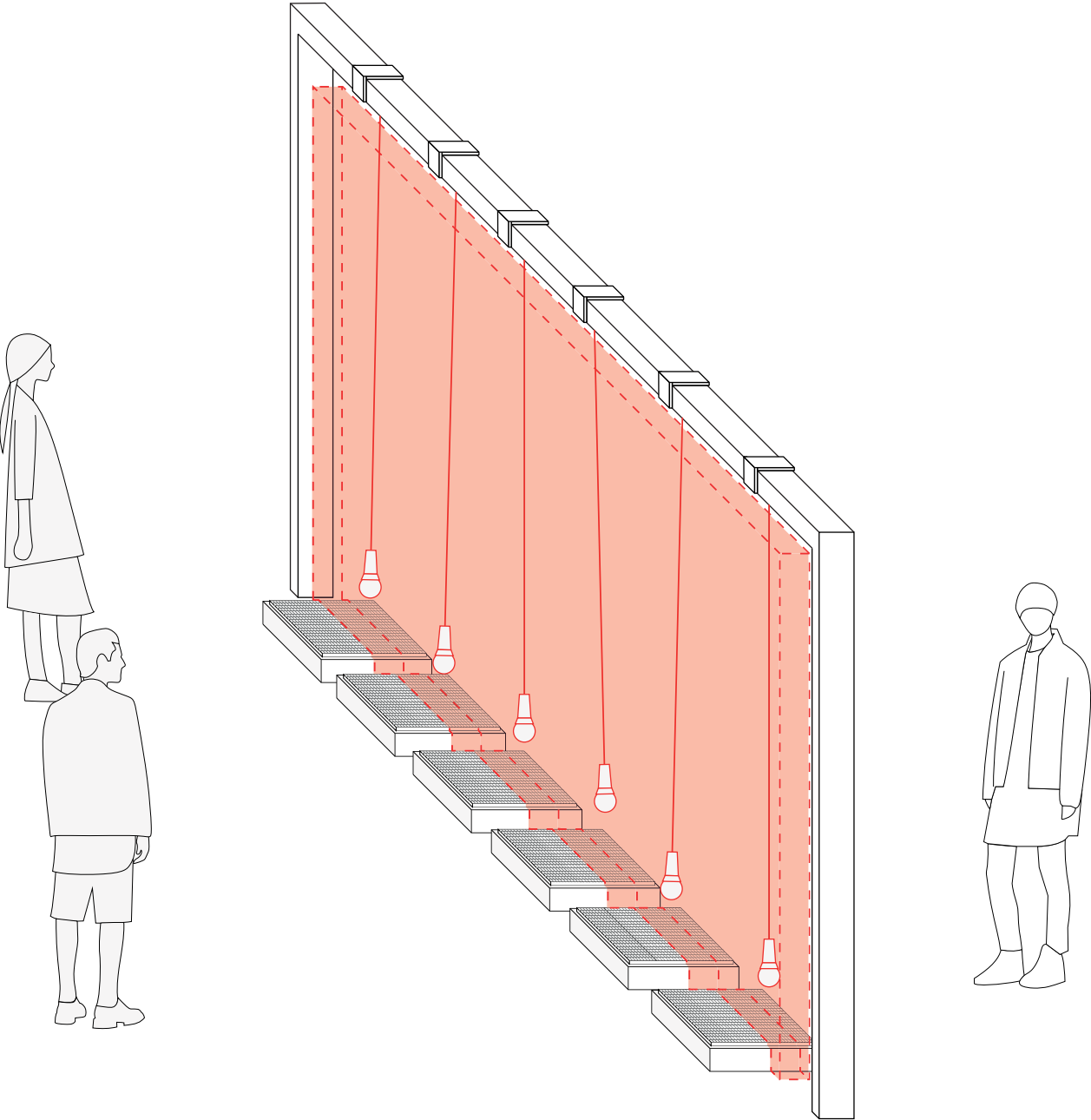


Fig. 142 - Bosquejos Casa Muro 3.

Imagen: John Hejduk, Sketches Wall House 3, 1968-1974, tinta sobre papel translúcido, 22x28 cm, Centro Canadiense de Arquitectura (Código de referencia): DR1998 0079 001 001 ©CCA.

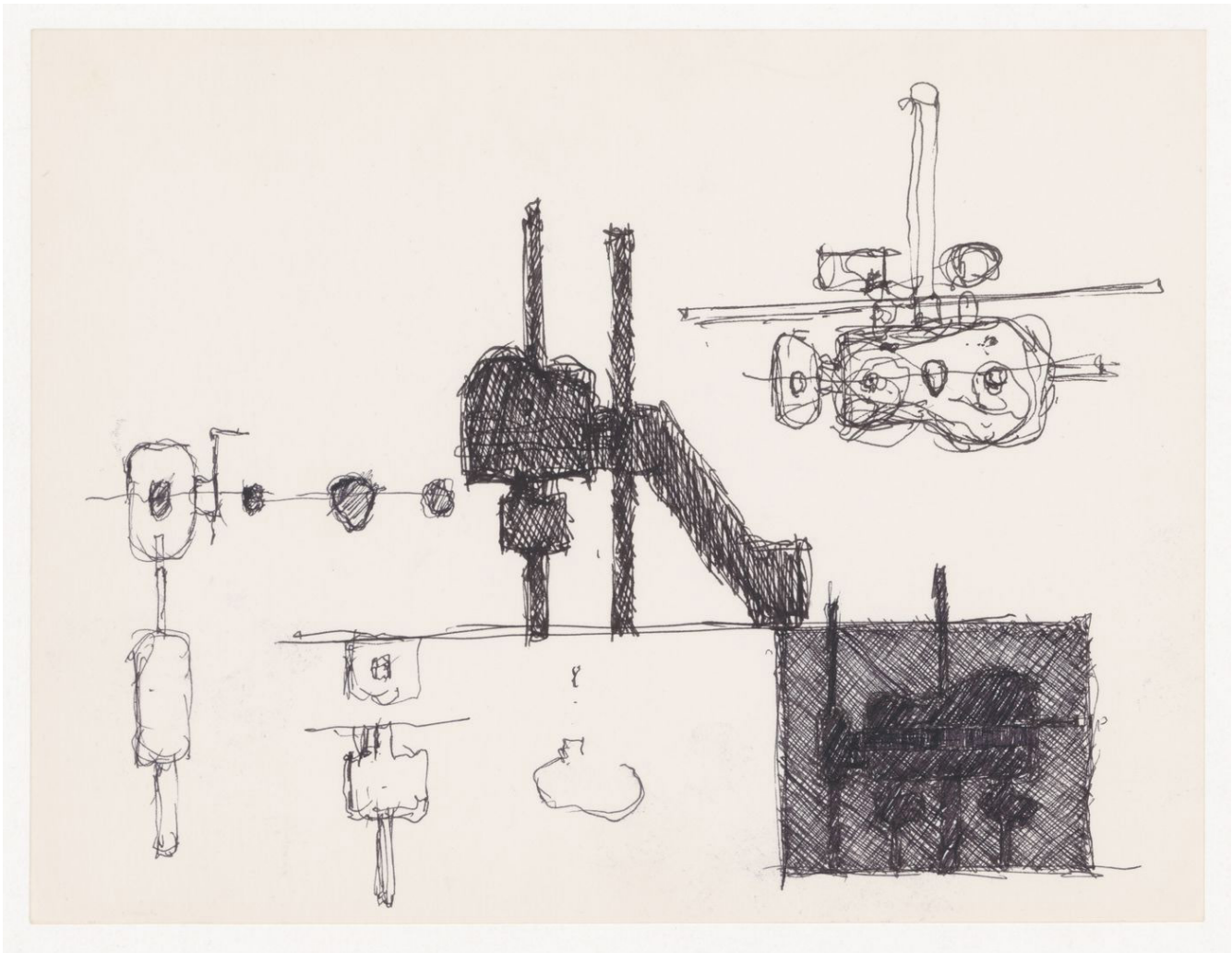


Fig. 143 - Notas y bosquejos sobre la secuencia de Casas Texas. Todas las casas están dibujadas de la misma manera, mostrando su relación con respecto al esquema de los nueve cuadrados. Hejduk incluye tres casas que no fueron desarrolladas en la serie; las Casas 8, 9 y 10. Sobre la Casa 8, Hejduk anota las palabras retícula y volumen, dibujando encima del esquema formal rectángulos, o precisamente volúmenes que no coinciden en su colocación con las líneas de la retícula. Sobre el dibujo correspondiente a la Casa 10 está escrita la palabra "explosión". Encima del esquema de los nueve cuadrados están dibujados volúmenes que no sólo no coinciden con las líneas de la retícula sino que trasngreden los límites del esquema formal.

Imagen: John Hejduk, Sketches and notes for Texas Houses, 1954-1963, tinta sobre papel 22x28 cm, Centro Canadiense de Arquitectura (Código de referencia): DR1998 0054 015 ©CCA.

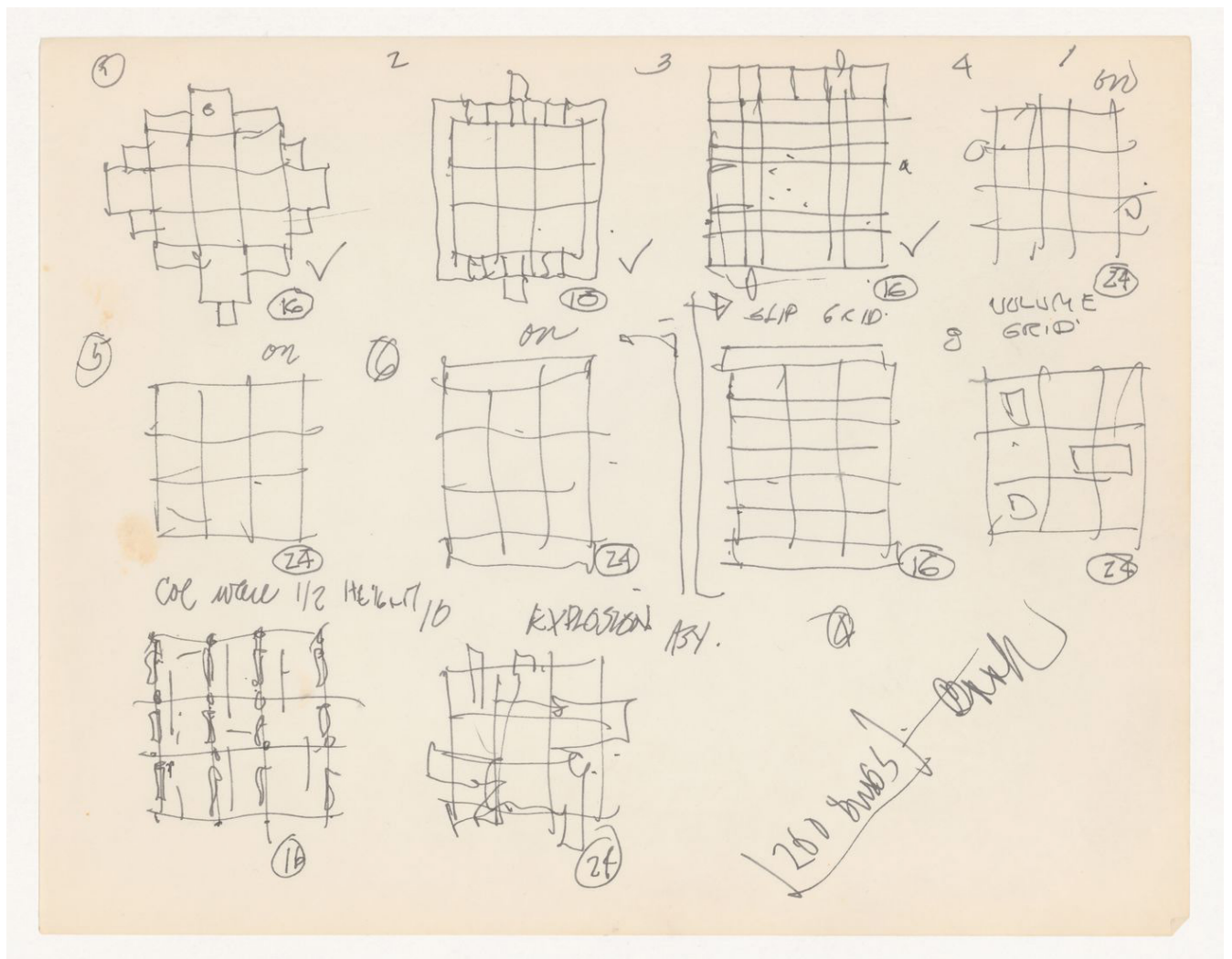


Fig. 144 - Notas y bosquejos sobre la secuencia de Casas (1954-1974).

Imagen tomada de: Hejduk, John. Mask of Medusa: Works 1947-1983. Editado por Kim Skapich. 1a ed. New York City: Rizzoli International Publications, 1985.p.285.

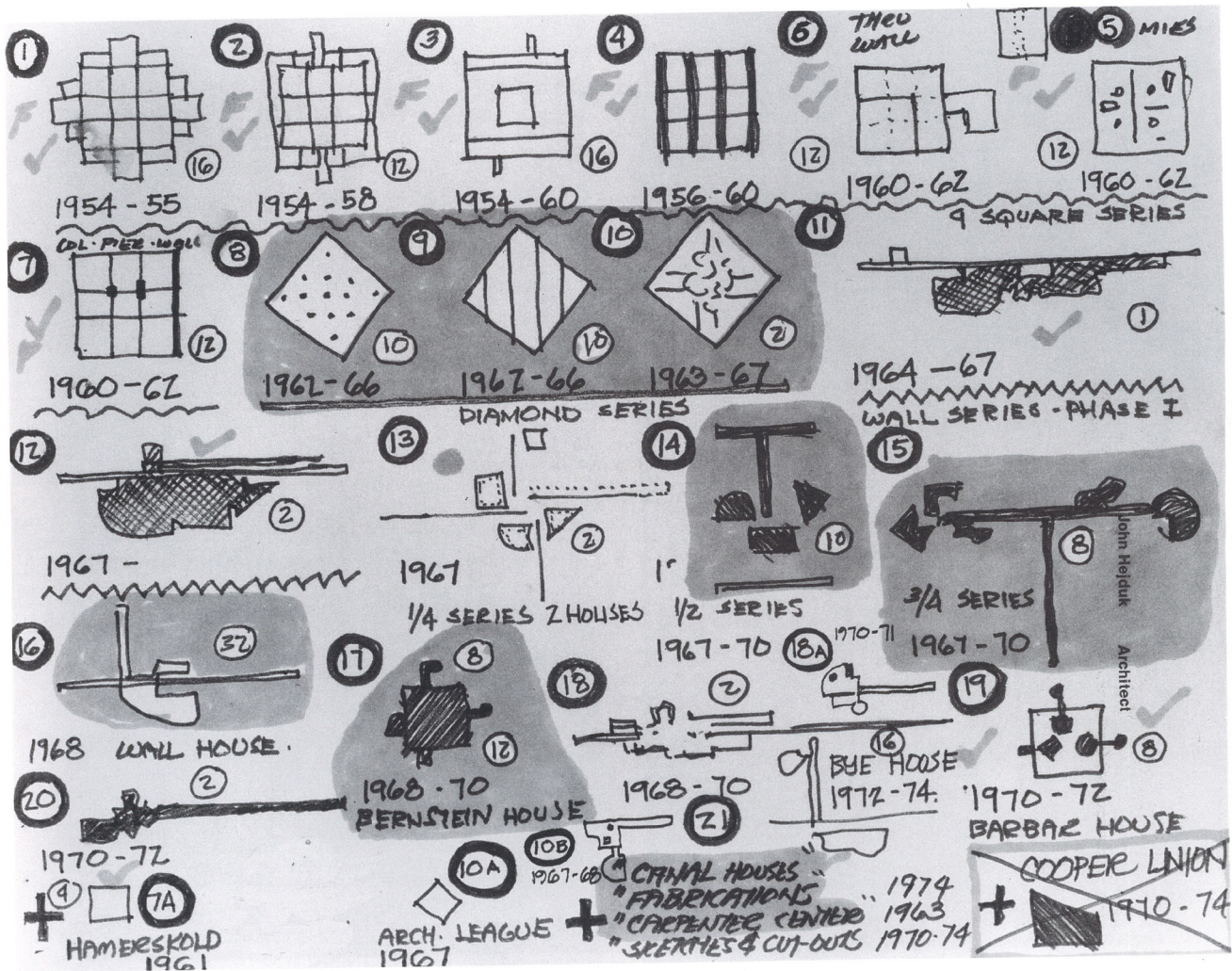


Fig. 145 - Notas y bosquejos sobre la transformación del diamante al muro.

Imagen: Hejduk, John. Mask of Medusa: Works 1947-1983. Editado por Kim Skapich. 1a ed. New York City: Rizzoli International Publications, 1985.p.p.251.

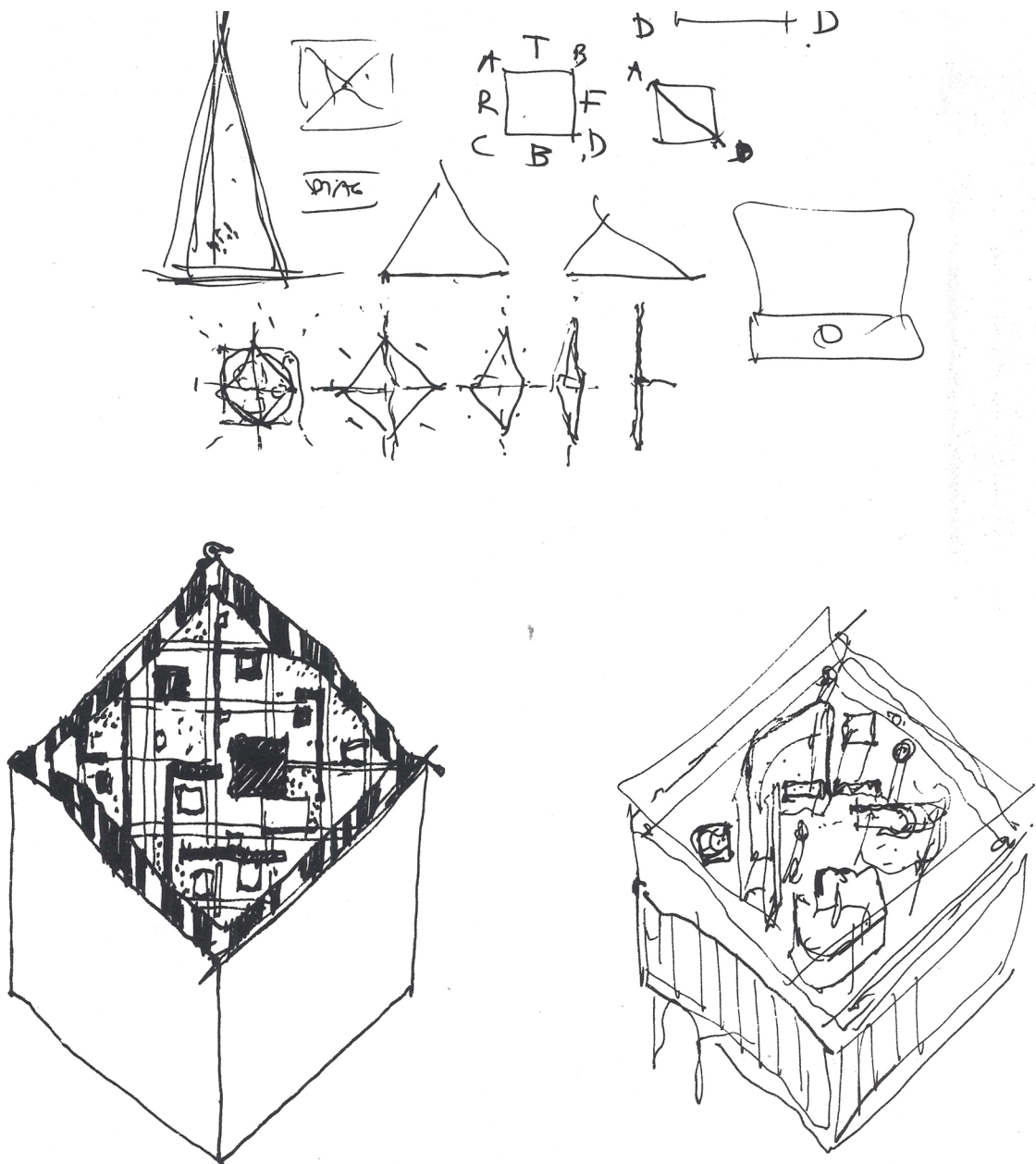


Fig. 146 - Fachada de acceso de la Casa Texas 7.

Texas House 7, Fachada de acceso Casa Texas 7 – basado en el plano “DR1998 0053 009” (Centro Canadiense de Arquitectura), Fuente: Elaboración propia.

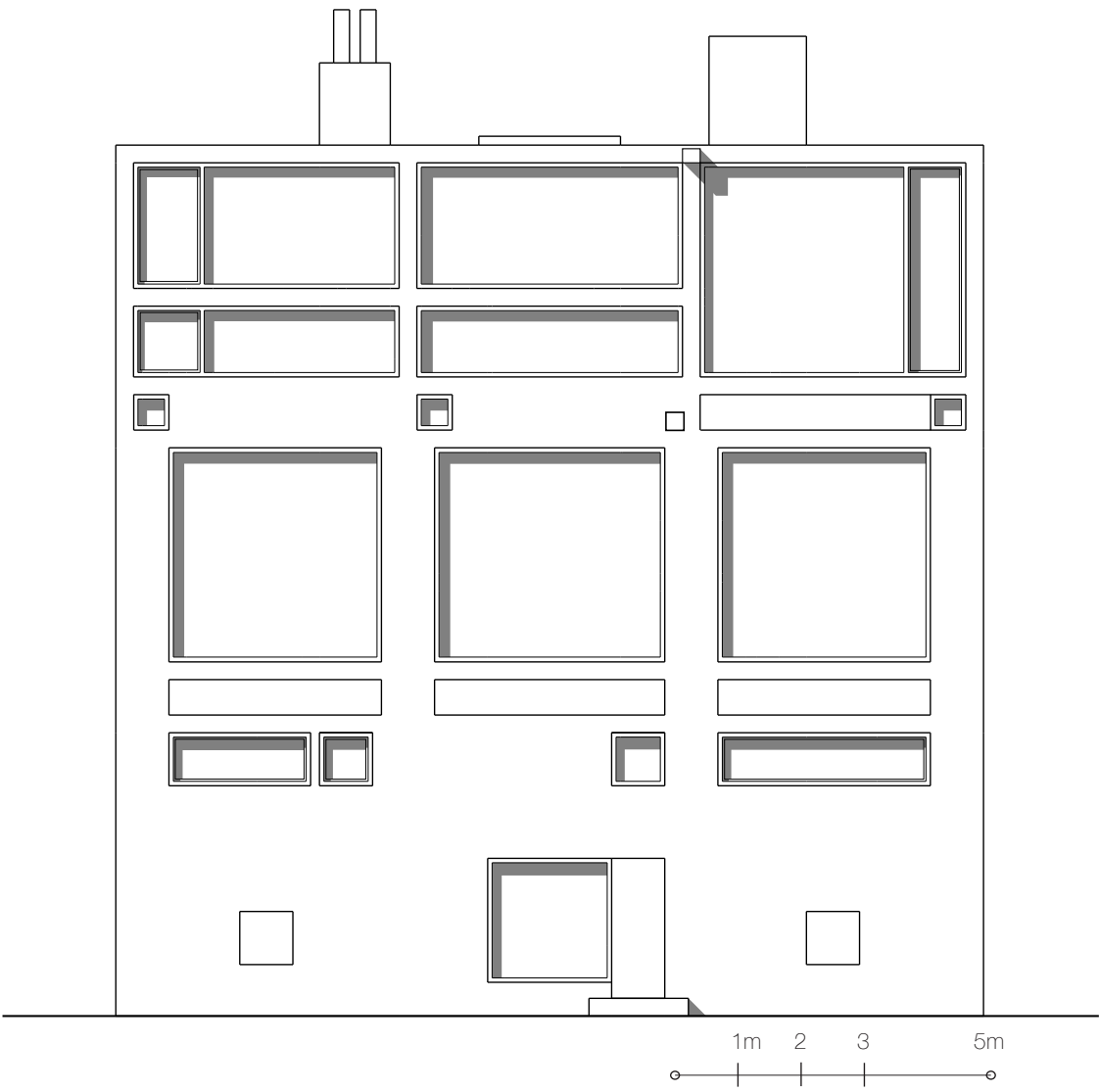


Fig. 147 -Diagrama sobre estructuración de fachadas en la Casa Texas 7.

Texas House 7, diagrama sobre estructuración de fachadas en la Casa Texas 7 – basado en los planos “DR1998 0053 009” y “DR1998 0053 008” y “DR1998 0053 007” (Centro Canadiense de Arquitectura), Fuente: Elaboración propia.

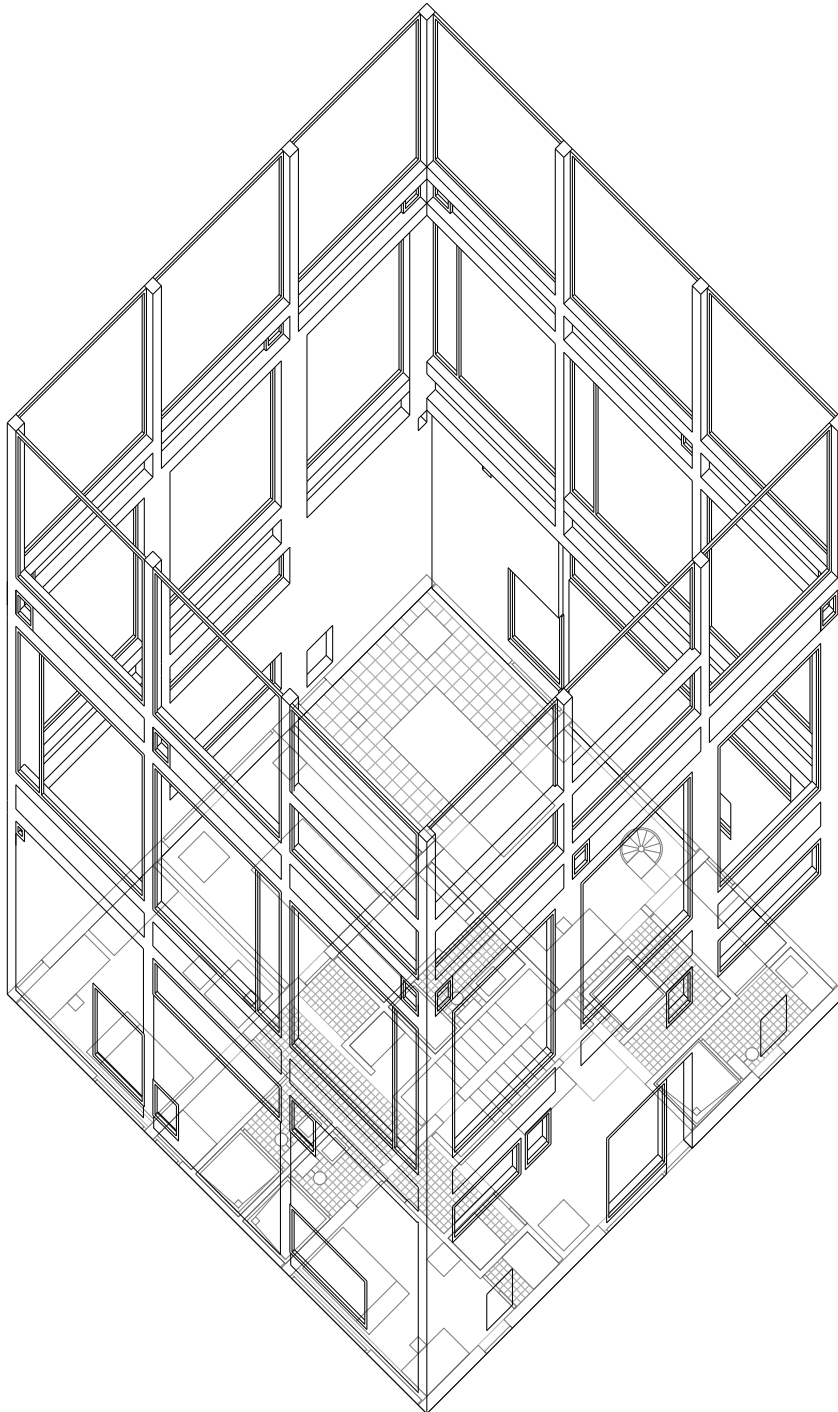


Fig. 148 - Perspectiva del complejo capitolino, Étienne Dupérac, 1569.

Información e Imagen tomada de: Argan, Giulio Carlo, y Bruno Contardi. Michelangelo: Architect. Editado y traducido por Marion L. Grayson. 1a ed. New York City, EE. UU.: Harry N. Abrams Publishers, 1993.p.219.

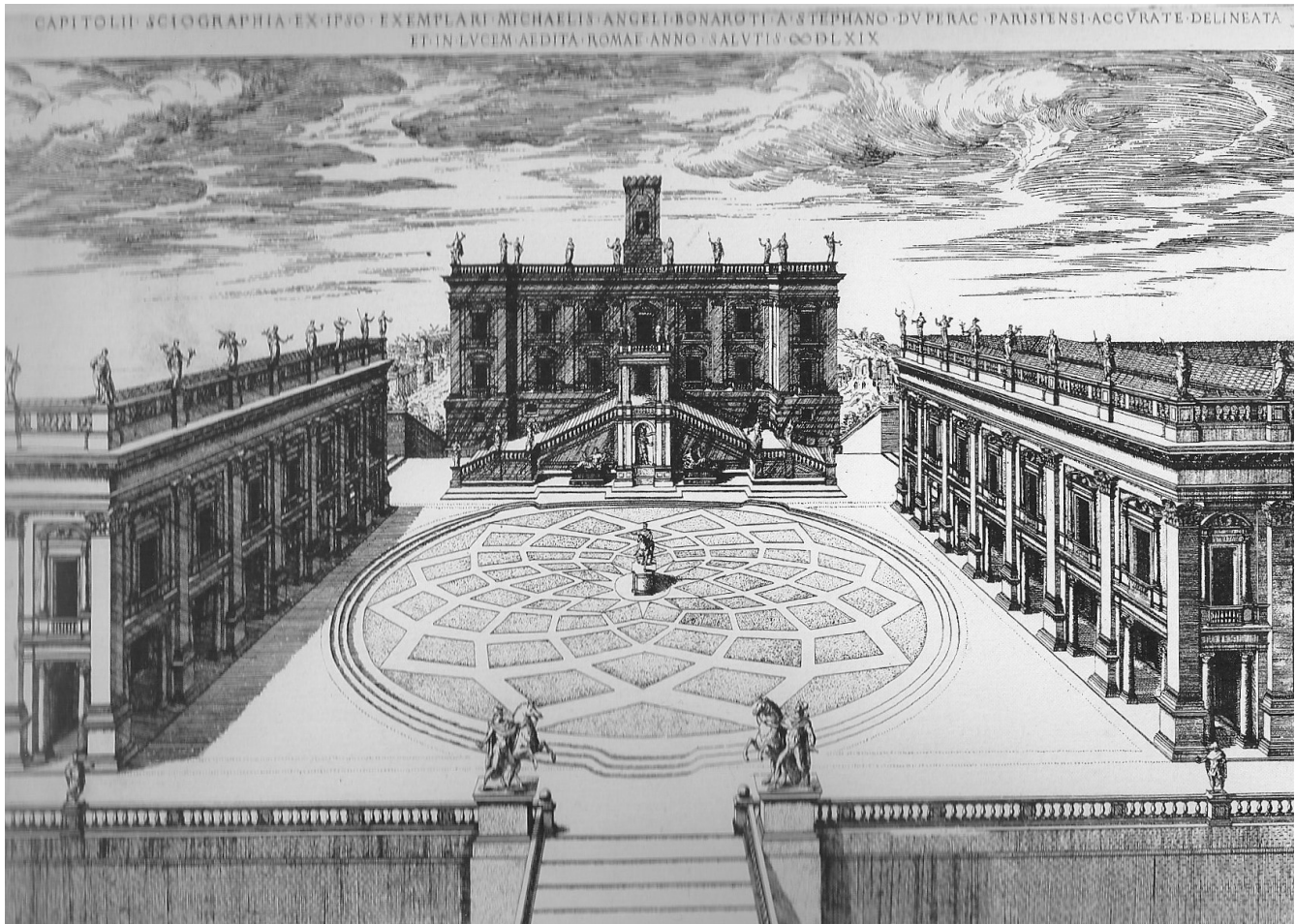


Fig. 149 - Perspectiva del complejo capitolino, Étienne Dupérac, 1569.

Información e Imagen tomada de: Argan, Giulio Carlo, y Bruno Contardi. Michelangelo: Architect. Editado y traducido por Marion L. Grayson. 1a ed. New York City, EE. UU.: Harry N. Abrams Publishers, 1993.p.219.

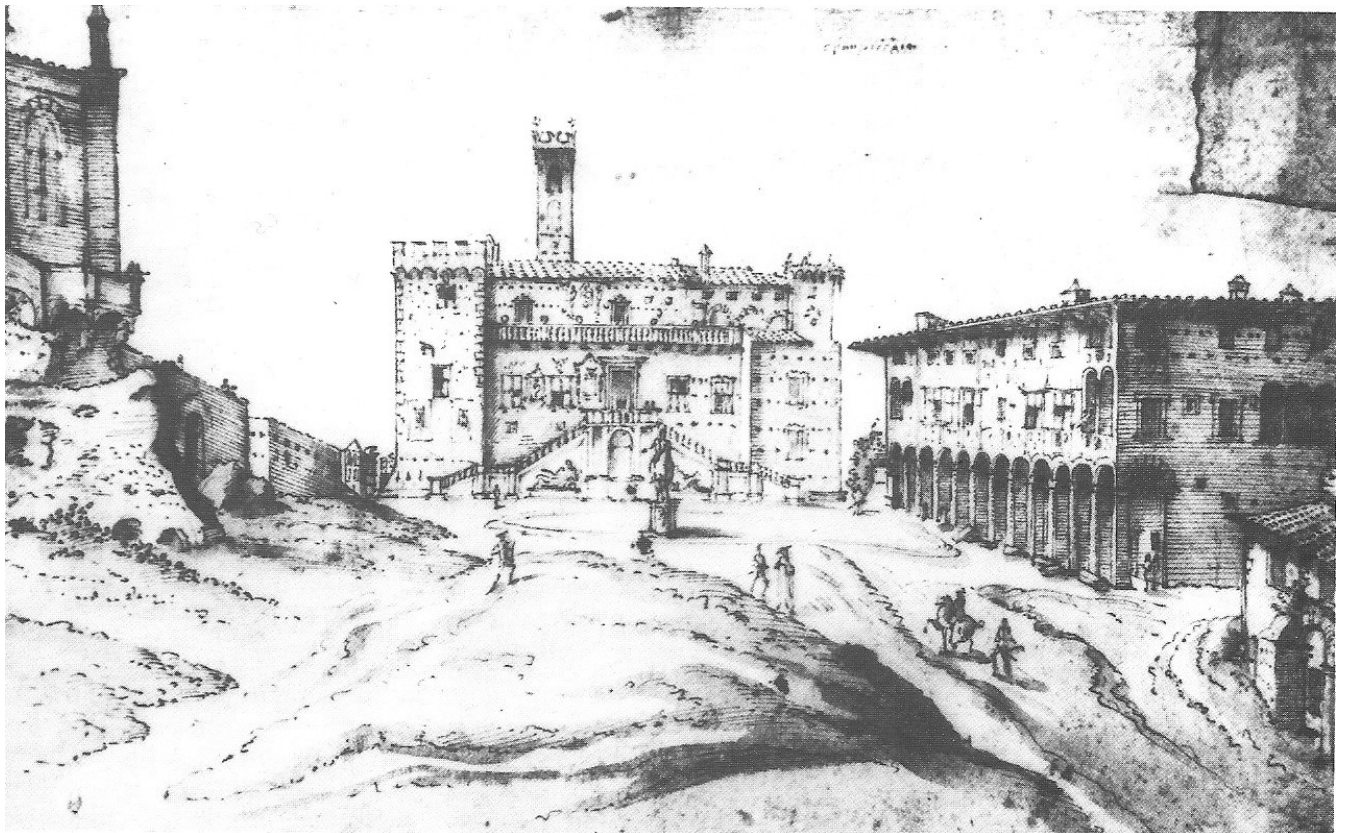


Fig. 150 - Palacio de los conservadores, Campidoglio.

Fotografía de: Gabriele Basilico. Información e Imagen tomada de: Argan, Giulio Carlo, y Bruno Contardi. Michelangelo: Architect. Editado y traducido por Marion L. Grayson. 1a ed. New York City, EE. UU.: Harry N. Abrams Publishers, 1993.p.229.



Fig. 151 - Palazzo senatorio, Campidoglio.

Fotografía de: Gabriele Basilico. Información e Imagen tomada de: Argan, Giulio Carlo, y Bruno Contardi. Michelangelo: Architect. Editado y traducido por Marion L. Grayson. 1a ed. New York City, EE. UU.: Harry N. Abrams Publishers, 1993.p.223.



Fig. 152 - Planta Campidoglio, Bernardo Faletti, 1567.

Información e Imagen tomada de: Argan, Giulio Carlo, y Bruno Contardi. Michelangelo: Architect. Editado y traducido por Marion L. Grayson. 1a ed. New York City, EE. UU.: Harry N. Abrams Publishers, 1993.p.218.

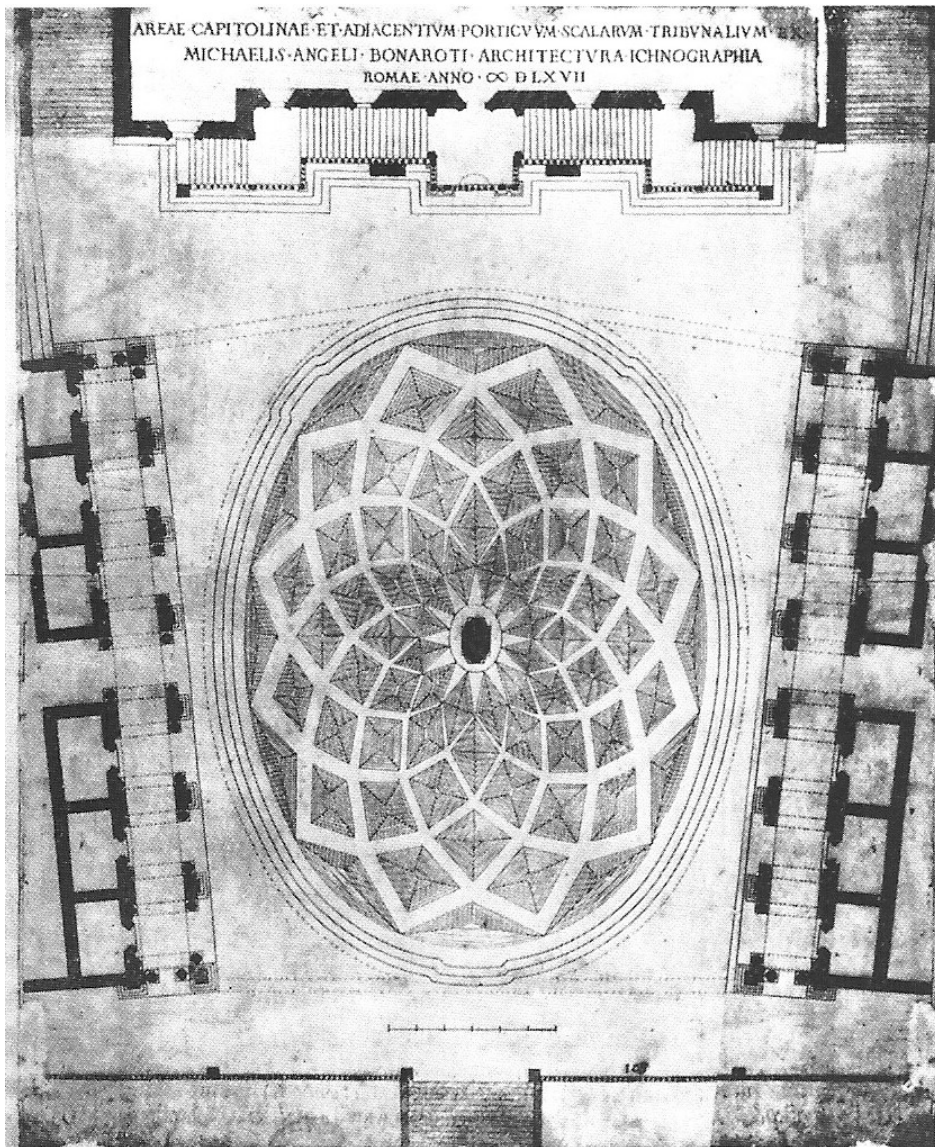


Fig. 153 - Planta y corte de un templo primitivo, Le Corbusier. A pesar de que el esquema presentado por Le Corbusier de un *temple primitivo* corresponda al modelo de un tabernáculo la identificación de las partes no son específicas al tabernáculo. Le Corbusier anota: "A. entrada, B. pórtico, C. peristilo, D. santuario, E. instrumentos de culto, F. jarrón de libaciones, G. altar."

Imagen tomada de: Corbusier, Le. "Les Tracés Régulateurs". En *Vers une architecture*, 2a ed., 49-64. París: Les éditions G. Crès et C, 1925.p.54.

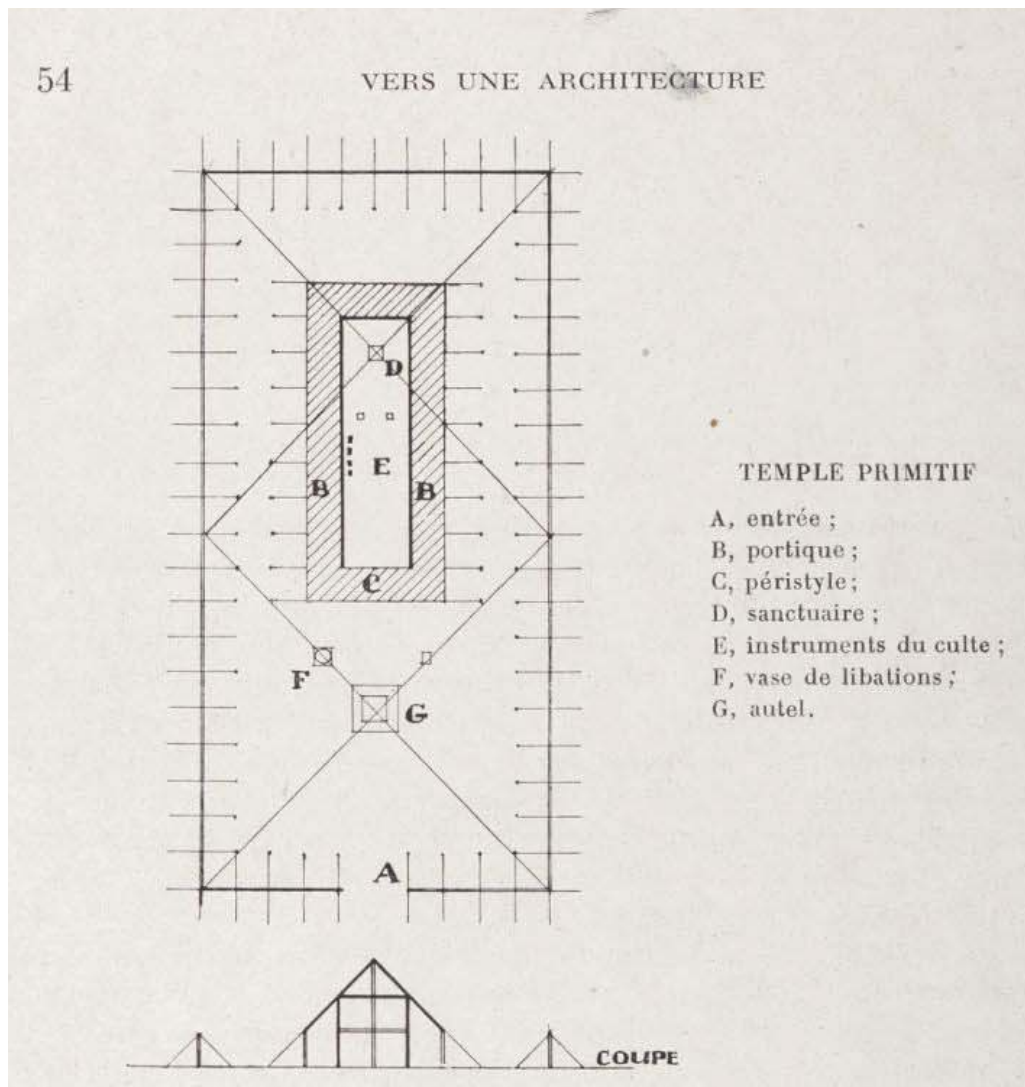


Fig. 154 - Axonometría de un templo primitivo, Le Corbusier.

Imagen tomada de: Corbusier, Le. "Les Tracés Régulateurs". En Vers une architecture, 2a ed., 49-64. París: Les éditions G. Crès et C, 1925.p.55.

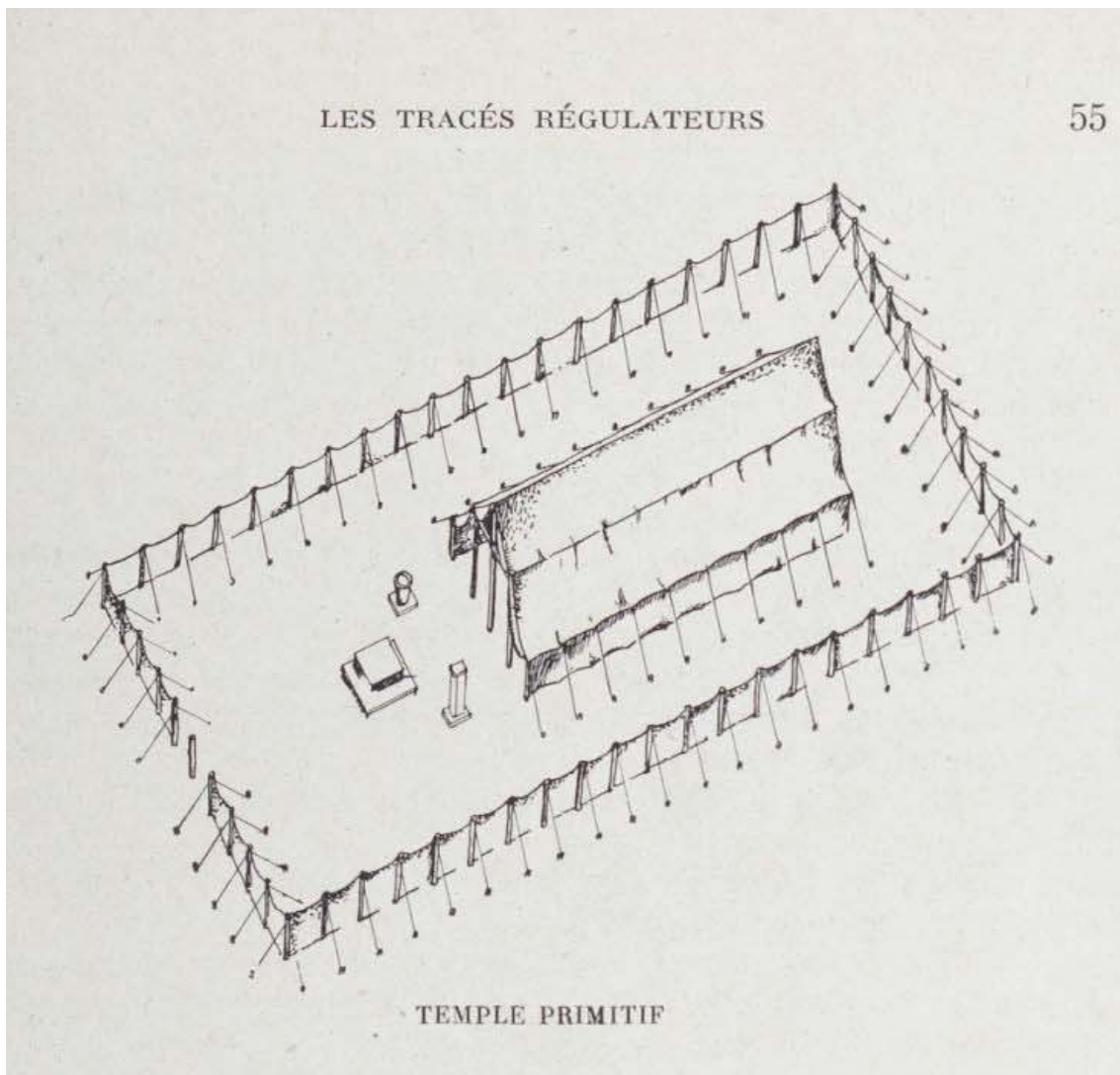


Fig. 155 - Axonometría Casa Texas 1.

Texas House 1, Axonometría, Casa Texas 1 – basado en el plando “DR1998 0047 003 008” (Centro Canadiense de Arquitectura), Fuente: Elaboración propia.

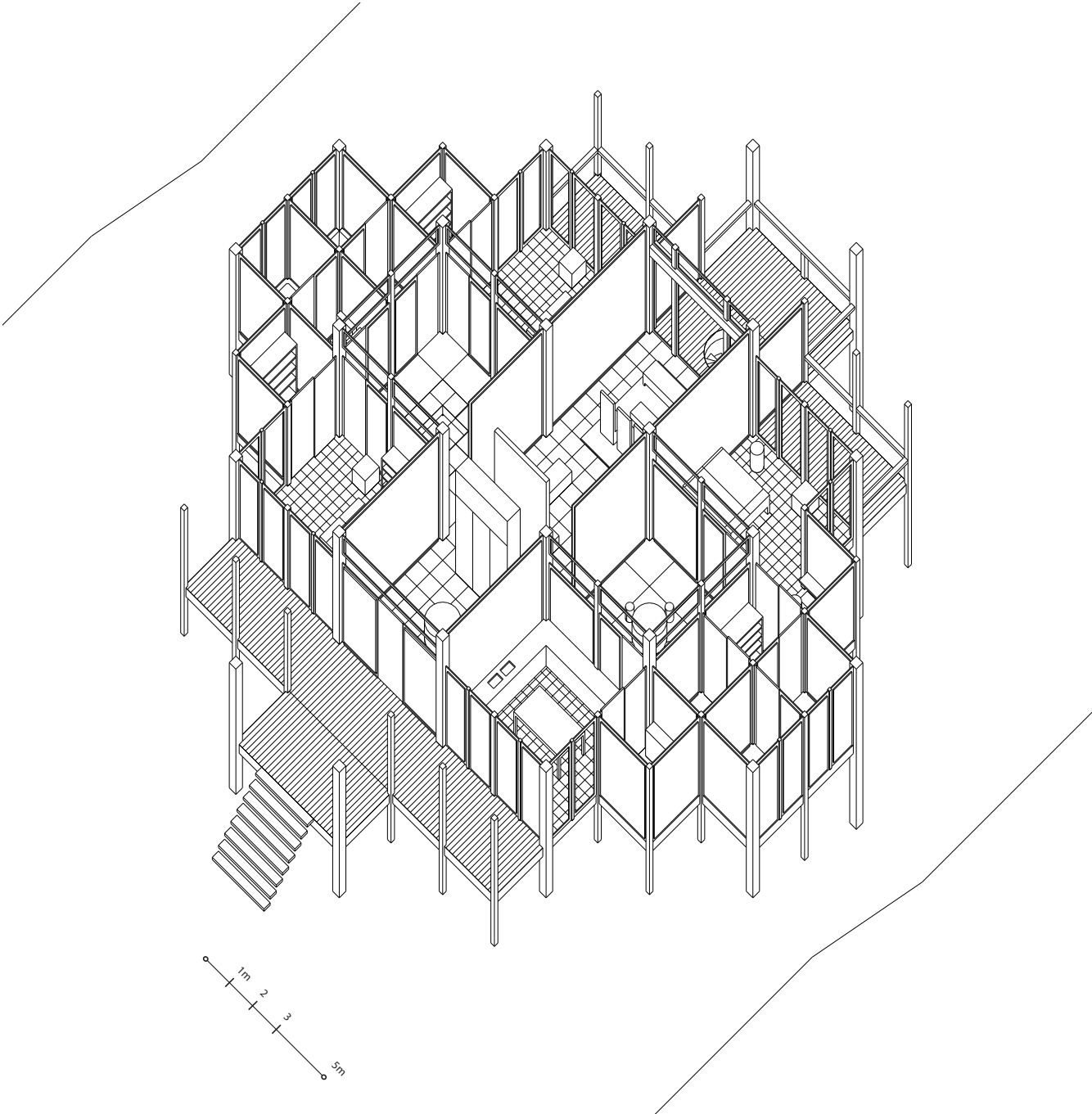


Fig. 156 - Planta inferior Casa Texas 1. Únicamente están representados los elementos verticales y el espacio central cerrado. Los elementos verticales presentes son los correspondientes a las distancias de módulos completos y medio módulo.

Imagen: John Hejduk, Planta Casa Texas 1, 1954-1963, grafito y lápiz de color sobre papel translúcido, 75,5 × 81,5 cm, Centro Canadiense de Arquitectura (Código de referencia): DR1998 0047 003 001 ©CCA.

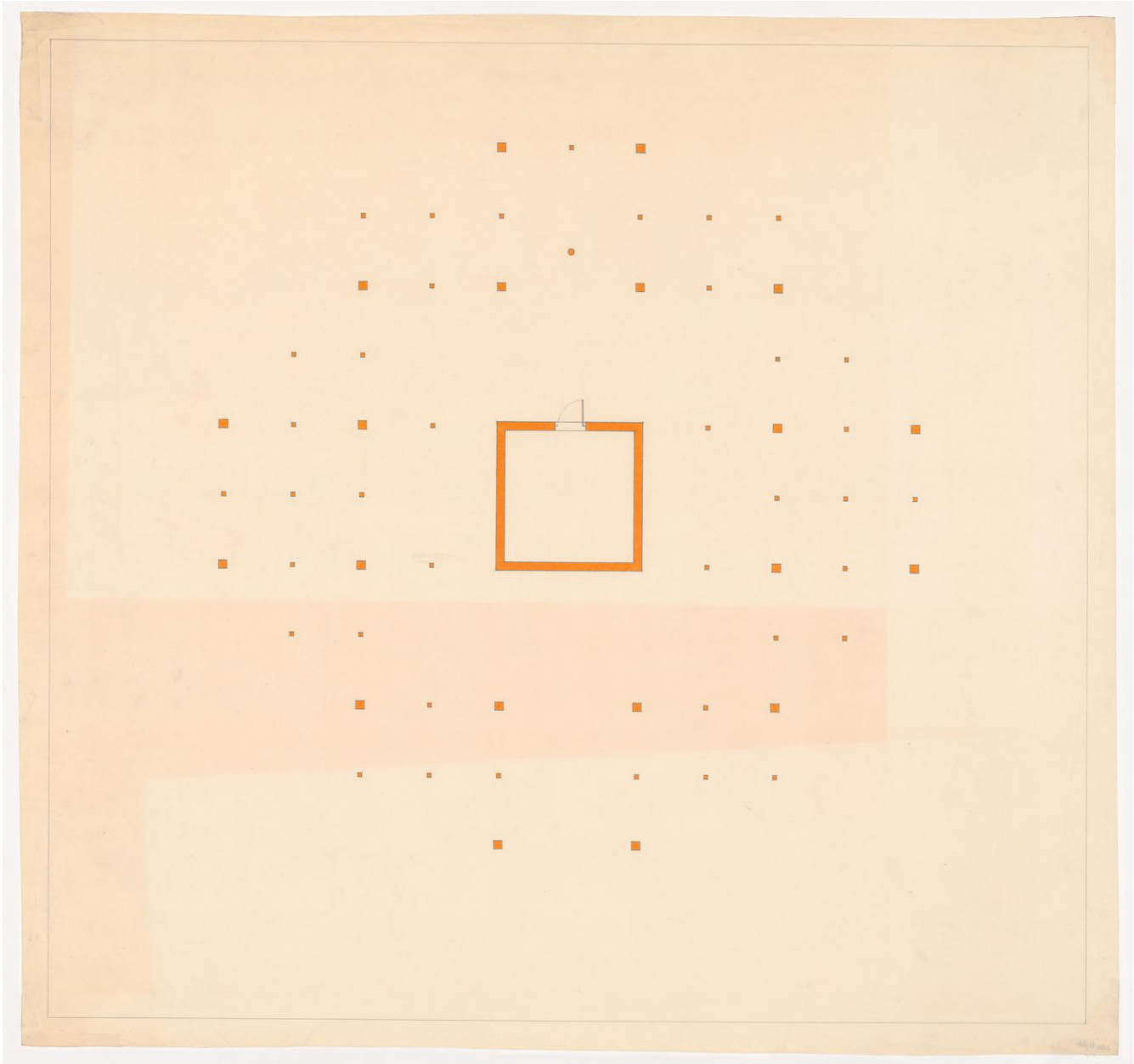


Fig. 157 - Tabernáculo en el desierto, Atrii et Tabern. Scenographia.

Algunas de las imágenes tomadas del libro *Physica sacra*, están referenciadas en: Jan van Pelt, Robert. "Philo of Alexandria and the Architecture of the Cosmos". *AA Files* 4, núm. July (1983): 3–15.

Imagen: Johann Andreas Pfeffel (1674-1748) TAB. CXCIX Exodi Cap XXVII.v.9-19. (...) Atrii et Tabern. Scenographia. 1731 - 1735, grabado. Imagen tomada de: Johann Jakob Scheuchzer. *Physica Sacra*. 1a ed. Augsburg y Ulm, Alemania: 1731-1735. Biblioteca John Carter Brown, EE. UU. <https://archive.org/details/physicasacra00sche/page/n87/mode/2up>. ©Dominio público.



Fig. 158 - Arca de la alianza, Arca Foederis alia.

Imagen: Johann Andreas Pfeffel (1674-1748) TAB. CLXXXII, Exodi Cap XXV.v10. Arca Foederis alia 1731 - 1735, grabado. Imagen tomada de: Johann Jakob Scheuchzer. Physica Sacra. 1a ed. Augsburg y Ulm, Alemania: 1731-1735. Biblioteca John Carter Brown, EE. UU. <https://archive.org/details/physicasacra00sche/page/n87/mode/2up>. ©Dominio público.



Fig. 159 - Tabernáculo en el desierto, Atrii et Tabern. Ichnographia.

Imagen: Johann Andreas Pfeffel (1674-1748) TAB. CXCVIII Exodi Cap XXVII.v9-19. (...) Atrii et Tabern. Ichnographia. 1731 - 1735, grabado. Imagen tomada de: Johann Jakob Scheuchzer. Physica Sacra. 1a ed. Augsburg y Ulm, Alemania: 1731-1735. Biblioteca John Carter Brown, EE. UU. <https://archive.org/details/physicasacra00sche/page/n87/mode/2up>. ©Dominio público.

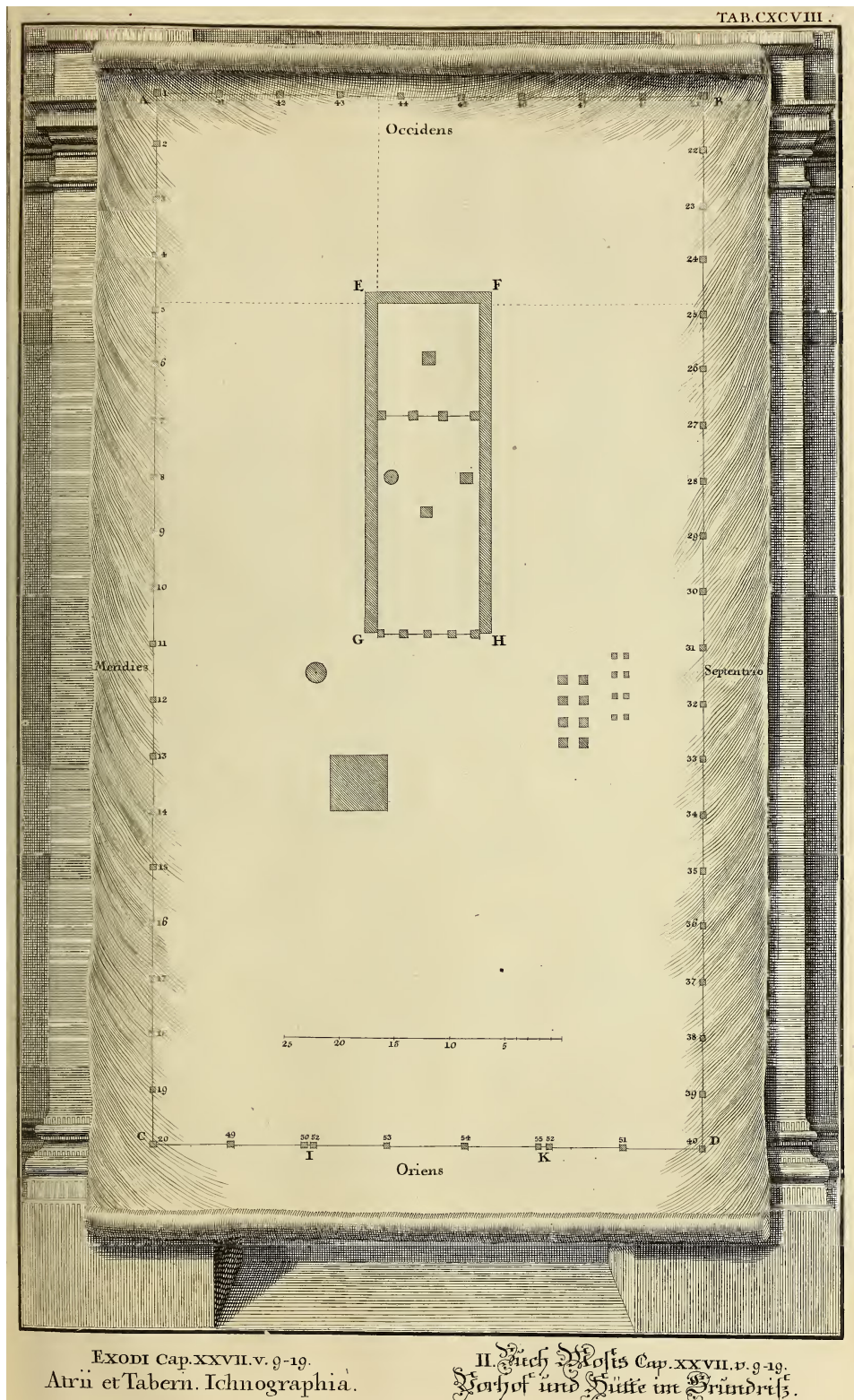


Fig. 160 - Altar de los sacrificios, (...) Holocausti fecundum Lundium

Imagen: Johann Andreas Pfeffel (1674-1748) TAB. CXCI Exodi Cap XXVII.v1-8. (...) Holocausti fecundum Lundium. 1731 - 1735, grabado. Imagen tomada de: Johann Jakob Scheuchzer. Physica Sacra. 1a ed. Augsburg y Ulm, Alemania: 1731-1735. Biblioteca John Carter Brown, EE. UU. <https://archive.org/details/physicasacra00sche/page/n87/mode/2up>. ©Dominio público.



Fig. 161 - Tabernáculo en el desierto, Tabernaculum ex Lundio

Imagen: Johann Andreas Pfeffel (1674-1748) TAB. CXC, Exodi Cap XXVI.v15-36. Tabernaculum ex Lundio. 1731 - 1735, grabado. Imagen tomada de: Johann Jakob Scheuchzer. Physica Sacra. 1a ed. Augsburg y Ulm, Alemania: 1731-1735. Biblioteca John Carter Brown, EE. UU. <https://archive.org/details/physicasacra00sche/page/n87/mode/2up>. ©Dominio público.



Fig. 162 - Tabernáculo en el desierto, Tabernaculum juxta Scacchi.

Imagen: Johann Andreas Pfeffel (1674-1748) TAB. CLXXXIX, Exodi Cap XXVI.v15-36. Tabernaculum juxta Scacchi. 1731 - 1735, grabado. Imagen tomada de: Johann Jakob Scheuchzer. Physica Sacra. 1a ed. Augsburg y Ulm, Alemania: 1731-1735. Biblioteca John Carter Brown, EE. UU. <https://archive.org/details/physicasacra00sche/page/n87/mode/2up>. ©Dominio público.



Fig. 163 - Tabernáculo en el desierto, Iconographia Aulæi primi.

Imagen: Johann Andreas Pfeffel (1674-1748) TAB. CLXXC, Exodi Cap XXVI.v1. Iconographia Aulæi primi 1731 - 1735, grabado. Imagen tomada de: Johann Jakob Scheuchzer. Physica Sacra. 1a ed. Augsburg y Ulm, Alemania: 1731-1735. Biblioteca John Carter Brown, EE. UU. <https://archive.org/details/physicasacra00sche/page/n87/mode/2up>. ©Dominio público.

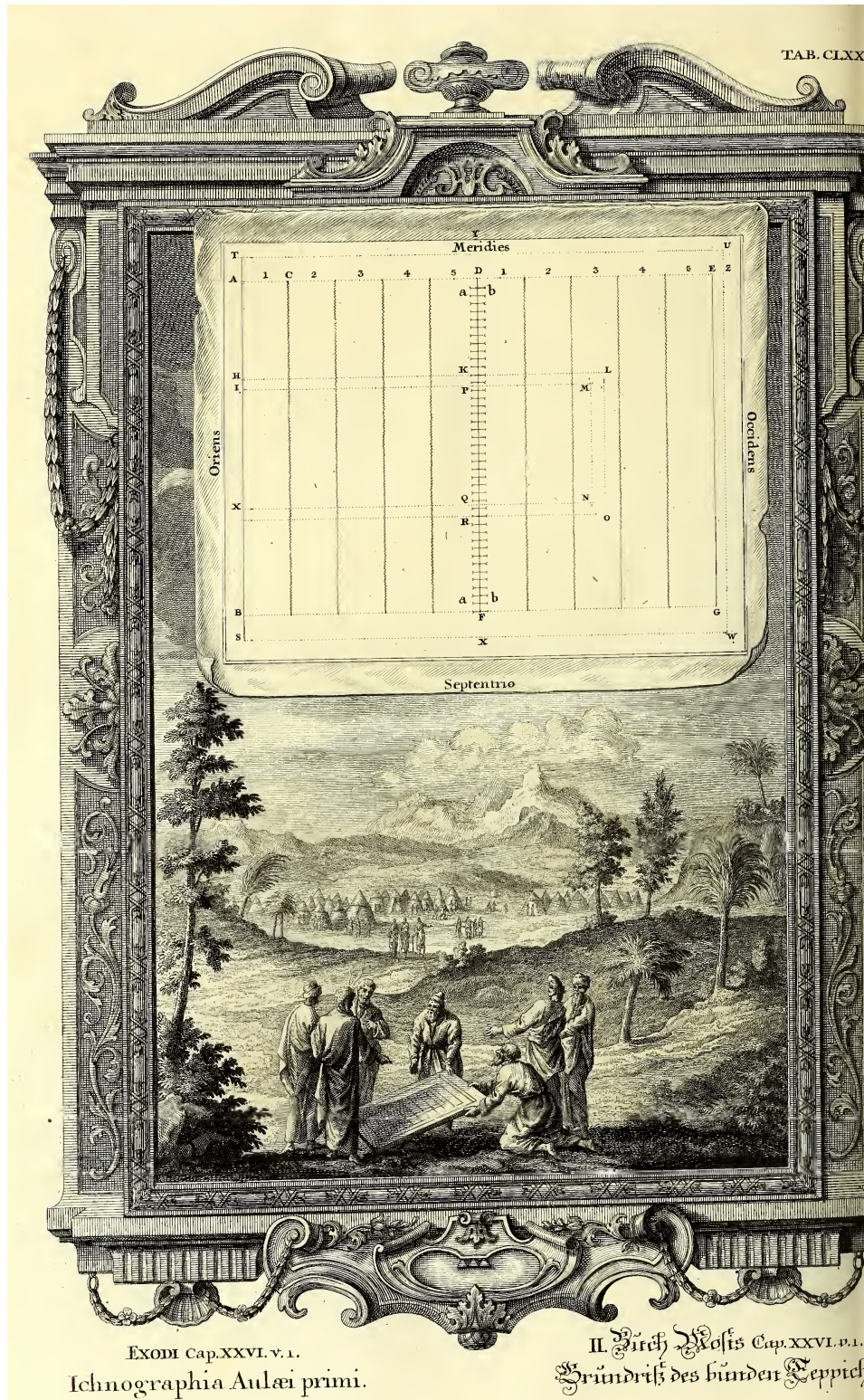


Fig. 164 - Diagrama de continuidad espacial y centro inferior ocupado.

Texas House 1, Diagrama de continuidad espacial y centro inferior ocupado. Casa Texas 1 – basado en el plano “DR1998 0047 003 008” (Centro Canadiense de Arquitectura), Fuente: Elaboración propia.

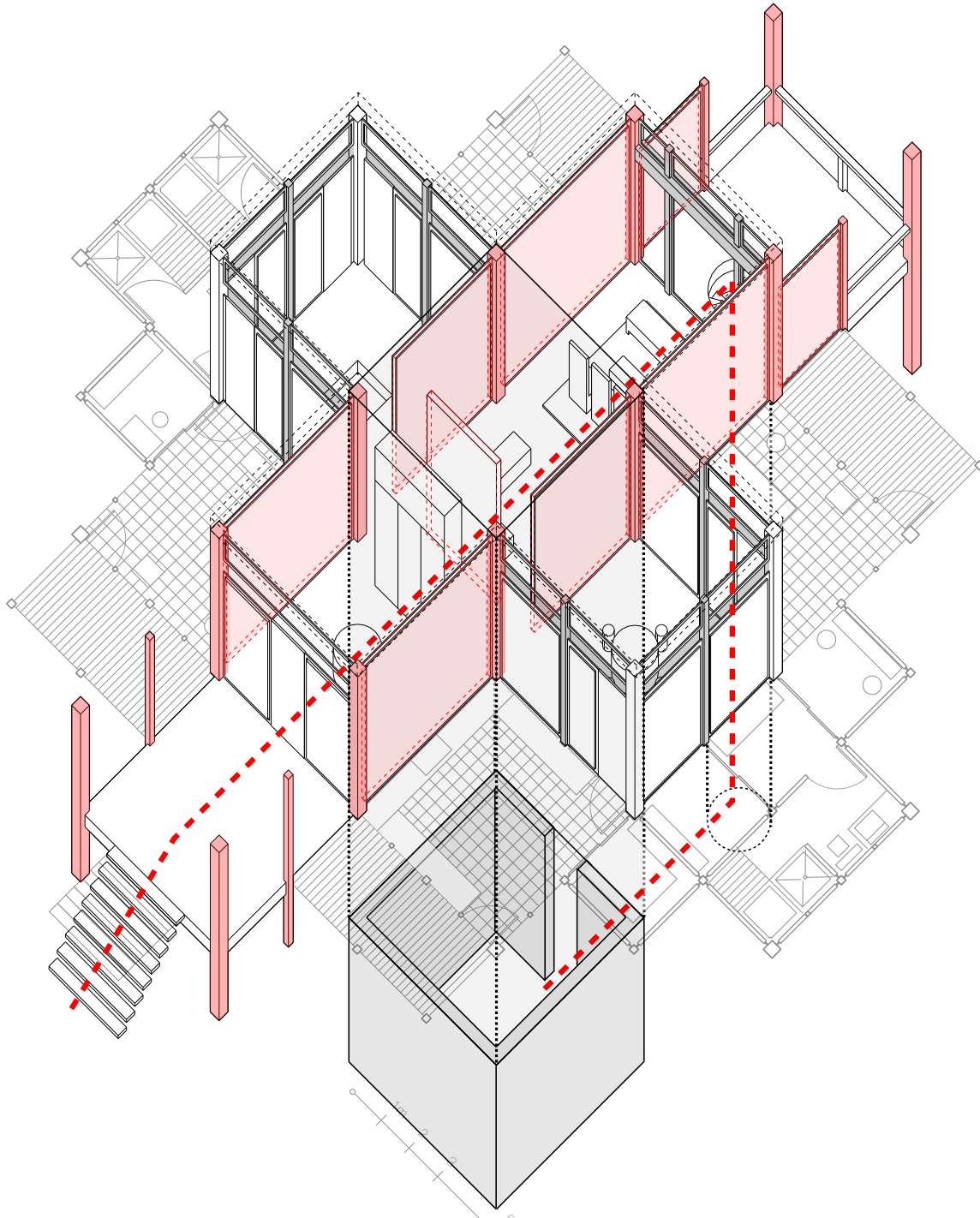


Fig. 165 - Diagrama de transformación de elementos estructurales. Los elementos estructurales de la Casa Texas 7 están dispuestos sobre los ejes del esquema formal de los nueve cuadrados en una única dirección, paralelos al movimiento de la escalera. Estos elementos varían a lo largo de la altura de la casa.

Texas House 7, diagrama de transformación de elementos estructurales – basado en el plano “DR1998 0053 009” (Centro Canadiense de Arquitectura), Fuente: Elaboración propia.

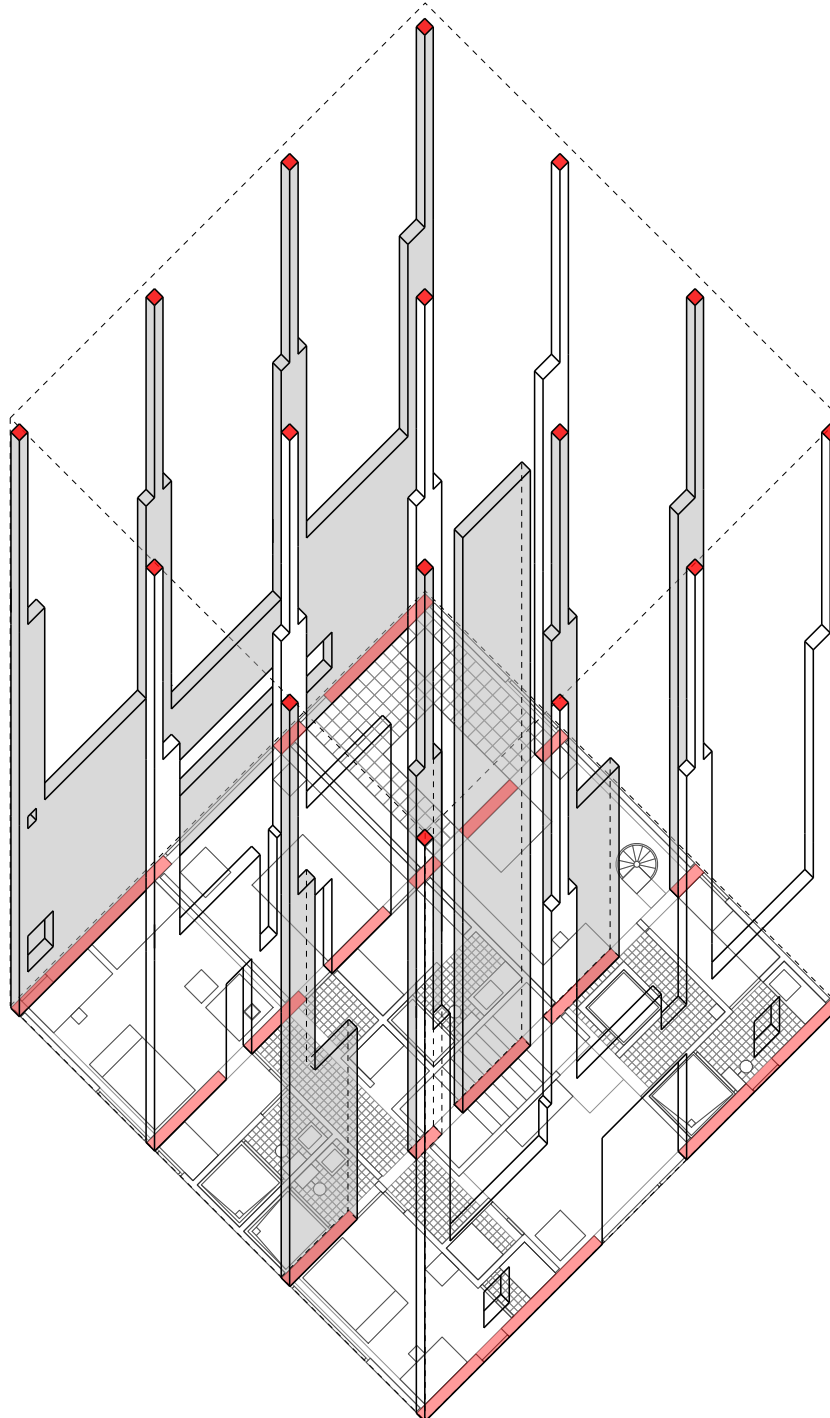


Fig. 166 - Diagrama de esquema formal y su relación con el borde en la Casa Diamond A.

a. Casa Diamond A, Diagrama en planta, nivel 2 – basado en el plano “DR1998 0060 003 002 ” (Centro Canadiense de Arquitectura), Fuente: Elaboración propia.

b. Casa Diamond A, Diagrama en planta, nivel 3 – basado en el plano “DR1998 0060 003 003 ” (Centro Canadiense de Arquitectura), Fuente: Elaboración propia.

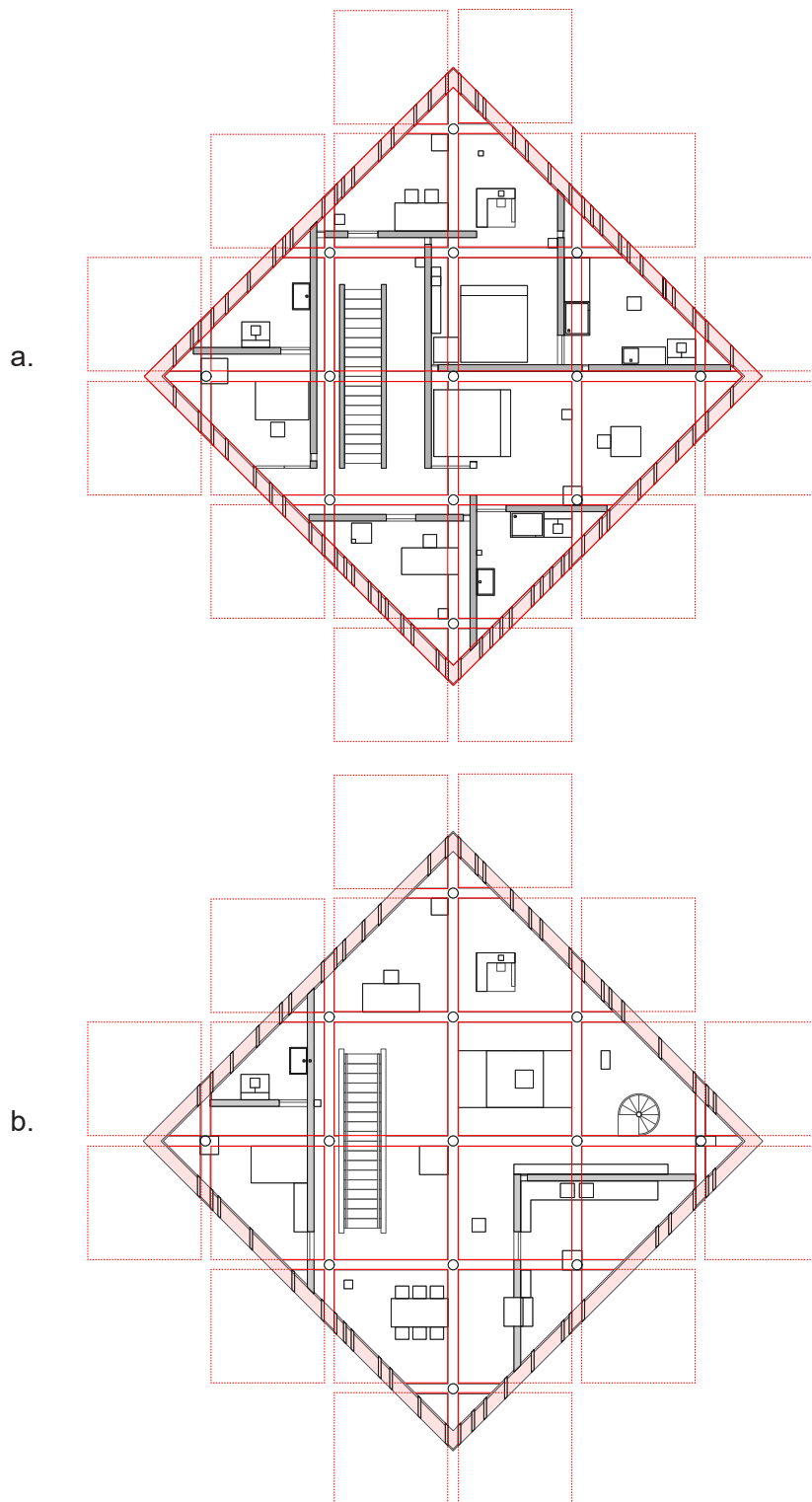


Fig. 167 - Diagrama de definición de límite en la Casa Texas 3.

Casa Texas 3, diagrama de definición de límite en la Casa Texas 3 – basado en el plano “DR1998 0049 002 002” (Centro Canadiense de Arquitectura), Fuente: Elaboración propia.

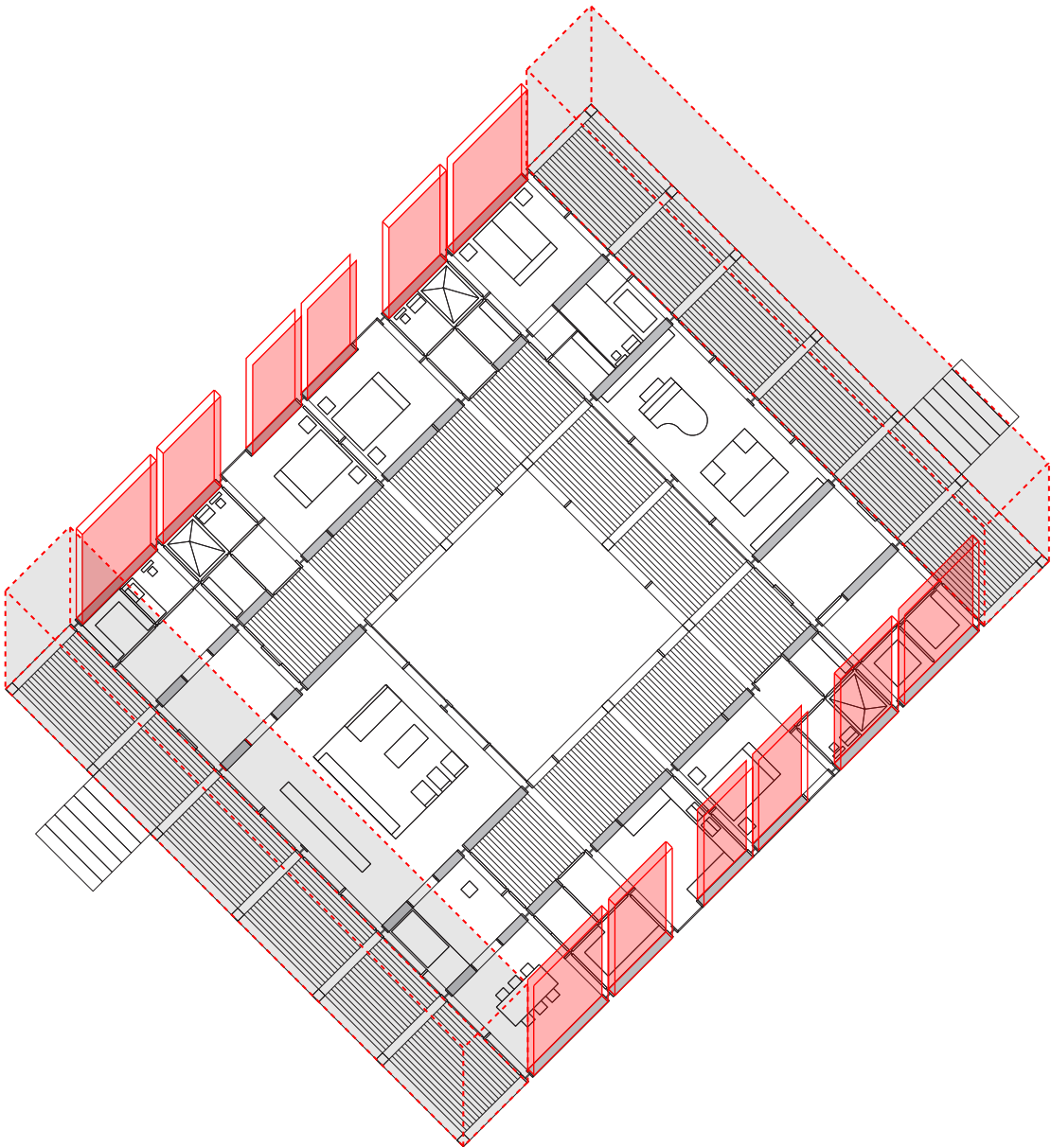
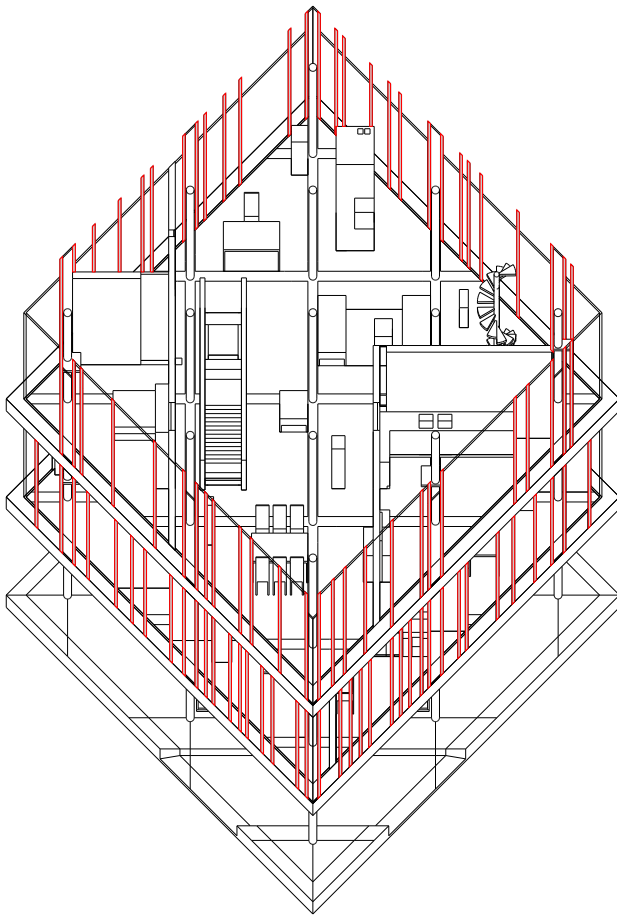


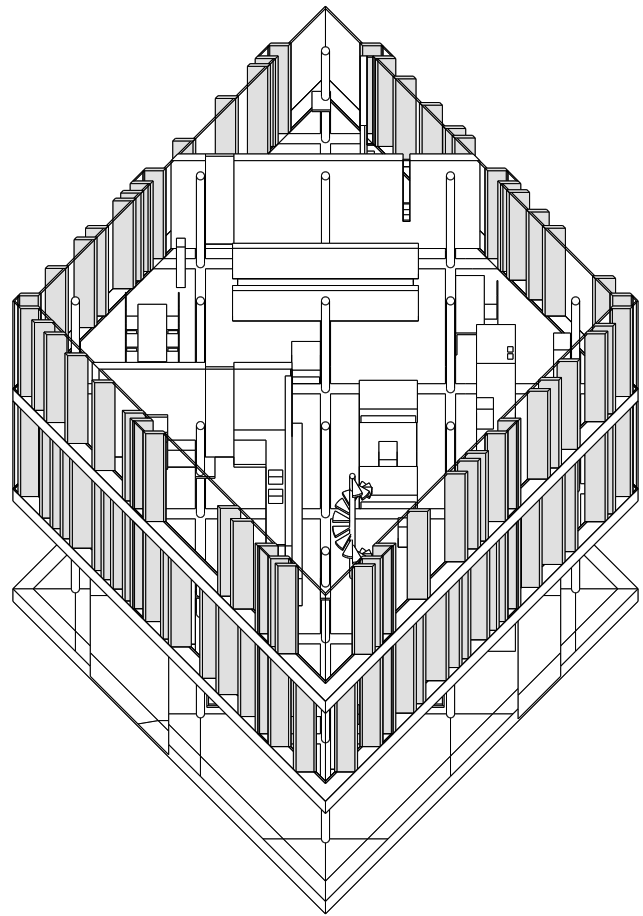
Fig. 168 - Borde nivel 3 en sentido paralelo a los elementos verticales Casa Diamond A y borde nivel 3 en sentido perpendicular a los elementos verticales Casa Diamond A.

a. Casa Diamond A, Alzado – basado en el plano “DR1998 0060 003” (Centro Canadiense de Arquitectura), Fuente: Elaboración propia.

b. Casa Diamond A, Diagrama en axonometría – basado en el plano “DR1998 0060 003” (Centro Canadiense de Arquitectura), Fuente: Elaboración propia.



a.



b.

Fig. 169 -Diagrama de límites del espacio interno en la terraza de la Casa Diamond B.

Casa Diamond B, Diagrama en axonometría – basado en el plano “DR1998 0061 003 001” (Centro Canadiense de Arquitectura), Fuente: Elaboración propia.

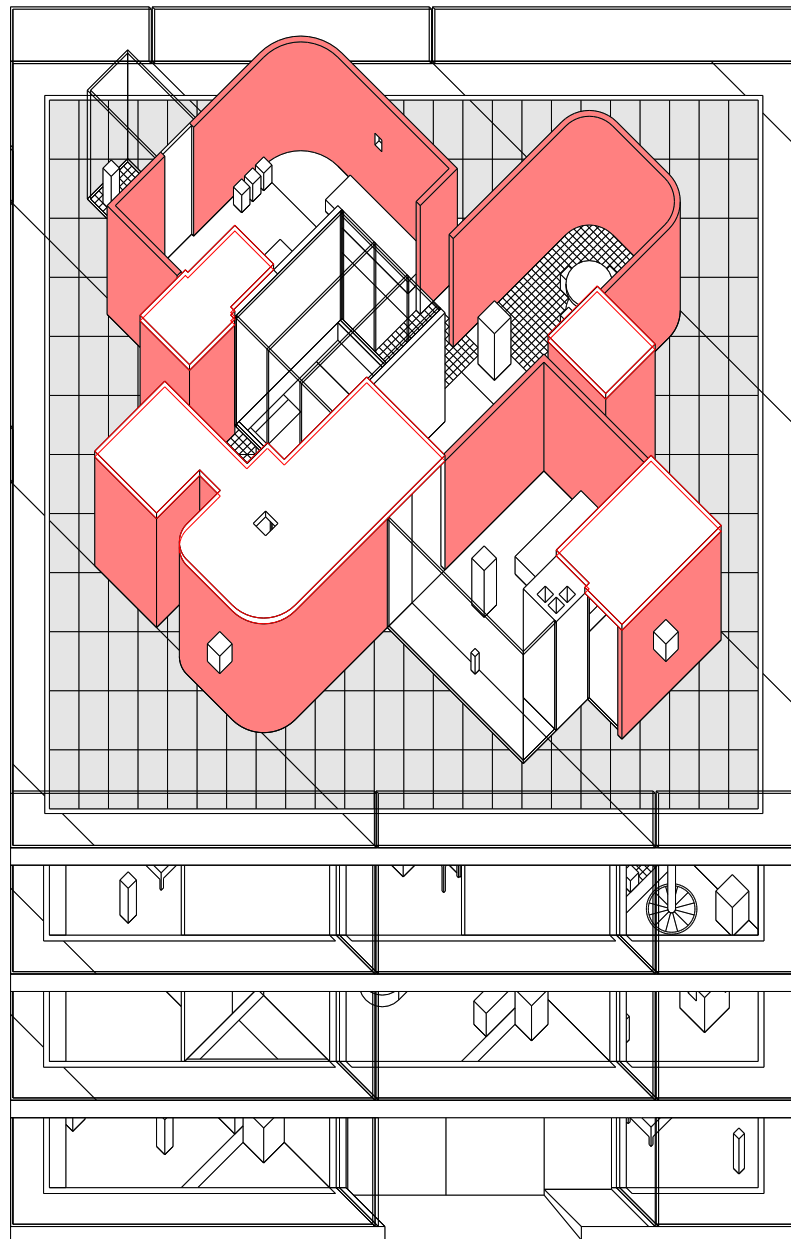


Fig. 170 - Diagrama de organización secuencial en corte, Casa Muro 1.

Casa Muro 1, Diagrama de organización en corte – basado en el plano “DR1998 0077 011” (Centro Canadiense de Arquitectura), Fuente: Elaboración propia.

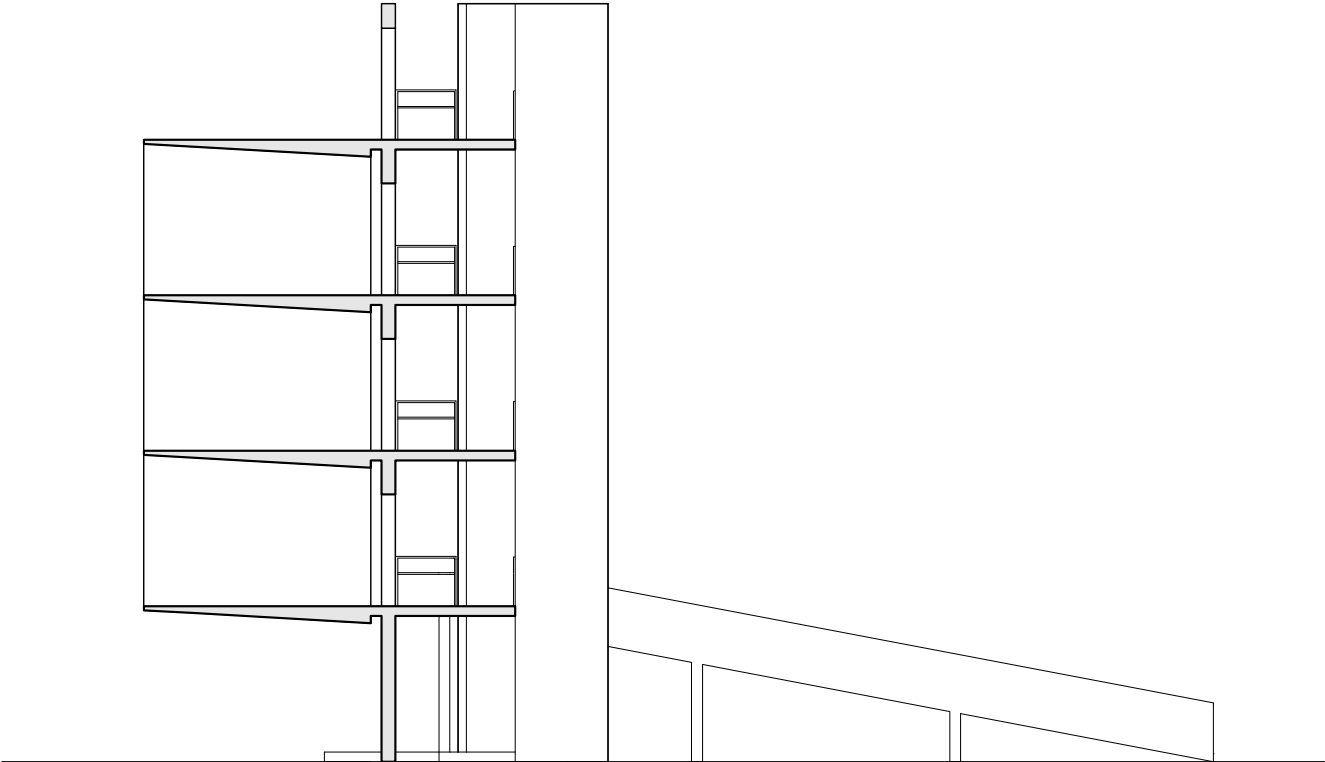


Fig. 171 - Notas y bosquejos sobre la transformación del diamante al muro (detalle).

Imagen: Hejduk, John. Mask of Medusa: Works 1947-1983. Editado por Kim Skapich. 1a ed. New York City: Rizzoli International Publications, 1985.p.p.251.

